

იგანე ჯავახიშვილის სახელობის თბილისის სახელმწიფო უნივერსიტეტი

## ს ო ფ ო კ ო ფ ო ც ო ც ო ა

ზუსტ და საბუნებისმეტყველო მეცნიერებათა ფაკულტეტი  
ქიმიის მიმართულება

ფუნქციური ჯგუფების შემცველი საგარცხლისებური  
აღნაგობის სილიციუმორგანული ოლიგომერების  
სინთეზი და კვლევა

## დ ო ს ო რ ო ც ო ც ო ა

ქიმიის დოქტორის აკადემიური ხარისხის მოსაპოვებლად

ხელმძღვანელები:

პროგრამის ხელმძღვანელი,  
თსუ ქიმ. მეცნ. დოქტორი პროფესორი

ომარ მუკბანიანი

სამეცნიერო ხელმძღვანელები,  
თსუ ქიმ. მეცნ. დოქტორი, პროფესორი

ომარ მუკბანიანი

თსუ ქიმ. დოქტორი

თამარ თათრიშვილი



თბილისი 2011 წელი

# შინაარსი

## შესაგალი

3

### თავი 1

#### ლიტერატურის მიმოხილვა

1.1.	ჰიდროსილილირების რეაქციების ზოგადი მიმოხილვა	7
1.2.	ჰიდროსილილირების კატალიზატორები და რეაქციის მექანიზმი	9
1.3.	C=C ბმის შემცველი მონომერების ჰიდროსილილირება	14
1.4.	პოლიორგანოსილოქსანური პოლიმერებისა და ოლიგომერების მოდიფიკაციის რეაქციები ჰიდროსილილირების რეაქციების გა-მოყენებით	29
1.5.	მეთილჰიდრიდსილოქსანების ურთიერთქმედების რეაქცია დიენური რიგის ნახშირწყალბადებთან	36

### თავი 2

#### ექსპერიმენტის შედეგები და მათი განსჯა

2.1.	მეთილჰიდრიდსილოქსანების ჰიდრიდული მიერთების რეაქციები გინილალკოჟისისილანებთან	39
2.2.	ა,ო-ბის(ტრიმეთილსილოქსი)მეთილჰიდრიდსილოქსანის ჰიდრიდული მიერთების რეაქცია ალილის სპირიტის ტრიეთოქსისილილირებულ და ტრიმეთილსილილირებულ ეთერებთან	52
2.3.	პოლიმეთილჰიდრიდსილოქსანის ჰიდროსილილირების რეაქციები 4-ვინილციკლო-1-ჰექსანთან	59
2.4.	პოლიმეთილჰიდრიდსილოქსანის ჰიდროსილილირების რეაქციები 5-ვინილ-2-ნორბორნენთან	80
2.5.	მეთილჰიდრიდსილოქსანის ჰიდროსილილირების რეაქცია ალილციანიდთან	94

### თავი 3

#### ექსპერიმენტი

3.1.	ინსტრუმენტული გამოკვლევები	112
3.2.	საწყისი ნახევარპროდუქტების დახასიათება	113
3.3.1.	ა,ო-ბის(ტრიმეთილსილოქსი)მეთილჰიდრიდსილოქსანის ჰიდროსილილირების რეაქცია ტრიმეთოქსისილილეთილთან	113
3.3.2.	ა,ო-ბის(ტრიმეთილსილოქსი)მეთილჰიდრიდსილოქსანის ჰიდროსილილირების რეაქცია ალილოქსიტრიეთოქსისილანთან	115
3.4.	ა,ო-ბის(ტრიმეთილსილოქსი)მეთილჰიდრიდსილოქსანის ჰიდროსილილირების რეაქცია 4-ვინილ-1-ციკლოჰექსანთან	116
3.5.	ა,ო-ბის(ტრიმეთილსილოქსი)მეთილჰიდრიდსილოქსანის ჰიდროსილილირების რეაქცია 5-ვინილ-2-ნორბორნენთან	117
3.6.	ჰიდროსილილირების რეაქცია ალილციანიდთან	118

### დასკვნა

120

### გამოყენებული ლიტერატურა

122

## შესავალი

სილიციუმორგანული პოლიმერები მნიშვნელოვანი კომპლექსური თვისებების გამო როგორიცაა მაღალი ოტომული და ოერმოუნაგვითი სტაბილურობა, დაბალი გამინებისა და კრისტალიზაციის ტემპერატურა, სხვადასხვა ფიზიკური მაჩვენებლების ნაკლები დამოკიდებულება ტემპერატურაზე, ატმოსფეროსა და სინათლის სხივებისადმი მდგრადობა, ფართოდ გამოიყენება ტექნიკის სხვადასხვა დარგში.

ხაზოვანი ოლიგომეტილკიდონისილოქსანი წარმოადგენს საინტერესო საწყის მასალას სავარცხლისებური პოლიმერების სინთეზისათვის, მათ ბაზაზე მიღებულ პოლიმერებს შეიძლება გააჩნდეთ ისეთი თვისებები როგორიცაა პრო-ან ანტი-ადჰეზიურობა, ამფიფილურობა ან ჰიდროფობურობა, თხევად-კრისტალური ბუნება და ზედაპირული აქტიურობა; ისინი წარმოადგენდნენ გამკერავ აგენტებს, გამტარებს და არახაზოვან ოპტიკურ მასალებს, ელექტროლუმინისცენციურ და ბაქტერიციდული თვისებების მქონე პოლიმერებს. აღნიშნული პოლიმერების მიღების საუკეთესო გზას წარმოადგენს ჰიდროსილილირების რეაქციები, მიმდინარე  $\equiv Si-H$  აქტიურ ჯგუფსა და უჯერი ბმის შემცველ ნაერთებს შორის [1-11]. უკანასკნელ ხანებში დიდი ყურადღება მიიპყრო სავარცხლისებური აგებულების თანაპოლიმერებმა, სადაც ჰიდროფობური თვისებების მქონე მეთოლსილოქსანურ მატრიცასთან დაკავშირებულია სხვადასხვა ტიპის, სიგრძის და ბუნების ორგანული ჩამნაცვლებელი ჯგუფები, რომელთა ვარირებით შეიძლება აღნიშნული პოლიმერების თვისებების ცვლილება და მათი ფართო გამოყენება სხვადასხვა სფეროში. სავარცხლისებური აგებულების თანაპოლიმერებიდან აღსანიშნავია მეთოლსილოქსანური თანაპოლიმერები სხვადასხვა კლასიკური მეზოგენური ჯგუფებით გვერდით ჯაჭვში, რაც თანაპოლიმერებს თხევად-კრისტალურ ბუნებას ანიჭებს [12-14]. თუმცა აღსანიშნავია, რომ პოლიდიალკილილოქსანებში ძირითადი ჯაჭვისაგან დამოუკიდებლად მეზომორფული მდგომარეობის წარმოქმნა შეიმჩნევა უმთავრესად არაკლასიკური მეზოგენური ჯგუფების შემცველი ალკილური (ეთოლი, პროპილი) ჩამნაცვლებლების გარკვეული სიგრძეების დროს ( $R=C_nH_{2n+1}$ ,  $n \geq 2$ ) [15-17]. აღსანიშნავია, რომ მეზოფაზის ტემპერატურული ინტერვალი თავის მხრივ დამოკიდებულია ჩამნაცვლებელი ჯგუფების სიგრძეზე. ეს დასკვნა შეიძლება გავაკეთოთ პოლიდიპროპილილოქსანიდან პოლიდიეთოლილოქსანზე გადასვლისას მეზოფაზის ტემპერატურული ინტერვალის მკვეთრი ზრდით [1,12,13]. ამდენად, სხვადასხვა ორგანული ჩამნაცვლებელი და ფუნქციური ჯგუფების შემცველ ახალი ორგანოსილოქსანური ოლიგომერებისა და პოლიმერების სინთეზი და კვლევა აქტუალურ პრობლემას წარმოადგენს.

ბოლო ხანებში ახალი ფოტოლუმინისცენციური და მათ შორის სავარცხლისებური აგებულების თხევად-კრისტალური თვისებების მქონე მეთოლსილოქსანური ოლიგომერების და პოლიმერების სინთეზისათვის ფართოდ გამოიყენება მეთოლკიდორიდილოქსანების ქიმიური მოდიფიკაციის რეაქციები. სავარცხლისმაგვარი აგებულების მეთოლკიდორიდილილოქსანური ოლიგომერების და პოლიმერების სინთეზის ორი უმთავრესი გზა არსებობს; ეს არის აქტიურ  $\equiv Si-H$  ბმის შემცველი ნაერთების ჰიდროსილილირების და დეპიდროკონდენსაციის რეაქციები უჯერი და ჰიდროქსილის შემცველ ფუნქციურ ჯგუფებიან ნაერთებთან.

ჰიდროსილილირება კვლავ ფართო შესწავლის საგნად რჩება და მნიშვნელოვანია აღნიშნულ კვლევებში გარდამავალი მეტალების როლი. კვლევის შედეგები დამოკიდებულია უჯერი ნაერთებისა და სილანების სტრუქტურაზე, ასევე კატალიზატორის ბუნებაზე და რეაქციის ჩატარების პირობებზე [18]. აგრეთვე მრავალი ინფორმაცია არსებობს მეთოლ- და ეთოლკიდორიდილოქსანების ქიმიური მოდიფიკაციის რეაქციებით თხევად-კრისტალური ბუნების პოლიმერების მიღების მიმართუ-

ლებით [19,20] რომელიც განხილულია სადისერტაციო მასალის ლიტერატურის მიმოხილვაში.

**სამუშაოს მიზანი:** მეთილჰიდრიდსილოქსანების ქიმიური მოდიფიკაციის რეაქციებით ახალი ტიპის მეთილსილოქსანური ოლიგომერების სინთეზის პრეპარატიული მეთოდების შემუშავება; მიღებული ოლიგომერებისა და პოლიმერების ფიზიკურ-ქიმიური თვისებების შესწავლა და მათი პრაქტიკაში გამოყენების გზების ძიება.

**მეცნიერული სიახლე:** შესწავლილია α,ω-ბის(ტრიმეთილსილოქსი)მეთილჰიდრიდსილოქსანის ჰიდროსილილირების რეაქციები ვინილალკოჟსისილანებთან, სხვადასხვა კატალიზატორების: პლატინაქლორწყალბადმეუავს 0.1M ხსნარი (ტეტრაჰიდროფურანში), კარსტედის და ნახშირბადზე დაფენილი პლატინის თანაობისას მორეაგირე კომპონენტების სხვადასხვა მოლური თანაფარდობით სხვადასხვა ტემპერატურებზე. სინთეზირებულია ოლიგომერები ეთოქსისილილური ფრაგმენტებით გვერდით ჯაჭვში. შესწავლილია მიერთების პროცესის კინეტიკა. გამოოვლილია რეაქციის სიჩქარის მუდმივები და აქტივაციის ენერგია. დადგენილია რომ რეაქცია საწყის სტადიაზე მეორე რიგისაა. აღნიშნული პროდუქტები გამოცდილ იქნა საფარველების დასამზადებლად და ნაჩვენებია მათი პერსპექტიულობა ამ მიმართულებით.

განხილულია სავარცხლისებური აღნაგობის სილიციუმორგანული ოლიგომერების მიღება, რომლებიც გვერდით ჯაჭვში შეიცავენ პროპელოქსიტრიეთოქსისილირებულ და პროპილოქსიტრიმეთოქსისილირებულ ჯგუფებს. ამ მიზნით შესწავლილ იქნა ა,ω-ბის(ტრიმეთილსილოქსი)მეთილჰიდრიდრიდსილოქსანის ჰიდრიდული მიერთების რეაქცია ალილოქსიტრიეთოქსისილანთან და ალილოქსიტრიმეტალსილანთან. სინთეზირებული ოლიგომერების შედგენილობა და აღნაგობა შესწავლილია ფურიე გარდაქმნის იწ, <sup>1</sup>H და <sup>13</sup>C ბმრ სპექტრული გამოკვლევებით. დადგენილია, რომ რეაქცია შეიძლება წარიმართოს როგორც მარკოვნიკოვის წესით, ასევე მის საწინააღმდეგოდ თდნავ განხილული ინტენსივობით 1,4:1.

ნახევრადემპირიული ქვანტურ-ქიმიური AM1 მეთოდით გათვლილ იქნა მუხტის სიდიდეები. თეორიული გათვლებით დადასტურებულია ბმრ სპექტრული გამოკვლევების შედეგები. გათვლილია პოლიმიერთების რეაქციის კინეტიკური პარამეტრები: სიჩქარის მუდმივები და აქტივაციის ენერგია. სინთეზირებული ოლიგომერები წარმოადგენენ საინტერესო პროდუქტებს და შესაძლებელია გამოყენებულ იქნან როგორც შემაკავშირებლები სხვადასხვა სახის კომპოზიციური მასალების, ასევე სილიკაზიროგელების და სილიკააეროგელების მისაღებად.

პირველად იქნა შესწავლილი ა,ω-ბის(ტრიმეთილსილოქსი)მეთილჰიდრიდრიდსილოქსანის ჰიდრიდული მიერთების რეაქციები 4-ვინილციკლო-1-ჰექსენთან კატალიზატორების - პლატინაქლორწყალბადმეუავს, ნახშირბადზე დაფენილი პლატინის და კარსტედის კატალიზატორის თანაობისას მორეაგირე კომპონენტების სხვადასხვა მოლური თანაფარდობით სხვადასხვა ტემპერატურაზე. სინთეზირებული ოლიგომერები წარმოადგენენ გამჭვირვალე, ბლანტ სისტემებს, რომელებიც კარგად იხსნებიან არომატულ გამსხველებში. ჩატარებულია ოლიგომერების ფურიე გარდაქმნის იწ, <sup>1</sup>H და <sup>13</sup>C სპექტრული გამოკვლევები. დადგენილია რომ ჰიდროსილილირების რეაქცია მიღის როგორც ფარმერის და მარკოვნიკოვის წესის მიხედვით, ასევე ციკლოჟენენის ფრაგმენტთანაც. შესწავლილია რეაქციის კინეტიკა, გათვლილია სიჩქარის მუდმივები და აქტივაციის ენერგია.

ჰიდრიდული მიერთების რეაქციის სრული დახასიათებისათვის, ნახევრადემპირიული ქვანტურ-ქიმიური მეთოდით AM1, ჩატარებულ იქნა თეორიული გათვლები. აქტივაციის ენერგიების და წარმოქმნის სითბოების შედარება მიუთითებს, რომ რეაქცია შეიძლება წარიმართოს სამივე მიმართულებით. თეორიული გათვლების შედეგები თანხმდენაშია ბმრ სპექტროსკოპიულ და ლიტერატურულ მონაცემებთან,

ჩატარებულია გელ-შედწევადი ქრომატოგრაფიული გამოკვლევა. ქრომატოგრაფიული მრუდი ბიმოდალური ხასიათისაა. გამოთვლილია ოლიგომერის საშუალო მოლეკულური მასები და პოლიდისპერსობა. ასევე ჩატარებულია დიფერენციალური სკანირებადი კალორიმეტრული და ფართოკუთხოვანი რენტგენოგრაფიული კვლევები, რამაც აჩვენა, რომ ოლიგომერისათვის შეიმჩნევა ორი ენდოთერმული პიკი. ოველივე ეს მიგვითოთებს იმაზე, რომ მეთილჰიდრიდსილოქსანის მოდიფიკაციის პროცესი მიღწეულია. აღნიშნული ოლიგომერები შეიძლება გამოყენებულ იქნან როგორც გამკერავ აგენტებად, ასევე პოლიმერულ მატრიცებად ახალი სილიციუმორგანული პოლიმერების მისაღებად.

სილიციუმორგანული ოლიგომერების სინთეზის მიზნით, რომლებიც გვერდით ჯაჭვში შეიცავენ უჯერ ბმების შემცველ ციკლურ ფრაგმენტებს, შესწავლილ იქნა ა,ω-ბის(ტრიმეთილსილოქსი)მეთილჰიდრიდსილოქსანის ჰიდრიდული მიერთების რეაქცია 5-ვინილ-2-ნორბორნენთან კატალიზატორის - ჰლატინაჸლორწყალბადმჟავას თანაობისას. სინთეზირებული ოლიგომერების შედგენილობა და სტრუქტურა დადგენილია ფუნქციური და ელემენტური ანალიზით, ასევე ფურიე გარდაქმნის იწ, <sup>1</sup>H, <sup>13</sup>C, H,H-COSY და C,H-კორელაციური ბმრ სპექტრების საშუალებით. შესწავლილია რეაქციის კინეტიკა, განსაზღვრულია რეაქციის კინეტიკური პარამეტრები. სპექტრული გამოკვლევები დადასტურებულია ნახევრადემპირიული კვანტურ-ქიმიური AM 1 თეორიული გათვლებით.

ოლიგომერებისათვის ჩატარებულია ფართოკუთხოვანი რენტგენოგრაფიული და გელ-შედწევადი ქრომატოგრაფიული გამოკვლევები. დადგენილია, რომ ისინი წარმოადგენენ ერთფაზიან ამორფულ სისტემებს და გააჩნიათ ბიმოდალური მოლეკულურ-მასური განაწილება. განსაზღვრულია საშუალო მოლეკულური მასების მნიშვნელობები და პოლიდისპერსობა. მოლეკულური მასების სიდიდეები გვიჩვენებენ რომ ნაპოვნი საშუალო მოლეკულური მასა 4,6-ჯერ აღემატება სრული ჰიდროსილილორების დროს მიღებული ოლიგომერის მოლეკულურ მასას, რაც მიუთითებს იმაზე, რომ ჰიდროსილილირების მიმდინარეობისას ადგილი აქვს მაკრომოლეკულათმორის ჰიდროსილილორებას, რომლის დროსაც წარმოიქმნება განტოტვილი აგებულების პოლიმერი.

შესწავლილია ოლიგომეთილჰიდროსილოქსანის ჰიდროსილილირების რეაქციები ალილციანიდთან კარსტედის კატალიზატორის თანაობისას. საწყის პროდუქტებად ჰიდროსილილირების რეაქციებში გამოყენებულ იქნა ტრიმეთილსილოქსი ჯგუფებით ბლოკირებული პოლიმეთილსილოქსანი და ალილციანიდი.

ა,ω-ბის(ტრიმეთილსილოქსი)მეთილჰიდრიდსილოქსანის ალილციანიდთან ჰიდროსილილირების რეაქციას ვატარებდით სხვადასხვა ტემპერატურულ ინტერვალში მორეაგირე კომპონენტების 1:70 თანაფარდობით. რეაქციის მიმდინარეობისას ვაფიქ-სირებდით აქტიური  $\equiv$ Si-H ბმის კონცენტრაციის ცვლილებას დროში. ლიტერატურული მონაცემებისაგან განსხვავებით, დადგენილია, რომ ჰიდროსილილირების რეაქცია არ მიმდინარეობს სრულად და გვრჩება რეაქციაში შეუსვლელი აქტიური  $\equiv$ Si-H ბმა.

მიღებული ოლიგომერების შედგენილობა და აღნაგობა დადგენილია ელემენტური ანალიზით, ფურიე გარდაქმნის იწ, <sup>1</sup>H, <sup>13</sup>C და <sup>29</sup>Si სპექტრული გამოკვლევებით.

ოლიგომერისათვის ჩატარებულია გელ-შედწევადი ქრომატოგრაფიული გამოკვლევა. ოლიგომერს გააჩნია ფართო მონომოდალური მოლეკულურ-მასური განაწილება.

მეთილჰიდრიდსილოქსანის ალილციანიდთან პიდრიდული მიერთების რეაქციის სრული დახასიათებისათვის, ჩვენს მიერ ნახევრადემპირიული ქანტურ-ქიმიური მეთოდით AM1, ჩატარებულ იქნა თეორიული გათვლები.

**ნაშრომის პრაქტიკული მნიშვნელობა:** შემუშავებულია სავარცხლისებური ოლიგომერების მიღების პრეპარატიული მეთოდი და მიღებულია მეთილსილოქსანური ოლიგომერები ალკოქსილის ჯგუფებით გვერდით ჯაჭვში. სინთეზირებული მეთილალკოქსილოქსანები წარმოადგენენ საინტერესო პროდუქტებს გაუმჯობესებული თვისებების მქონე პიდროგელების და სილიკაეროგელების მისაღებად. სინთეზირებულია უჯერი ბმების შემცველი სილიციუმორგანული ოლიგომერები, რომლებიც წარმოადგენენ თერმორეაქტიულ სისტემებს, ისინი შესაძლებელია გამოყენებულ იქნან კარბოჯაჭვური პოლიმერების მოდიფიკაციორებად, ასევე შემაკავშირებლებად სხვადასხვა ტიპის კომპოზიციური მასალების მისაღებად. მეტალსილოქსანური ოლიგომერები პროპილციანიდური ფრაგმენტებით გვერდით ჯაჭვში წარმოადგენენ პერსპექტიულ სისტემებს ორგანო-არაორგანული პოლიმერების მისაღებად.

**პუბლიკაციები:** დისერტაციის ძირითადი მასალა გამოქვეყნებულია 7 სამეცნიერო ნაშრომისა და 8 სამეცნიერო თეზისის სახით.

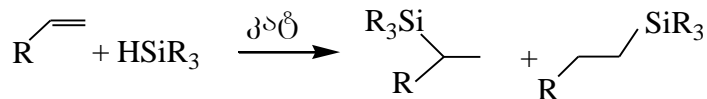
**ნაშრომის პრობაცია:** III სრულიად რუსეთის კარგინის კონფერენცია, “პოლიმერი-2004”, მოსკოვი 2004 წ., V რესპუბლიკური კონფერენცია ქიმიაში, თბილისი 2004 წ., საერთაშორისო სამეცნიერო სესია მიძღვნილი ნ.ს. ენიკოლოპოვის 80 წლისთავისადმი, ერევანი 2004 წ., სრულიად რუსეთის X კონფერენცია, “სილიციუმორგანული ნაერთები: სინთეზი, თვისება, გამოყენება”, მოსკოვი 2005 წ., VII ევროპის ტექნიკური სიმპოზიუმი და მაღალეფების ფუნქციური პოლიმერები, საფრანგეთი, მონპელიე, 2005 წ., III საერთაშორისო კონფერენცია პოლიმერების ეპოქა და კომპოზიტები, იტალია (ისქია) 2006 წ., ივნისი; საერთაშორისო კონფერენცია “ენიკოლოპოვის გახსენება”, ერევანი 2006 წ., ოქტომბერი; კავკასიის I საერთაშორისო სიმპოზიუმი პოლიმერებსა და თანამედროვე პოლიმერულ მასალებში, თბილისი 2007 წ., სექტემბერი; საერთაშორისო სიმპოზიუმი “სპეციფიკური თვისებების მქონე მასალები საწარმოო პროდუქტების და მეორადი ნედლეულის ბაზაზე”, მიძღვნილი ივ. ჯავახიშვილის სახელიბის თბილისის სახელმწიფო უნივერსიტეტის 90-ე წლისთავისადმი, 2008 წ., სექტემბერი; საერთაშორისო კონფერენციის ”სპეციფიკური თვისებების ნაერთები და მასალები წარმოების ნარჩენების, მეორედი ნედლეულის და ბუნებრივი რესურსების ბაზაზე”, მოხსენებათა თეზისები, თბილისი, საქართველო, 15-16 ივლისი, 2010წ.

**დისერტაციის მოცულობა:** ნაშრომი გადმოცემულია 131 ნაბეჭდ გვერდზე. იგი შედგება შესავლის (4 გვ), ლიტერატურის მიმოხილვის (32 გვ), ექსპერიმენტული მონაცემების განსჯის (73 გვ), ექსპერიმენტული ნაწილის (7 გვ), დასკვნის (2 გვ) და გამოყენებული ლიტერატურის ნუსხისაგან (179 დასახელება, 10 გვ) და შეიცავს 18 სქემას, 19 ცხრილს და 65 ნახაზს.

**თავი 1**  
**ლიტერატურის მიმოხილვა**  
**1. პიდროსილილირების რეაქციების  
ზოგადი მიმოხილვა**

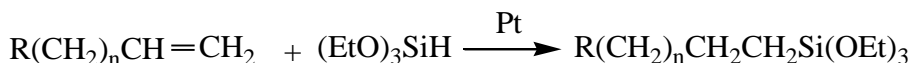
პიდროსილილირების რეაქციები გამოირჩევიან დიდი პრაქტიკული მნიშვნელობით. ისინი წარმოადგენენ ყველაზე ეფექტურ და მოსახერხებელ მეთოდს შესაბამისი სილიციუმორგანული ნაერთების მისაღებად. მათ ფართოდ იყენებენ, როგორც შესაბამისი სილილირებული დაბალმოლეკულური ნაერთების, ასევე მაღალმოლეკულური ნაერთების მისაღებად და მათი მოდიფიკაციისათვის. მათდამი გამოწვეული დიდი ინტერესი განპირობებულია მეთოდის სიმარტივით, მოხერხებულობით, თანამდევ პროდუქტების არარსებობითა და შესაძლო სინთეზების ძალიან დიდი რიცხვით, რომლებიც შემდგომში შეიძლება გამოყენებულ იქნას სხვადასხვა პრაქტიკული მიზნებისათვის [19].

სილიციუმორგანულ ნაერთთა მრეწველობაში ფართოდ გამოიყენება პიდროსილილირების რეაქციები, ერთ-ერთ ყველაზე ფართოდ გავრცელებულ მეთოდს Si-C ბმის ფორმირებისათვის წარმოადგენს შემდეგი ტიპის რეაქცია [20]:

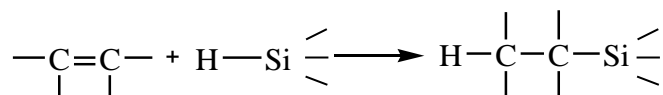


ამ ტიპის რეაქციები ფართოდ გამოიყენება ორგანული ფუნქციური ჯგუფების შემცველი პოლიმერების მისაღებად. პირველი შრომები კატალიზური პიდროსილილირების შესახებ გამოცემულ იქნა 1947 წელს სომერის მიერ [21]. კვლევებით დადგენილია, რომ პიდროსილილირების კატალიზატორებს წარმოადგენენ გარდამავალ მეტალთა კომპლექსები.

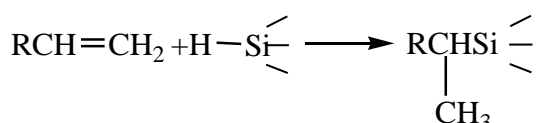
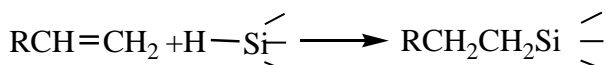
პიდროსილილირება შეიძლება ასევე გამოყენებულ იქნას მონომერების სინთეზისთვისაც. მაგალითად, ტრიალკოქსისილანის მიერთებისას უჯერი ბმის შემცველ ნაერთთან მიიღება ეთოქსილის ჯგუფების შემცველი სილიციუმორგანული ნაერთები:



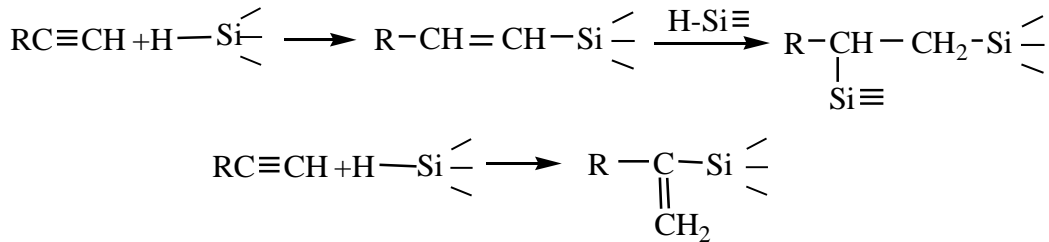
ასევე ლიტერატურაში [22] აღწერილია C=C, C≡C, C=O, C≡N ტიპის ორგანული ნაერთების პიდროსილილირება. C=C ბმასთან პიდრიდსილანების მიერთების რეაქცია ზოგადად შეიძლება გამოისახოს შემდეგი სქემით:



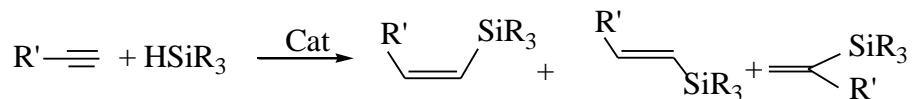
ამ შემთხვევაში მიერთება მოსალოდნელია წარიმართოს ორი მიმართულებით: მარკოვნიკოვის წესის თანახმად ან მის საწინააღმდეგოდ



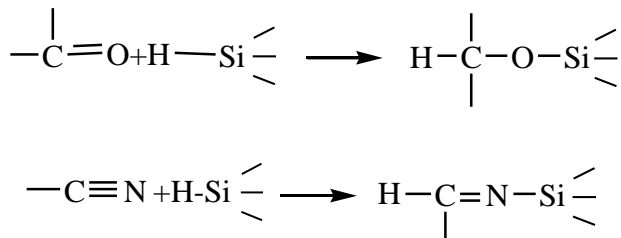
შედარებით უფრო რთულია სამმაგი C≡C ბმის ჰიდროსილილირება, რადგანაც სამმაგ ბმასთან შეიძლება მოხდეს, როგორც ერთი, ისე ორი მოლეკულა ჰიდროსილანის მიერთება. აქაც ანალოგიურად რეაქცია მიმდინარეობს მარკოვნიკოვის ან ფარმერის წესის ოანახმად:



СІС ბმასთან ერთი მოლეკულა ჰიდრიდსილანის მიერთებისას შესაძლებელია სამი ტიპის პროდუქტის წარმოქმნა [20-22]:



ხოლო  $C=O$ ,  $C\equiv N$  ტიპის უჯერი ბმების ჰიდროსილიდირების დროს წყალბადი უკავშირდება ნახშირბად ატომს, ხოლო სილილის ჯგუფი უფრო ელექტროუარყოფით უანგბადის ან აზოგის ატომს:



თუ მოლეკულის შემადგენლობაში შედის რამოდენიმე ტიპის უჯერი ბმა, რეაქცია შეიძლება გარკვეული პირობების შექმნით წარიმართოს სასურველი მიმართულებით.

აღნიშნული რეაქციების მიმართულება და სიჩქარე კი განისაზღვრება გამოყენებული კატალიზატორით, გამხსნელის ბუნებით, უჯერი ნაერთისა და ჰიდრიდსილანის სტრუქტურით.

მას შემდეგ, რაც ჯ.ლ. სპაირის მიერ 1957 წელს აღმოჩენილ იქნა ჰიდროსილიდირებისათვის ძლიერ ეფექტური კატალიზატორი - ჰლატინაქლორწყალბადმეავა [23], დასაბამი მიეცა სხვადასხვა გარდამავალი მეტალებისა და ჩამნაცვლებელი ჯგუფების გავლენის შესწავლას ჰიდროსილიდირების პროცესში [24]. სავარაუდოდ ჰიდროსილიდირების პროცესის აქტიურობა მცირდება ჩამნაცვლებელი ჰალოგენიდის რიცხვის გაზრდით. იბორნისა და ბოტის მიერ [24] შესწავლიდ იქნა, რომ მიერთების ხარისხი  $\text{HSiCl}_2\text{Me}$  - ის ეთილენით მიერთებისას მცირდება შემდეგი ჩამნაცვლებელი ჯგუფების მიხედვით:  $\text{H}_2\text{C}=\text{CH}_2 > \text{H}_2\text{C}=\text{CF}_2 > \text{F}_2\text{C}=\text{CFCl} > \text{F}_2\text{C}=\text{CF}_2$ , ხოლო ლუისმა აღნიშნა [25] რომ  $\text{HSiEt}_3$ -ის მიერთება  $\text{Me}_3\text{SiCH}=\text{CH}_2$ -თან მიმდინარეობს უფრო სწრაფად, ვიდრე  $\text{HSiEt}_3$  - ისა  $\text{Cl}_3\text{SiCH}=\text{CH}_2$ -თან. ლუისის მიერ ასევე შესწავლიდ იქნა  $(\text{EtO})_3\text{SiH}$ -ის მიერთება პარა-ჩამნაცვლებულ სტირენთან  $p\text{-XC}_6\text{H}_4\text{CH}=\text{CH}_2$  ( $\text{X}=\text{H}, \text{Me}, \text{OMe}, \text{Cl}$ ) და აღმოჩნდა რომ მიერთების შეფარდებითი ხარისხი იცვლება რიგში:  $\text{Me} > \text{H} > \text{OMe} > \text{Cl}$ .

გამოყენებული კატალიზატორის ტიპის მიხედვით ჰიდროსილილირების რეაქციები შეიძლება მიმდინარეობდეს სხვადასხვა მძანიზმით. კერძოდ, ისეთი კატალი-

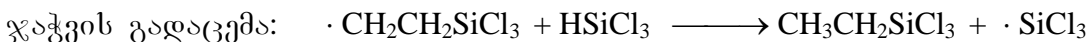
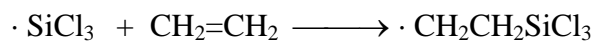
ზატორების გამოყენებისას, როგორებიც არიან: მესამეული ამინები, ლუისის მჟავები, მატარებელზე დაფენილი მეტალები, ციგლერის კატალიზატორები და VIII ჯგუფის მეტალთა კომპლექსები, პიდროსილილირება მიმდინარეობს პეტეროლიტური მიერთებით, ხოლო თავისუფალ-რადიკალური ინიციატორების თანაობისას ან თერმული ინიცირებისას პიდროსილილირება შეიძლება წარიმართოს თავისუფალ-რადიკალური მექანიზმით - პომოლიტური მიერთება [22].

უნდა აღინიშნოს, რომ ბოლო წლებში განსაკუთრებული ყურადღება ეთმობა პიდროსილილირების რეაქციების შესწავლასა და მათ გამოყენებას. სხვადასხვა კატალიზატორების გამოყენებით სინთეზირებულია მრავალი სასურველი თვისებების მქონე სილიციუმორგანული ნაერთი და შესწავლილია მათი პიდროსილილირების მექანიზმი [26].

## 1.2. პიდროსილილირების კატალიზატორები და რეაქციის მექანიზმი

სილიციუმორგანული ნაერთების მიღების ერთ-ერთ ყველაზე გავრცელებულ და მიღებულ მეთოდს წარმოადგენს პიდროსილილირება. პიდროსილილირება შეიძლება წარიმართოს როგორც კატალიზატორის მონაწილეობით, ასევე თერმული და ფოტოქიმიური ინიცირებითაც. უჯერ ნაერთებთან პიდროსილანების მიერთების რეაქციები უკატალიზატოროდ მიმდინარეობს დაახლოებით  $300^{\circ}\text{C}$ -ზე. ულტრააიისფერი სინათლის, ელექტრული მუხტის ან უ-გამოსხივების გავლენით რეაქციები უფრო დაბალ ტემპერატურებზე მიმდინარეობს.

უჯერი ნაერთების პიდრიდული მიერთების რეაქცია მაღალ ტემპერატურებზე კატალიზატორის გარეშე მიმდინარეობს თავისუფალი რადიკალების წარმოქმნის ხარჯზე. მაგალითად,  $\text{HSiCl}_3$ -ის თერმული დისოციაცია მიმდინარეობს თავისუფალ – რადიკალური მექანიზმით. ჯაჭვის ინიცირება ხდება  $\equiv\text{Si}-\text{H}$  ბმის თერმული გახლების შედეგად, რის დროსაც მიღებული სილილის რადიკალი უკავშირდება უფრო მეტად პიდროგენიზებულ ნახშირბადის ატომს. პროცესის მექანიზმი შეიძლება ასე ჩაიწეროს:



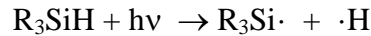
რეაქციის პროდუქტებში წყალბადის არარსებობა მიუთითებს, რომ ჯაჭვის გაწყვეტა წყალბადის ატომების რეკომბინაციების ხარჯზე არ მიმდინარეობს. ჯაჭვის გაწყვეტის მიზეზი აგრეთვე არ არის ტრიქლორსილილის რადიკალების დიმერიზაცია, რადგანაც ტრიქლორსილანის თერმული მიერთებისას ოლეფინებთან არ წარმოიქმნება ჰექსაქლორდისილანი.

თერმული და ფოტოქიმიური ინიცირებით მიმდინარე პიდრიდულ მიერთების რეაქციებთან შედარებით უპირატესობა ენიჭება კატალიზატორის მონაწილეობით მიმდინარე პიდროსილილირებას, ვინაიდან ამ შემთხვევაში მიღებული პროდუქტის გამოსავალი ძალიან მცირეა. მაგალითად, ტრიქლორსილანის ეთილენთან თერმული მიერთების რეაქცია მიმდინარეობს  $280^{\circ}\text{C}$ -ზე წნევის ქვეშ და რეაქციის დაწყებიდან 35 სთ-ის შემდეგ ეთილტრიქლორსილანის გამოსავალი შეადგენს დაახლოებით 60%-ს [26, 27].



აირად ფაზაში ტრიქლორსილანის ფოტოქიმიური მიერთება ეთილენთან მიმდინარეობს რაოდენობითი [28], ხოლო აცეტილის ზეჟანგის თანაობისას ეთილტრიქლორსილანის მხოლოდ 4%-იანი გამოსავლით [29], მაშინ როცა ბენზოლის ზეჟანგის თანაობისას აღნიშნულ რეაქციას საერთოდ არ აქვს ადგილი.

ულტრაიისფერი და გ-გამოსხივებით მიმდინარე პიდროსილილირება უჯერბმიან ნაერთებთან მიმდინარეობს რადიკალურ - ჯაჭვური მექანიზმით [30, 31]:



მოცემული რეაქციის გამოსავალი არის ბევრად მცირე ვიდრე გარდამავალი მეტალების და მათი კომპლექსების თანაობისას მიმდინარე პიდროსილილირების რეაქციის გამოსავალი.

კოლოიდური რკინა, რკინის კარბინოლი [32] და Pt/SiO<sub>2</sub> [33] აკატალიზებენ მეტილიქლორსილანის ეთილენთან მიერთებას 100-150°C-ზე, მაშინ როცა H<sub>2</sub>PtCl<sub>6</sub>·6H<sub>2</sub>O-ის გამოყენებისას რეაქცია მიმდინარეობს ოთახის ტემპერატურაზე 93%-იანი გამოსავლით [34].

ვერცხლი, თუთიის მტვერი და თუთიის ქლორიდი აკატალიზებენ პიდროსილანების მიერთებას ალდეპიდების და კეტონების კარბონილის ჯგუფთან [35-37] თუთიის ქლორიდი აგრეთვე წარმოადგენს ტრიალკილსილანების მიერთების რეაქციის კატალიზატორს ნიტრილების C≡N სამშაგ ბმასთან [38].

ძალზედ ეფექტურია უჯერი C=C ბმის შემცველი ნაერთების პიდროსილირებისას პლატინის შემცვეველი კატალიზატორების გამოყენება, როგორიცაა, მაგალითად, სპაიერის კატალიზატორი [23,39] ანუ H<sub>2</sub>PtCl<sub>6</sub> გახსნილი პროპანოლ-2-ში (იზოპროპილის სპირტი) და კარსტედის კატალიზატორი [40] ანუ H<sub>2</sub>PtCl<sub>6</sub> გახსნილი ტეტრამეთილდივინილდისილოქსანში [(CH<sub>2</sub>=CHSiMe<sub>2</sub>)<sub>2</sub>O], ასევე შეიძლება პლატინაქლორწყალბადმჟავა გახსნილი იყოს დიოქსანეთანოლში [41] დიმეთილკარბინოლში [42,43] ან ტეტრაპიდროფურანში. კატალიზატორი ეფექტურია მინიმალური კონცენტრაციისას, 5x10<sup>-5</sup>-5x10<sup>-6</sup> მოლი გადაანგარიშებული ოლეფინის ერთ მოლზე.

როგორც ცნობილია, H<sub>2</sub>PtCl<sub>6</sub>·6H<sub>2</sub>O [44] პიდრიდული მიერთების რეაქციისათვის ყველაზე ფართოდ გამოყენებული კატალიზატორია, თუმცა ამასთანავე გააჩნია გარკვეული უარყოფითი მხარეებიც: არ იხსნება ნახშირწყალბადებში, ხშირად რეაქციის სრულად წარმართვისათვის არის გაცხელების აუცილებლობა და ინდუქციური პერიოდი რეაქციის დაწყებამდე. უკანასკნელი ფაქტი მოწმობს კვადრატულ - პლანარული d<sup>8</sup> პლატინის კომპლექსის წარმოქმნაზე, რომელიც შეიცავს ლაბილურ ლიგანდებს და ვაკანტურ კოორდინაციულ ორბიტალებს.

პიდროსილილირების რეაქცია უჯერ ნაერთებთან მიმდინარეობს კატალიზატორის როტული გარდაქმნით. პლატინა მიერთების პროცესში მონაწილეობს ფაქტიურად რამდენიმე ფორმით, რაც ართულებს კინეტიკურ კვლევას [45].

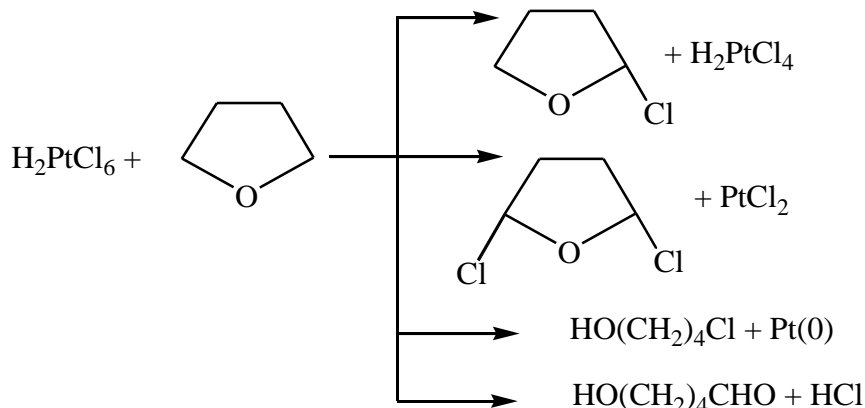
სპაიერის კატალიზატორის - H<sub>2</sub>PtCl<sub>6</sub>·6H<sub>2</sub>O-ის ხსნარის შენახვისას (იზოპროპილის სპირტსა და ტეტრაპიდროფურანში) მიმდინარე ცვლილებები შესწავლილია ელექტრონული სპექტრების საშუალებით – ხილულ და ულტრაიისფერ უბანში.

დადგენილია, რომ H<sub>2</sub>PtCl<sub>6</sub>·6H<sub>2</sub>O-ის იზოპროპანოლის ახლადდამზადებულ ხსნარში ჯერ კიდევ არსებობს PtCl<sub>6</sub><sup>2-</sup>-ის იონი (სპექტრში შეიმჩნევა PtCl<sub>6</sub><sup>2-</sup> იონისათვის დამახასიათებელი შთანთქმის ზოლები 267, 360 და 465 ნმ უბანში). დამზადებიდან 10 დღის განმავლობაში ხსნარში PtCl<sub>4</sub><sup>2-</sup>-ის შემცველობა მატულობს (PtCl<sub>4</sub><sup>2-</sup>-ის იონისათვის დამახასიათებელი შთანთქმის ზოლები 240, 380 და 474 ნმ უბანში). 10 დღის შემდეგ ცვლილებები სპექტრში თითქმის აღარ შეიმჩნევა.

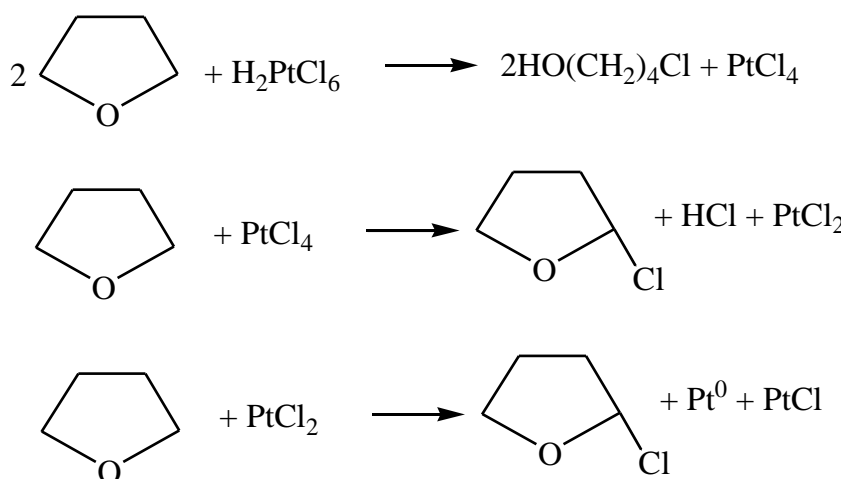
ერთი წლის განმავლობაში დაყოვნებული კატალიზატორის სპექტრში აღმოჩენილია შთანთქმის ზოლი 290 ნმ უბანში, რომელიც შესაძლოა შეესაბამებოდეს აცეტონისა და პლატინის კომპლექსური ნაერთის სპექტრს.

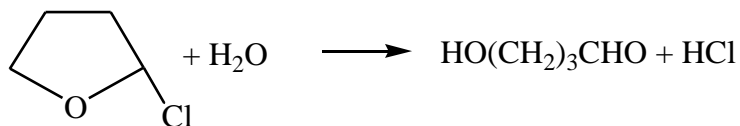
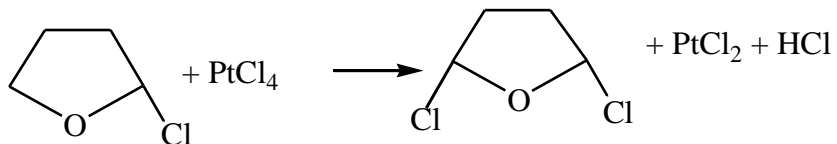
სპაიერის კატალიზატორი ( $H_2PtCl_6 \cdot 6H_2O$ ) გაცილებით სწრაფად სტაბილიზება ტეტრაკაპიდროფურანში, ვიდრე იზოპროპილის სპირტში. ამრიგად, პლატინაქლორტყალბადმჟავას ხსნარი (ტეტრაკაპიდროფურანში და იზოპროპილის სპირტში) შენახვისას განიცდის ცვლილებას. ამიტომ  $Pt(IV)$  ადგება  $Pt(0)$ -მდე. კატალიზატორის ურთიერთქმედებით გამხსნელებთან შეიმჩნევა იზოპროპილის სპირტის შემთხვევაში – აცეტონის, ხოლო ტეტრაკაპიდროფურანის დროს კი მისი ქლორირებისა და პიდროქლორირების პროცესების გამოყოფა.

$H_2PtCl_6 \cdot 6H_2O$ -ის გახსნისას იზოპროპილის სპირტში ან ტეტრაკაპიდროფურანში მიმდინარეობს  $Pt(IV)$ -ის ნაწილობრივ აღდგენა  $Pt(II)$ -მდე შემდეგი სქემით [45,46]:



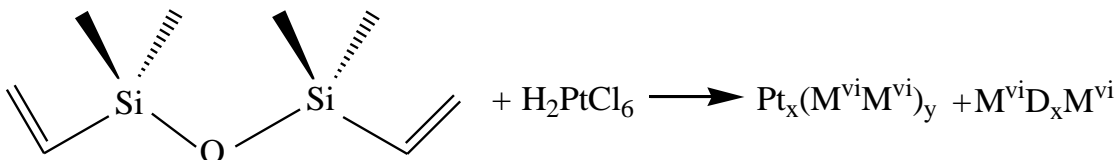
როგორც სქემიდან ჩანს  $H_2PtCl_6 \cdot 6H_2O$  ტეტრაკაპიდროფურანში გახსნისას განიცდის ცვლილებას: გამოიყოფა  $HCl$  და ტეტრაკაპიდროფურანში ხსნარიდან გაზურ-თხევადი ქრომატოგრაფიის საშუალებით იდენტიფიცირებულია 2-ქლორ-2,5-დიქლორტეტრაკაპიდროფურანი და 1-ქლორბუტანოლ-4. უფრო დრმად იქნა შესწავლილი ტეტრაკაპიდროფურანის ურთიერთქმედების რეაქციები დაშლილი პლატინის კატალიზატორის შუალედ პროცესებთან [47]:



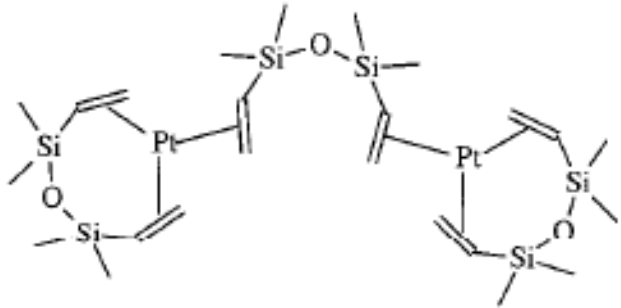


კატალიზატორის შენახვისას ადგილი აქვს Pt(IV)-ის ალდეჟნას Pt(0)-მდე, რომელიც შემდეგ გამოილექტირანტის საშუალებით დადგენილია, რომ იზოპროპანოლის და ტეტრაჰიდროფურანის ხელში არსებობს Pt(IV), Pt(III) და Pt(II) სახით.

პიდროსილილირების პროცესში გამოიყენება პლატინის კატალიზატორის სხვადასახვა სახის კომპლექსები. ერთ-ერთი კლასია Pt(0)-ოვანი კომპლექსი, რომელიც შეიცავს ვინილსილოქსანურ ლიგანდს [48,49]. ასეთი კატალიზატორის ტიპს მიეკუთვნება კარსტედის კატალიზატორი, რომელიც მიიღება დივინილტეტრამეთილდისილოქსანის ურთიერთქმედებით პლატინაქლორწყალბადმჟავასთან [50, 51]:

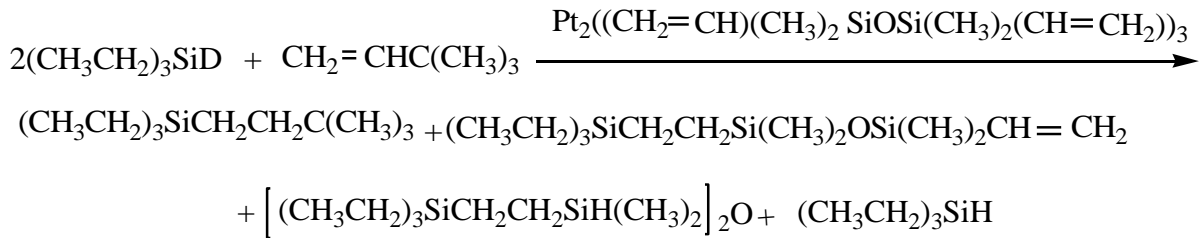


პლატინის კატალიზატორების მონაწილეობით მიმდინარე პიდროსილილირების რეაქციებისათვის ყველაზე მიღებულია ე.წ. ჩოლკ-ჰაროდის მექანიზმი, რომელიც შედგება ცალკეული ქანგვითი მიერთებისა და აღდგენითი ელიმინირების ელემენტარული საფეხურებისაგან [20,24,39,52-54]. მაგრამ არის რამოდენიმე ფაქტორი, რომლის ახსნაც არ ხერხდება ჩოლკ-ჰაროდის მექანიზმით, როგორიცაა: ინდუქციური პერიოდის ცვლადი სიდიდე, შეფერილი ნაწილაკების წარმოქმნა რეაქციის დამთავრების პირობებში და ა.შ. ამ ფაქტორების ასახსნელად მოწოდებული იყო პლატინის კატალიზატორების მონაწილეობით მიმდინარე პიდროსილილირების რეაქციების სხვადასხვა მექანიზმი, ერთ-ერთი მექანიზმი მოწოდებულ იქნა ლევისისა და მისი თანამშრომლების მიერ, რომელიც ემყარება პიდროსილილირების დროს კოლოიდების წარმოქმნას [50,55]. სწორედ კოლოიდების წარმოქმნით იქნა ახსნილი სისტემაში ფერადი ნაწილაკების წარმოქმნა. რაც შეეხება ინდუქციის პერიოდს, მისი ხანგრძლივობა დამოკიდებულია, როგორც კატალიზატორის ბუნებაზე, ასევე ოლეფინისა და სილანის სტრუქტურაზეც, რეაგენტებისა და გამოყენებული კატალიზატორის კონცენტრაციაზე. ამ დროს მიმდინარე პროცესების ასახსნელად შესწავლილ იქნა ოლეფინის რეაქციისუნარიანობა როგორც ინდივიდუალურად ასევე კონკურირებად რეაქციებში Pt(0)-ანი კომპლექსური კატალიზატორის გამოყენებისას. ატალიზატორად აღებულ იქნა კარსტედის კატალიზატორი, სადაც  $\text{M}^{\text{vinyl}}\text{M}^{\text{vinyl}} = (\text{H}_2\text{C}=\text{CH})-(\text{CH}_3)_2\text{-SiOSi-(CH}_3)_2\text{-(CH=CH}_2)$  [56]. ლაპერტისა და მისი თანამშრომლების მიერ მოწოდებულ იქნა კარსტედის კატალიზატორის სტრუქტურული აღნაგობა [57]:

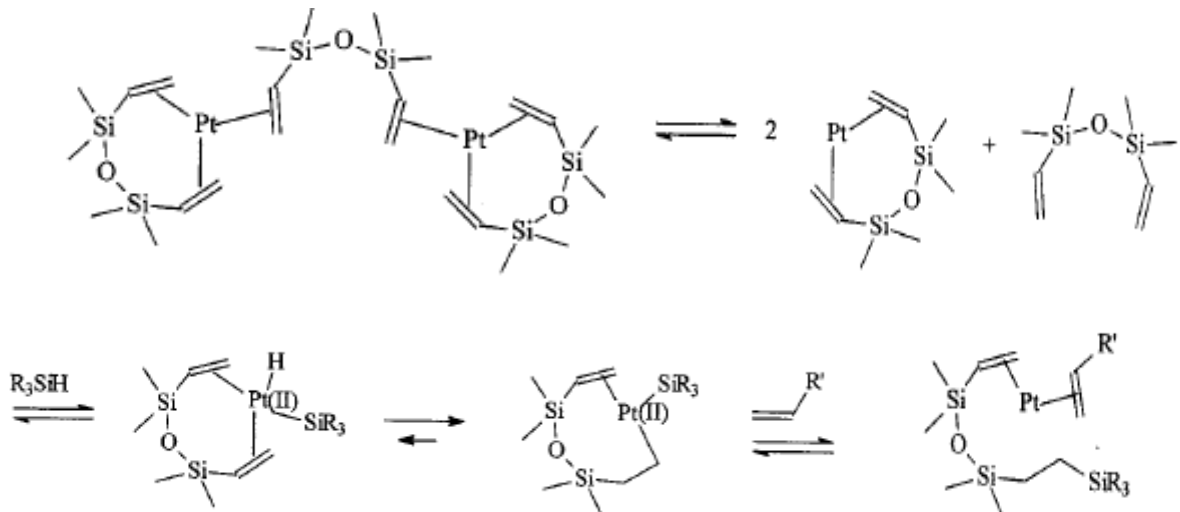


ინდივიდუალურ ექსპერიმენტში ექვიმოლური თანაფარდობით აიღეს მეტალბის(ტრიმეთილსილოქსი)სილანი და ოლეფინი. რეაქციის მიმდინარეობით დადგენილ იქნა რომ რეაქციის უნარიანობა მცირდება რიგში [58] ჰექსენილმეთილბის(ტრიმეთილსილოქსი)სილანი ( $MD_{hexenyl}M$ ) > ვინილმეთილბის(ტრიმეთილსილოქსი)სილანი ( $MD_{vinyl}M$ ) > ვინილპენტამეთილდისილოქსანი( $M^{vinyl}M^{vinyl}$ ) > დივინილტეტრამეთილდისილოქსანი ( $M^{vinyl}M^{vinyl}$ ), ხოლო როდესაც აიღეს ოლეფინის ორი მოლი ერთ მოლ ჰიდროსილანზე, მაშინ რეაქციის უნარიანობა შეიცვალა სრულიად საპირისპირო მიმართულებით: დივინილტეტრამეთილდისილოქსანი ( $M^{vinyl}M^{vinyl}$ ) > ვინილპენტამეთილდისილოქსანი ( $M^{vinyl}M$ ) > ( $MD_{vinyl}M$ ) ვინილმეთილბის(ტრიმეთილსილოქსი)სილანი > ჰექსენილმეთილბის(ტრიმეთილსილოქსი)სილანი ( $MD_{hexenyl}M$ ) > ვინილ(ტრიმეთილსილონი)სილანი ( $M_3T^{vinyl}$ ).

მიღებული შედეგები იმის მაჩვენებელია, რომ ჰიდროსილილირებისას ინდუქციური პერიოდის დროს ადგილი აქვს გამოყენებული კატალიზატორის ლიგანდის ურთიერთქმედებას დამატებულ ოლეფინთან:



ჰიდროსილილირების რეაქციაში ინდუქციური პერიოდის დადგომისას კარსტებდის კატალიზატორის სტრუქტურის ცვლილება შეიძლება გამოისახოს შემდეგი სქემის მიხედვით:



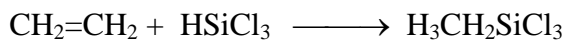
უფრო ეფექტურ ბ-მათრიენტირებელ კატალიზატორებს წარმოადგენენ ტრიეთილამინი [59], ტრიფენილფოსფინი [60], დიმეთილფორმამიდი [61,62] და დიეთილამინოტრიეთილსილანი [63,64] α-იზომერის წარმოქმნას ხელს უწყობს პირიდინის კომპლექსები ნიკელის ქლორიდთან [59].

დიპლატინის კომპლექსის თანაობისას  $\left[\text{Pt}(\text{SiR}_3)(\mu-\text{H})[(\text{C}_6\text{H}_{11})_3\text{P}]\right]_2$  მიმდინარე ჰიდროსილილირების რეაქციებისას გამოსავალი ზოგადად უფრო დიდია, ვიდრე ისეთი კატალიზატორების გამოყენებისას, როგორიცაა  $\text{H}_2\text{PtCl}_6$ ,  $\text{Pt/C}$ ,  $\text{Pt}/\gamma\text{-Al}_2\text{O}_3$ ,  $[\text{Fe}(\text{CO})_5]$  და ა.შ. ასევე აღნიშნული კატალიზატორების ინდუქციის პერიოდი ბევრად უფრო მცირეა. თუმცა აღსანიშნავია, რომ კატალიზატორად  $\left[\text{Pt}(\text{SiR}_3)(\mu-\text{H})[(\text{C}_6\text{H}_{11})_3\text{P}]\right]_2$  დიპლატინის კომპლექსის გამოყენებისას ადგილი აქვს ბოლო ნახშირბადთან არსებული ორმაგი ბმის შემცველი ოლეფინების იზომერიზაციას, რომლის სიღრმეც ტემპერატურის ზრდასთან ერთად იზრდება. იზომერიზაცია შეიძლება წარიმართოს კომპლექსის დაშლით და თავისუფალი პლატინის წარმოქმნით.

### 13. C=C ბმის შემცველი მონომერების ჰიდროსილილირება

C=C ბმის ჰიდროსილილირების რეაქციები მიმდინარეობს სხვადასხვა კატალიზატორების თანაობისას, თუმცა ასევე შეიძლება წარიმართოს თერმული და ფოტოქიმიური ინიცირებითაც.

ტრიქლორსილანის ეთილენთან თერმული მიერთების რეაქცია იოლად მიმდინარეობს  $280^{\circ}\text{C}$ -ზე წნევის ქვეშ:

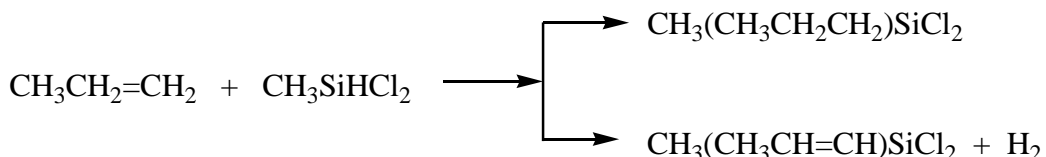


რეაქციის ჩატარებისას 35 საათის განმავლობაში ეთილტრიქლორსილანის გამოსავალი შეადგენს დაახლოებით 60%-ს [26,27].

ტრიქლორსილანის კატალიზური მიერთება პროპილენთან მიმდინარეობს ისევე იოლად, როგორც ეთილენის შემთხვევაში რეაქციის ინიცირებისას  $\gamma$ -გამოსხივებით პროპილტრიქლორსილანის გამოსავალი შეადგენს 70% [65]:

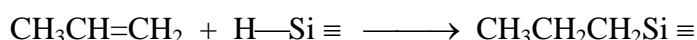


მეთილდიქლორსილანის პროპილენთან მიერთების დროს კოლოიდური რეაქციის და რკინის კარბონილის [66] გამოყენების შემთხვევაში მიერთების რეაქცია კონკრიტულებს დეპიდროკონდენსაციის რეაქციასთან:

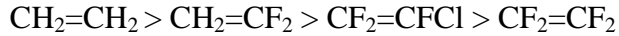


სპაიერის კატალიზატორის გამოყენებისას მეთილდიქლორსილანი უერთდება პროპილენს ოთახის ტემპერატურაზე  $\text{CH}_3(\text{C}_3\text{H}_7)\text{SiCl}_2$ -ის 92% გამოსავლით [33].

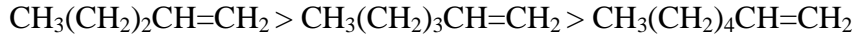
პროპილენთან მიერთების შველა რეაქცია მიმდინარეობს ფარმერის წესის თანახმად - წარმოიქმნება პროპილსილანები პროპილის რადიკალის ნორმალური აღნაგობით:



ჩანაცვლებულ ოლეფინებთან მიერთების რეაქციის დროს, რომელიც კატალიზება  $H_2PtCl_6$ -ით, შეიმჩნევა რეაქციის სიჩქარის შემცირება წყალბადის ატომის ელექტროუარყოფითი ჯგუფებით ჩანაცვლებისას რიგში [33,34]:



ასევე აღსანიშნავია, რომ 1-ალკენების შემთხვევაში ჯაჭვის ზრდასთან ერთად  $C=C$  ბმის რეაქციისუნარიანობა და რეაქციის სიჩქარე  $H_2PtCl_6$ -ის თანაობისას მცირდება შემდეგი რიგის მიხედვით [70] :

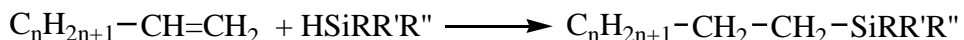


პიდროსილილირების რეაქციის მიმართულებას, კატალიზატორის და უჯერი ნაერთის ბუნებასთან ერთად, განსაზღვრავს სილიციუმის ატომის მუხტი და მასთან მდგომი ჯგუფების ბუნება. გარდამავალი მეტალების კომპლექსების თანაობისას მიმდინარე პიდროსილილირების რეაქციების დროს ჩამნაცვლებელი ჯგუფების ინდუქციური, სტერიული და მეზომერული ეფექტები გავლენას ახდენენ მეტალი - სილიციუმი ბმის წარმოქმნაზე, რომელსაც სავარაუდოდ ადგილი აქვს შუალედური კომპლექსის წარმოქმნისას. სილიციუმთან დაკავშირებული ელექტროდონორული ჯგუფები ასტაბილურებს სილიციუმი - მეტალის შუალედურ კომპლექსს, ეს კარგად ჩანს ჰეპტენ-1-ის სხვადასხვა სილანებთან პიდრიდული მიერთების რეაქციების სიჩქარის მუდმივას ფარდობითი მნიშვნელობებიდან [22,71,72]:



$k_{\text{ფარდ.}}$	3.00	2.64	1.94	1.00

შესწავლილია ჰექსენ-1-ის, ჰეპტენ-1-ის და დეცენ-1-ის პიდროსილილირების რეაქციები სხვადასხვა სილანებთან, როგორც კატალიზატორ  $H_2PtCl_6$ -ის და  $Pt/C$  თანაობისას, ასევე თერმული ინიცირებით ( $280^{\circ}\text{C}$ ). რეაქციები აღნიშნულ შემთხვევებში მიმდინარეობს ფარმერის წესის თანახმად [73-75] :



სადაც  $n=4, 5, 8$   $R=Cl, Ph, Me$

შესწავლილია [76] ჰექსენ-1-ის და სტიროლის პიდრიდული მიერთების რეაქციები  $PhSiH_3$ -თან ნიკელ (II)-ის ინდენილური კომპლექსების თანაობისას. რეაქციის გამოსავალი შეადგენს 50-80%-ს. მიდებული პროდუქტები წარმოადგენენ რეგიო- და სტერეოიზომერების ნარევს.

შესწავლილია [77] ჰექსენ-1-ის ასიმეტრიული პიდროსილილირების რეაქციები დიეთოლმეთილსილანთან და ტრიმეთილსილანთან ტრანს-დიქლორ(ეთილენ)პირიდინ  $Pt(II)$ -ის თანაობისას. დადგენილია, რომ ჰექსენ-1-ის პიდრიდული მიერთების რეაქცია 1,1-დიჩანაცვლებული ოლეფინებისაგან (მაგალითად ა-მეთილსტიროლი) განსხვავებით მიმდინარეობს დაბალ ტემპერატურაზე დიდი გამოსავლით [78].

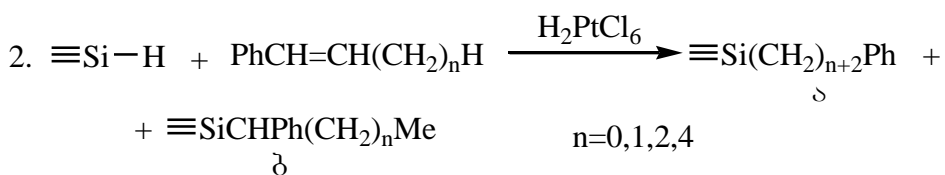
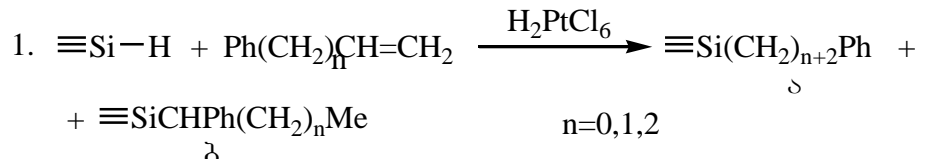
ცნობილია, რომ ვინილური ჯგუფის შემცველი ოლეფინები სიმეტრიულად ან არასიმეტრიულად მიუერთდებიან პიდრიდსილანს პლატინის ნაერთების კატალიზატორების თანაობისას, თუმცა ასევე შეიძლება პიდროსილილირება წარიმართოს ზეჟანგის მოქმედებით ან ულტრაიისფერი სხივების დასხივებით [23,77].

პიდროსილილირების რეგიო- და სტერეოსელექტიურობის კონტროლი, რეაქციის ტემპერატურისა და დროის შემცირება, ასევე გამოსავლის გაზრდა შესაძლებელია სხვადასხვა კატალიზატორის გამოყენებით [19,22].

შესწავლილია სხვადასხვა აღნაგობის ციკლოოლეფინების პიდროსილილირების რეაქციები  $HSiCl_3$ ,  $CH_3SiHCl_2$ -სა და  $C_6H_5SiH_3$ -თან. აგტორების მიერ კატალიზატორ-

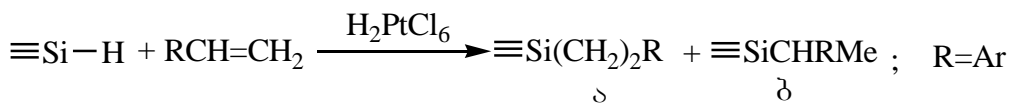
რად გამოყენებული იყო სამკომპონენტიანი სისტემები, რომლების შეიცავენ ნიკელის, მოლიბდენისა და ვანადიუმის ხელატურ კომპლექსებს ტრიეთოლფოსფინსა და ტრიეთოლალუმინოანის მსგავსი ტიპის კატალიზატორებს წარმატებით იყენებენ შეუდღებული დიენების ჰიდროსილიორების პროცესში [79-82].

სპაიერის და მისი თანამშრომლების მიერ შესწავლილ იქნა [83] ფენილალკინების ურთიერთქმედება (ზოგადი ფორმულით:  $\text{Ph}(\text{CH}_2)_n\text{CH}=\text{CH}_2$  ან  $\text{PhCH}=\text{CH}(\text{CH}_2)_n\text{H}$ , სადაც  $n = 0 \div 4$ ) სხვადასხვა ჰიდროსილანებთან ჰლატინაქლორწყალბადმჟავას თანაობისას:



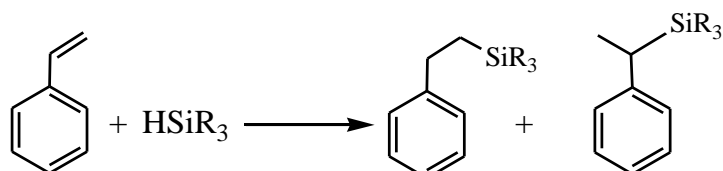
ორივე შემთხვევაში მიერთება მიმდინარეობს ორი ა და ბ პროდუქტის წარმოქმნით. ა და ბ პროდუქტების რაოდენობრივი თანაფარდობა დამოკიდებულია, როგორც ოლეფინების ბუნებაზე, ასევე ჰიდროსილანების ჩამნაცვლებლებზე.

აგრეთვე დაწვრილებით არის შესწავლილი ბენზოლის ბირთვების ჩამნაცვლებლების გავლენა ა და ბ ადუქტების გამოსავალზე [83]:



ჩერნიშევისა და მისი თანამშრომლების [84] მიერ შესწავლილია არილფტორისილანების რეაქციისუნარიანობა. აღმოჩნდა, რომ ფენილდიფტორისილანი იძლევა მიერთების ორივე პროდუქტს, უპირატესად  $\alpha$ -იზომერის სახით, ხოლო დიფენილფტორისილანის შემთხვევაში თანაბარი რაოდენობით მიიღება როგორც  $\alpha$ -, ასევე  $\beta$ -იზომერები. ამ პროცესების მიმდინარეობაში მნიშვნელოვან როლს ასრულებს ვეილის ეფექტი და სტერიული ფაქტორები. ქლორწარმოებულებთან შედარებით აღინიშნება ფტორჰიდროსილანების დიდი რეაქციისუნარიანობა.

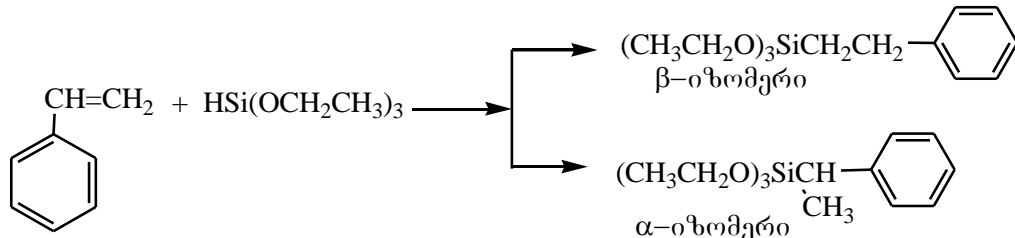
აღსანიშნავია, რომ სტეროლი განსაკუთრებით აქტიურია ჰიდროსილილირების რეაქციებში, პროცესი ხშირად მიმდინარეობს ოთახის ტემპერატურაზე. კატალიზატორებად გამოიყენება Pt, Pd, Rh და Ni-ის ნაერთები. გამოყენებული სილანის ტიპის მიხედვით ჰიდროსილანის მიერთება შეიძლება წარიმართოს ორმაგ ბმასთან მდგომ როგორც  $\alpha$ -, ისევე  $\beta$ -ნახშირბადთან [85]:



$\text{H}_2\text{PtCl}_6 \cdot 6\text{H}_2\text{O}$ -ის თანაობისას ტრიმეთოლქლორისილანი განსაკუთრებულად ურთიერთქმედებს სტეროლის კიდურა ნახშირბადის ატომთან, მაშინ როდესაც მეთილან ეთოლდიქლორისილანი უერთდება ორმაგ ბმასთან მდგომ, როგორც ერთ, ისევე

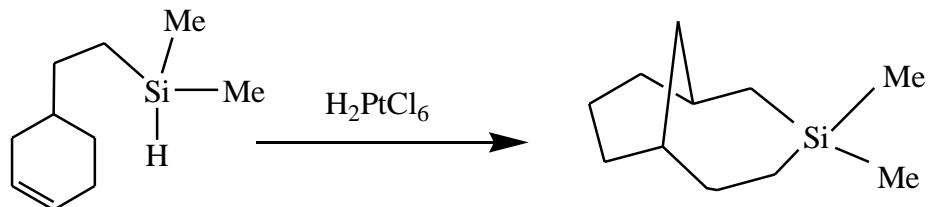
მეორე ნახშირბადის ატომს [41,86] ფენილდიქლორსილიური ჯგუფი უერთდება მხოლოდ კიდურა ნახშირბადის ატომს.

ავტორების მიერ [87] შესწავლილია სტიროლის ურთიერთქმედება ტრიეთოქსილანთან კარსტედის კატალიზატორის თანაობისას. დადგენილია, რომ რეაქცია მიმდინარეობს ორი მიმართულებით, α- და β-იზომერის წარმოქმნით, ამასთან პროდუქტებს შორის თანაფარდობა შეადგენს 39:61:



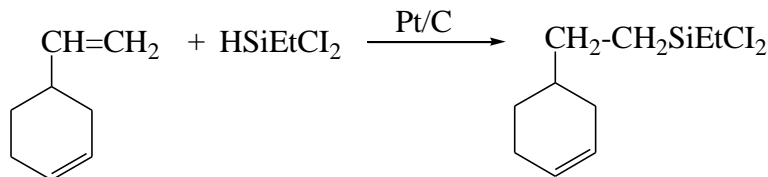
სილიციუმორგანული ოლიგომერების სინთეზისას შემჩნეულ იქნა, რომ ოლიგომერებთან ერთად ადგილი ჰქონდა უმნიშვნელო რაოდენობით ციკლური ნაერთების მიღებას, რის საფუძველზეც დადგენილ იქნა, რომ ჰიდროსილილირების მიმდინარეობისას ადგილი ჰქონდა შიგამოლექულურ ჰიდროსილილირებასაც [88-90].

იურევისა და მისი თანამშრომლების მიერ ჩატარებულ იქნა ვინილციკლოპექსენდიმეთილსილანის შიგამოლექულური ჰიდროსილილირება  $80^{\circ}\text{C}$  ტემპერატურაზე, რეაციას ატარებდნენ 8 საათის განმავლობაში. მიღებულ იქნა 1,1-დიმეთილ-1-სილაციკლო-3,3,1-ოონანი 70%-იანი გამოსავლით:



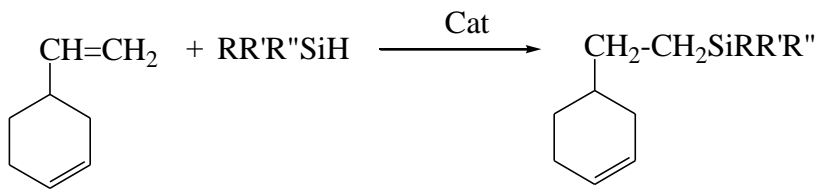
ამრიგად, უნდა აღინიშნოს რომ მოლექულათშორის ჰიდროსილილირებასთან ერთად შეიძლება ადგილი ჰქონდეს შიგამოლექულურ ჰიდროსილილირებასაც.

არაშეუდლებული დიენების ჰიდროსილილირების შესახებ ჰეტროვისა და მისი თანამშრომლების მიერ შესწავლილ იქნა 4-ვინილ-1-ციკლოპექსენთან ეთილდიქლორსილანის ჰიდროსილილირების რეაქცია Pt/C კატალიზატორის თანაობისას,  $180^{\circ}\text{C}$  ტემპერატურაზე. ამ დროს 2-(4-ციკლოპექსენილ) ეთილდიქლორსილანის გამოსავალი შეადგენდა 81% [91] რეაქცია მიმდინარეობს შემდეგი სქემით:



ხოლო კატალიზატორად პლატინაქლორწყალბადმჟავას გამოყენებისას ჰიდროსილილირების რეაქცია მიმდინარეობს უფრო დაბალ ტემპერატურაზე ( $100^{\circ}\text{C}$ ) 3 საათის განმავლობაში [23, 91].

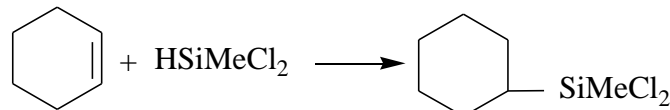
ვ. იურიევის და მისი თანამშრომლების მიერ შესწავლილია 4-ვინილ-1-ციკლოპექსენთან ტრიორგანოპიდრიდსილანების ჰიდროსილილირების რეაქციები სამკომპონენტიანი ხელატური კატალიზატორების თანაობისას, როგორიცაა Ni, Mo, V, ტრიფენილფოსფინი და ტრიეთოლალუმინი. რეაქცია ამ დროს მიმდინარეობს ვინილის ჯგუფის ხარჯზე შემდეგი სქემის მიხედვით [92]:



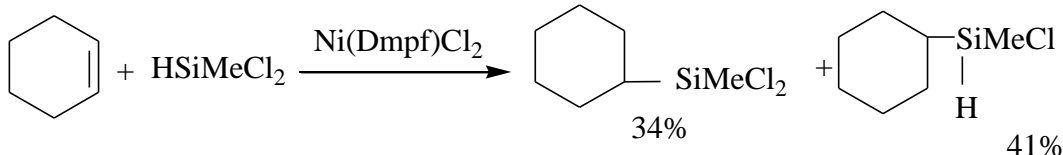
დადგენილია, რომ მიერთების ადუქტის გამოსავლიანობა იცვლება ხელატური კომპლექსის აგებულებისა და მეტალის ტიპის მიხედვით.

დადგენილია, რომ 4-ვინილ-1-ციკლოპექსენის ჰიდროსილილირება ჰიდრიდორგანოქლორისილანებით პლატინის კატალიზატორების თანაობისას მიმდინარეობს მონოსილილ წარმოებულების წარმოქმნით. იგივე მონოსილილ წარმოებულებზე ჰიდრიდორგანოქლორისილანებით პლატინის კატალიზატორების თანაობისას ციკლში არსებული ორმაგი ბმაც განიცდის ჰიდროსილირებას და მიიღება დისილილ წარმოებულები მაღალი გამოსავლით.

1957 წ. სხვადასხვა ავტორების, პეტროვისა და სპაიერის მიერ ერთდროულად იქნა მოწოდებული ციკლოპექსენის ჰიდრდული მიერთების რეაქცია დიმეთილქლორისილანთან [23,91]. ჰიდროსილილირება ჩატარებულ იქნა, როგორც ნახშირბაზე დაფენილი პლატინის კატალიზატორის, ასევე პლატინაქლორწყალბადმჟავას თანაობისას. პირველ შემთხვევაში რეაქციას ატარებდნენ  $220^{\circ}\text{C}$  ტემპერატურაზე 6 საათის განმავლობაში და გამოსავალი შეადგენდა 20%-ს, ხოლო კატალიზატორ - პლატინაქლორწყალბადმჟავას გამოყენებისას რეაქცია მიმდინარეობს უფრო დაბალ ტემპერატურაზე. რეაქცია გამოისახება შემდეგი სქემით:

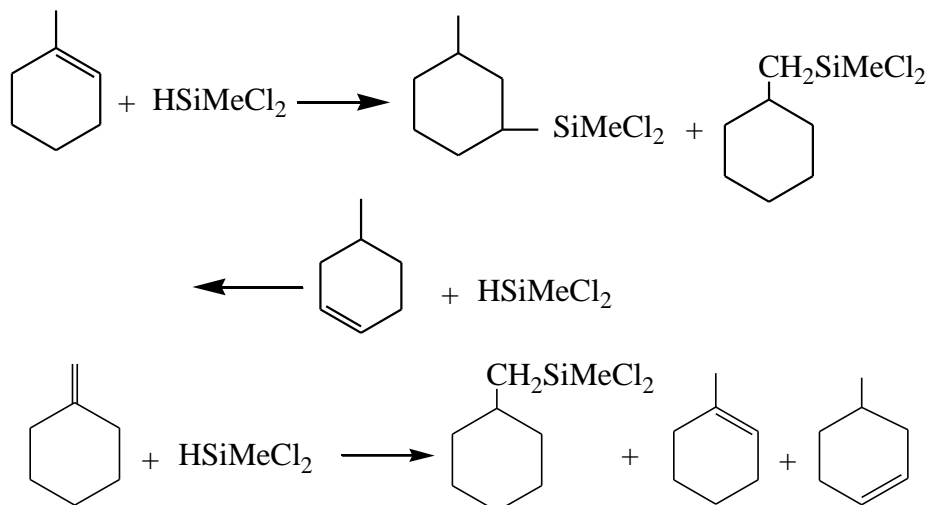


ციკლოპექსენის მეთილდიქლორისილანთან მიერთების რეაქცია ჩატარებულ იქნა სხვადასხვა კატალიზატორების გამოყენებით, კერძოდ ნიკელის კომპლექსური კატალიზატორის თანაობისას რეაქცია მიმდინარეობს სხვადასხვა პროდუქტების გამოყოფით [93]:

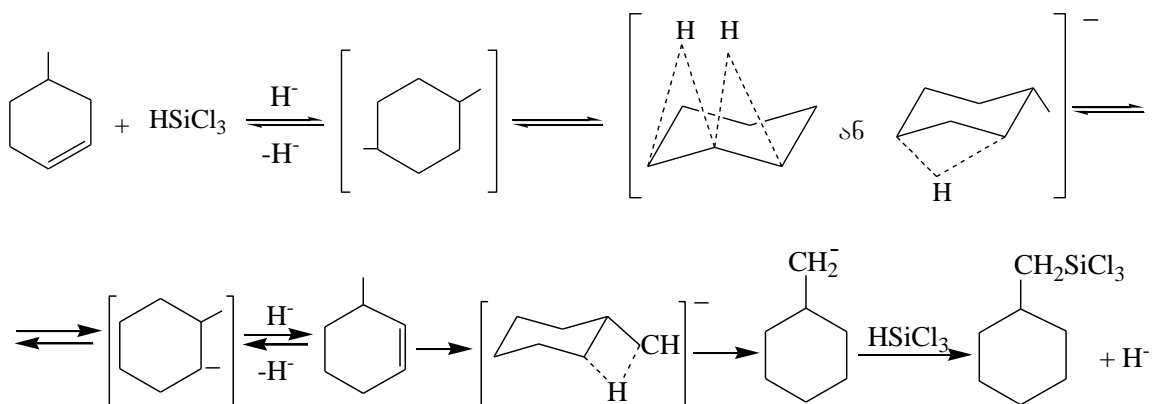


განსხვავებით პლატინის კატალიზატორებისაგან ამ შემთხვევაში ადგილი აქვს დამატებით დისპროპორციონირების შედეგად მიღებული პროდუქტის გამოყოფას 41%-იანი გამოსავლიანობით.

საინტერესო გადაჯგუფებებს აქვს ადგილი ალილციკლოპექსენის ჰიდროსილირებისას. 1-მეთილციკლოპექსენისა და 4-მეთილციკლოპექსენის ურთიერთქმედებით მეთილდიქლორისილანთან, კატალიზატორ პლატინაქლორწყალბადმჟავას თანაობისას მიიღება, როგორც ბირთვის ჰიდროსილილირების, ასევე იზომერიზაციის შედეგად წარმოქმნილი პროდუქტი [86]:

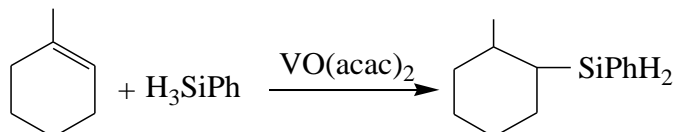


ავტორების [94] მიერ შესწავლიდ იქნა 1- და 4-მეთილციკლოპექსენის ჰიდროსილილირება ტრიქლორსილანთან და დადგენილი იქნა, რომ ამ დროს ადგილი აქვს მხოლოდ იზომერიზაციის რეაქციებს. ავტორების მიერ მოწოდებული მექანიზმი გამოსახულია სქემაზე:

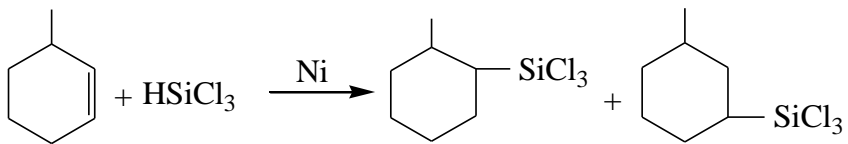


უნდა აღინიშნოს, რომ რეაქცია 4-მეთილციკლოპექსენთან მიმდინარეობს გაცილებით უფრო ნელა, ვიდრე 1-მეთილციკლოპექსენის შემთხვევაში, რასაც განაპირობებს მათი განსხვავებული ინდუქციური პერიოდი.

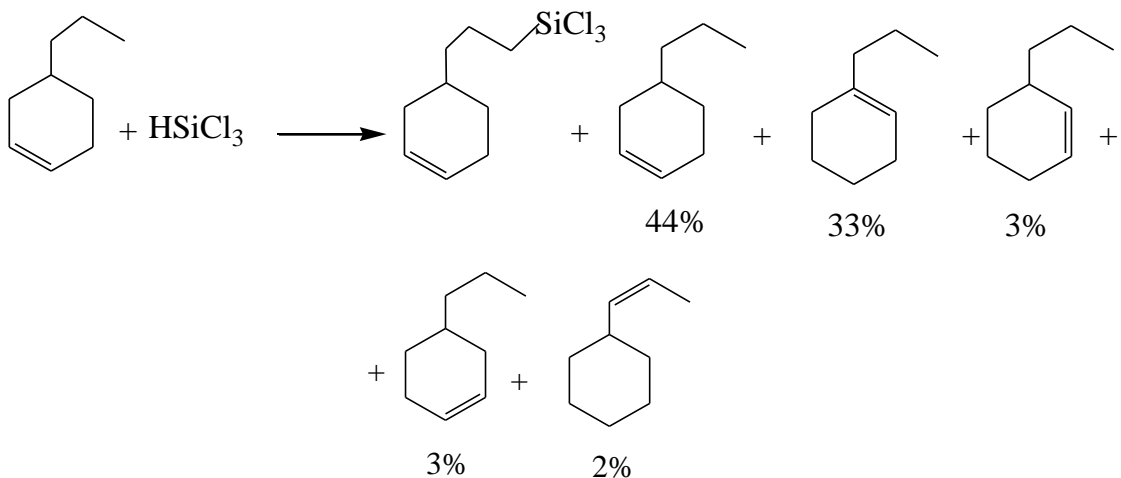
ხოლო რაც შეეხება მეთილციკლოპექსენის ჰიდროსილილირებას ნიკელისა და ვანადიუმის კატალიზატორების თანაობისას, ნაჩვენებია რომ ჰიდროსილილირება მიმიდინარეობს პრაქტიკულად იზომერიზაციის გარეშე. მაგალითად, 1-მეთილციკლოპექსენის ჰიდრიდული მიერთებისას ფენილსილანთან კატალიზატორად – ვანადიუმის ოქსიდის აცეტალაცეტატის გამოყენებისას ჰიდრიდული მიერთების რეაქცია მიმდინარეობს იზომერიზაციის გარეშე:



ნიკელის კატალიზატორის გამოყენებისას კი 3-მეთილციკლოპექსენის მიერთება ტრიქლორსილანთან მიმდინარეობს შემდეგი სქემის მიხედვით:

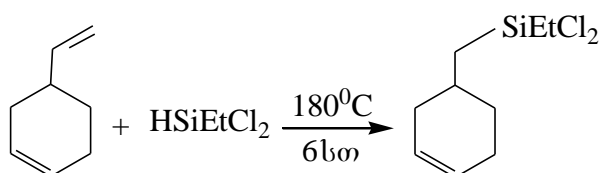


ამერიკელი ავტორების ბენკესერისა და დანის მიერ აღწერილია [95] პროპილ-ციკლოპექსანის ჰიდროსილილირების რეაქცია და ნაჩვენებია, რომ ამ დროს ადგილი აქვს ერთდროულად რამოდენიმე პროდუქტის მიღებას შემდეგი პროცენტული შემცველობით:

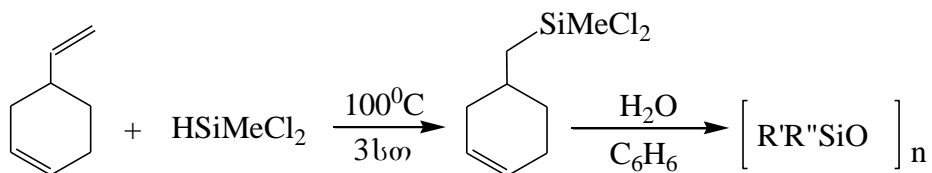


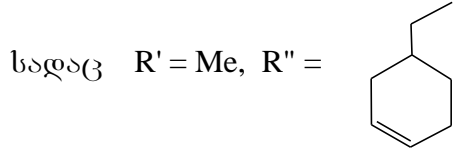
კალვების შედეგად დადგენილია, რომ ფენილხანაცვლებული სილოქსიმეთოლენციკლოპექსანების რეაქციისუნარიანობა მცირდება მწვრივში:  $\text{HSiMe}_2\text{Ph} > \text{HSiMePh}_2 > \text{HSiPh}_3$ .

ავტორების მიერ [91] ნაჩვენებია რომ, როდესაც ციკლოპექსენის ბირთვში ჩანაცვლებულია ვინილის ჯგუფის შემცველი რადიკალი, მაშინ ჰიდროსილილრება მიმდინარეობს არა ბირთვში შემავალი ორმაგი ბმის, არამედ ვინილის ჯგუფის ხარჯზე. კერძოდ, შესწავლილ იქნა ვინილციკლოპექსენის ეთილდიქლორსილანთან ჰიდრიდული მიერთების რეაქცია ნახშირბადზე დაფენილი პლატინის კატალიზატორის თანაობისას და მიღებულ იქნა 2-(4-ციკლოპექსენილ)ეთილდიქლორეთილსილანი 81%-იანი გამოსავლიანობით:

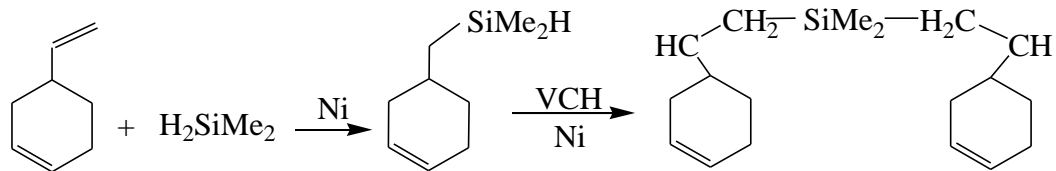


ხოლო კატალიზატორად პლატინაქლორწყალბადმჟავას გამოყენება ვინილციკლოპექსენის მეთილდიქლორსილანთან ჰიდროსილილირებისას საშუალებას იძლევა ჰიდროსილილირება ჩატარდეს უფრო დაბალ ტემპერატურაზე, ხოლო სინთეზირებული პროდუქტი შესაძლებელია გარდაიქმნას ციკლურ სილოქსანად [44] ანალოგიურად მიმდინარეობს ჰიდროსილილირება დიმეთილქლორსილანსა და ტრიეთოქსილანთან გამოსავალი პროდუქტების მაღალი გამოსავლიანობით [96,97]:





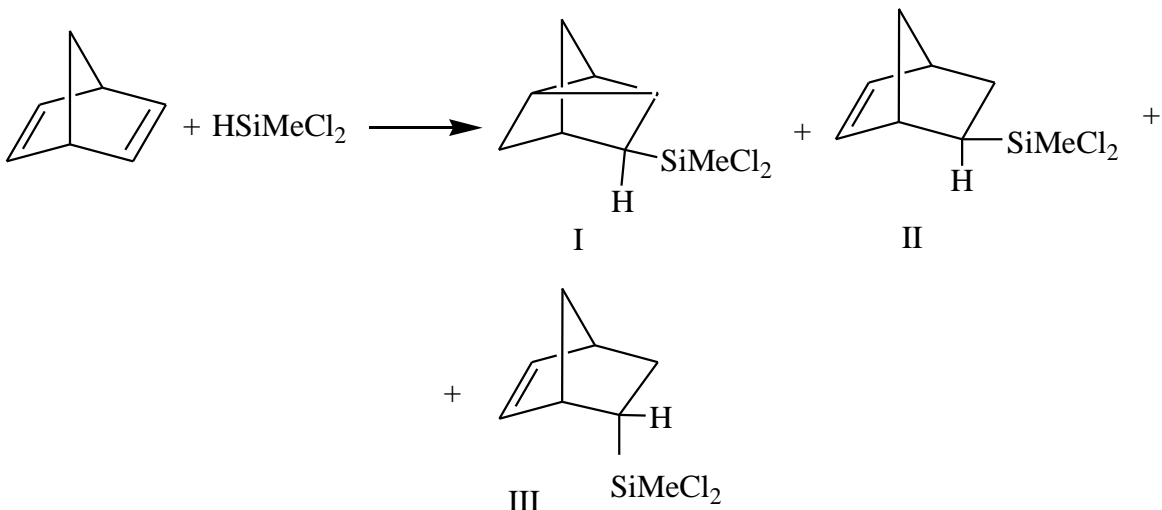
პეტროვისა და მისი თანამშრომლების მიერ შესწავლით იქნა ვინილციკლოპენების ჰიდროსილილირება დიმეთილსილანთან, კატალიზატორად აღებული იყო სისტემა  $Ni(acac)_2 + AlEt_3 + \text{ტრიფენილფოსფინი}$ , მიღებულ იქნა 1-დიმეთილსილი-2-(4-ციკლოპენენილ)ეთანი. ამ შემთხვევაში მონოადუქტი თვითონ გვევლინება მაპიდროსილილირებული აგენტის როლში, რომლის ურთიერთქმედებას ვინილციკლოპენენთან მივყავართ 90%-იანი გამოსავლიანობით ბისადუქტის მიღებამდე:



ლიტერატურიდან ცნობილია, რომ ვინილციკლოპენენის ჰიდროსილილირება ტრიმეთილსილანთან საერთოდ არ მიმდინარეობს კატალიზატორის ნიკელისა და განადიუმშემცველი სისტემების თანაობისას [98].

ჰიდროსილილირების რეაქციის მიმართულებას კატალიზატორის და უჯერი ნაერთის ბუნების გარდა განსაზღვრავს სილიციუმის ატომის მუხტი და მასთან მდგომი ჯგუფების ბუნება. გარდამავალი მეტალების კომპლექსების თანაობისას მიმდინარე ჰიდროსილილირების რეაქციების დროს ჩამნაცვლებული ჯგუფების ინდუქციური, სტერიული და მეზომერული ეფექტების გავლენას ახდენს მეტალი – სილიციუმის ბმის წრმოქმნაზე, რომელსაც სავარაუდოდ აღილი აქვს შუალედური კომპლექსის წარმოქმნისას.

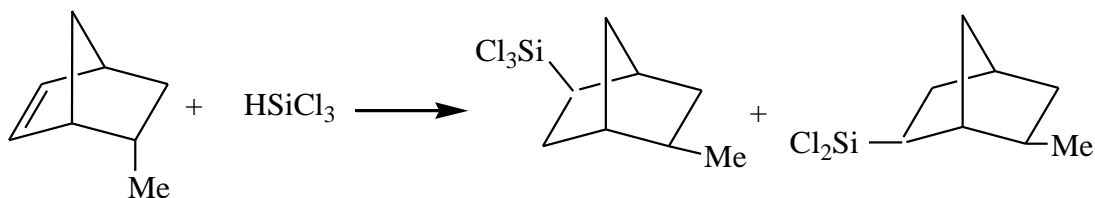
ავტორების მიერ შესწავლით ნორბორნადიენის [99] ჰიდროსილილირება მეთოლდიქლორსილანთან სხვადასხვა კატალიზატორების, კერძოდ ნახშირბადზე დაფენილი პლატინისა და პლატინაქლორწყალბადმჟავას თანაობისას. რეაქცია მიმდინარეობს შემდეგი სქემის მიხედვით:



ორივე კატალიზატორის შემთხვევაში რეაქციას ატარებდნენ  $50-60^{\circ}\text{C}$  ტემპერატურაზე და რაექციების შედარებამ აჩვენა, რომ  $Pt/C$  და  $H_2PtCl_6$  ახდენენ სრულიად განსხვავეულ გავლენას რეაქციის მიმდინარეობაზე. აღმოჩნდა რომ პლატინაქლორწყალბადმჟავას თანაობისას ყველაზე მეტი გამოსავლიანობით მიიღებოდა III პრო-

დუქტი, ხოლო Pt/C-ს შემთხვევაში 94%-იანი გამოსავლიანობით მიღებოდა I პროდუქტი და საერთოდ არ ქონდა ადგილი II პროდუქტის მიღებას. ასევე ჰიდროსილირება ჩატარებულ იქნა ტრიმეთილსილანთან 175 - 200°C ტემპერატურის ფარგლებში და ადსანიშნავია, რომ ამ შემთხვევაში მიღებული პროდუქტების გამოსავლიანობა გაცილებით მცირეა, ვიდრე მეთილდიქლორსილანთან ჰიდროსილირების დროს.

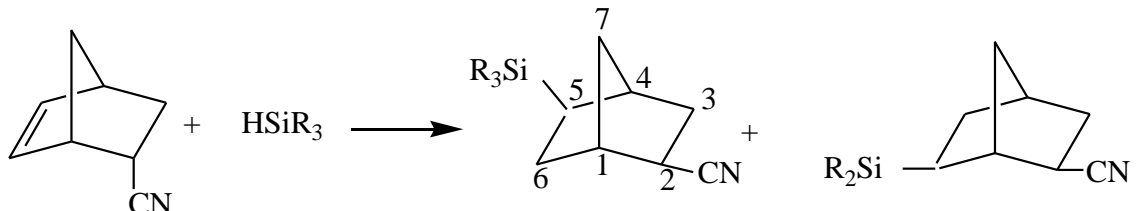
ავტორების მიერ შესწავლილია [92] ენდო-5-მეთილნორბორნენის ჰიდროსილირება ტრიქლორსილანთან კატალიზატორ-ნიკელის აცეტალაცეტატისა და ტრიფენილფოსფინის თანაობისას. რეაქციას ატარებდნენ 100°C ტემპერატურაზე 7 საათის განმავლობაში. მიღება ენდო-2-მეთილ-5 და ენდო-2-მეთილ-6-ეგზ(ტრიქლორსილილ)ბიციკლო-[2,2,1]-პეპტანი.



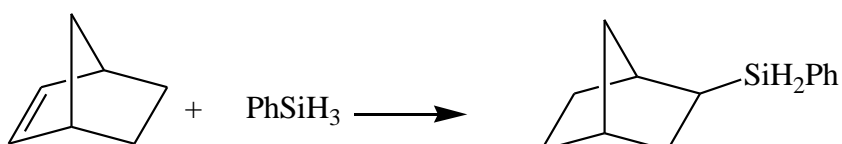
მიღებული ნივთიერების შედგენილობა დადასტურდა ბმრ სპექტრით [100] საიდანაც ასევე დადგინდა რომ, ნორბორნილის რადიკალის შემცველ ნაერთებთან რეაქცია არის სტერეოსელექტიური.

პოლარული ოლეფინების ჰიდროსილირების სტერეოქიმია შესწავლილ იქნა ენდო- და ეგზ- ციანნორბორნენის ჰიდროსილირების მაგალითზე ნიკელის კატალიზატორის თანაობისას.

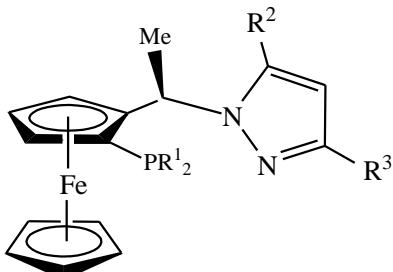
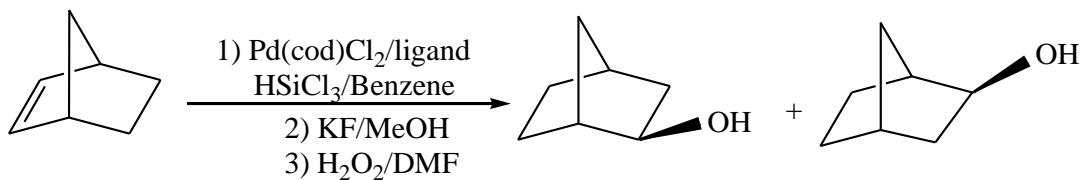
ენდოციანნორბორნენის ჰიდროსილირება მიმდინარეობს მაღალი კონვერსიით (82%) და რაოდენიბითი გამოსავლით მიღებულ იქნა ორი იზომერი თანაფარდობით 11:10:



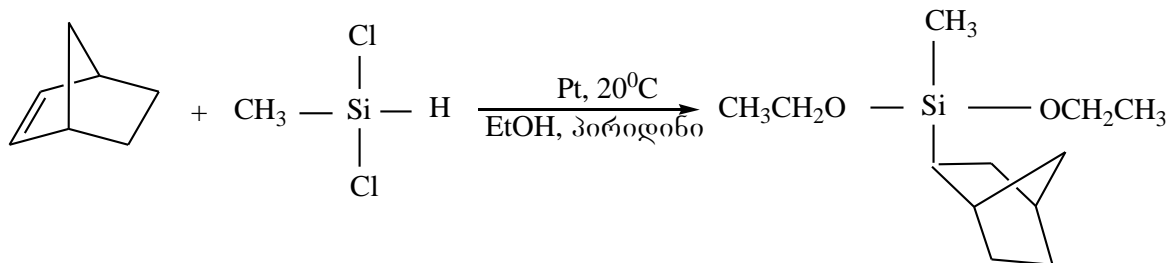
გარდა პლატინის კატალიზატორის მონაწილეობით მიმდინარე რეაქციებისა, ასევე შესწავლილია ნორბორნენის ჰიდროსილირება ფენილსილანთან იტრიუმის კომპლექსური კატალიზატორის მონაწილეობით  $\{[\text{DADMB}]\text{YH}(\text{THF})\}_2$ , სადაც ლიგანდად აღებულია 2,2-ბის(ტეტრაბუტილმეთილსილილამიდო)-6,6-დიმეთილბიფენილი. რეაქცია მიმდინარეობს 90%-იანი გამოსავლით [101]:



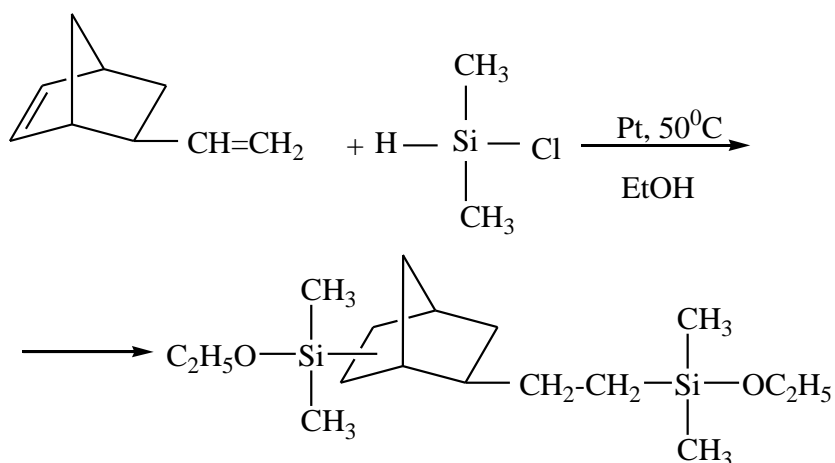
პლატინისა და ტონის მიერ შესწავლილია ნორბორნენის ჰიდროსილირება პლატინის კომპლექსური კატალიზატორის თანაობისას, სადაც ლიგანდებად გამოყენებულ იყო ქირალური ნახშირბადატომის შემცველი ფეროცენები, რომელიც დონორის სახით შეიცავდა პირაზოლსა და ფოსფინს, რეაქციას ატარებდნენ სხვადასხვა ტემპერატურაზე კატალიზატორის 0,1% ოდენტით:



ავტორების მიერ შესწავლით მეთილდიქლორსილანის ურთიერთქმედება ნორბორნენთან პლატინის კატალიზატორის თანაობისას. რეაქციას ატარებდნენ ოთახის ტემპერატურაზე 24 საათის განმავლობაში ეთილის სპირტის არეში, რეაქციის საბოლოო პროდუქტი იყო მეთილნორბორნენდიეთოქსილანი:

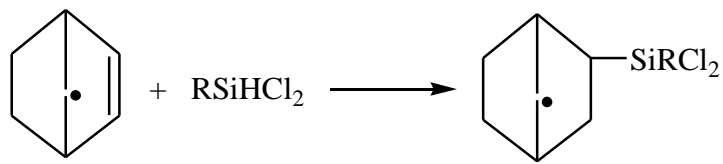


ასევე შესწავლით ვინილნორბორნენის ჰიდრისილილირება 50°C-ზე პლატინის კატალიზატორის თანაობისას, ნარევს აცხელებდნენ 4 დღის განმავლობაში, რეაქციას ატარებდნენ აზოტის არეში:



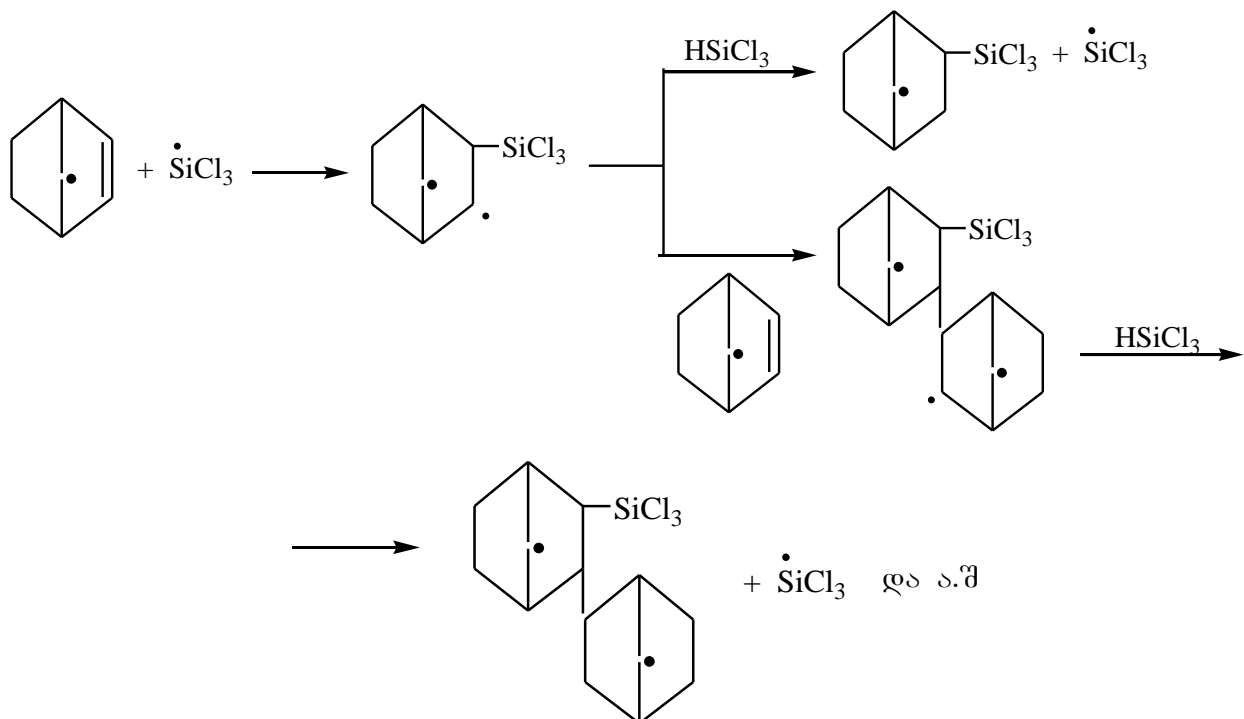
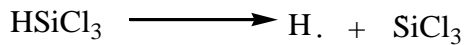
ა.დ. პეტროვისა და სხვა ავტორების მიერ [34] შესწავლით იქნა სილიციუმქიდრიდების უჯერ ბიციკლურ ნაერთებთან მიერთების რეაქციები სპაიერის კატალიზატორის თანაობისას. სილიციუმქიდრიდების სახით გამოყენებული იქნა ტრიქლორსილანი, მეთილ- და ეთილდიქლორსილანი, ხოლო უჯერი ბიციკლური ნაერთების სახით კი ბიციკლო(2,2,1)-ჰეპტენ-2, ბიციკლო(2,2,1)-ჰეპტადიენ-2,5; 2-მეთილბიციკლო(2,2,1)-ჰეპტენ-5; 2-ვინილბიციკლო(2,2,1)-ჰეპტენ-5 და ციკლოპენტადიენის დიმერი.

ტრიქლორსილანის, მეთილ- და ეთილდიქლორსილანის ურთიერთქმედება ბიციკლო(2,2,1)-ჰეპტენ-2-თან მიმდინარეობდა 30-60°C-ზე (50% გამოსავლით):



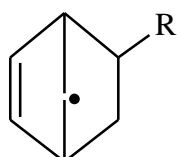
↳ R=Cl; CH<sub>3</sub>; C<sub>2</sub>H<sub>5</sub>.

ბიციკლო(2,2,1)ჰეპტენ-2-ის ტრიქლორსილანთან ურთიერთქმედების რეაქცია საწყისი მონომერების სხვადასხვა მოლური თანაფარდობისას (1:1 და 2:1) მიმდინარეობს შედეგი სქემის მიხედვით:

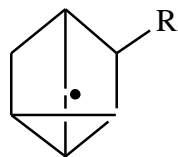


ლიტერატურაში [102-104] აღნიშნულია, რომ რთულად მიმდინარეობდა რეაქციები ბიციკლო (2,2,1) ჰექტადიენ-2,5-თან მსუბუქ პირობებში (ატმოსფერული წნევა, ტემპერატურა (30-40°C). რეაქცია მიმდინარეობდა მხოლოდ სარეაქციო ნარევის გახურებით 70°C-მდე ავტოკლავში (15 ატმ). 2-(ტრიქლორსილილ)-ბიციკლო(2,2,1)-ჰექტენ-5-ის გამოსავალი არ აღემატებოდა 44%-ს. მეთილ-, ეთილ- და დიეთილქლორსილანები უერთდებიან ბიციკლო ჰექტადიენს ატმოსფერულ წნევაზე და 45-70°C-ზე და იძლევიან პროდუქტებს 20-80%-იანი გამოსავლით.

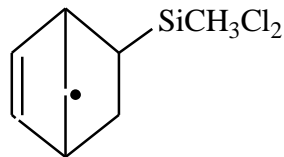
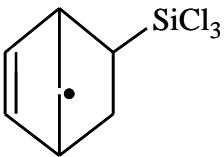
ბიციკლო(2,2,1)-ჰექტადიენ-2,5-ის პიდროსილილირებით მიიღება როგორც ნორ-ბორნილენის ტიპის ნაერთები:



ასევე ამ უკანასკნელების ნორტრიციკლენად გადაჯგუფების პროდუქტები.

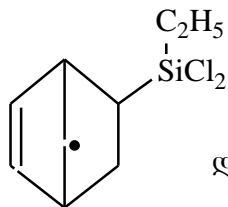


ნაჩვენებია, რომ ბიციკლოჰეპტადიენთან  $\text{HSiCl}_3$  და  $\text{CH}_3\text{SiHCl}_2$  მიერთების პრო-დუქტებს შეიძლება მიეკუთვნოს ნორბორნილენის სტრუქტურა:

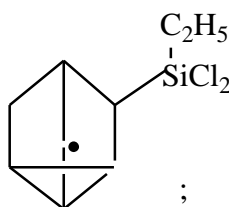


გარდა ამისა, უკანასკნელი ნაერთის ჰიდრირებამ პლატინის შავის თანაობისას სიცივეში, დამტკიცა მის მოლექულაში ერთი ორმაგი ბმის არსებობა.

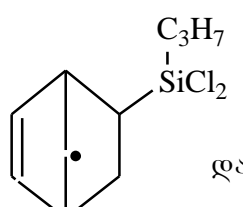
ბიციკლოჰეპტადიენთან ეთოლ- და პროპილდიქლორსილანების ადუქტები წარმოადგენენ ნორბორნილენისა და ნორტრიციკლენის წარმოებულების ნარევს:



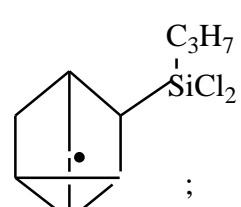
და



;



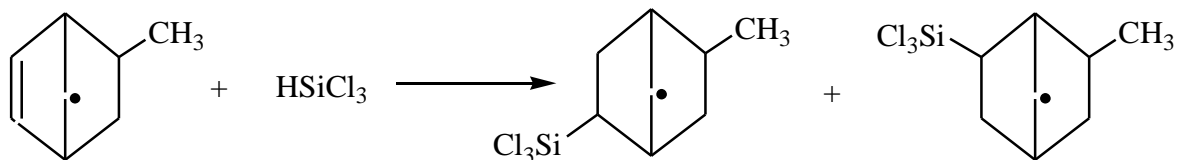
და



;

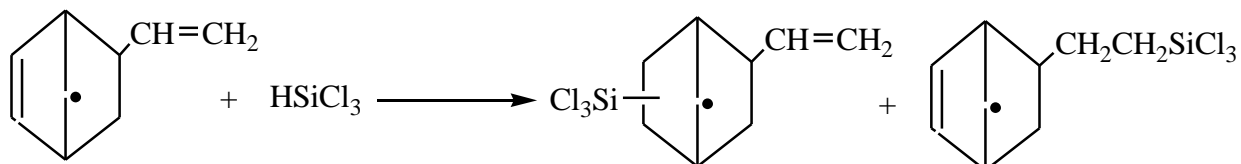
პირველ შემთხვევაში ჭარბობს ნორტრიციკლენის ტიპის სტრუქტურა, ხოლო მეორე შემთხვევაში წარმოიქმნება დიდი რაოდენობა ნაერთებისა ნორბორნილენის სტრუქტურით.

ტრიქლორსილანის ურთიერთქმედებით 2-მეთილ-ბიციკლო (2,2,1)-ჰეპტენ-5-თან 20%-იანი გამოსავლით მიღებულ იქნა ადუქტი, რომელიც წარმოადგენს 5 და 6 მდგომარეობაში ტრიქლორსილილის ჯგუფის შემცველი 2-მეთილ-(ტრიქლორსილილ)-ბიციკლოჰეპტანების ორი იზომერის ნარევს:



ნარევებს წარმოადგენენ აგრეთვე 2-ვინილბიციკლო(2,2,1)-ჰეპტენ-5-თან და ციკლოპენტადიენის დიმერთან სხვადასხვა სილიციუმპიდრილების ადუქტები; რადგან ამ შემთხვევებში სილილური ჯგუფების მიერთება მიმდინარეობს ორგორანტიკლორის სხვადასხვა ორმაგ ბმებთან, ასევე მოლეკულის ბიციკლოჰეპტანური ნაწილის სხვადასხვა მდგომარეობაში (5 ან 6).

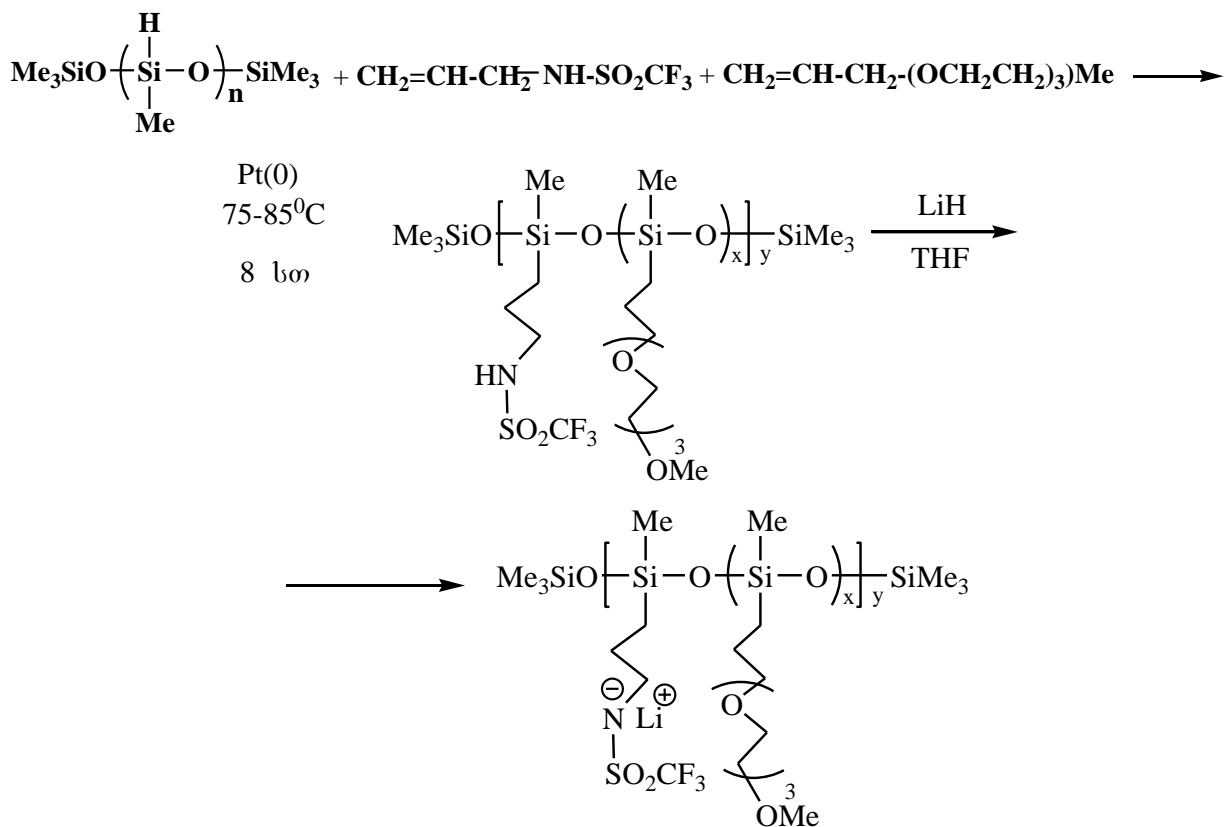
KPC სპექტრულმა მონაცემების თანახმად ტრიქლორსილანის ურთიერთქმედებისას 2-ვინილ-ბიციკლო(2,2,1)-ჰეპტენ-5-თან მიერთება მიმდინარეობს ორივე ორმაგ ბმასთან დაახლოებით ერთ და იგივე გამოსავლით:



ტრი-, მეთოლდი- და ეთოლდიქლორსილანების დიციკლოპენტადიენთან ურთიერთქმედება სპაიერის კატალიზატორის თანაობისას მიმდინარეობდა  $30\div60^{\circ}\text{C}$ -ზე. ამასთან სილიციუმჰიდროდების ნახშირწყალბადთან მიერთების რეაქციის პროდუქტების გამოსავალმა შეადგინა  $38\div61\%$  [105].

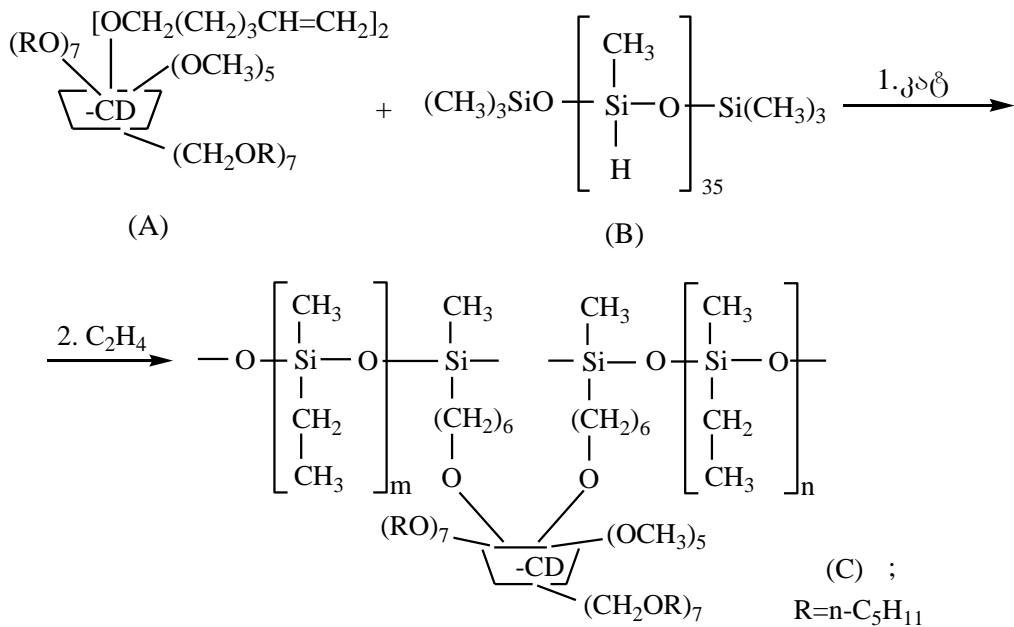
უკელა ფორმის სტერეოქიმიურმა შესწავლამ აჩვენა, რომ ჰიდროსილანების ორმაგ და სამმაგ ბმასთან მიერთების რეაქციები წარმოადგენენ ტრანსმიერთებას და შეუძლებელია ენდო- ან ეგზო-იზომერების წარმოქმნის ალბათობის დადგენა [106].

ავტორების მიერ შესწავლილია მეთოლჰიდროდილოქსანის ( $M_w = 1900$ ) საფეხურებრივი ჰიდროსილირების რეაქცია ალილტრიფტორმეთილსულფონამიდთან (5%) და ალილ(ტრიოქსიეთილენ)მეთილის ეთერთან (95%)  $50\div75^{\circ}\text{C}$  ტემპერატურაზე, კარსტედის კატალიზატორის (Pt(0) ტეტრამეთილდიოზინილოქსანის კომპლექსი ქსილოლში) თანაობისას, ტოლუოლ ხსნარში [107]:



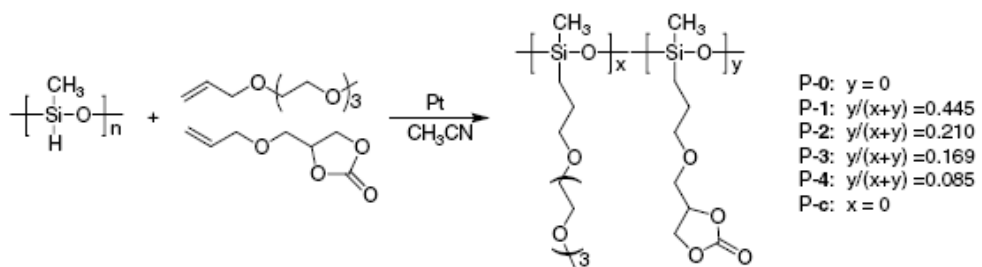
შემდგომში გამხსნელი ტოლუოლი შეცვლილ იქნა ტეტრაჰიდროფურანით და დამატებულ იქნა ლითოუმის ჰიდრიდი (LiH). დადგენილია, რომ ამ გზით მიღებული პოლიელექტროლიტის გამტარებლობა შეადგენს  $1,2 \times 10^{-6}$  (სხსტ<sup>-1</sup>).

ახალი ჯგუფების შემცველი სტაციონალური ფაზა გაზ-თხევადური ქრომატოგრაფიისათვის იქნა მიღებული ოლიგომერთილჰიდროდილოქსანის ( $m=35$ ) ჰიდროდული მიერთებით ბიკის(2,6-დი-О-ჰენტილ-3-О-ჰექს-6-ენილ)-ჰენტაკის(2,6-დი-О-ჰენტილ-3-О-მეთილ)-β-ციკლოდექსტრინთან პლატინის კატალიზატორის თანაობისას ტეტრაჰიდროფურანის ხსნარში, ცნობილი მეთოდიკით შემდეგი სქემის მიხედვით [108]:



აღნიშნული ახალი სტაციონალური ფაზა გაზ-თხევადურ ქრომატოგრაფიაში ხასიათდება ქრომატოგრაფიული სვეტის მაღალი ეფექტურობით, წარმოადგენებ ქირალური და აქირალური იზომერების საუკეთესო დამყოფებს. დაფიქსირებულია საინტერესო თვისება, რომ მეტა- და პარაქლორ ტოლუოლის დაყოფის უნარი მცირდება ტემპერატურის შემცირებასთან ერთად 80-110°C ტემპერატურულ ინტერგალში.

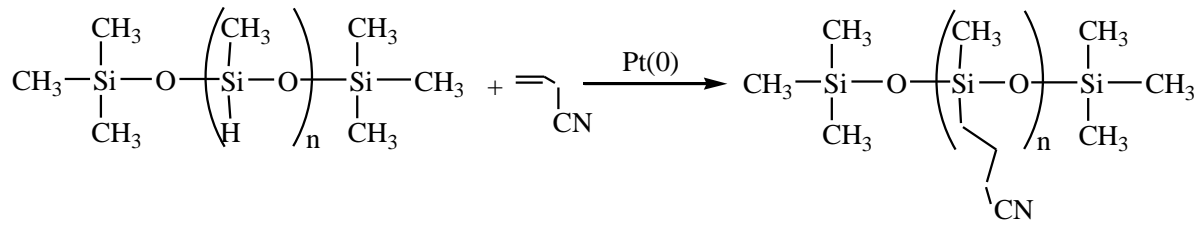
ახალი სავარცხლისებული აღნაგობის პოლისილოქსანები შერებული ჩამნაცვლებელი ჯგუფებით მიღებულ იქნა პოლიმერობიდნების პიდროსილინირების რეაქციიებით 4-ალილოქსიმეთილ-[1,3]-დიოქსალონ-2-ონ და ტრი(ეთილენგბლიკოლ)ალილმეთილეთერთან კატალიზატორის დიციკლოპენტადიენ პლატინა(II) დიქლორის ხსნარის დიქლორმეთილებით თანაობისას, აცეტონიტრილის ხსნარში, 80°C ტემპერატურაზე. რეაქცია მიმდინარეობს შემდეგი სქემის მიხედვით [109]:



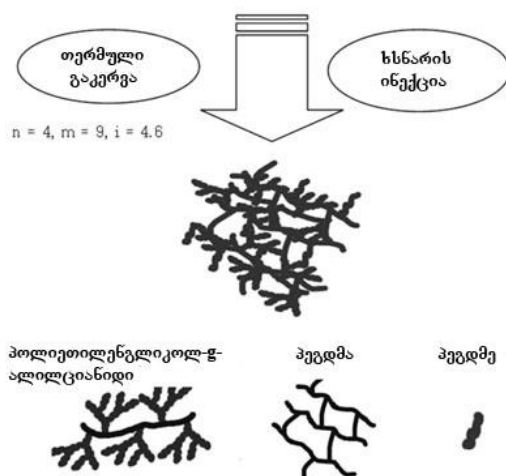
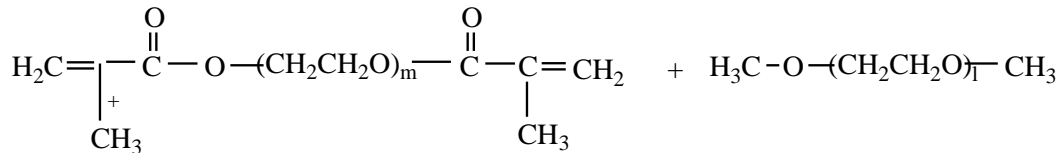
დადგენილია, რომ კარბონატული პოლარული ჯგუფების შეტანით გვერდით ჯაჭვში და მასში ლითიუმბის(ტრიფენორსულფონილ)იმიდის შეტანით მიღებული პოლიმერების იონური ელექტროგამტარებლობა იზრდება და ამ სერიის პოლიმერებისათვის შეადგენს  $1,62 \times 10^{-3}$  ს-სმ<sup>-1</sup>. ნაჩვენებია, რომ პოლიმერები რომლებიც შეიცავენ კარბონატულ ჯგუფებს დიდი რაოდენობით ამჟღავნებენ უფრო დაბალ ელექტროგამტარებლობას გაზრდილი სიბლანტის და გამინების ტემპერატურის გამო.

შესწავლილია პოლი(მეთილჰიდროსილოქსანი)ს ( $M_n=390$ ) პიდრიდული მიერთების რეაქცია ალილციანიდთან კარსტედის კატალიზატორის თანაობისას და სინთეზირებულია პოლისილოქსანები ალილციანიდური ჯგუფებით გვერდით ჯაჭვში. მიღებული სილოქსანური მატრიციდან, პოლი(ეთილენგბლიკოლ)დიმეთაკრილატის (პეგდმ) და პოლი(ეთილენგბლიკოლ)დიმეთაკრილატის (პეგდმა) თერმული დამუშავებით მიღებულია ურთიერთგამჭოლი მყარი პოლიმერ ელექტროლიტი, რომელშიც

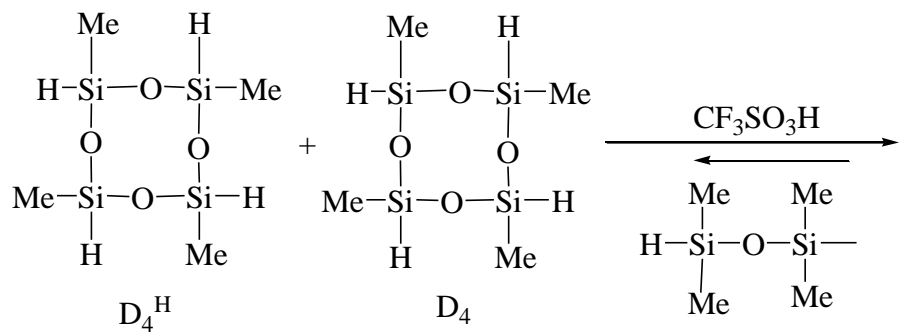
օռնությունը գամիչարքելով է օցազդեցած՝  $1.05 \times 10^{-3} \div 6.96 \times 10^{-4}$  Տ.Տ.մ<sup>-1</sup>. Ի դեպքում մոմական շահմատը կազմում է մուսական շահմատի մոտ 10-15%:

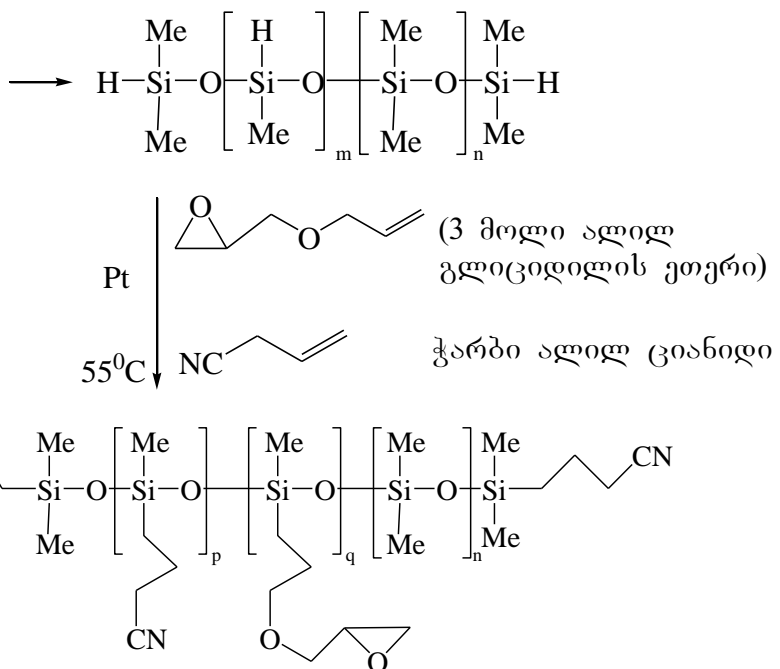


## პოლისილოქსან-g-ალილიციანიდი



ავტორების მიერ შესწავლით თქმამეთილციკლოტერასილოქსანის (D<sub>4</sub>), ტეტრამეთილტერასილოქსანის (D<sub>4H</sub>) და ტეტრამეთილდისილოქსანის თანაპოლიმერზაკის რეაქციები გოგირდმჟავას ტრიფტორმეთილირებულ ეთერის თანაბისას 65°C ტემპერატურაზე, რის შედეგადაც სინთეზირებულია პოლიდიმეთილსილოქსან-მეთილპიდრიდსილოქსანური თანაპოლიმერი. შესწავლით აღნიშნული თანაპოლიმერის პიდროსილილირების რეაქციები ალილგლიციდილის ეთერთან და ალილციანიდთან. რეაქცია ზოგადად წარიმართება შემდეგი სქემის მიხედვით [11]:

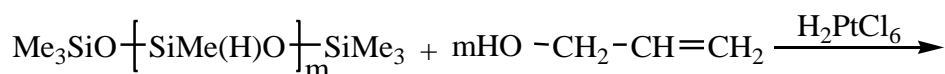


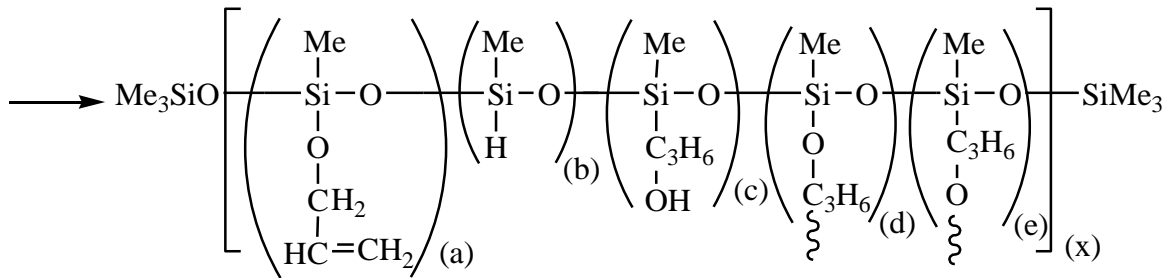


აღნიშნული სილოქსანური თანაპოლიმერი გამოყენებული იქნა, როგორც შემაკვრივებელი ახალლაქებში.

#### 14. პოლიორგანოსილოქსანური პოლიმერებისა და ოლიგომერების მოდიფიკაციის რეაქციები პიდროსილიორების რეაქციების გამოყენებით

შესწავლითა მეთოლკიდრიდსილოქსანის პიდრიდული მიერთების რეაქციები ალილის სპირტთან, კატალიზატორის პლატინაქლორწყალბადმჟავას თანაობისას 30-40°C-ის ტემპერატურულ ინტერვალში. დადგენილ იქნა, რომ პლატინაქლორწყალბადმჟავას თანაობისას ადგილი პქონდა კონკურენტული დეპიდროკონდენსაციისა და პიდრიდული მიერთების რეაქციებს, რასაც თან ახლდა შეკერვის რეაქციებიც და უხსნადი სისტემების წარმოქმნა. აღნიშნული რეაქციის დროს პიდრიდული მიერთება მიმდინარეობდა 20%-ით, ხოლო კატალიზური დეპიდროკონდენსაცია 50%, ამის შემდეგ იწყებოდა გელის წარმოქმნა. ბირთვულ მაგნიტური რეზონანსული სპექტრული კვლევების საშუალებით ლიტერატურაში ნაჩვენებია, რომ პიდროსილიორება მიმდინარეობს როგორც ფარმერის ასევე მარკოვნიკოვის წესითაც, მათ შორის თანაფარდობა არის 3:1. განხილული რეაქციის შედეგად მიიღებოდა სხვადასხვა რგოლიანი პოლიმერები. რეაქცია მიმდინარეობდა შემდეგი სქემის მიხედვით[112,113]:

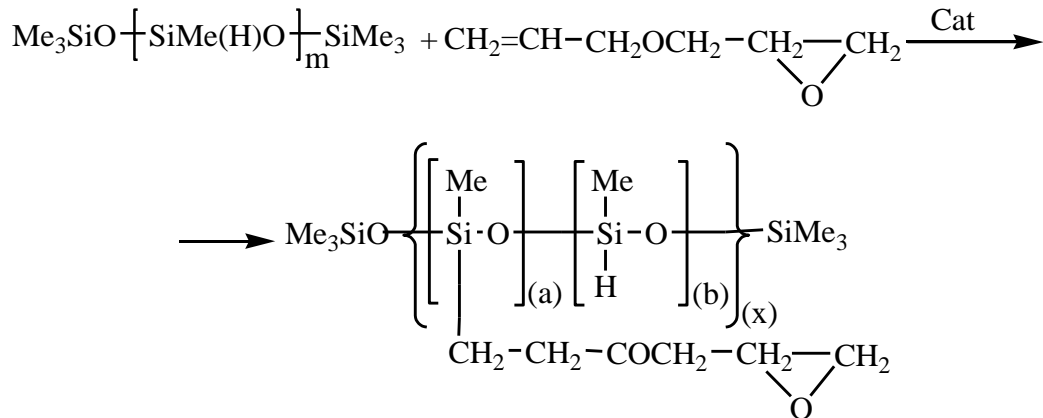




სადაც  $m \approx 53$ ,  $[(a)+(b)+(c)+(d)+(e)](x)=53$

შეკერვის რეაქციები შეიძლება მიმდინარეობდეს როგორც მოლეკულათაშორისი, ასევე შიგამოლეკულური დეპიდროკონდენსაციისა და პიდროსილილირების რეაქციების შედეგად.

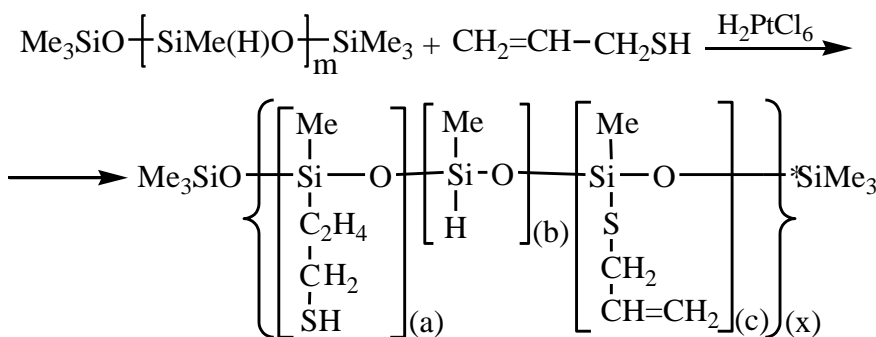
შესწავლილია  $\alpha,\omega$ -ბის(ტრიმეთილსილოქსი)მეთილპიდრიდსილოქსანის პიდრიდული მიერთების რეაქცია ალილგლიციდილის ეთერთან პლატინაქლორწყალბადმჟავას ( $0,1$  ხსნარი ტეტრაპიდროფურანში) და  $Pt/C$ -ს ( $5\%$ ) თანაობისას, რეაქცია მიმდინარეობს შემდეგი სქემის მიხედვით [113,114]:



სადაც  $[(a)+(b)](x)=n$ ;  $n \approx 30, 53$ .

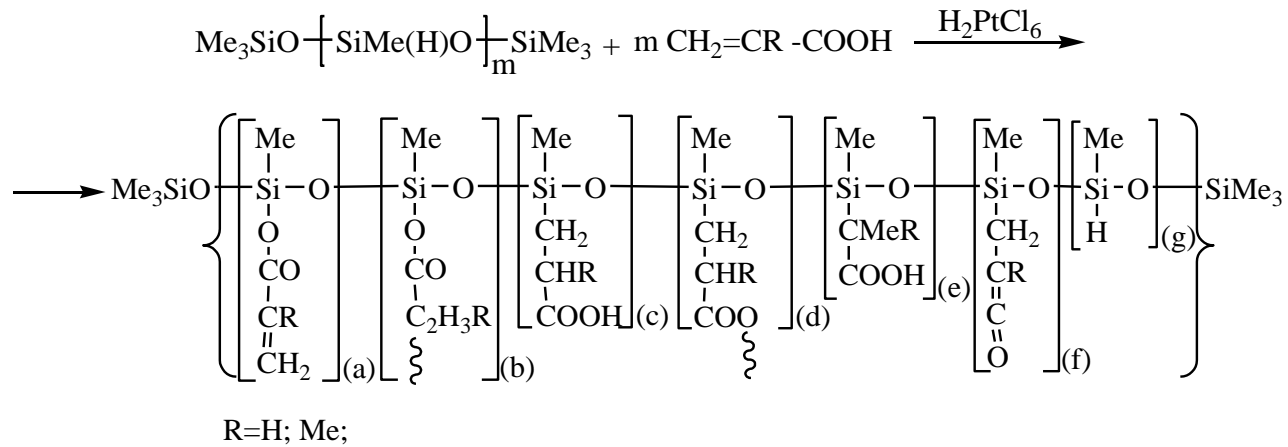
$^1\text{H}$  ბირთვულ მაგნიტური რეზონანსული სპექტრიდან ჩანს, რომ პიდრიდული მიერთების რეაქცია უმთავრესად მიმდინარეობს ფარმერის წესით.

ავტორების მიერ შესწავლილია ალილმერკაპტანის  $\alpha,\omega$ -ბის(ტრიმეთილსილოქსი)მეთილპიდრიდსილოქსანთან პიდრიდული მიერთების რეაქცია პატინაქლორწყალბადმჟავას თანაობისას. აღნიშნული რეაქცია მიმდინარეობს როგორც პიდროსილილირების ( $44\%$ ) ასევე დეპიდროკონდენსაციის გზით ( $7\%$ ) და მიიღება სხვადასხვარგოლიანი ოლიგომერები, რომლებიც შეიცავენ გვერდით განშტოებებს, როგორც თიოეთერული, ასევე კარბოსილანური ბმებით [115,116]:



სადაც  $[(a)+(b)+(c)](x)=n$ ;  $n \approx 53$ .

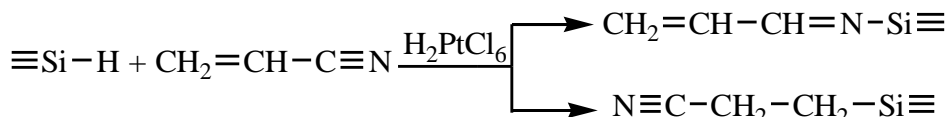
შესწავლით ა,ω-ბის(ტრიმეთილსილოქსი)მეთილჰიდრიდსილოქსანის პიდრიდული მიერთების რეაქციები აკრილის მჟავასა და მეთაკრილის მჟავასთან პლატინა-ქლორწყალბადმჟავას და Pt/C-ს თანაობისას. აღნიშნული რეაქციები მიმდინარეობს, როგორც პიდროსილილირების ასევე დეპიდროგონდენსაციის გზით. უპირატესად მიმდინარეობს პიდროსილილირების რეაქცია, რომელიც თავის მხრივ მიმდინარეობს როგორც ფარმერის ასევე მარკოვნიკოვის წესის მიხედვით. რეაქციის მიმდინარეობისას ადგილი აქვს ნაწილობრივ გელის წარმოქმნას, რეაქციის შედეგად მიიღება სხვადასხვა რგოლიანი ოლიგომერები [117,118]:



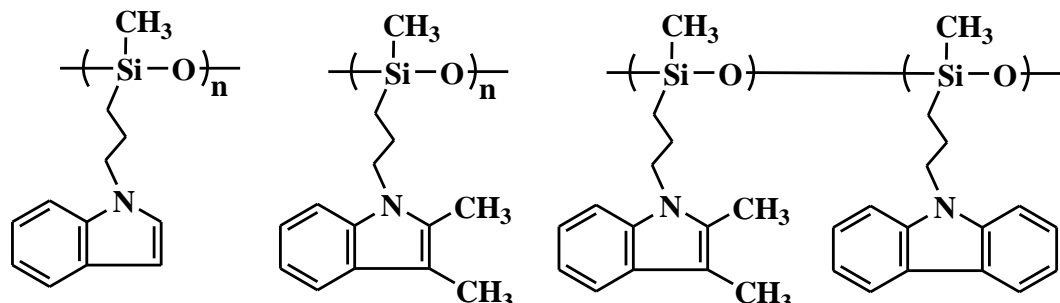
სადაც  $m \approx 53$ ,  $[(\text{a})+(\text{b})+(\text{c})+(\text{d})+(\text{e})+(\text{f})+(\text{g})](x)=35$ .

ავტორის მიერ ასევე შესწავლით აკრილისა და მეთაკრილის მჟავას ნ-ალკილირებულ და სილილირებულ ეთერებთან ა,ω-ბის(ტრიმეთილსილოქსი)მეთილჰიდრიდსილოქსანის პიდრიდული მიერთების რეაქციები. აღნიშნულ შემთხვევებში მიმდინარეობს რეაქციები უპირატესად ფარმერის წესის მიხედვით [119,120].

შესწავლით ციკლოხაზოვანი პოლიმეთილჰიდრიდსილოქსანის პოლიმიერთების რეაქციები აკრილონიტრილთან პლატინა-ქლორწყალბადმჟავას თანაობისას, რომელიც შეიძლება წარიმართოს როგორც  $\text{C}=\text{C}$  ასევე  $\text{C}\equiv\text{N}$  ბმის პიდროსილილირებით [121]:

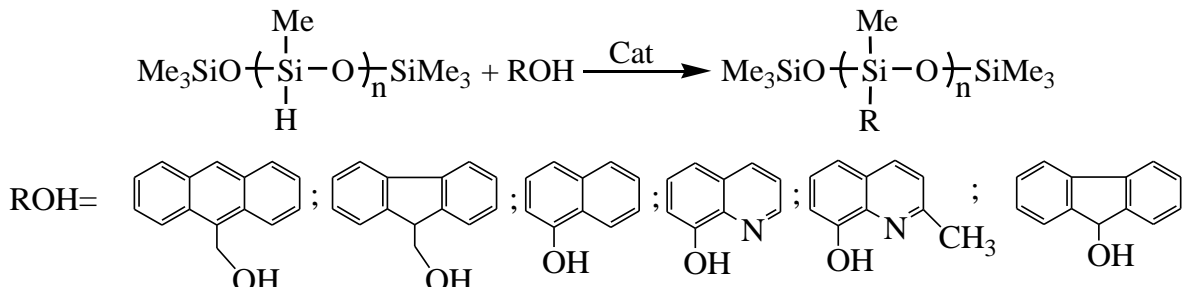


შესწავლით პოლიმეთილჰიდრიდსილოქსანის ( $M_n=2300$ ) პიდროსილილირების რეაქცია 1-(2-პროპენილ)ინდოლთან და 1-(2-პროპენილ)-2,3-დიმეთილინდოლთან დიქლორ(დიციკლოპენტადიონ)პლატინა (II)-ის თანაობისას. ნარჩენი  $\equiv\text{Si}-\text{H}$  ბმების სრული კონვერსიისათვის დამატებულ იქნა ოქტენ-1. ავტორების მიერ ასევე სინთეზირებულია როგორც ინდოლის, ასევე კარბაზოლის ჯგუფების შემცველი პოლიმეთილორგანოსილოქსანური ოლიგომერი [122]:



სინთეზირებული პოლიმერები შეიძლება გამოყენებულ იქნას ელექტროოპტიკაში.

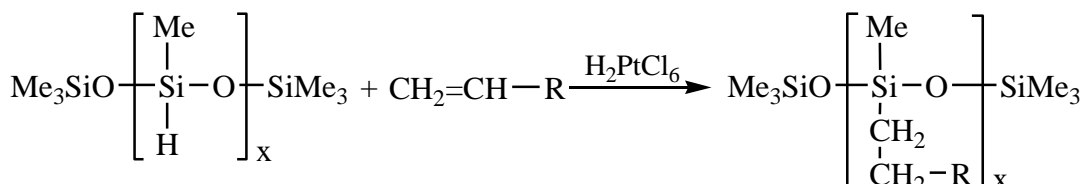
შესწავლილია პოლიმერიდიდიდსილოქსანის ( $M_w \approx 2000$ ) ურთიერთქმედება ფლუოროსცენციის უნარის მქონე ფენოლურ სპირტებთან სხვადასხვა კატალიზატორების თანაობისას [123]:



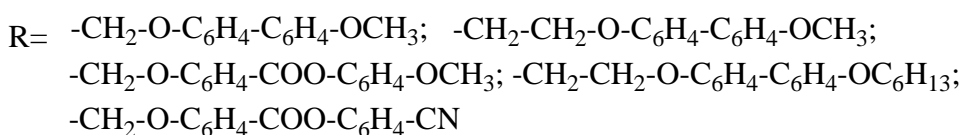
დადგენილია, რომ  $\text{H}_2\text{PtCl}_6$ -ის, კარსტედის და ტრიეთილამინის თანაობისას რეაქცია მიღის აქტიურად, თუმცა მცირე რაოდენობით მიიება შეკერილი პოლიმერები. უკეთეს შედეგს იძლევა  $\text{RhCl}(\text{PPh}_3)_3$ , რომლის დროსაც შეკერვის რეაქციებს აღილი არ აქვს.

ავტორების მიერ პოლიმერიდიდსილოქსანის პიდროსილილირებით პლატინის კატალიზატორების თანაობისას, სინთეზირებულია პოლიმერორგანოსილოქსანები, რომლებიც გვერდით ჯაჭვში შეიცავენ მეზოგენურ 4-ბუთ-3-ენილოქსიბენზოის მჟავას 4-მეთოქსიფენილის ეთერს და 1-(4-პიდროქსი-4'-ბიფენილ)-2-[4-(10-უნდეცნილოქსი)ფენილ]ბუთანს. სინთეზირებული ელასტომერები წარმოადგენენ თხევად-კრისტალურ სისტემებს და აგრეთვე არიან კარგი გამკერავი აგენტები [124].

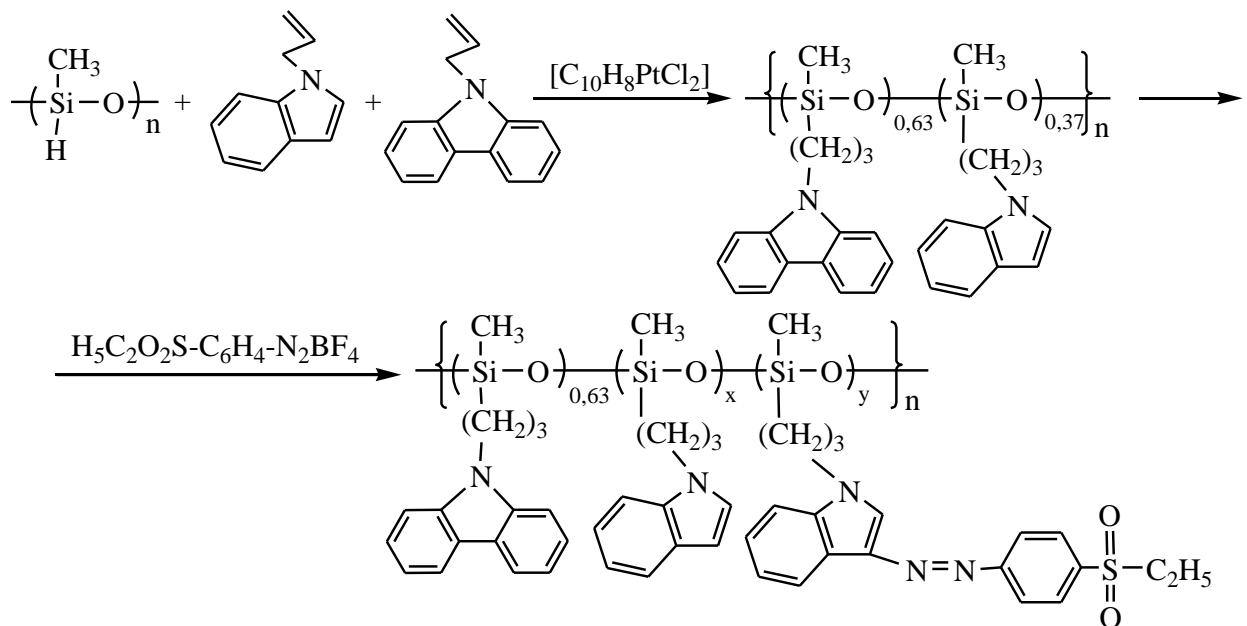
შესწავლილია პოლიმერიდიდსილოქსანის პიდროსილილირების რეაქციები ვინილის ჯგუფის შემცველ მეზოგენურ მოლეკულებთან პლატინაქლორწყალბადმჟავას თანაობისას. სინთეზირებულია პომოპოლიმერები, რომლებიც თხევად-კრისტალურ თვისებებს ოთახის ტემპერატურაზე ავლენენ. რეაქციები მიმდინარეობს შემდეგი ზოგადი სქემის მიხედვით [125]:



სადაც,  $x=120$ ,

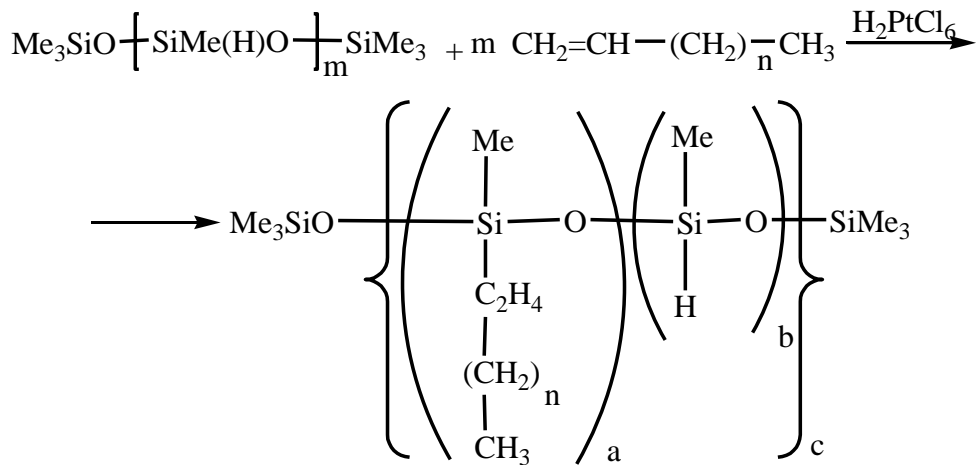


ავტორების მიერ სინთეზირებულია პოლისილოქსანები ქრომოფორული სულფონილ-ინდოლური და კარბაზოლური ჯგუფებით გვერდით ჯაჭვში პიდროსილირების რეაქციების გამოყენებით [126]:



ასევე შესწავლით ა,ω-ბის(ტრიმეთილსილოქსი)მეთილპიდრისილოქსანის ჰიდრიდული მიერთების რეაქციები ალკენებთან, პლატინაქლორწყალბადმჟავას თანაბისას. პლატინაქლორწყალბადმჟავა აიდებოდა  $4 \div 5 \times 10^{-5}$  გ ოდენტობით 1გ სარეაქციო პროდუქტზე. რეაქციას გატარებდით მორეაგირე კომპონენტების 1:35 მოლური თანაფარდობით, სხვადასხვა ტემპერატურაზე, როგორც გამხსნელის გარეშე, ასევე მისი თანაობისას.

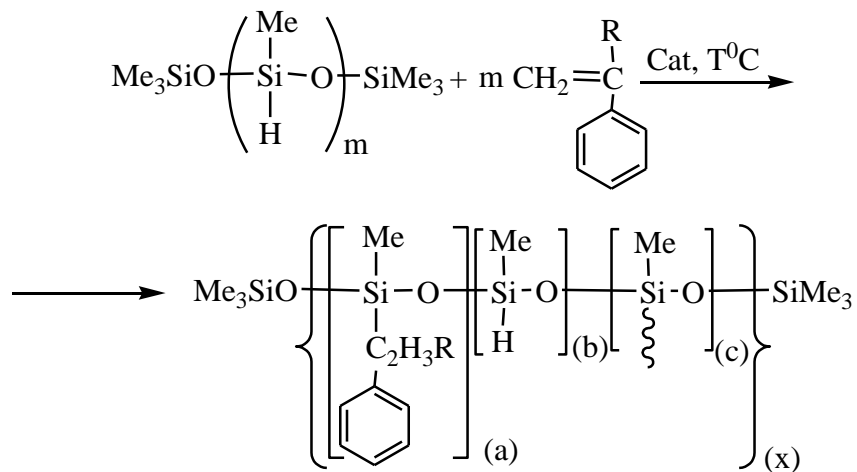
მეთილპიდრიდსილოქსანების ჰიდრიდული მიერთების რეაქციები სხვადასხვა სიგრძის ნ-ალკენებთან კატალიზატორის პლატინაქლორწყალბადმჟავას თანაობისას მორეაგირე კომპონენტების თანაფარდობით 1:35, როგორც ნალღობში, ასევე სხვარში. რეაქცია მიმდინარეობს შემდეგი სქემით [127,128]:



რეაქციის შედეგად მიიღება გამჭვირვალე, არომატული ტიპის ორგანულ გამხსნელებში ხსნადი ოლიგომერები  $\eta_{\text{v}} = 0,06 \div 0,10$ . ოლიგომერები წარმოადგენენ გამჭვირვალე ბლანტ სითხეებს ან მყარ სისტემებს.

შესწავლით ა,ω-ბის-(ტრიმეთილსილოქსი)მეთილპიდრისილოქსანის ჰიდრიდული მიერთების რეაქციები სტირლინგთან და ა-მეთილსტირლინგთან, კატალიზატორის პლატინაქლორწყალბადმჟავას 0,1 M ხსნარის (ტეტრაპიდროფურანში) თანაობი-

სას, მორეაგირე კომპონენტების 1:35 მოლური თანაფარდობით, სხვადასხვა ტემპერატურაზე, ნალღობში და აბსოლუტურად მშრალი ტოლუოლის ხსნარში [129,130]:

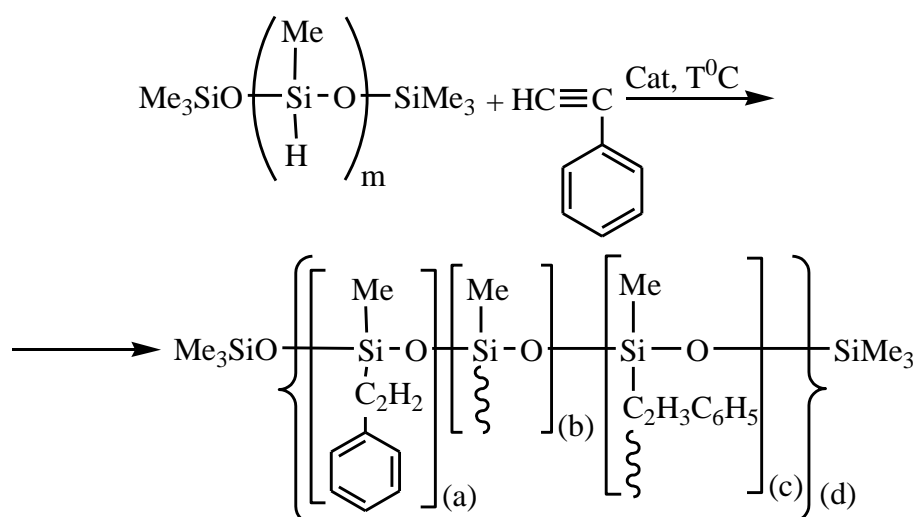


სადაც:  $[(a)+(b)+(c)](x)=m \approx 35$ ; R=H, Me (T=-80°C- 90°C);

რეაქცია უმთავრესად სწრაფად მიმდინარეობს პირველი ერთი საათის განმავლობაში. შემდეგ კი - უფრო დაბალი სიჩქარით. სინთეზირებული ოლიგომერები წარმოადგენენ გამჭვირვალე, ბლანტ, არომატული ტიპის ორგანულ გამხსნელებში ხსნად ოლიგომერებს უხევი 0,07-0,09.

გვერდით ჯაჭვში უჯერი და არილური ფრაგმენტების შემცველი სილიციუმორგანული ოლიგომერების სინთეზის მიზნით შესწავლილია α,ω-ბის(ტრიმეთილსილოქსი)მეთილჰიდრიდიდან მიერთების რეაქცია ფენილაცეტილენთან კატალიზატორის პლატინაქლორწყალბადმჟავას თანაობისას. რეაქციას ატარებდნენ მორეაგირე კომპონენტების 1:35 მოლური თანაფარდობით, სხვადასხვა ტემპერატურაზე (40-60°C), როგორც გამხსნელის გარეშე, ასევე აბსოლუტური ტოლუოლის ხსნარში (C≈0,15 მოლი/ლ).

მეთილჰიდრიდიდან მიერთების რეაქციები ფენილაცეტილენთან გამოისახება შემდეგი სქემით [131]:



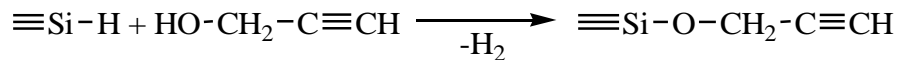
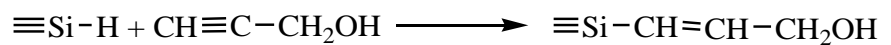
რეაქციის შედეგად მიიღება ნარინჯისფერი, არომატული ტიპის ორგანულ გამხსნელებში ხსნადი ოლიგომერები უხევი 0,07-0,09. რომელთა შედგენილობა და სტრუ-

ქმურა დამტკიცებულ იქნა ფუნქციური და ელემენტური ანალიზით, ასევე  ${}^1\text{H}$ ,  ${}^{13}\text{C}$  და COSY პერ სპექტრების საშუალებით.

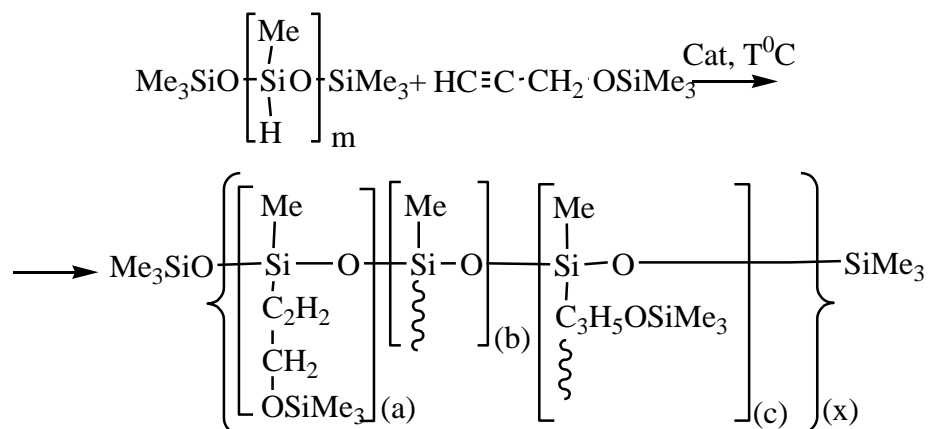
შესწავლით ილია ოლიგომეთილპიდრიდსილოქსანის ჰიდრიდული მიერთების რეაქციები პროპარგილის სპირტის ტრიმეთილსილიდიუბულ ეთერთან პლატინა-ქლორწყალბადმუავას თანაობისას. რეაქცია ტარდებოდა მორეაგირე კომპონენტების 1:35 თანაფარდობით, სხვადასხვა ტემპერატურაზე ( $40\text{--}60^\circ\text{C}$ ) აბსოლუტური ტოლუოლის ხსნარში.

ჰიდრიდული მიერთების რეაქციები შესწავლილ იქნა როგორც ნალღობში, ასევე ხსნარში. ნალღობში რეაქციის ჩატარებისას რეაქცია მიმდინარეობდა ძალიან აქტიურად და რამდენიმე წუთში ადგილი ჰქონდა გელის წარმოქმნას, რაც ახსნილია ნარჩენ უჯერ ეთილენურ ბმასთან ჯაჭვთაშორისი ჰიდრიდული მიერთების წარმართვით და ასევე ჯაჭვთაშორისი დეპიდროკონდენსაციის რეაქციებით. ამიტომ ისაზღვრებოდა სარეაქციო სისტემიდან დეპიდროკონდენსაციის გზით გამოყოფილი წყალბადის რაოდენობა.

პროპარგილის სპირტთან მეთილპიდრიდსილოქსანის ურთიერთქმედების რეაქციის დროს შესაძლებელია შემდეგი კონკურენტული რეაქციების წარმართვა:



რეაქციების შესწავლისას დადგენილია, რომ პლატინაქლორწყალბადმუავას თანაობისას ადგილი აქვს კონკურენტულ რეაქციებს და გარდაქმნის მაღალ სტადიებზე მიიღება შეკერილი სისტემები. შეკერვის რეაქციების შემცირების მიზნით და ხსნადი ოლიგომერების მისაღებად ავტორების მიერ ზემოთ აღნიშნული რეაქციები ჩატარებულ იქნა  $50\text{--}60^\circ\text{C}$  ტემპერატურაზე აბსოლუტური ტოლუოლის 60%-იან ხსნარში, მაგრამ გარდაქმნის მაღალ სტადიებზე მაინც შეიმჩნეოდა გელის წარმოქმნა. დადგენილ იქნა, რომ მეთილპიდრიდსილოქსანის პროპარგილის სპირტთან ურთიერთქმედებისას ჰიდრიდული მიერთება მიმდინარეობდა 70%-ით, ხოლო კატალიზური დეპიდროკონდენსაციის რეაქცია ~10%. ამის შემდეგ კი ადგილი ქონდა გელის წარმოქმნის რეაქციებს. რეაქციის პროდუქტის ხსნადი ნაწილის გამოსავალი შეადგენდა ~50-60%. აღსანიშნავია, რომ ოთახის ტემპერატურაზე დაყოვნებისას, დროთა განმავლობაში ხსნადი ნაწილი ისევ განიცდიდა სტრუქტურირებას სისტემაში არსებული კატალიზატორის ხარჯზე. ასე რომ ზემოთაღნიშნული ჰიდროსილირება-დეპიდროკონდენსაციის რეაქციების დროს ადგილი აქვს სხვადასხვა რგოლიანი თერმორეაქტიული ოლიგომერების წარმოქმნას [132]:



სადაც:  $[(a)+(b)+(c)](x)=m \approx 35$ ;

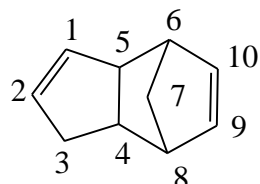
რეაქციის შედეგად მიიღება არომატული გიპის ორგანულ გამხსნელებში ხსნადი ოლიგომერები η<sub>23</sub> 0,05-0,08, რომლის შედგენილობა და სტრუქტურა დამტკიცებულია ელემენტური ანალიზით და <sup>1</sup>H ბმრ სპექტრის საშუალებით.

## 1.5. მეთილჰიდრიდსილოქსანების ურთიერთქმედების რეაქცია დიენური რიგის ნახშირწყალბადებთან

უჯერი ტრიციკლოდეცენილის ჯგუფების შემცველი მეთილსილოქსანების სინთეზის მიზნით ლიტერატურაში შესწავლილია მეთილჰიდრიდსილოქსანების (პოლიმერიზაციის ხარისხით m≈30, n≈53) და მეთილჰიდრიდსილოქსან-დიმეთილსილოქსანური ოლოგომერი (m≈33, n≈23) მოდიფიკაციის რეაქციები ტრიციკლოდეკადიენით [133].

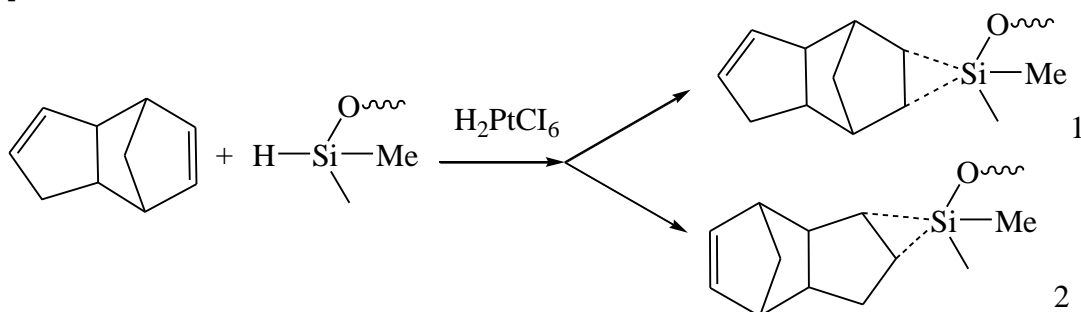
საწყისი კომპონენტების წინასწარი გაცხელებით 60-90°C ინტერვალში პლატინაქლორწყალბადმჟავას 0,1M ხსნარის ტეტრაკიდროფურანში ავტორების მიერ ნაჩვენები იქნა, რომ საწყისი პროდუქტების პოლიმერიზაციას ან მეთანის ელიმინირებას ადგილი არ ქონდა. არავითარი ცვლილება არ იქნა დაფიქსირებული ფურიე გარდაქმნის ის და ბმრ სპექტრებშიც გაზ-თხევადური ქრომატოგრაფიული ანალიზით დამტკიცებულია, რომ ტრიციკლოდეკადიენი აფნიშნულ პირობებში პოლიმერიზაციას არ განიცდის.

ტრიციკლოდეკადიენის სტრუქტურიდან ჩანს, რომ იგი შეიცავს ორ უჯერ ბმას 1,2 და 9,10 მდგრადებებს:



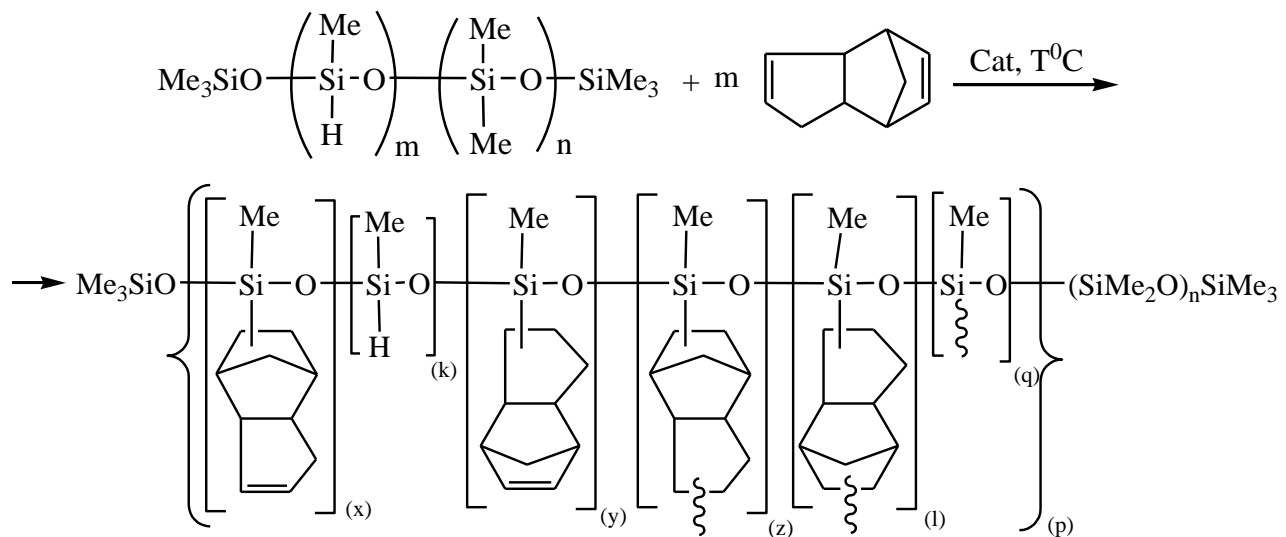
ლიტერატურიდან ცნობილია, რომ ელექტროაქცეპტორული ჯგუფების დიდი შემცველობისას (მეთილდიქლორსილანი) ჰიდროსილილირება ორმაგ ბმასთან სპაიერის კატალიზატორის შემთხვევაში მიმდინარეობს 9,10-მიერთებით, მცირე რაოდენობის დროს (დიმეთილქლორსილანი), მიერთება მიდის, როგორც 9,10 ასევე 1,2-მიმართულებით. დონორული ჯგუფების შემთხვევაში ჰიდროსილილირება მიმდინარეობს უმთავრესად 1,2-მიმართულებით [134,135].

ასევე ცნობილია, რომ ტრიციკლოდეკადიენთან ≡Si-H ბმის ელექტროფილური მიერთება მიმდინარეობს სამწევრიანი გარდამავალი კომპლექსის წარმოქმნით [136,137]:



ვინაიდან 1 გარდამავალი კომპლექსის შემთხვევაში სტერიული დაბრკოლების გამო კომპლექსის მდგრადობა 2 კომპლექსზე ნაკლებია, ამიტომ უპირატესი არის მიერთება 9-10 მდგომარეობაში. აღნიშნულის დასადასტურებლად გამოყენებულ იქნა ბმრ სპექტრის ნაჯერი პროტონების უბანი, სადაც ნათლად ჩანს ჯგუფის პროტონებით ზეზუსტი სტრუქტურის ცვლილება.

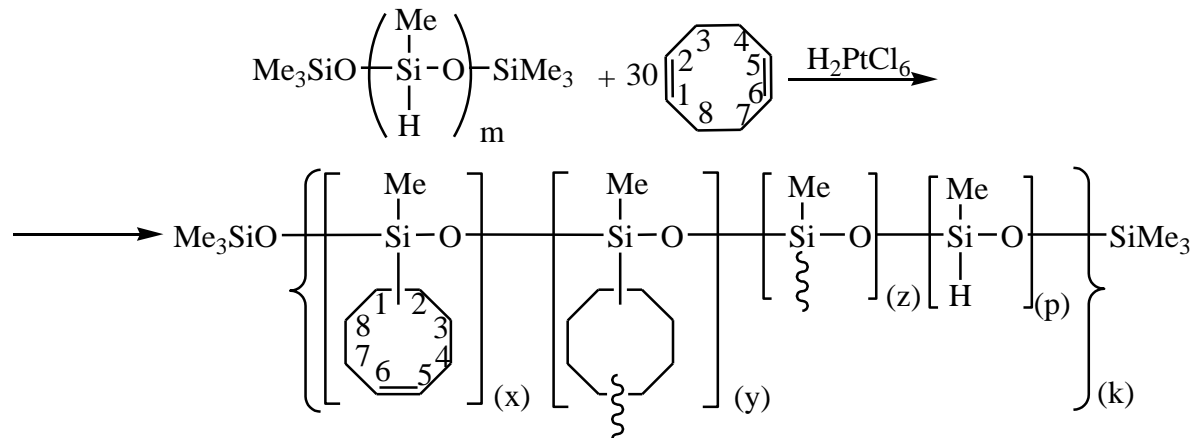
მეთოლპიდრიდსილოქსანების და მეთოლპიდრიდსილოქსან-დიმეთოლსილოქსან-ის პიდროსილილირების რეაქცია ტრიციკლოდეკადიენთან მიმდინარეობს სხვადასხვა რგოლიანი განტორვილი სისტემების წარმოქმნით [138]:



↳  $(x)+(k)+(y)+(z)+(l)+(q)=(p)=m=35;$

აგზორის მიერ დადგენილი იქნა, რომ ტემპერატურის გაზრდასთან ერთად ადგილი აკვთ შეკერილი სისტემების წარმოქმნას, რომელთა პროცენტული შემცველობა ტემპერატურის გაზრდასთან ერთად იზრდება.

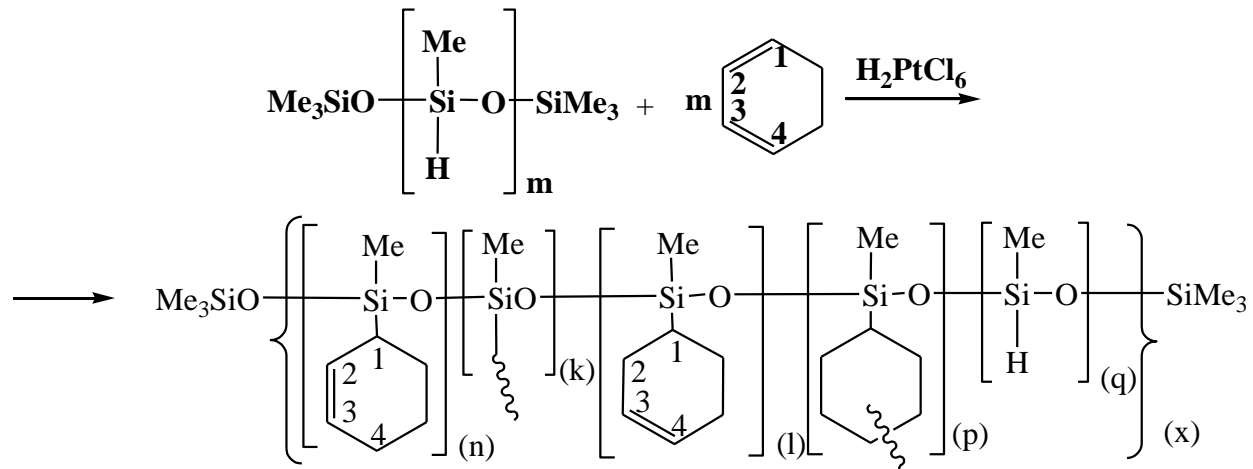
სხვადი სისტემების მიღების მიზნით შესწავლილ იქნა მეთილჰიდრიდსილოქსან-დიმეთილსილოქსანის ჰიდროსილილირების რეაქცია ცის-1,5-ციკლოჰტადიენთან. როგორც ლიტერატურაშია აღნიშნული აქტიური  $\equiv\text{Si}-\text{H}$  ბმის კონცენტრაციის 80% კონვერსიის ზემოთ ადგილი აქვს შეკერილი სისტემების წარმოქმნას, რაც მაკრომოლეკულათშორისი ჰიდროსილილირებითაა ახსნილი. ამიტომ ჰიდროსილილირებას წყვეტდნენ 80% კონვერსიამდე. ამდენად ჰიდროსილილირების რეაქცია ზოგადად მიმდინარეობს შემდეგი სქემის მიხედვით [139]:



**b3003 : [(x)+(y)+(z)+(p)](k)≈30 ;**

სინთეზირებული ოლიგომერი წარმოადგენს ბლანტ მასას  $\eta_{\text{sp}}=0,11$ , რომელიც კარგად იხსნება არომატული ტიპის ორგანულ გამსხველებში. ოლიგომერის სტრუქტურა დადგენილ იქნა ელემენტური და ფუნქციური ანალიზით, იწ და  $^1\text{H}$  ბირთვული მაგნიტური რეზონანსის სპექტრებით.

ავტორების მიერ შესწავლილია მეთილპიდრიდსილოქსანის ჰიდროსილილირების რეაქცია 1,3-ციკლოჰექსადიენთან [140-143]:



სადაც:  $[(n)+(k)+(l)+(p)+(q)](x) \approx 30$ ;

სინთეზირებული მეთილსილოქსანური ოლიგომერები წარმოადგენენ რეზინისებურ სისტემებს, რომლებიც კარგად იხსნებიან ჩვეულებრივ თრგანულ გამსხველებში,  $\eta_{\text{sp}}=0,8$ . ოლიგომერების შედგენილობა და აღნაგობა დამტკიცებულ იქნა ფუნქციური და ელემენტური ანალიზით, მოლეკულური მასების განსაზღვრით, იწ და ბმრ სპექტრული ანალიზით.

## თავი 2

### ექსპერიმენტის შედეგები და მათი განსჯა

#### 2.1. მეთილჰიდრიდსილოქსანების ჰიდრიდული მიერთების რეაქციები ვინილალკოქსისილანებთან

პოლისილოქსანებისადმი დიდი ინტერესი გამოწვეულია მთავარი არაორგანული ჯაჭვის აღნაგობის მთელი რიგი უპირატესობებით ნახშირბადოვან ჯაჭვთან შედარებით [144]. აღნიშნული პოლიმერები ფართოდ გამოიყენება სხვადასხვა სფეროში მათი ისეთი თვისებების გამო, როგორიცაა მაღალი თბომედეგობა, აფსკის წარმოქმნის უნარი, ბიოშეთავსებადობა, კარგი ატმოსფერომედეგობა, დაბალი გამინებისა და ლდობის ტემპერატურა, ასევე შესანიშნავი რეოლოგიური თვისებები [145].

ორგანული პოლიმერები ხასიათდებიან დაბალი სიმკვრივით, მოქნილობით, წარმოების სიადვილითა და ფასის ხელსაყრელობით. თუმცა, ხშირ შემთხვევაში მათი ზედაპირის მექანიკური თვისებები არ პასუხობს მათ მიმართ წაყენებულ მოთხოვნებს. ასევე აღსანიშნავია, რომ სტრუქტურული მასალების გამოყენება ლიმიტირებულია მაღალ ტემპერატურაზე დაუანგვისა და ეროზიის გამო. ასეთი მასალების დაფარვა ორგანული საფარველებით არახელსაყრელია, ვინაიდან ისინი  $100^{\circ}\text{C}$ -ზე მაღალ ტემპერატურაზე იოლად ბერდებიან და კარგავენ მოქნილობას, ადჟეზიურობას და დამცავ თვისებებს. აღნიშნული პრობლემების გადაჭრა შესაძლებელია მათი ზედაპირის დაფარვით სილიციუმორგანული პოლიმერებით [146, 147].

უკანასკნელ ხანებში დიდი სამუცნიერო და საწარმოო ინტერესი ენიჭება სილიკააეროგელების მიღებას. სილიკააეროგელები ხასიათდებიან მაღალი ფოროვნებით, აქვთ დაბალი სიმკვრივე და თბოგამტარობა, დიდი ზედაპირის ფართობი და გამჭვირვალობა. სილიკააეროგელები გამოიყენებიან ჩერენკოვის რადიაციულ დეტექტორებში მაღალი ენერგიების ფიზიკაში, თერმულ და აკუსტიკურ სუპერიზოლატორებად სხვადასხვა სფეროში, ასევე თერმობირთვულ სინთეზში და ჰეტეროგენული კატალიზატორების მატარებლად. სილიკააეროგელები, როგორც წესი, შედგებიან  $\text{SiO}_2$ -გან, თუმცა დღესდღეობით დიდ ინტერესს იწვევს ორგანული რადიკალუბის შემცველი სილიკააეროგელების სინთეზი ჰიდროფობურობის გაზრდის მიზნით. ამდენად, დიდი მნიშვნელობა ენიჭება ახალი საწყისი მასალების მიღებას სილიკააეროგელების სინთეზისათვის [148, 149].

ჩვენი სამუშაოს მიზანს წარმოადგენდა საწარმოო მნიშვნელობის პროდუქტის – პოლიმეთილჰიდრიდსილოქსანის მოდიფიკაციის რეაქციებით მიგვედო გვერდით ჯაჭვში ალკოქსისილური ჯგუფების შემცველი მეთილსილოქსანური ოლიგომერები, რომლებიც შემდგომში გამოდგებოდნენ საფარველებისა და სილიკააეროგელების დამზადებაში.

საწყის პროდუქტებად ჰიდროსილიდირების რეაქციებში გამოყენებულ იქნა ტრიმეთილსილოქსიჯგუფებით ბლოკირებული პოლიმეთილსილოქსანი (გარდაქმნის ორი საშუალო ხარისხით  $n \approx 35$  და  $n \approx 65$ ) და ვინილალკოქსისილანები.

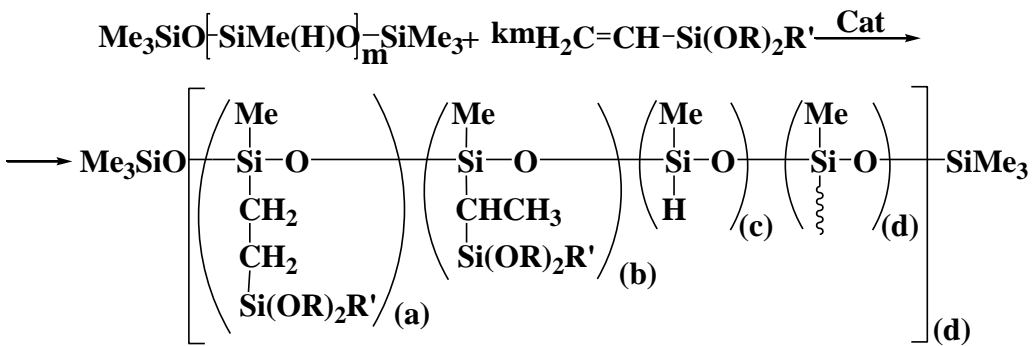
გვერდით ჯაჭვში ალკოქსისილური ჯგუფების შემცველი მეთილსილოქსანური ოლიგომერების მიღების მიზნით ჩვენს მიერ შესწავლილ იქნა პოლიმეთილჰიდრიდსილოქსანის ჰიდროსილიდირების რეაქციები ვინილალკოქსისილანებთან სხვადასხვა კატალიზატორების: პლატინაქლორწყალბადმეგავას  $0.1\text{M}$  ხსნარი (ტეტრაჰიდროფურანში), კარსტედის კატალიზატორისა და ნახშირბადზე დაფენილი

პლატინის თანაობისას ( $\text{Pt/C} - 5\%$ ). რეაქციებს ვატარებდით მორეაგირე კომპონენტების სხვადასხვა მოლური თანაფარდობით სხვადასხვა ტემპერატურებზე.

საწყისი კომპონენტების წინასწარი გაცხელებით  $50 \div 85^\circ\text{C}$  ტემპერატურულ ინტერვალში, დადგენილია, რომ გვერდითი რეაქციების მიმდინარეობას ადგილი არა აქვს კარსტედის, პლატინაზე დაფენილი ნახშირბადისა და პლატინაქლორწყალბადმჟავას თანაობისას. თუმცა რეაქციის მიმდინარეობისას დადგენილ იქნა, რომ ხაზოვან პოლიმერებთან ერთად წარმოქმნებოდა განტოტვილი პოლიმერებიც. განტოტვილი პოლიმერების წარმოქმნა შეიძლება განპირობებული იქნას  $\equiv\text{Si}-\text{H}$  ბმის პომოდგვიდროვნებისაციის რეაქციებით, რაც თანხვდენაშია ლიტერატურაში არსებულ მონაცემებთან [150] აღნიშნული რეაქციები ზოგადად შეიძლება გამოსახულ იქნას შემდეგი სქემის მიხედვით [151,152]:

### სქემა 1

$\alpha,\omega$ -ბის(ტრიმეთილსილოქსი)მეთილპიდრიდსილოქსანის  
პიდროსილილირების რეაქცია ვინილალკოჰსისილანებთან



სადაც:  $m \approx 35$  და  $65$ ,  $[(a)+(b)+(c)+(d)](e)=m$ ;  $R=C_2H_5$  და  $R'=OC_2H_5$ , ხოლო კატალიზატორი აღებულია  $H_2PtCl_6 \cdot 6H_2O$ ,  $m \approx 35$ ,  $k=1$ : I -  $50^\circ\text{C}$ ; I<sup>1</sup> -  $60^\circ\text{C}$ ; I<sup>2</sup> -  $70^\circ\text{C}$ ;  $m \approx 35$ ,  $k=2$ : II -  $50^\circ\text{C}$  და  $m \approx 35$ ,  $k=3$ : III -  $50^\circ\text{C}$ ; კატალიზატორი -  $\text{Pt/C}$ ,  $m \approx 35$ ,  $k=1$ : IV -  $50^\circ\text{C}$ ; IV<sup>1</sup> -  $60^\circ\text{C}$ ; IV<sup>2</sup> -  $70^\circ\text{C}$ ;  $R=C_2H_5$ ,  $R'=OC_2H_5$ ,  $m \approx 65$ ,  $k=1$ : V -  $85^\circ\text{C}$  ( $H_2PtCl_6$ ); VI -  $85^\circ\text{C}$  (კარსტედის კატალიზატორი);  $R=CH_3$ ,  $R'=OCH_3$ ;  $m \approx 65$ ,  $k=1$ : VII -  $85^\circ\text{C}$  ( $H_2PtCl_6$ ), VIII -  $85^\circ\text{C}$  (კარსტედის კატალიზატორი).  $R=CH_3$ ,  $R'=CH_3$ ;  $m \approx 35$ ,  $k=1$ : IX -  $80^\circ\text{C}$  ( $H_2PtCl_6$ )

რეაქციის შედეგად მიიღება გამჭვირვალე, ბლანტი ოლიგომერები, რომლებიც იხსნებიან როგორც არომატული ტიპის ორგანულ გამხსნელებში, ასევე დაბალი რიგის სპირტებში (მეთილის, ეთილის და პროპილის სპირტში). სინთეზირებული ოლიგომერების ზოგიერთი ფიზიკურ-ქიმიური თვისებები მოცემულია ცხრილში 1.

### ცხრილი 1

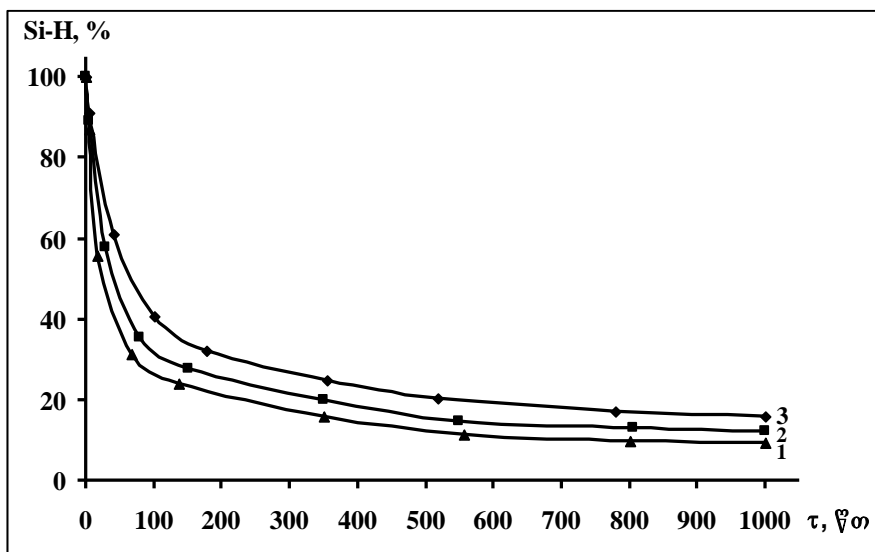
სინთეზირებული ოლიგომერების ზოგიერთი ფიზიკურ-ქიმიური  
თვისებები

№	კატალიზატორი	$T^\circ\text{C}$	გამოსავალი %	$\equiv\text{Si}-\text{H}\%$ კონვერსია	k	$\eta_{b_3}^*$	ელემენტური შედგენილობა, %		
							C	H	Si
I	$H_2PtCl_6$	50	92	84	1	0.07	<u>42.65</u> 42.15	<u>8.96</u> 8.75	<u>24.07</u> 23.77
I <sup>1</sup>	$H_2PtCl_6$	60	91	88	1	0.07	<u>42.76</u> 43.38	<u>8.82</u> 8.76	<u>24.06</u> 23.56
I <sup>2</sup>	$H_2PtCl_6$	70	91	90	1	0.08	<u>42.88</u>	<u>8.25</u>	<u>23.742</u>

							42.54	8.78	3.35
II	$H_2PtCl_6$	50	93	93.6	2	0.08	-	-	-
III	$H_2PtCl_6$	50	94	94	3	0.08	<u>42.96</u> 42.72	<u>8.53</u> 8.73	<u>23.45</u> 23.15
IV	Pt/C	50	93		1	0.07	-	-	-
IV <sup>1</sup>	Pt/C	60	91		1	0.07	-	-	-
IV <sup>2</sup>	Pt/C	70	91	71	1	0.07	<u>41.06</u> 40.98	<u>8.708.</u> 64	<u>24.882</u> 5.03
V	$H_2PtCl_6$	85	91		1	0.08	-	-	-
VI	კარსტედი	85	95		1	0.08	-	-	-
VII	$H_2PtCl_6$	85	90		1	0.07	-	-	-
VIII	კარსტედი	85	95		1	0.08	-	-	-
IX	$H_2PtCl_6$	80	92	86	1	0.07	<u>43.12</u> 42.65	<u>9.10</u> 9.03	<u>27.222</u> 6.56

\* -  $25^{\circ}C$  ტემპერატურაზე ტოლუოლის 1%-იან ხსნარში.

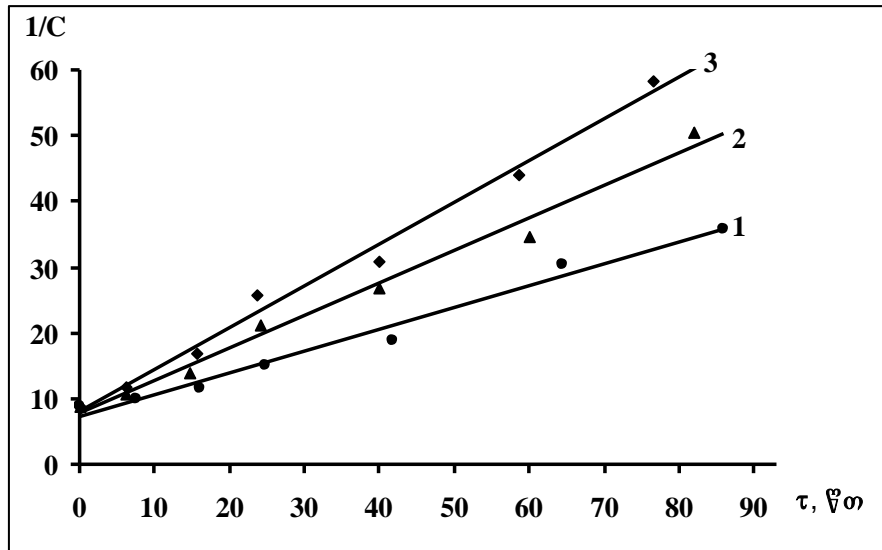
ჰიდროსილიდირების რეაქციები გამხსნელის გარეშე მიმდინარეობს სწრაფად, რაც ართულებს რეაქციის კინეტიკური პარამეტრების დადგენას და ამასთან ადგილი აქვს ნაწილობრივ შეკერილი სისტემების წარმოქმნას პლატინაქლორწყალბადმჟავას თანაობისას. აქედან გამომდინარე რეაქციები შესწავლილ იქნა აბსოლუტური ტოლუოლის არეში  $50\text{--}85^{\circ}C$  ტემპერატურულ ინტერვალში. რეაქციის მიმდინარეობისას პლატინაქლორწყალბადმჟავას თანაობისას ვახდენდით დაკვირვებას აქტიური  $\equiv Si-H$  ბმის კონცენტრაციის ცვლილებაზე ჩუგავვ - ცერევიტინოვის მეთოდით.



ნახაზი 1.  $\equiv Si-H$  ბმის კონცენტრაციის შემცირება დროში  $\alpha,\omega$ -ბის(ტრი-მეთილსილოქსი)მეთილჰიდრიდსილოქსანის მიერთებისას ვინილტრიეთოქ-სისილანთან  $H_2PtCl_6$ -ის თანაობისას (1 მრუდი შეესაბამება  $70^{\circ}C$  ტემპერატურას, 2 -  $60^{\circ}C$ , 3 -  $50^{\circ}C$ )

1 ნახაზზე მოცემულია  $\equiv Si-H$  ბმის კონცენტრაციის ცვლილების მრუდები პოლიმეთიდრიდსილოქსანის ( $m \approx 35$ ) ვინილტრიეთოქსისილანთან მიერთებისას კომპარანგენტების 1:35 მოლური თანაფარდობით. ჰიდროსილიდირება  $50^{\circ}C$ -ზე მიმდინარე-

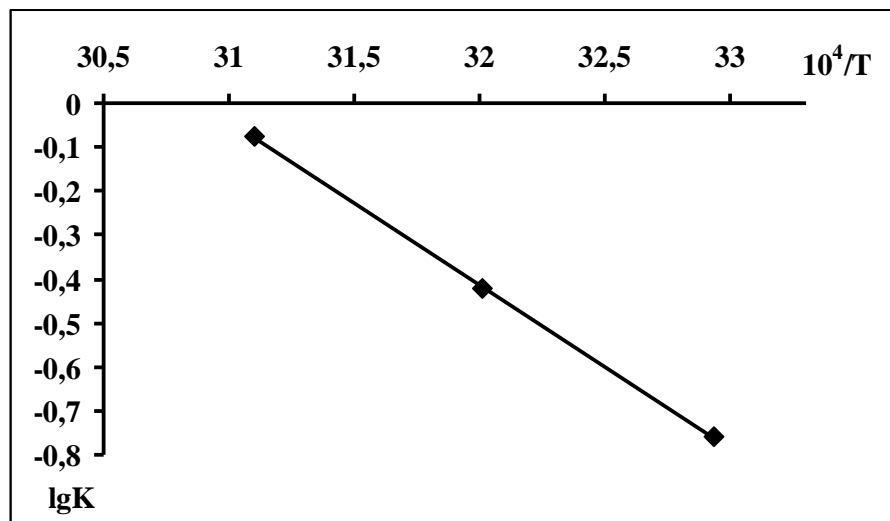
ობს 84%  $\equiv$ Si-H პმის კონცერსით,  $60^{\circ}\text{C}$ -ზე - 88%,  $70^{\circ}\text{C}$ -ზე - 90%, საიდანაც ჩანს, რომ ტემპერატურის ზრდასთან ერთად რეაქციის სიჩქარესთან ერთად იზრდება რეაქციის სიღრმე.



**ნახაზი 2.** კონცენტრაციის შებრუნებული სიდიდის დამოკიდებულება დროზე  $\alpha,\omega$ -ბის(ტრიმეთილსილოქსი)მეთილჰიდრიდსილოქსანის მიერთებისას ვინილტრიეთოქსილანთან  $\text{H}_2\text{PtCl}_6$ -ის თანაობისას (1 მრუდი შეესაბამება  $70^{\circ}\text{C}$  ტემპერატურას, 2 –  $60^{\circ}\text{C}$ , 3 –  $50^{\circ}\text{C}$ ).

მე-2 ნახაზზე წარმოდგენილია კონცენტრაციის შებრუნებული სიდიდის რეაქციის დროზე დამოკიდებულების მრუდი, საიდანაც ჩანს, რომ პიდროსილილირების რეაქცია საწყის სტადიებზე არის მეორე რიგის. ასევე გათვლილია რეაქციის სიჩქარების მუდმივები სხვადასხვა ტემპერატურაზე:  $k_{50^{\circ}\text{C}} \approx 0,0301$ ,  $k_{60^{\circ}\text{C}} \approx 0,0598$  და  $k_{70^{\circ}\text{C}} \approx 0,1171$  ლ/მოლი·სეკ. აღნიშნული რეაქციის ტემპერატურული კოეფიციენტი შეადგენს  $\approx 2$ .

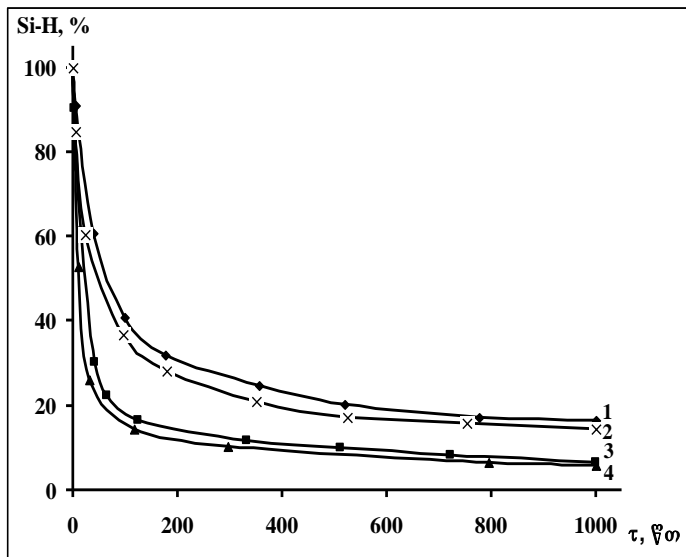
მე-3 ნახაზზე მოცემულია პიდროსილილირების რეაქციის სიჩქარის მუდმივას ლოგარითმის დამოკიდებულების მრუდი ტემპერატურის შებრუნებულ სიდიდესთან, საიდანაც გათვლილია რეაქციის აქტივაციის ენერგია  $E_{\text{აქ}} \approx 41,5$  კკ/მოლი.



**ნახაზი. 3.** პიდროსილილირების რეაქციის სიჩქარის მუდმივას ლოგარითმის დამოკიდებულება ტემპერატურის შებრუნებულ სიდიდესთან  $\alpha,\omega$ -ბის(ტრიმეთილსილოქსი)მეთილჰიდრიდსილო-

### ქსანის მიერთებისას ვინილტრიეთოქსისილანთან

პოლიმეთილჰიდრიდსილოქსანის ვინილტრიეთოქსისილანთან ჰიდროსილილირების რეაქციები შესწავლიდ იქნა როგორც მორეაგირე კომპონენტების სტექიომეტრული თანაფარდობით 1:35 (პოლიმეთილჰიდრიდსილოქსანი  $\approx 35$ ), ასევე ვინილტრიეთოქსისილანის ჭარბი რაოდენობით გამოყენებისას, კერძოდ თანაფარდობით 1:70 და 1:105. მე-4 ნახაზზე მოცემულია ერთი და ოგივე ტემპერატურაზე ( $50^{\circ}\text{C}$ ) მორეაგირე კომპონენტების სხვადასხვა თანაფარდობისას აქტიური  $\equiv\text{Si-H}$  ბმის კონცენტრაციის ცვლილება დროში.



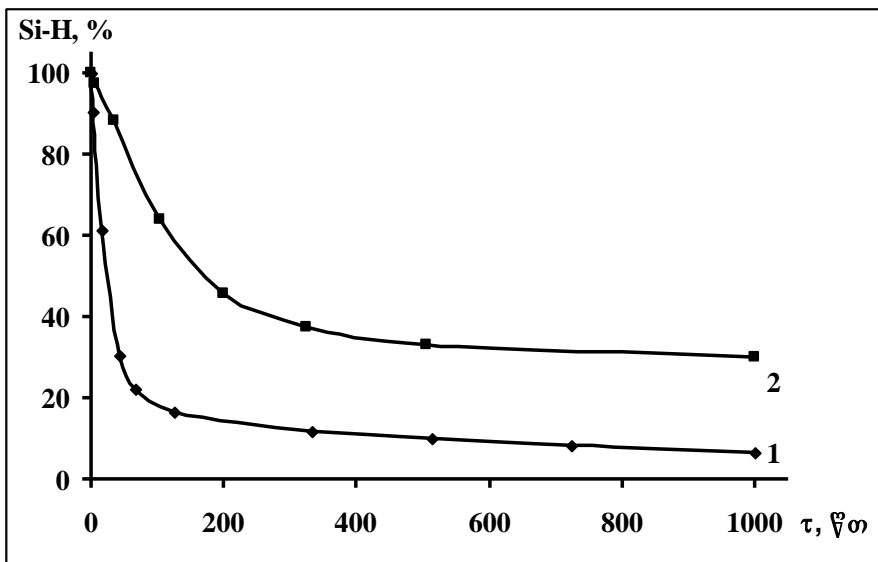
ნახაზი 4.  $\equiv\text{Si-H}$  ბმის კონცენტრაციის შემცირება დროში ა.ო-ბის(ტრიმეთილსილოქსი)მეთილჰიდრიდსილოქსანის მიერთებისას ვინილტრიეთოქსისილანთან  $50^{\circ}\text{C}$ -ს ტემპერატურაზე. 1 მრუდი შეესაბამება 1:35 მოლურ თანაფარდობას, 3 - 1:70, ხოლო 4 - 1:105. 2 მრუდი შეესაბამება მეთილვინილდიეთოქსილანის მიერთებას პლატინაქლორწყალბადმჟავას თანაობისას, მორეაგირე კომპონენტების 1:35 მოლური თანაფარდობით

ზემოთ განხილული ნახაზიდან ჩანს, რომ პოლიმეთილჰიდრიდსილოქსანის ვინილტრიეთოქსილანთან ჰიდროსილილირებისას სტექიომეტრული თანაფარდობის დარღვევით და ვინილტრიეთოქსილანის 2-ჯერ და 3-ჯერ მეტი რაოდენობით აღებისას რეაქციის სიჩქარე და სიღრმე იზრდება (სტექიომეტრულ თანაფარდობისას ის შეადგენს 84%, ხოლო ვინილტრიეთოქსისილანის 2-ჯერ მეტი რაოდენობით გამოყენებისას რეაქცია მიღის 93,6%  $\equiv\text{Si-H}$  ბმის კონცერსიით, ხოლო 3-ჯერ მეტი რაოდენობით 93,9%).

მე-4 ნახაზიდან ასევე ჩანს რომ ჰიდროსილილირების რეაქცია პოლიმეთილჰიდრიდსილოქსანსა და მეთილვინილდიეთოქსისილანს შორის ვინილტრიეთოქსისილანთან (84%) შედარებით მიმდინარეობს უფრო სწრაფად და უფრო ღრმად (86%  $\equiv\text{Si-H}$  ბმის კონცერსიით).

მე-5 ნახაზზე წარმოდგენილია  $\equiv\text{Si-H}$  ბმის კონცენტრაციის ცვლილება დროში  $70^{\circ}\text{C}$  ტემპერატურაზე პოლიმეთილჰიდრიდსილოქსანის ვინილტრიეთოქსილანთან. ჰიდროსილილირების რეაქციის დროს კატალიზატორების პლატინაქლორწყალბადმჟავას და ნახშირბადზე დაფენილი პლატინას თანაობისას, მორეაგირე კომპონენტების 1:70 მოლური თანაფარდობით, ნახაზიდან ჩანს, რომ პლატინაქლორწყალბადმჟავას თანაობისას რეაქციის სიჩქარე და სიღრმე აღემატება ნახშირბადზე დაფენილი პლატინას თანაობისას მიმდინარე რეაქციის სიჩქარესა და სიღრმეს. ჰიდროსილილი პლატინას თანაობისას მიმდინარე რეაქციის სიჩქარესა და სიღრმეს.

შემთხვევაში ადგილი აქვს აქტიური  $\equiv\text{Si-H}$  ბმის კონცენტრაციას 94%-ით, ხოლო მეორე შემთხვევაში 71%.



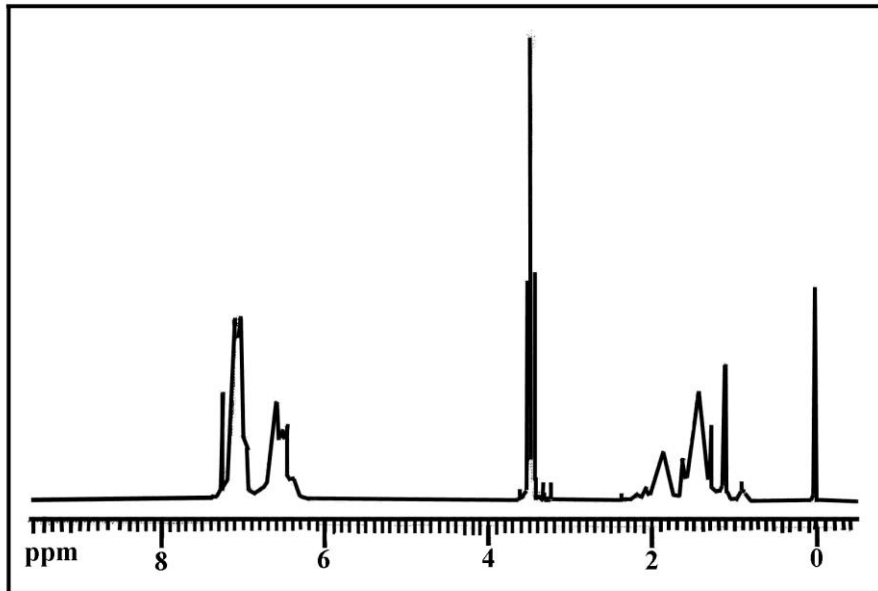
ნახაზი 5.  $\equiv\text{Si-H}$  ბმის კონცენტრაციის შემცირება დროში ა,ω-ბის-(ტრი-მეთილსილოქსი)მეთილჰიდრიდსილოქსანის მიერთებისას ვინილტრიეთოქსისილანთან 70°C-ს ტემპერატურაზე მორეაგირე კომპონენტების 1:70 თანაფარდობისას (1 – მრუდი შეესაბამება პლატინაქლორწყალბადმჟავას თანაობისას მიმდინარე რეაქციას, 2 – Pt/C)

სინთეზირებული ოლიგომერების შედგენილობა და აღნაგობა დადგენილია ფუნქციური და ელემენტური ანალიზით, ფურიე გარდაქმნის იქ და ბმრ სპექტრული მონაცემებით. I<sup>1</sup> ოლიგომერის ფურიე გარდაქმნის იქ სპექტრში შეიმჩნევა -SiMe<sub>3</sub>,  $\equiv\text{Si-CH}_2-$ ,  $\equiv\text{Si-Me}$  და  $\equiv\text{Si-O-Si}\equiv$  ბმებისათვის დამახასიათებელი შთანთქმის ზოლები 765, 1200, 1265 და 1025 სმ<sup>-1</sup> უბანში. ასევე ფურიე გარდაქმნის იქ სპექტრში შეიმჩნევა პიდროსილილირების რეაქციაში შეუსვლელი  $\equiv\text{Si-H}$  ბმისათვის დამახასიათებელი დაბალი ინტენსივობის შთანთქმის ზოლი 2165 სმ<sup>-1</sup> უბანში, რომელიც მიუთითებს, რომ პიდროსილილირების დროს  $\equiv\text{Si-H}$  ბმის კონცენტრაცია არ მიმდინარეობს სრულად და მიიღება სხვადასხვარგოლიანი ოლიგომერები [153-155].

აღსანიშნავია, რომ კარსტედის კატალიზატორის გამოყენების შემთხვევაში, პოლიმეთილჰიდრიდსილოქსანისა და ვინილტრიეთოქსისილანის 1:70 თანაფარდობისას უკანასკნელი სიგნალი არ შეიმჩნეოდა VIII ოლიგომერის ფურიე გარდაქმნის იქ სპექტრში, რაც მიუთითებს, რომ აღნიშნული კატალიზატორის თანაობისას აქტიური  $\equiv\text{Si-H}$  ბმის კონცენტრაცია ფაქტიურად სრულად მიმდინარეობს.

მე-6 ნახაზზე წარმოდგენილია VIII ოლიგომერის <sup>1</sup>H ბმრ სპექტრი, სადაც შეიმჩნევა  $\equiv\text{Si-Me}$  და -SiMe<sub>3</sub> პროტონებისათვის დამახასიათებელი სინგლეტური სიგნალები ქიმიური წანაცვლების ცენტრით  $\delta=0.02$  ვმნ და  $\delta=0.03$  ვმნ, =CH-CH<sub>3</sub> ფრაგმენტის მეთილის პროტონებისათვის დამახასიათებელი მულტიპლეტური სიგნალი ქიმიური წანაცვლების ცენტრით  $\delta=0.9$  ვმნ,  $\equiv\text{Si-CH}_2-$  ფრაგმენტის მეთილენური ფრაგმენტისათვის დამახასიათებელი ტრიპლეტური სიგნალი ქიმიური წანაცვლების ცენტრით 1.12 ვმნ. (CH<sub>3</sub>O)<sub>3</sub>Si-CH<sub>2</sub>- ფრაგმენტის მეთილენური პროტონებისათვის დამახასიათებელი ტრიპლეტური სიგნალი ქიმიური წანაცვლების ცენტრით  $\delta=1.46$  ვმნ, =CH-CH<sub>3</sub> ფრაგმენტის მეთინური პროტონებისათვის დამახასიათებელი მულტიპლეტური სიგნალი ქიმიური წანაცვლების ცენტრით  $\delta=1.86$  ვმნ. ასევე შეიმჩნევა CH<sub>3</sub>O ჯგუფების მეთილის პროტონებისათვის დამახასიათებელი ტრიპლეტური სიგნალი

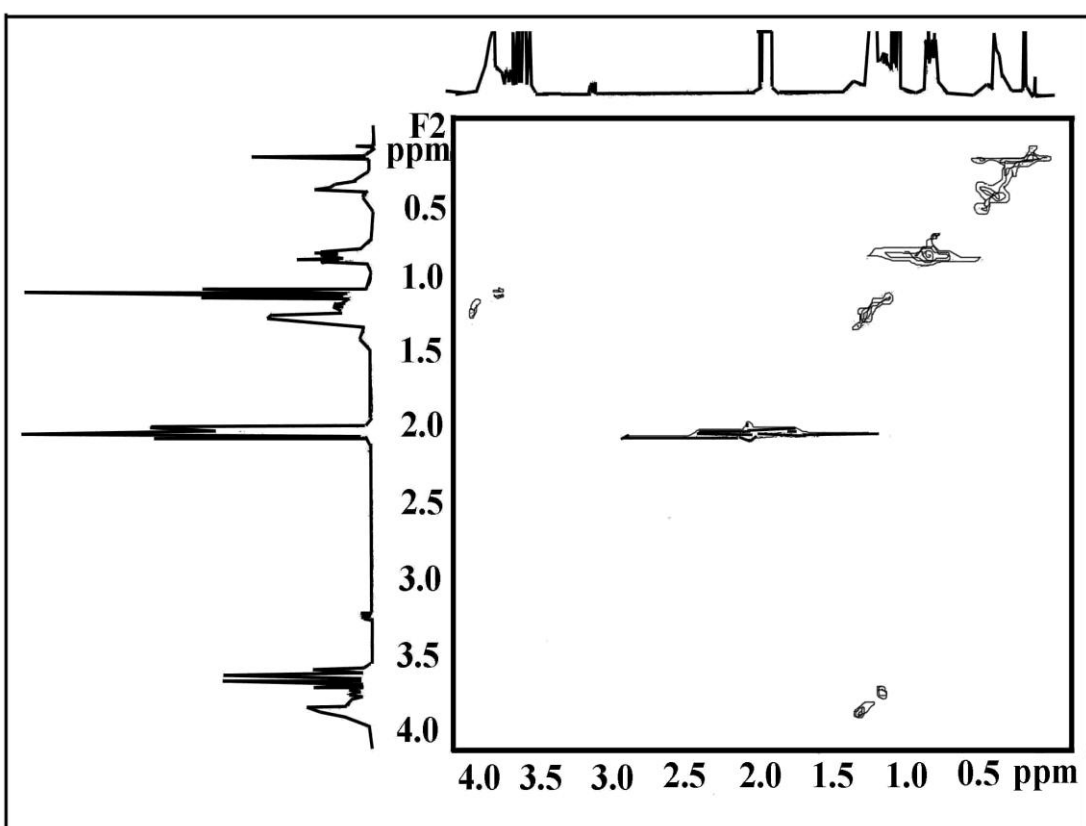
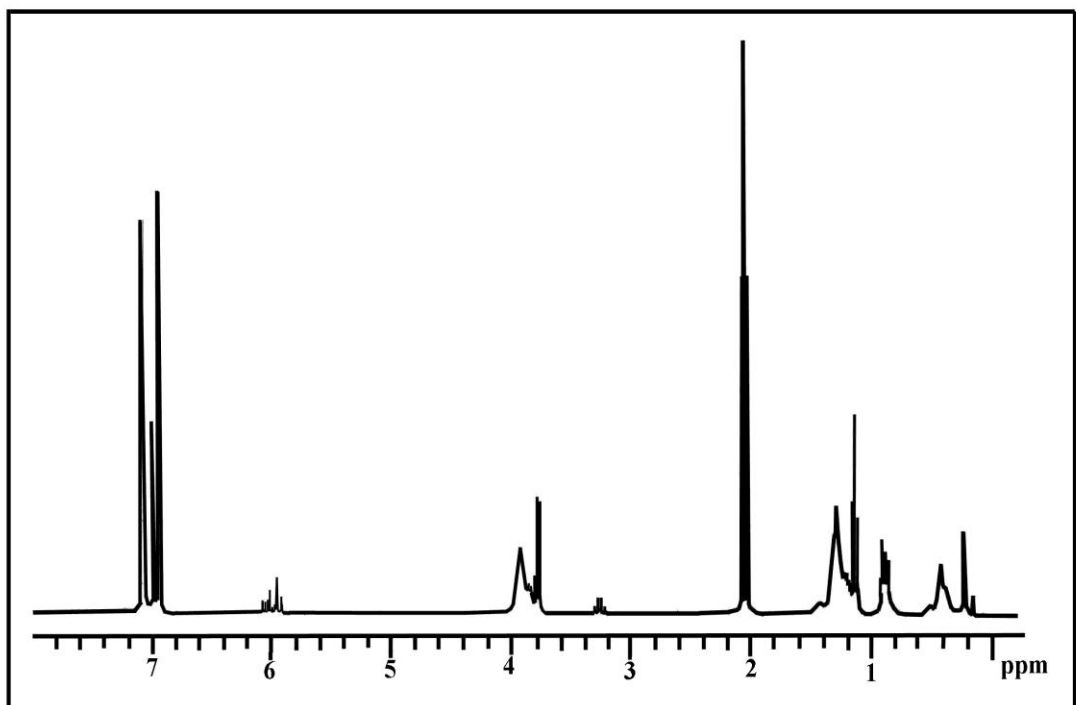
ქიმიური წანაცვლების ცენტრით  $\delta=3.5$  გმნ. აღსანიშნავია, რომ VIII ოლიგომერის  $^1\text{H}$  ბმრ სპექტრში არ შეიმჩნევა  $\equiv\text{Si}-\text{H}$  ბმისათვის დამახასიათებელი სიგნალი 4.1-4,5 გმნ უბანში, რაც ზემოთ განხილულ ფურიე გარდაქმნის იწ სპექტრთან ერთად მიუთითებს რეაქციის სრულად მიმდინარეობაზე. როგორც სპექტრული მონაცემები-დან ჩანს რეაქცია მიმდინარეობს ძირითადად ფარმერის წესის მიხედვით, თუმცა ადგილი აქვს რეაქციის მარკოვნიკოვის წესით წარმართვასაც. VII ოლიგომერის  $^1\text{H}$  ბმრ სპექტრში დამატებით შეიმჩნევა რეაქციაში შეუსვლელი  $\equiv\text{Si}-\text{H}$  ჯგუფის პროტონისათვის დამახასიათებელი დაბალი ინტენსივობის სიგნალი, რაც მიუთითებს იმაზე, რომ პლატინაქლორწყალბადმჟავას თანაობისას რეაქცია არ მიმდინარეობს სრულად.



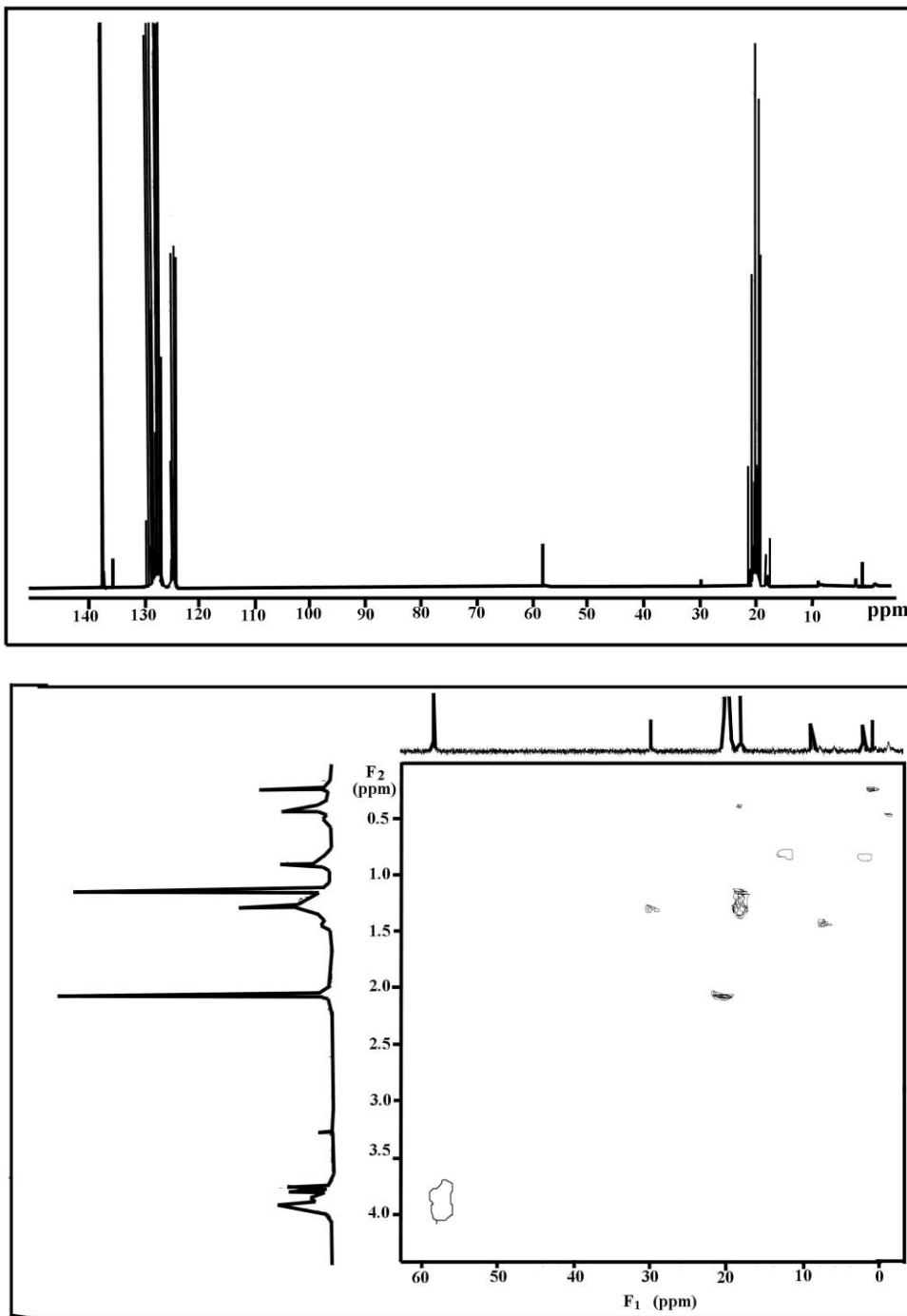
ნახაზი 6. VIII ოლიგომერის  $^1\text{H}$  ბმრ სპექტრი

მე-7 და მე-8 ნახაზზე წარმოდგენილია  $^1\text{H}$ , H,H-COSY,  $^{13}\text{C}$ , და  $\text{C}_2\text{H}_5\text{O}_3\text{Si}-\text{CH}_2-$ -კორელაციური სპექტრები.  $^1\text{H}$  და H,H-COSY ბმრ სპექტრში შეიმჩნევა  $\equiv\text{Si}-\text{Me}$  და  $\equiv\text{SiMe}_3$  პროტონებისათვის დამახასიათებელი სინგლეტური სიგნალები ქიმიური წანაცვლების ცენტრით  $\delta=0.1$  გმნ და  $\delta=0.3$  გმნ,  $\equiv\text{Si}-\text{CH}_2-$  ფრაგმენტის მეთილენური ფრაგმენტისათვის დამახასიათებელი ტრიპლეტური სიგნალი ქიმიური წანაცვლების ცენტრით 0.45 გმნ,  $=\text{CH}-\text{CH}_3$  ფრაგმენტის მეთილის პროტონებისათვის დამახასიათებელი ტრიპლეტური სიგნალი ქიმიური წანაცვლების ცენტრით  $\delta=0.95$  გმნ, ასევე  $(\text{C}_2\text{H}_5\text{O})_3\text{Si}-\text{CH}_2-$  ფრაგმენტის მეთილენური პროტონებისათვის დამახასიათებელი სიგნალი ქიმიური წანაცვლების ცენტრით  $\delta=1.15$  გმნ,  $=\text{CH}-\text{CH}_3$  ფრაგმენტის მეთინური პროტონებისათვის დამახასიათებელი მულტიპლეტური სიგნალი ქიმიური წანაცვლების ცენტრით  $\delta=1.35$  გმნ. სპექტრში ასევე შეიმჩნევა  $-\text{CH}_2\text{O}-$  ფრაგმენტების მეთილენური პროტონებისათვის დამახასიათებელი მულტიპლეტური სიგნალი ქიმიური წანაცვლების ცენტრით  $\delta=3.8$  გმნ. სპექტრში ადგილი აქვს  $\text{CH}_3\text{CH}_2\text{O}-$  ფრაგმენტის მეთილის პროტონებისათვის დამახასიათებელი სიგნალის  $\delta=0.95$  გმნ ზედდებას  $=\text{CH}-\text{CH}_3$  ფრაგმენტის მეთილის პროტონებისათვის დამახასიათებელ სიგნალთან.

სპექტრული მონაცემებიდან ჩანს, რომ რეაქცია მიმდინარეობს ძირითადად ფარმერის წესის მიხედვით, თუმცა ადგილი აქვს რეაქციის მარკოვნიკოვის წესით წარმართვასაც.



ნახავი 7. I<sup>2</sup> ოლიგომერის <sup>1</sup>H და H,H-COSY სპექტრები

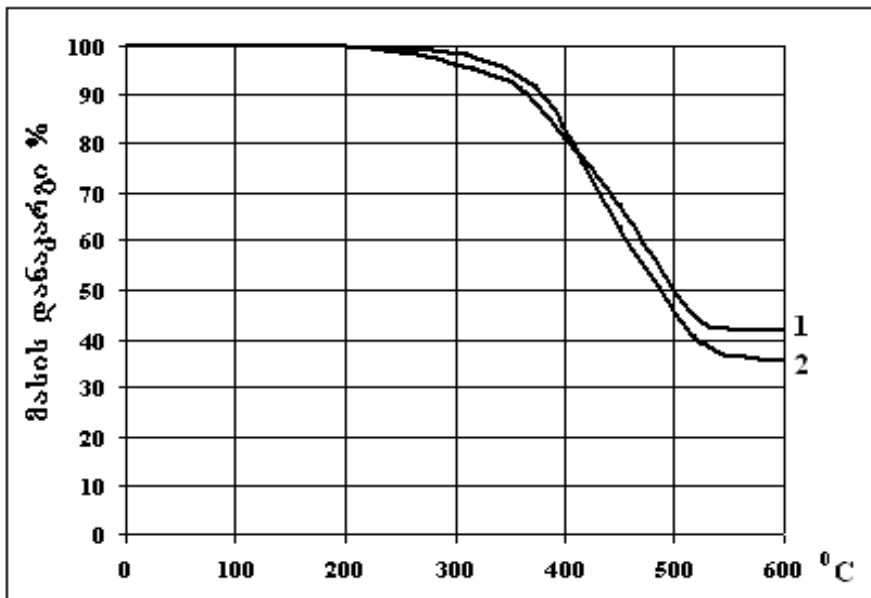


ნახაზი 8.  $I^2$  ოლიგომერის  $^{13}\text{C}$  და  $\text{C},\text{H}$ -კორელაციური სპექტრები

$I^2$  ოლიგომერის  $^{13}\text{C}$  ბმრ და  $\text{C},\text{H}$ -კორელაციური სპექტრები სრულ თანხმობაშია  $^1\text{H}$  და  $\text{H},\text{H}$ -COSY ბმრ სპექტრების მონაცემებთან და მოწმობს, რომ რეაქცია მიმდინარეობს როგორც მარკოვნიკოვის, ასევე ფარმერის წესის მიხედვით.  $^{13}\text{C}$  ბმრ სპექტრში შეიძლება  $-\text{CH}_2\text{O-Si}\equiv$  ფრაგმენტის ნახშირბადისათვის დამახასიათებელი სიგნალი  $\delta=59.0$  ვმნ,  $=\text{CH}-\text{CH}_3$  ფრაგმენტის მეთინური ნახშირბადისათვის სიგნალი  $\delta=30.0$  ვმნ,  $\equiv\text{Si-CH}_2$ -სათვის  $-\delta=18.2$ ,  $(\text{CH}_3\text{O})_3\text{Si-CH}_2$ - მეთილენური ნახშირბადისათვის  $-\delta=18.0$  ვმნ,  $=\text{CH}-\text{CH}_3$  ფრაგმენტის მეთილის ნახშირბადისათვის  $\delta=9.0$  ვმნ.

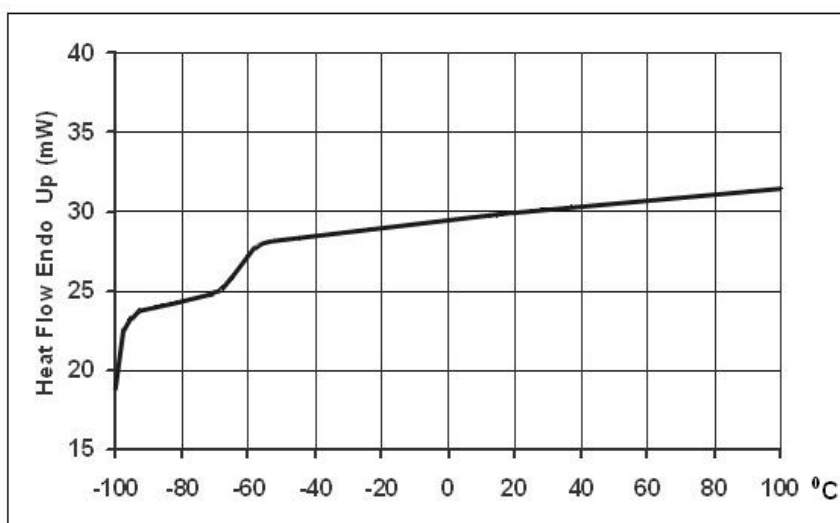
სინთეზირებული ოლიგომერებისათვის ჩატარებულ იქნა თერმოგრავიმეტრული გამოკვლევები ინერტულ არეში. მე-9 ნახაზზე მოცემულია V და VII ოლიგომერების

ის თერმოგრავიმეტრული მრუდები, საიდანაც ჩანს, რომ აღნიშნული ოლიგომერები ხასიათდებიან მაღალი თერმოსტაბილურობით, 5%-იანი მასის დანაკარგი შეიმჩნევა შესაბამისად  $350^{\circ}\text{C}$  და  $370^{\circ}\text{C}$  ტემპერატურაზე. დესტრუქციის ძირითადი პროცესი მიმდინარეობს  $370\text{--}550^{\circ}\text{C}$  ტემპერატურულ ინტერვალში.



ნახაზი 9. V და VII ოლიგომერების თერმოგრავიმეტრული მრუდები.(1 მრუდი შეესაბამება VII ოლიგომერს, ხოლო 2 მრუდი - V)

ოლიგომერებისათვის ჩატარებულია დიფერენციალური სკანირებადი კალორიმეტრული გამოკვლევები. მე-10 ნახაზზე მოცემულია IX ოლიგომერის დიფერენციალური სკანირებადი კალორიმეტრული მრუდი. კვლევამ აჩვენა, რომ IX ოლიგომერისათვის შეიმჩნევა ერთი ენდოთერმული პიკი, რომელიც შეესაბამება მისი გამინების ტემპერატურას  $T_{\text{გამ}} \approx -65^{\circ}\text{C}$ . ყოველივე ეს მიგვითოვებს იმაზე, რომ მეთილპირიდიდილოქსანის მოდიფიკაციის პროცესი მიღწეულია, ვინაიდან სუფთა მეთილპირიდიდილოქსანის გამინების ტემპერატურა შეადგენს  $\sim -123^{\circ}\text{C}$ .



ნახაზი 10. IX ოლიგომერის დიფერენციალური სკანირებადი კალორიმეტრული მრუდი

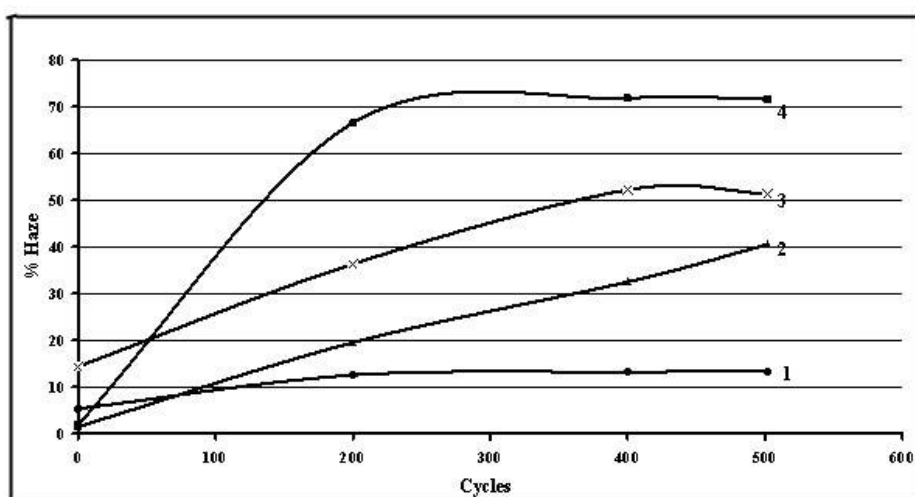
სინთეზირებული ოლიგომერი VII გამოყენებულ იქნა სილოქსანური საფარველების დასამზადებლად, რომლებიც დაიტანებოდა პოლიკარბონატის ფირფიტაზე.

პირველ ეტაპზე ჩვენს მიერ ჩატარებულ იქნა ტეტრაეთოქსილანის ზოლ - გელური პროცესი.  $\text{Si}(\text{OC}_2\text{H}_5)_4$ -ის პიდროლიზე ვატარებდით სპირტის ხსნარში 0.02N HCl ხსნარის თანაობისას (თანავარდობა -  $\text{Si}(\text{OC}_2\text{H}_5)_4 : \text{C}_2\text{H}_5\text{OH} : 0.02\text{N HCl} = 2.2:1:1$ ). 18 საათის შემდეგ მიღებულ მასას ვამატებდით საერთო მასის 0,8% 15%-იან ძმარმჟავას, საერთო მასის 50% რაოდენობით წყალს და ოლიგომერ VII-ს (საწყისი საერთო მასის ტოლი რაოდენობით). 4 საათი მორევის შემდეგ დამატებულ იქნა 2-პროპანოლი და წყალი და მიიღებოდა სილოქსანური პიდროგელი.

პოლიკარბონატის ფირფიტები წინასწარ გარეცხილ იქნა სპეციალური სარეცხი საშუალების - ALCONOX და წყლის გამოყენებით, შემდეგ იზოპროპანოლით და გაშრობილ იქნა აზოტის ნაკადით. ჩვენს მიერ მომზადებული ხსნარი დატანილ იქნა გასუფთავებულ პოლიკარბონატის ფირფიტაზე. საფარველის დატანისთანავე პოლიკარბონატის ფირფიტა მოთავსებულ იქნა ღუმელში 100°C ტემპერატურაზე 5 საათის განმავლობაში (ნიმუში 1).

დამზადებულ იქნა მეორე ნიმუში, სადაც ჩვენს მიერ მიღებული ხსნარის დატანამდე პოლიკარბონატის ფირფიტა გრუნტირებულ იქნა მზა საფარველით CT-510 (მეთაკრილატური საფარველი). ჩვენს მიერ მომზადებული ხსნარით გრუნტირებული ფირფიტის შემდგომი დაფარვა ჩატარებულ იქნა ზემოთ განხილული მეთოდიკის ანალოგიურად (ნიმუში 2).

სილიკონური საფარველით დაფარული პოლიკარბონატის ფირფიტებისათვის ჩატარებულ იქნა აბრაზიული კვლევა. მე-11 ნახაზზე მოცემულია სიმქრქალის ცვლილების დამოკიდებულება ციკლების რაოდენობაზე.



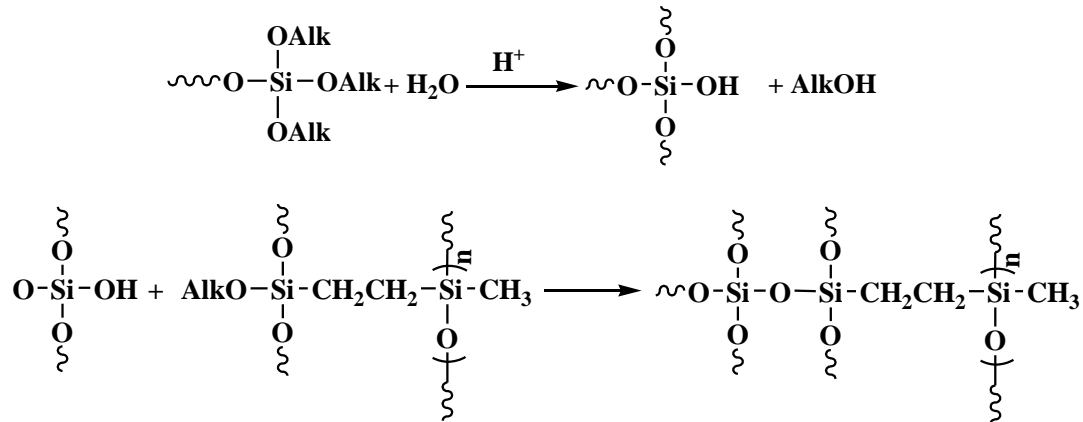
**ნახაზი 11.** სიმქრქალის ცვლილების დამოკიდებულება ციკლების რაოდენობაზე. 1 მრუდი შეესაბამება მრეწველობაში ფართოდ გამოყენებულ პოლიკარბონატის ფირფიტას სამარკო სახელწოდებით GE, 2 მრუდი – ნიმუში 2, 3 მრუდი ნიმუში 1, 4 მრუდი – პოლიკარბონატის დაუფარავი ფირფიტა

ნახაზიდან ჩანს, რომ მეთაკრილატური გრუნტის გამოყენება აუმჯობესებს ჩვენს მიერ დამზადებული საფარველის მექანიურ თვისებებს. ასევე აღსანიშნავია, რომ ნიმუში 2 (მრუდი 2) საწყის ეტაპზე – პირველი ასი ციკლის შესრულებისას უკეთესი გამჭვირვალობით ხასიათდება ვიდრე წარმოებაში ფართოდ გამოყენებული ნიმუში GE\*.

\*აბრაზიული კვლევა ჩატარებულია ტეხასის უნივერსიტეტში პროფესორ ვიტოლდ ბროსტოუს ლაბორატორიაში, ქ. დ., გ. ტიტვინიძის მიერ.

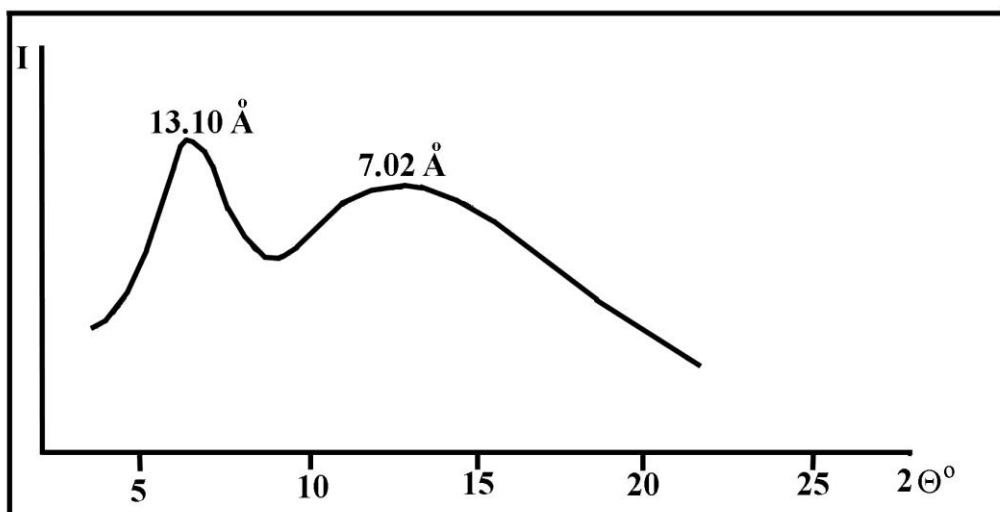
საფარველის წარმოქმნისას მიმდინარე ზოლ - გელური პროცესი, რომლის დროსაც ადგილი აქვს ჰიდროლიზისა და კონდენსაციის რეაქციებს შეიძლება გამოისახოს შემდეგი ზოგადი სქემის მიხედვით:

### სქემა 2. ზოლ-გელური პროცესი



სწორედ ზოლ-გელური ჰიდროლიზის შედეგად მიმდინარეობს მეთაკრილატური ზედაპირის დაფარვა სილოქსანური ოლიგომერების თხელი აფსკით.

სინთეზირებული ოლიგომერებისათვის ჩატარებულ იქნა ფართოკუთხოვანი რენტგენოგრაფიული გამოკვლევა. მე-12 ნახაზზე მოცემულია VII ოლიგომერის დიფრაქტოგრამა, საიდანაც ირკვევა, რომ სინთეზირებული ოლიგომერები წარმოადგენებ ერთფაზიან ამორფულ სისტემებს.



ნახაზი 12. VII ოლიგომერის რენტგენოგრაფიული მრუდი

დიფრაქტოგრამაზე მკვეთრად ჩანს ორი მაქსიმუმი  $2\theta=6,5^\circ$  და  $2\theta=13,8^\circ$  უბანში. ძირითადი მაქსიმუმი  $2\theta=6,5^\circ$  შეესაბამება ჯაჭვთაშორისი მანძილის მაქსიმალურ მნიშვნელობას  $d_1=13,10 \text{ \AA}$ , ხოლო  $2\theta=13,8^\circ$  შეესაბამება  $d_2=7,02 \text{ \AA}$ , რომლის მნიშვნელობა უფრო რთული ხასიათისაა და განსაზღვრავს როგორც შიგა ჯაჭვურ, აგრეთვე ატომთა შორის ურთიერთქმედებებს [156].

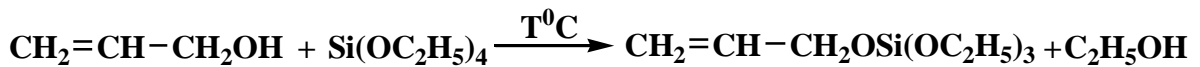
ამდენად, ჩვენს მიერ პირველად იქნა შესწავლილი მეთილპიდრიდსილოქსანის პიდრიდული მიერთების რეაქცია ვინილტრიეთოქსისილანთან და მეთილვინილდიეთოქსისილანთან პლატინაქლორწყალბადმჟავას, კარსტელის კატალიზატორის და ნახშირბადზე დაფენილი პლატინას თანაობისას. დადგენილია, რომ რეაქცია მიმდინარეობს როგორც ფარმერის წესის მიხედვით, ასევე მის საწინააღმდეგოდ. სინთეზირებულია ოლიგომერები ეთოქსისილილური ფრაგმენტებით გვერდით ჯაჭვში. აღნიშნული პროდუქტები გამოცდილ იქნა საფარველების დასამზადებლად და ნაჩვენებია მათი პერსპექტიულობა ამ მიმართულებით. ასევე აღსანიშნავია, რომ სინთეზირებული პროდუქტები შეიძლება წარმატებით გამოყენებულ იქნან სილიკაპიდროგელებისა და სილიკაეროგელების მისაღებად. შესაძლებელია აღნიშნული ოლიგომერები მათი მულტიფუნქციური ჯგუფების გამო გამოყენებულ იქნან სხვადასხვა კომპოზიციურ მასალებში შემაკავშირებლად.



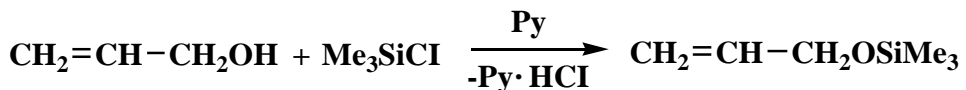
## 2.2. α,ω-ბის(ტრიმეთილსილოქსი)მეთილპიდრიდსილოქსანის ჰიდრიდული მიერთების რეაქცია ალილის სპირტის ტრიეთოქსისილილირებულ და ტრიმეთილსილილირებულ ეთერებთან

აღნიშნულ თავში განხილულია საგარცხლისებური აღნაგობის სილიციუმორგანული ოლიგომერების მიღება, რომლებიც გვერდით ჯაჭვში შეიცვენ პროპილოქსიტრიეთოქსისილილირებულ და პროპილოქსიტრიმეთილსილანურ ჯგუფებს. ამ მოზნით შესწავლილ იქნა α,ω-ბის(ტრიმეთილსილოქსი)მეთილპიდრიდსილოქსანის ჰიდრიდული მიერთების რეაქცია ალილოქსიტრიეთოქსისილანთან და ალილოქსიტრიმეთილსილათან.

საწყისი პროდუქტის - ალილოქსიტრიეთოქსისილანის მიღების მიზნით, ჩვენს მიერ პირველ სტადიაზე ჩატარებულია ალილის სპირტის ჰეტეროფუნქციური კონდენსაციის რეაქცია ტეტრაეთოქსისილანთან, მორეაგირე კომპონენტების 1:2 თანაფარდობით, 80-90°C ტემპერატურულ ინტერვალში, მუდმივი მორევის პირობებში. გამოყოფილი ეთილის სპირტი იდევნებოდა სარეაქციო არედან. სარეაქციო პროდუქტი გამოხდილ იქნა ვაკუუმზე. რეაქცია ძირითადად მიმდინარეობს შემდეგი სქემის მიხედვით [157, 158]:



მიღებული ალილოქსიტრიეთოქსისილანის ფიზიკურ - ქიმიური მახასიათებლები ემთხვევა ლიტერატურულ მონაცემებს [159], ხოლო რაც შეეხება ალილოქსიტრიმეთილსილანს, იგი მიღებული იქნა ალილის სპირტის ჰეტეროფუნქციური კონდენსაციის რეაქციით ტრიმეთილქლორსილანთან, მორეაგირე კომპონენტების 1:2 თანაფარდობით, აბსოლუტურად მშრალი ტოლუოლის 30-40%-იან ხსნარში, პირდინის თანაობისას ოთახის ტემპერატურაზე. რეაქცია მიმდინარეობს შემდეგი სქემის მიხედვით:

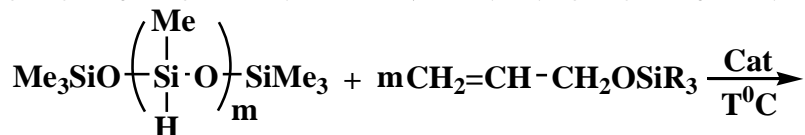


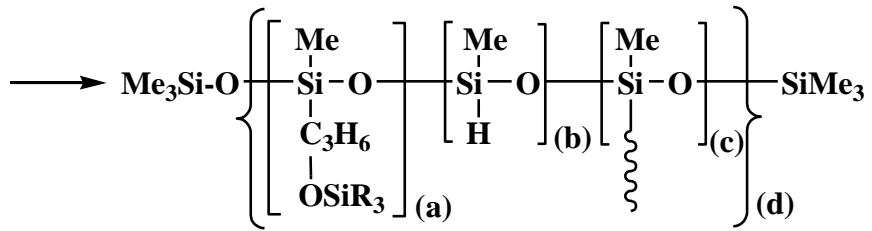
მიღებული ალილოქსიტრიმეთილსილანის ფიზიკურ - ქიმიური მახასიათებლები ემთხვევა ლიტერატურულ მონაცემებს [160].

მეთილპიდრიდსილოქსანის ჰიდრიდული მიერთების რეაქციები ალილოქსიტრიეთოქსისილანთან და ალილოქსიტრიმეთილსილანთან შესწავლილ იქნა კატალიზატორ პლატინაქლორწყალბადმევას 0,1M ხსნარის (ტეტრაპიდროფურანში) თანაობისას, მორეგირე კომპონენტების 1:35 თანაფარდობისას, სხვადასხვა ტემპერატურაზე (60-80°C), აბსოლუტური ტოლუოლის ხსნარში რეაქცია ძირითადად მიმდინარეობს შემდეგი სქემის მიხედვით [157, 158]:

### სქემა 3

მეთილპიდრიდსილოქსანის ჰიდრიდული მიერთების რეაქციები ალილოქსიტრიეთოქსისილანთან და ალილოქსიტრიმეთილსილანთან:





სადაც, [(a)+(b)+(c)](d) = m ≈ 35: R=OC<sub>2</sub>H<sub>5</sub>, X<sup>1</sup> (60°C), X<sup>2</sup> (70°C), X (80°C); R=Me, XI (80°C).

სინთეზირებული ოლიგომერები წარმოადგენენ ბლანტ გამჭვირვალე პროდუქტებს, რომლებიც კარგად იხსნებიან არომატული ტიპის ორგანულ გამსსნელებში ხვედრითი სიბლანტით  $\eta_{\text{sp}} = 0.08 \div 0.09$ . ოლიგომერების შედგენილობა და სტრუქტურა დამტკიცებულ იქნა ფუნქციური და ელემენტური ანალიზით, ფურიე გარღამების იწ, <sup>1</sup>H და <sup>13</sup>C ბმრ სპექტრული მონაცემებით. ოლიგომერების ზოგიერთი თვისება მოცემულია მე-2 ცხრილში.

## ცხრილი 2

მეთილსილოქსანური ოლიგომერების პროპილოქსიტრიეთოქსისილანური და პროპილოქსიტრიმეთილსილანური ფრაგმენტებით გვერდით ჯაჭვში

№	T <sup>0</sup> C	გამოსავალი %	$\eta^*_{\text{sp}}$	d <sub>1</sub> , Å	K <sub>t</sub> <sup>0</sup> C	≡Si-H% კონვერსია	ელემენტური შედგენილობა, %		
							C	H	Si
X <sup>1</sup>	60	76	0.09	—	1.1086	80	41.72 41.46	8.52 9.98	21.25 21.61
X <sup>2</sup>	70	81	0.09	—	1.9314	86	42.12 42.11	8.55 8.53	21.05 21.17
X	80	88	0.09	7.08	2.9652	93	42.51 42.28	8.58 8.56	20.69 20.96
XI	80	87	0.08	7.35	-	94	43.14 43.43	9.01 8.82	28.91 28.83

\*1%-იანი აბსოლუტურად მშრალი ტოლუოლ სინარჩუ, 25°C ტემპერატურაზე.

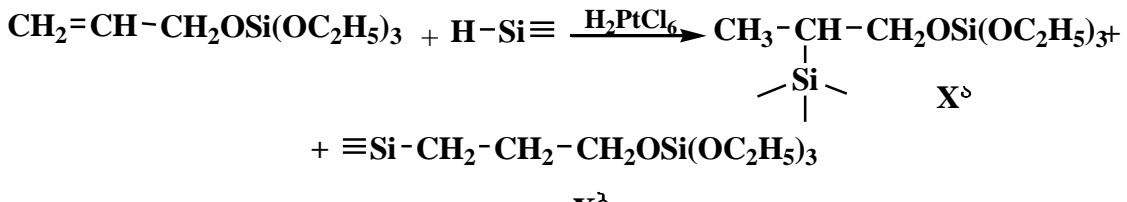
სინთეზირებული ოლიგომერების ფურიე გარღამების იწ სპექტრში შეიმჩნევა რეაქციაში შეუსვლელი ≡Si—H ბმისათვის დამახასიათებელი შთანთქმის ზოლი 2160-2165 სმ<sup>-1</sup> უბანში. სპექტრში ასევე შეიმჩნევა ≡Si—O—C≡ ბმისათვის დამახასიათებელი შთანთქმის ზოლი 1155 სმ<sup>-1</sup> უბანში, ხაზოვანი ≡Si—O—Si≡ ბმისათვის დამახასიათებელი ასიმეტრიული შთანთქმის ზოლი 1020-1030 სმ<sup>-1</sup> უბანში, ≡Si—Me და ≡Si—Me<sub>3</sub> ბმებისათვის დამახასიათებელი შთანთქმის ზოლები 1270 და 840 სმ<sup>-1</sup> უბანში [153-155].

მეთილკიდრიდისილოქსანის მიერთებით ალიგოლოქსიტრიეთოქსისილანთან შეიძლება წარიმართოს როგორც მარკოვნიკოვის წესით, ისე მის საწინააღმდეგოდ. მაგრამ ვინაიდან უანგბადის ატომი უჯერი ბმიდან მეთილენის ხიდით არის დაცილებული, ამიტომ მისი გავლენა უჯერ ბმაზე შესუსტებულია და რეაქცია ორივე მიმართულებით დაახლოებით ერთნაირი ინტენსივობით მიმდინარეობს. აღნიშნული ფაქტი დასტურდება <sup>1</sup>H და <sup>13</sup>C ბმრ სპექტრული მონაცემებით, რომლის თანახმად მარკოვნიკოვის წესით მიერთების პროდუქტი ოდნავ მეტი რაოდენობით წარმოიქმნება და თანაფარდობა 1,4:1 ტოლია ანუ 58% (მარკოვნიკოვი) და 42% (ფარმერი). პროდუქტი X<sup>o</sup> ხასიათდება დუბლეტური ბუნების მეთილის ჯგუფით, ქიმიური წანაცვლების ცენტრით δ=1.19 ვმნ. მეთინის ჯგუფისათვის შეინიშნება გაფართოებული სექტეტური ბუნების სიგნალი ქიმიური წანაცვლების ცენტრით δ= 1.66 ვმნ

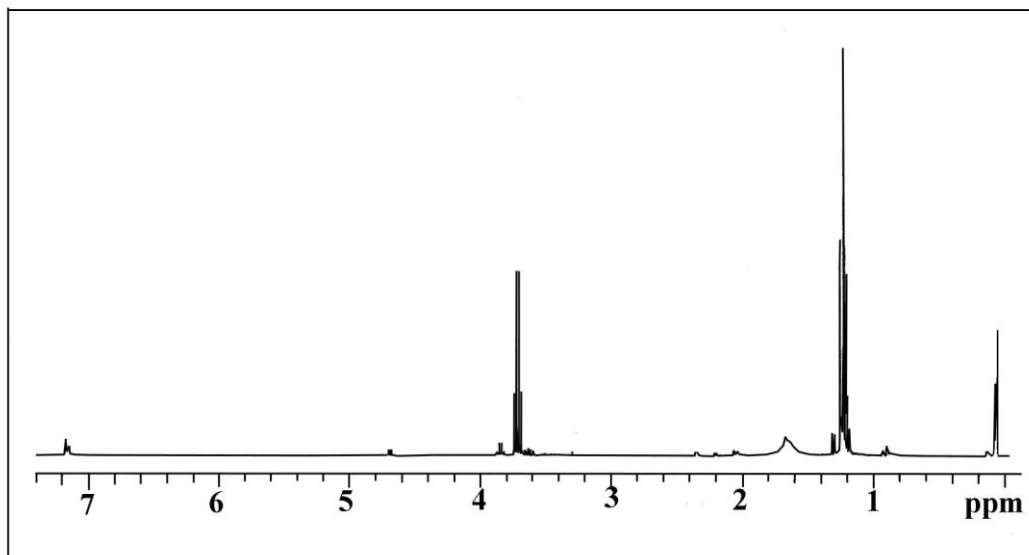
და ასევე მეთილენური პროტონებისათვის ტრიპლეტური სიგნალი ქიმიური წანაც-  
ლების ცენტრით  $\delta=3.6$  ვმნ

#### სქემა 4

მეთილჰიდრიდსილოქსანის შესაძლებელი მიერთება  
ალილოქსიტრიეთოქსისილანთან



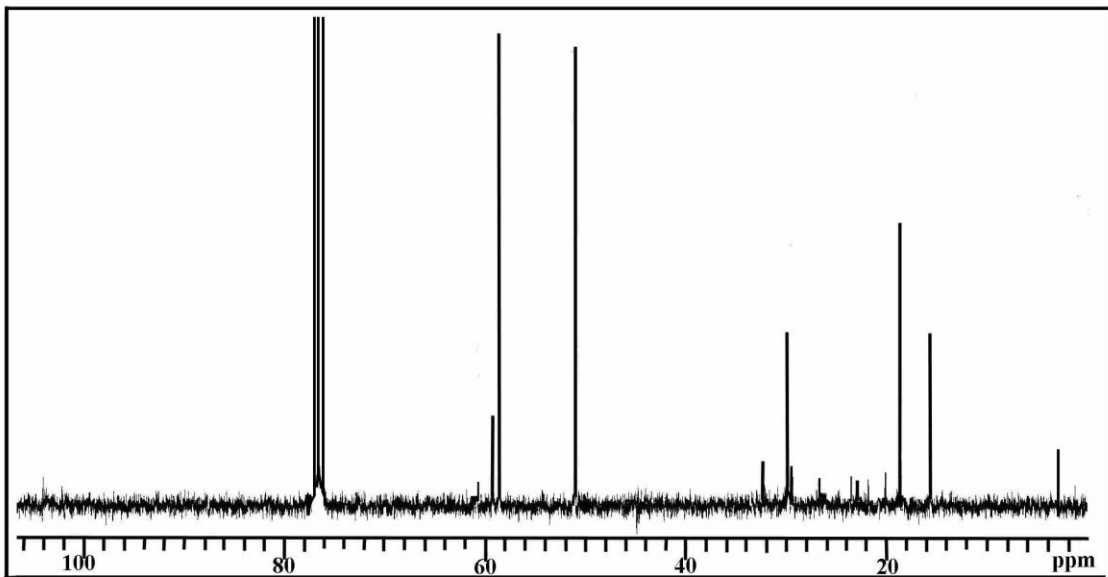
$\text{X}^\delta$  ნივთიერების პროტონულ სპექტრში შეიმჩნევა სილიციუმის ატომთან მდგო-  
მი მეთილენის ჯგუფისათვის შესაბამისი ტრიპლეტური სიგნალი ქიმიური წანაც-  
ლებით  $\delta=0.9$  ვმნ. ელექტროუარყოფით ჟანგბადის ატომთან დაკავშირებული  $-\text{OCH}_2-$   
მეთილენის ჯგუფის პროტონებისათვის შეიმჩნევა ტრიპლეტური სიგნალი ქიმიური  
წანაცვლების ცენტრით  $\delta=3.72$  ვმნ. რაც შეეხება მესამე მეთილენის ჯგუფს, მისი  
ქიმიური წანაცვლება  $\delta=1.66$  ვმნ ტოლია და აქ ზედდებას განიცდის მეთინურ პრო-  
ტონებთან (ნახაზი 13).



ნახაზი 13.  $\text{X}$  ოლიგომერის  $^1\text{H}$  ბმრ სპექტრი

$\text{X}^\circ$  და  $\text{X}^\delta$  ნივთიერების  $^{13}\text{C}$  ბმრ სპექტრში (ნახაზი 14) შედარებით სუსტ ველში<sup>1</sup>  
ჟანგბადის ატომთან დაკავშირებული ნახშირბადის ატომის შესაბამისი რეზონან-  
სული სიგნალები გვხვდება ქიმიური წანაცვლებით  $\delta=58.6$  ვმნ და  $\delta=59.3$  ვმნ შესაბა-  
მისად. მეთინის ჯგუფის ნახშირბადის ატომის ქიმიური წანაცვლება  $\delta=32.3$  ვმნ, ხო-  
ლო მეთილის ჯგუფის ნახშირბადის ატომისათვის  $\text{OCH}_2\text{CH}_3$  ფრაგმრენტში  $\delta=18.6$   
ვმნ და მეთილენური ჯგუფისათვის  $\text{OCH}_2\text{CH}_3$  სიგნალი  $\delta=50.9$  ვმნ. სპექტრში აღინიშ-  
ნება სილიციუმის ატომთან დაკავშირებული მეთილენური ჯგუფის  $\equiv\text{Si}-\text{CH}_2-$   
დამახასიათებელი რეზონანსული სიგნალი ქიმიური წანაცვლებით  $\delta=15.5$  ვმნ, ხო-  
ლო ნახშირბადის ორ მეორად ატომს შორის მოქცეული ნახშირბადისათვის რეზო-

ნანსული სიგნალი ქიმიური წანაცვლებით  $\delta=29.9$  კმნ (X<sup>o</sup>), ხოლო მეთინური ჯგუფისათვის შეიმჩნევა სიგნალი  $\delta=32.4$  კმნ-ში (X<sup>b</sup>).

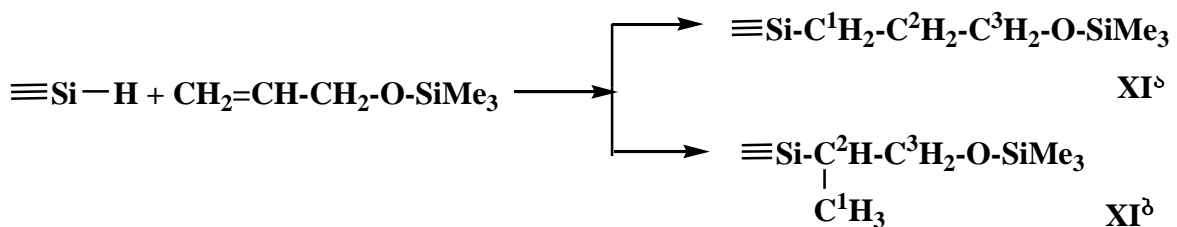


**ნახაზი 14.** X ოლიგომერის  $^{13}\text{C}$  ბმრ სპექტრი

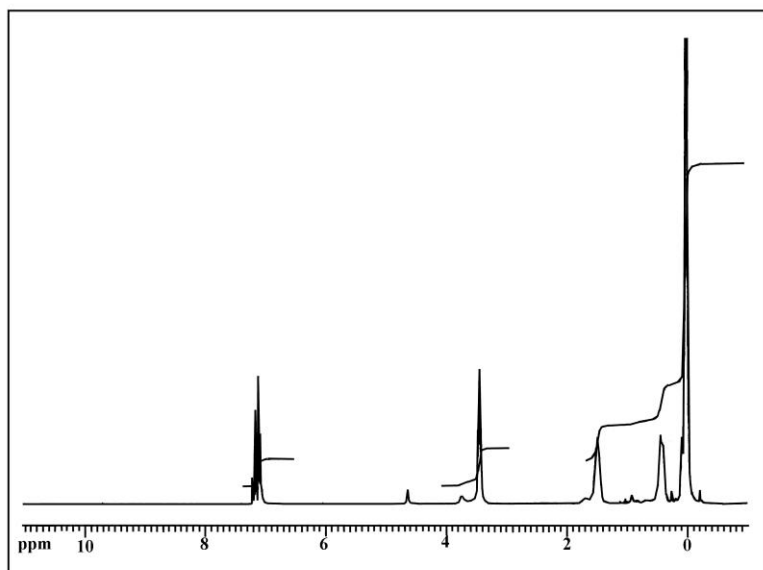
ხოლო, რაც შეეხება მეთილჰიდრიდსილოქსანის მიერთებას ალილის სპირტის ტრიმეთოლსილილირებულ ეთერთან, აქაც  $\equiv\text{Si}-\text{H}$  ბმის მიერთება შეიძლება განხორციელდეს ორი მიმართულებით:

### სქემა 5

მეთილჰიდრიდსილოქსანის შესაძლებელი მიერთება  
ტრიმეთოქსიალილოქსისილანთან

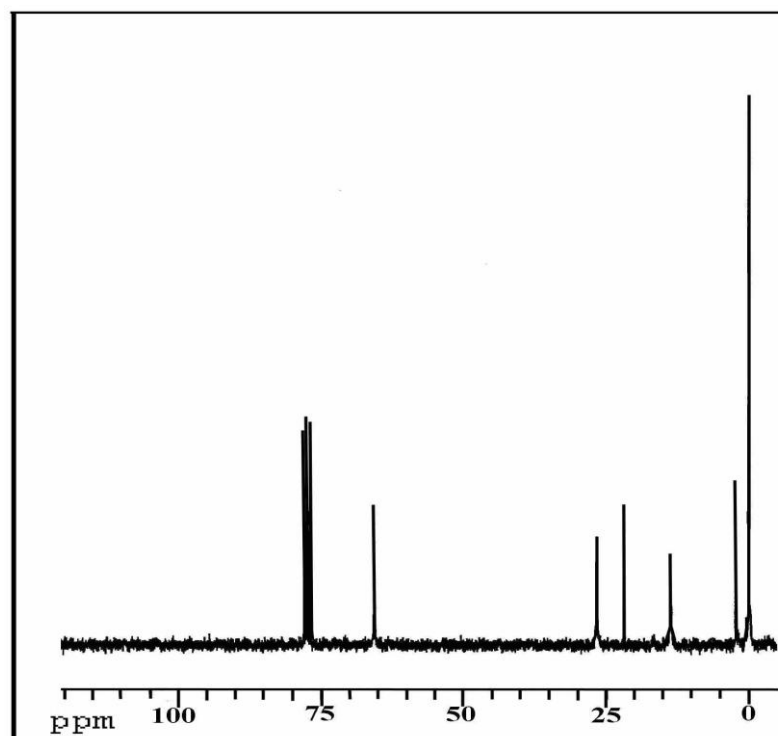


$^1\text{H}$  ბმრ სპექტრში (ნახაზი 15) შეიმჩნევა  $\text{C}^3\text{H}_2\text{O}$  ფრაგმენტში მეთილენური ჯგუფისათვის დამახასიათებელი ტრიპლეტური სიგნალი, ქიმიური წანაცვლების ცენტრით  $\delta=3.4$  კმნ, ფართო სიგნალი ქიმიური წანაცვლების ცენტრით  $\delta=0.45$  კმნ დამახასიათებელი პროტონებისათვის  $\equiv\text{Si}-\text{C}^1\text{H}_2$ - ფრაგმენტში და  $-\text{C}^2\text{H}_2$ - ფრაგმენტში მეთილენური პროტონებისათვის დამახასიათებელი გაფართოებული სიგნალი ქიმიური წანაცვლებით  $\delta=1.5$  კმნ-ში (ე.ი. ფარმერის მიერთების გზით მიღებულ პროდუქტში). სპექტრში შეიმჩნევა მცირე ინტენსივობის მულტიპლეტური სიგნალი მეთილის პროტონებისათვის  $=\text{CH}-\underline{\text{CH}_3}$  ფრაგმენტში წანაცვლების ცენტრით  $\delta=0.9$  კმნ და გაფართოებული სიგნალი ცენტრით  $\delta=1.66$  კმნ, დამახასიათებელი მეთინის ჯგუფის პროტონებისათვის ფრაგმენტში  $=\underline{\text{CH}}-\text{CH}_3$ , რაც მიუთითებს იმაზე, რომ პიდროსილირება აქაც წინას მსგავსად მიმდინარეობს მარკოვნიკოვის წესითაც.



ნახაზი 15. XI ოლიგომერის  $^1\text{H}$  ბმრ სპექტრი

იგივე დასკვნა მიიღება  $^{13}\text{C}$  ბმრ სპექტრის განხილვისას (ნახაზი 16). სპექტრში შეინიშნება  $\text{C}^3\text{H}_2\text{O}$  ჯგუფისათვის დამახასიათებელი რეზონანსული სიგნალი ქიმიური წანაცვლებით  $\delta=65.7$  ვმნ, რეზონანსული სიგნალები  $0.5$  და  $1.9$  ვმნ დამახასიათებელი  $-\text{OSiMe}_3$  და  $\equiv\text{SiMe}$  ჯგუფებისათვის, სპექტრში შეიმჩნევა რეზონანსული სიგნალი ქიმიური წანაცვლებით  $\delta=13.8$  ვმნ მეთილენური ჯგუფისათვის  $\equiv\text{Si-C}^1\text{H}_2-$  ფრაგმენტში და რეზონანსული სიგნალი  $\delta=21.8$  ვმნ დამახასიათებელი მეთილენური ჯგუფისათვის  $-\text{C}^2\text{H}_2-$  ფრაგმენტში.  $^1\text{H}$  ბმრ სპექტრის მსგავსად  $^{13}\text{C}$  ბმრ სპექტრში მარკოვნიკოვის წესით მიერთების პროდუქტისათვის დამატებით შეიმჩნევა მეთინური ნახშირბადისათვის რეზონანსული სიგნალი  $\delta=26.9$  ვმნ-ში.



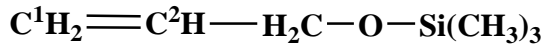
ნახაზი 16. XI ოლიგომერის  $^{13}\text{C}$  ბმრ სპექტრი

ნახევრადემპირიული ქვანტურ-ქიმიური AM1 მეთოდით გათვლილ იქნა მუხტის სიდიდეები ალილოქსიტრიეთოქსისილანის და ალილოქსიტრიმეთილსილანის მოლეკულაში:

**-0.2234 -0.1803**

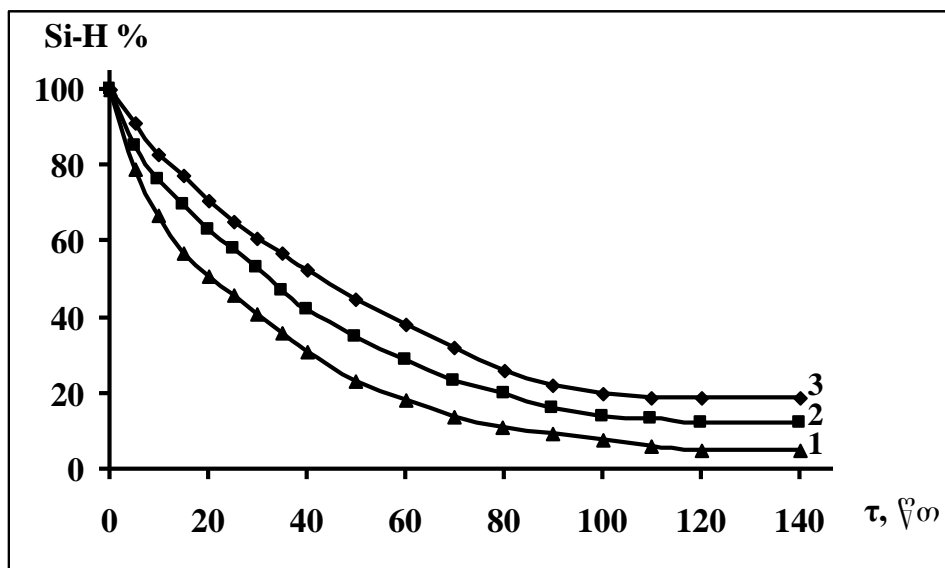


**-0.2370 -0.1525**



ალილოქსიტრიეთოქსისილანის შემთხვევაში  $\text{C}^1\text{H}_2$  და  $\text{C}^2\text{H}$  ნახშირბადის ატომებზე მუხტის სიდიდეები მცირდება განსხვავდება ერთმანეთისაგან, რაც ალბათ განაპირობებს ორივე მიმართულებით რეაქციის წარმართვას. ხოლო რაც შეეხება ალილოქსიტრიეთილსილანის მოლეკულას აქ  $\text{C}^1\text{H}_2$  და  $\text{C}^2\text{H}$  ნახშირბადის ატომებზე მუხტის სიდიდეები მკვეთრად განსხვავდება ერთმანეთისაგან და სილიციუმის მიერთება უფრო მეტად საალბათოა, რომ წარიმართოს  $\text{C}^1\text{H}_2$  ნახშირბადის ატომზე. ყოველივე ზემოთაღნიშნული კარგ თანხვდენაშია ბმრ სპექტრულ მონაცემებთან, რომ მიერთება უმთავრესად მიმდინარეობს ფარმერის წესით.

შესწავლილია აქტიური  $\equiv\text{Si}-\text{H}$  ბმის კონცენტრაციის შემცირება დროში მეთოლჰიდრიდსილოქსანის პიდრიდული მიერთების დროს ალილოქსიტრიეთოქსისილანთან (ნახაზი 17). ნაჩვენებია, რომ ტემპერატურის გაზრდასთან ერთად იზრდება პიდროსილილირების რეაქციის სიღრმე და სიჩქარე.



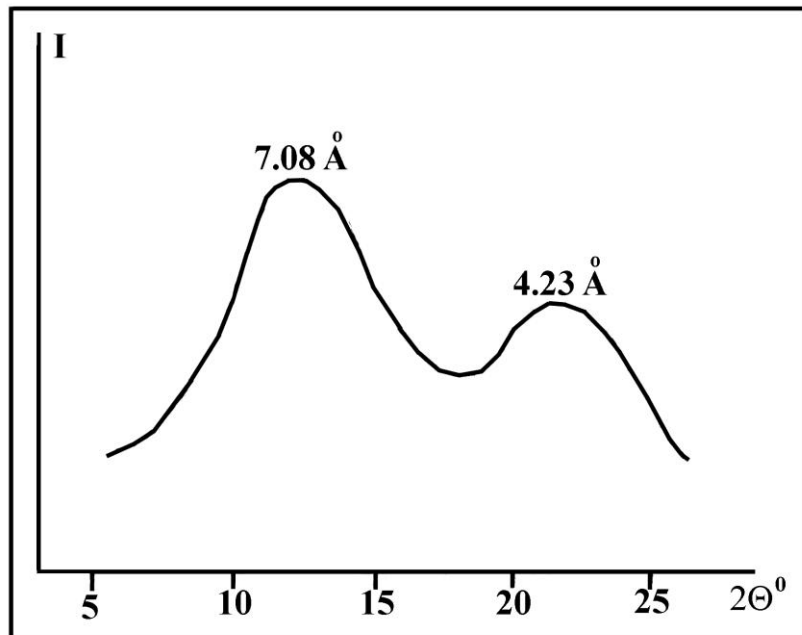
**ნახაზი 17.**  $\equiv\text{Si}-\text{H}$  ბმის კონცენტრაციის ცვლილების დამოკიდებულება დროზე. მეთოლჲიდრიდსილოქსანის პიდრიდული მიერთებისას ალილოქსიტრიეტოქსისილანთან. სადაც 1 მრუდი შეესაბამება  $80^\circ\text{C}$ , 2 –  $70^\circ\text{C}$ , ხოლო 3 –  $60^\circ\text{C}$  ტემპერატურას

პიდროსილილირება არ მიმდინარეობს სრულად და რჩება რეაქციაში შეუსვლელი აქტიური  $\equiv\text{Si}-\text{H}$  ჯგუფები. ამიტომ პიდროსილილირების რეაქციის დროს მიღება სხვადასხვარგოლიანი ოლიგომერები.

დადგენილია, რომ მეთოლჲიდრიდსილოქსანის პიდრიდული მიერთების რეაქცია ალილოქსიტრიეთოქსისილანთან საწყის სტადიაზე არის მეორე რიგის. გათვლილია პიდროსილილირების რეაქციის სიჩქარის მუდმივები სხვადასხვა ტემპერატურაზე:

$k_{60}^0 C = 1.1086$ ,  $k_{70}^0 C = 1.9314$ ,  $k_{80}^0 C = 2.9652$  ლ/მოლი·სეკ, ( $\gamma = 1.64$ ); აქტივაციის ენერგია ტოლია  $E_{\text{акт}} \approx 48 \text{ кДж/მოლი}$ .

ჩატარებულია რენტგენოგრაფიული გამოკვლევები, რომლის საშუალებითაც დადგენილია, რომ მიღებული ოლიგომერი წარმოადგენს ერთფაზიან ამორფულ სისტემას, ჯაჭვთაშორისი მანძილის მნიშვნელობით  $d_l = 7.08 \text{ \AA}$  (ნახაზი 18).



ნახაზი 18. X ოლიგომერის რენტგენოგრაფიული მრუდი

ამდენად, ჩვენს მიერ პირველად არის შესწავლილი მეთილპიდრიდსილოქსანის ჰიდრიდული მიერთების რეაქციები ალილის სპირიტის ტრიეთოქსისილილირებულ და ტრიმეთილსილილირებულ ეთერებთან კატალიზატორის პლატინაქლორწყალბადმუავას თანაობისას და მირებულია სავარცხლისებური აგებულების მეთილსილოქსანური ოლიგომერები პროპილოქსიტრიეთოქსილანური და პროპელოქსიტრიმეტალსილანური ჯგუფებით გვერდით ჯაჭვში. სინთეზირებული ოლიგომერები წარმოადგენენ საინტერესო პროდუქტებს და შესაძლებელია გამოყენებულ იქნან როგორც შემაკავშირებლები სხვადასხვა სახის კომპოზიციური მასალების, ასევე სილიკაპიდროგელების და სილიკააეროგელების მისაღებად.



## 2.3. პოლიმერილჰიდრიდსილოქსანის პიდროსილილირების რეაქციები 4-ვინილციკლო-1-ჟექსენთან

პოლიორგანოსილოქსანები გამოიყენებიან მრეწველობისა და ტექნიკის სხვადასხვა სფეროში მათი განსაკუთრებული თვისებების გამო. პოლიდიმერთილსილოქსანი, სადაც მეთილის ჯგუფების გარკვეული რაოდენობა ჩანაცვლებულია ფუნქციური ჯგუფებით, წარმოადგენს საინტერესო მასალას, რომელიც დღესდღეობით ფართო კვლევის საგანია და მას დიდი პრაქტიკული გამოყენება აქვს. აღნიშნული ნაერთები შეიძლება გამოყენებულ იქნან მატრიცებად და მოხდეს მათი შემდგომი მოდიფიკაცია ახალი ტიპის პოლიმერების მიღების მიზნით [161]. გვერდით ჯაჭვში უჯერი ფუნქციური ჯგუფების შემცველი პოლიმერები და ოლიგომერები ფართოდ გამოიყენებიან კარბოჯაჭვური პოლიმერების გამკერავ აგენტებად, აქვე აღსანიშნავია, რომ გაკერვის რეაქციები შეიძლება წარიმართოს სხვადასხვა გზით: თერმული ინიცირება, ფოტოქიმიური ინიცირება და ა.შ [162]. გარდა ამისა პოლიმერთილჰიდრიდსილოქსანის მოდიფიკაციის რეაქციები წარმოადგენს საუკეთესო გზას ორგანულარაორგანული პიბრიდული პოლიმერების მიღებისათვის, სადაც ძირითად სილოქსანურ მატრიცაზე ხდება განსხვავებული თვისებების მქონე ფრაგმენტების დამყნობა. აღსანიშნავია, რომ პიდროსილილირების რეაქციები მიწნეულია პოლიმერთილჰიდრიდსილოქსანის მოდიფიკაციისათვის ერთერთ საუკეთესო მეთოდად [163].

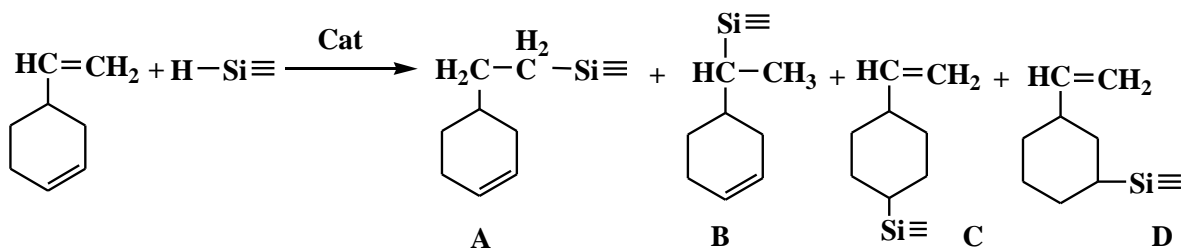
ჩვენი სამუშაოს მიზანს წარმოადგენდა ახალი სილიციუმორგანული ოლიგომერების სინთეზი, რომლებიც გვერდით ჯაჭვში შეიცავენ უჯერ ბმების შემცველ ფრაგმენტებს.

ამ მიზნით, ჩვენს მიერ პირველად იქნა შესწავლილი α,ω-ბის(ტრიმერთილსილოქსი)მეთილჰიდრიდსილოქსანის პიდრიდული მიერთების რეაქციები 4-ვინილციკლო-1-ჟექსენთან კატალიზატორების - პლატინაქლორწყალბადმჟავას ( $0.1\text{M}$  ხსნარი ტეტრაჰიდროფურანში), სადაც პლატინაქლორწყალბადმჟავა აღებული იყო  $4 \div 5 \times 10^{-5}$  გ მასის ოდენობით 1 გ სარეაქციო პროცესში, ნახშირბადზე დაფენილი პლატინის (აიღვოდა სარეაქციო მასის 1% ოდენობით) და კარსტედის კატალიზატორის თანაბისას. რეაქციებს ვატარებდით მორეაგირე კომპონენტების სხვადასხვა მოლური თანაფარდობით 1:35; 1:70; 1:105, სხვადასხვა ტემპერატურაზე  $40\text{-}100^\circ\text{C}$  [164-168].

დასაწყისში რეაქციების შესწავლა მიმდინარეობდა გამსხველის გარეშე, მაგრამ ამ დროს პიდროსილილირების პროცესი წარიმართებოდა ძალიან სწრაფად და  $\equiv\text{Si-H}$  ბმის კონკერსიის დაბალ სტადებზეც კი (~30%) შეიმჩნეოდა გელის წარმოქმნა. შეკერვის რეაქციების თავიდან აცილების და კინეტიკური პარამეტრების შესწავლის მიზნით, შემდგომში რეაქციები შესწავლილ იქნა აბსოლუტურად მშრალი ტოლუოლის არეში ( $C=0.035$  მოლი/ლ).

საწყისი კომპონენტების წინასწარი გაცხელებით შესაბამის კატალიზატორებთან ერთად და შესაბამის ტემპერატურულ ინტერვალში დადგენილია, რომ მათ კონდენსაციას, პოლიმერიზაციას ან სხვა რაიმე გვერდით რეაქციას ადგილი არ აქვს.

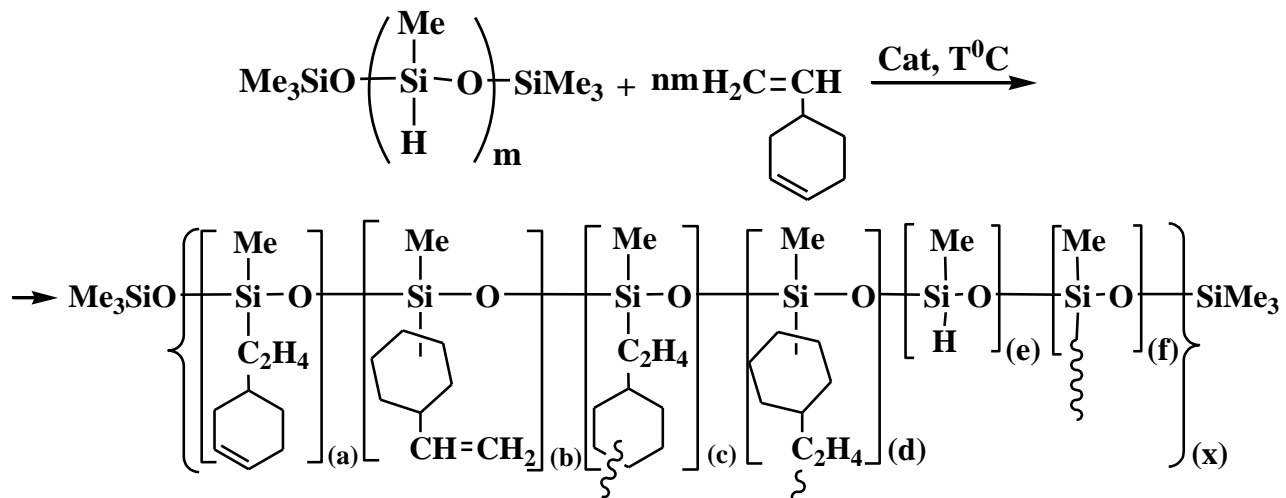
როგორც ვხედავთ 4-ვინილციკლო-1-ჟექსენი პიდროსილილირებისათვის შეიცავს ორ აქტიურ უჯერ ცენტრს. ამდენად მეთილჰიდროსილოქსანის პიდრიდული მიერთების რეაქცია 4-ვინილციკლო-1-ჟექსენთან შეიძლება წარიმართოს ოთხი მიმართულებით: ანტი-მარკოვნიკოვი (A), მარკოვნიკოვი (B) - მიერთება ვინილის ჯგუფზე და პიდროსილილირება ციკლში არსებულ უჯერ ბმაზე (C) ან მეტა (D) პოზიციაში:



ამდენად, მეთილპიდრიდსილოქსანის 4-ვინილციკლო-1-ჰექსენთან პიდროსილოლირების რეაქცია ზოგადად მიმდინარეობს შემდეგი სქემის მიხედვით:

### სქემა 6

მეთილპიდრიდსილოქსანის პიდრიდული მიერთების რეაქციები  
4-ვინილციკლო-1-ჰექსენთან:



სადაც:  $[(a)+(b)+(c)+(d)+(e)+(f)](x)=m \approx 35$ ; cat -  $\text{H}_2\text{PtCl}_6 \cdot 6\text{H}_2\text{O}$  -  $40^\circ\text{C}$ (XII<sup>1</sup>),  $50^\circ\text{C}$ (XII<sup>2</sup>) და  $60^\circ\text{C}$  (XII)(n=1).  $40^\circ\text{C}$  (XIII<sup>1</sup>),  $50^\circ\text{C}$  (XIII<sup>2</sup>),  $60^\circ\text{C}$  (XIII) (n=2),  $60^\circ\text{C}$  (XIV) (n=3).  $80^\circ\text{C}$  (XV) (n=4). Cat-Pt/C -  $80^\circ\text{C}$  (XVI<sup>1</sup>),  $90^\circ\text{C}$  (XVI<sup>2</sup>),  $100^\circ\text{C}$  (XVI)( n=2). ჯარსტედი -  $70^\circ\text{C}$  (XVII<sup>1</sup>),  $80^\circ\text{C}$ (XVII<sup>2</sup>),  $90^\circ\text{C}$  (XVII) (n=2).

სინთეზირებული ოლიგომერები წარმოადგენენ გამჭვირვალე, ბლანტ სისტემებს, რომელებიც კარგად იხსნებიან არომატულ გამსხველებში ხედრითი სიბლანტით  $\eta_{b3}=0.09-0.1$ . მათი შედგენილობა და სტრუქტურა დადგენილია ფუნქციური და ელემენტური ანალიზით, ასევე ფურიე გარდაქმნის იქ,  $^1\text{H}$ ,  $^{13}\text{C}$ ,  $\text{H}, \text{H}$ - COSY ბმრ სპექტრების საშუალებით. ოლიგომერების ზოგიერთი ფიზიკურ-ქიმიური თვისება მოცემულია ცხრილში 3.

### ცხრილი 3

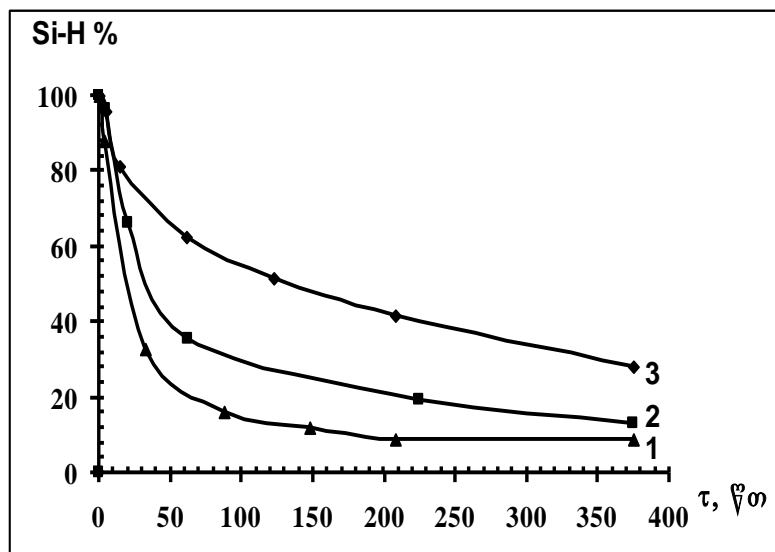
სინთეზირებული ოლიგომერების ზოგიერთი  
ფიზიკურ-ქიმიური თვისება

№	გამოსავალი %	კატალიზატორი	T°C	თანაფარდობა n	აქტიური $\equiv\text{Si}-\text{H}$ ბმის კონცენტრაცია %	$\eta_{b3}^*$	d <sub>1</sub> , Å	T <sub>d</sub> , °C T <sub>ლან</sub> , °C
XII	85	$\text{H}_2\text{PtCl}_6$	60	1:35	89	0.1	9.83	-57, -34
XII <sup>1</sup>	82	$\text{H}_2\text{PtCl}_6$	40	1:35	80	0.09	-	-

XII <sup>2</sup>	83	H <sub>2</sub> PtCl <sub>6</sub>	50	1:35	82	0.09	-	-
XIII	88	H <sub>2</sub> PtCl <sub>6</sub>	60	1:70	91	0.1	-	-
XIII <sup>1</sup>	78	H <sub>2</sub> PtCl <sub>6</sub>	40	1:70	75	0.09	-	-55, -30
XIII <sup>2</sup>	82	H <sub>2</sub> PtCl <sub>6</sub>	50	1:70	83	0.09	9.82	-
XIV	90	H <sub>2</sub> PtCl <sub>6</sub>	60	1:105	92	0.1	-	-
XV	91	H <sub>2</sub> PtCl <sub>6</sub>	80	1:140	99	0.1	-	-
XVI	94	Pt/C	100	1:70	85	0.09	-	-
XVI <sup>1</sup>	92	Pt/C	80	1:70	66	0.09	-	-
XVI <sup>2</sup>	92	Pt/C	90	1:70	76	0.09	-	-
XVII	91	კარსტედი	90	1:70	87	0.09	-	-58, -28
XVII <sup>1</sup>	88	კარსტედი	70	1:70	80	0.09	9.82	-
XVII <sup>2</sup>	88	კარსტედი	80	1:70	82	0.09	-	-

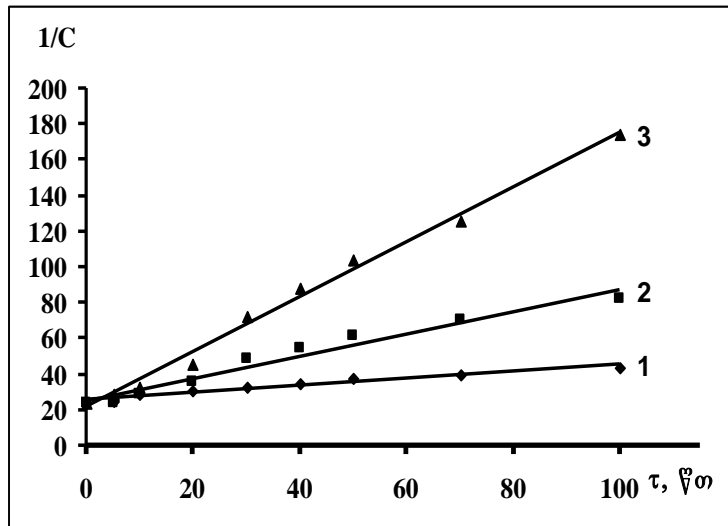
\*1%-იანი ხსნარი ტოლუოლში, 25°C.

შესწავლითა ჰიდროსილილირების რეაქციის კინეტიკა. რეაქციის მიმდინარეობისას ვაკვირდებოდით აქტიური  $\equiv\text{Si}-\text{H}$  ბმის კონცენტრაციის ცვლილებას დროში. დადგენილია, რომ ჰოლიმეტილპიდრიდსილოქსანის ჰიდრიდული მიერთებისას სხვადასხვა ტიპის უჯერი ბმის შემცველ ნაერთებთან მორეაგირე კომპონენტების სტექიომეტრული თანაფარდობისას აქტიური  $\equiv\text{Si}-\text{H}$  ბმების კონვერსია სრულად არ მიმდინარეობს. ამდენად, ვინილური ტიპის ნაერთი ჩვენს მიერ აღებულ იქნა ჭარბი რაოდენობით. მაგრამ მიუხედავად ვინილციკლოპექსენის სიჭარბისა, ჰიდრიდული მიერთების დროს ყველა აქტიური წყალბადი არ მონაწილეობს ჰიდროსილილირების რეაქციაში. მე-19 ნახაზზე მოცემულია  $\equiv\text{Si}-\text{H}$  ბმის კონვერსიის მრუდები  $\alpha, \omega$ -ბის (ტრიმეტილსილოქსი) მეთილპიდრიდსილოქსანის ჰიდრიდული მიერთების დროს ვინილციკლოპექსენთან კატალიზატორის პლატინაქლორწყალბადმჟავას თანაობისას სხვადასხვა ტემპერატურაზე ( $40^{\circ}\text{C}$ ,  $50^{\circ}\text{C}$  და  $60^{\circ}\text{C}$ ) საიდანაც ჩანს, რომ ტემპერატურის ზრდასთან ერთად ჰიდროსილილირების სილრმე იზრდება 75%-დან 91%-მდე (1:70 თანაფარდობის დროს).



**ნახაზი 19.**  $\equiv\text{Si}-\text{H}$  ბმის კონცენტრაციის შემცირება დროში  $\alpha, \omega$ -ბის(ტრიმეტილსილოქსი) მეთილპიდრიდსილოქსანის მიერთებისას ვინილციკლოპექსენთან (1 მრუდი შეესაბამება  $60^{\circ}\text{C}$ , 2-  $50^{\circ}\text{C}$ , 3 -  $40^{\circ}\text{C}$ ).

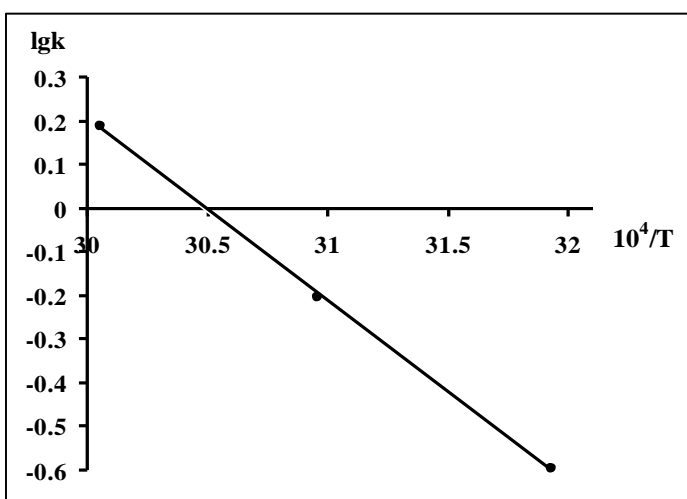
მე-20 ნახაზზე მოცემულია კონცენტრაციის შებრუნებული სიდიდის დამოკიდებულება დროზე, საიდანაც ჩანს, რომ პიდროსილილების რეაქცია საწყის სტადიაზე მეორე რიგისაა. ლიტერატურიდან ცნობილია, რომ პოლიმეთილპიდრიდსილოქსანების პიდროსილილირების რეაქციები ვინილურ ნაერთებთან მეორე რიგის პროცესებია მორეაგირე კომპონენტების სტექიომეტრული თანაფარდობისას [169, 170]. აღსანიშნავია, რომ რეაქციის რიგი 1,4-ვინილციკლოპექსანის 2-ჯერ მეტი კონცენტრაციის შემთხვევაშიც არ შეცვლილ.



ნახაზი 20. კონცენტრაციის შებრუნებული სიდიდის დამოკიდებულება დროზე ა,ω-ბის(ტრიმეთილსილოქსი)მეთილპიდრიდსილოქსანის მიერთებისას ვინილციკლოპექსენთან (1 მრული შეესაბამება 60°C, 2 – 50°C, 3 – 40°C)

გათვლილია რეაქციის სიჩქარის მუდმივები სხვადასხვა ტემპერატურაზე:  $k_{60}^0 \text{C} \approx 1,6156$ ,  $k_{50}^0 \text{C} \approx 0,6157$  და  $k_{40}^0 \text{C} \approx 0,2534$  ლ/მოლ·სეკ, ტემპერატურული კოეფიციენტი  $\gamma = 2,5$ .

21-ე ნახაზზე მოცემულია პიდროსილილირების რეაქციის სიჩქარის მუდმივას ლოგარითმის დამოკიდებულება ტემპერატურის შებრუნებულ სიდიდესთან, საიდანაც გათვლილია პიდროსილირების რეაქციის აქტივაციის ენერგია  $E \approx 16,1$  კჯ/მოლი.



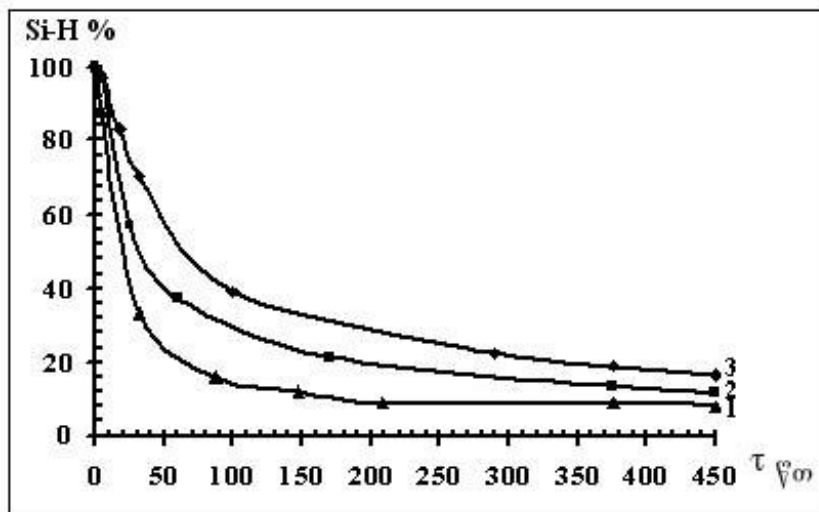
ნახაზი 21. პიდროსილილირების რეაქციის სიჩქარის მუდმივას ლოგარითმის დამოკიდებულება ტემპერატურის შებრუნებულ სიდიდესთან.

პოლიმეთილჰიდრიდსილოქსანის პიდროსილილირების რეაქციების ვინილციკლოჟექსენთან პლატინაქლორწყალბადმჟავას თანაობისას ასევე ჩატარებულია სტექიომეტრულ თანაფარდობასთან შედარებით 3-ჯერ მეტ რაოდენობა ვინილციკლოჟექსენთან და ნაჩვენებია, რომ აქტიური  $\equiv\text{Si-H}$  ბმის კონვერსია შეადგენს 91%-ს, რაც ტოლია 2-ჯერ მეტი რაოდენობის შემთხვევაში რეაქციაში შესული  $\equiv\text{Si-H}$  ბმების რაოდენობისა. აქედან გამომდინარე, შეიძლება დავასკვნათ, რომ კონცენტრაციის შემდგომი ზრდა  $\equiv\text{Si-H}$  ბმების სრულ კონვერსიამდე არ მიგვიყვანს.

რეაქციები ნახშირბადზე დაფენილი პლატინის კატალიზატორის თანაობისას იმ ტემპერატურულ ინტერვალში, რომელზეც ვატარებდით პლატინაქლორწყალბადმჟავას თანაობისას, მიმდინარეობს დაბალი სიჩქარით და სიღრმით (~50%-მდე). აქედან გამომდინარე აღნიშნული კატალიზატორისათვის შერჩეულ იქნა შედარებით მაღალი ტემპერატურები 80°C და 100°C. 80°C-ზე პიდროსილილირების რეაქციაში აქტიური  $\equiv\text{Si-H}$  ბმის კონვერსია შეადგენს 66%-ს (ოლიგომერი XVI), ხოლო 100°C-ზე - 86%-ს (ოლიგომერი XVII).

პიდროსილილირების რეაქციები ასევე ჩატარებულ იქნა კარსტედის კატალიზატორის თანაობისას. უნდა აღინიშნოს ის ფაქტი, რომ კარსტედის კატალიზატორის მონაწილეობით პროცესი მიმდინარეობდა უფრო მეტი  $\equiv\text{Si-H}$  ბმის კონვერსიით ვიდრე ნახშირბადზე დაფენილი კატალიზატორების შემთხვევაში.

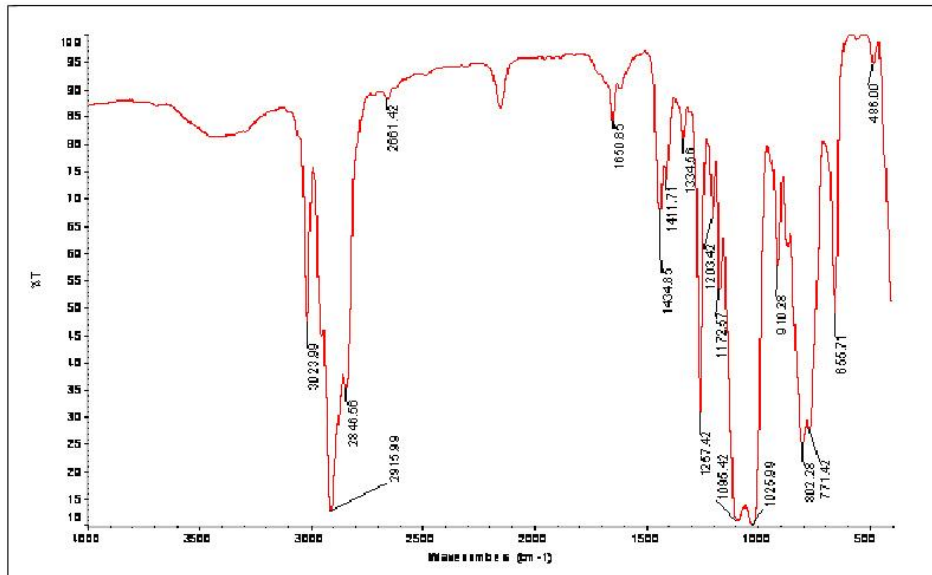
22-ე ნახაზზე წარმოდგენილია  $\equiv\text{Si-H}$  ბმების კონვერსიის მრუდები სხვადასხვა კატალიზატორების თანაობისას ერთი და იგივე ტემპერატურაზე, საიდანაც ჩანს, რომ გამოყენებული კატალიზატორები აქტივობის მიხედვით მოცემული რეაქციისათვის შეიძლება განვალაგოთ შემდეგ რიგში: პლატინაქლორწყალბად მჟავა > კარსტედი > Pt/C.



ნახაზი 22.  $\equiv\text{Si-H}$  ბმის კონცენტრაციის შემცირება დროში ა.თ-ბის(ტრიმეთილსილოქსი)მეთილჰიდრიდსილოქსანის მიერთებისას ვინილციკლოჟექსენთან (თანაფარდობა 1:70), სადაც 1 მრუდი შეესაბამება  $\text{H}_2\text{PtCl}_6$  (60°C), მრუდი 2 – კარსტედის კატალიზატორს (60°C) და 3-Pt/C (100°C)

ჩატარებულია სინთეზირებული ოლიგომერების ფურიე გარდაქმნის ის სპექტროსკოპული გამოკვლევები. 23-ე ნახაზზე წარმოდგენილია XIII ოლიგომერის სპექტრი. ლიტერატურაში არსებული მონაცემებიდან ცნობილია, რომ პიდრიდორგანოსილანების 4-ვინილციკლო-1-ჟექსენთან პიდროსილილირების რეაქციები მიმდინარეობენ მხოლოდ ვინილური ბმების ხარჯზე [91, 92]. ლიტერატურული მონაცებისაგან განსხვავებით დადგენილია, რომ პიდრიდული მიერთება ასევე მიმდინარეობს ციგ-

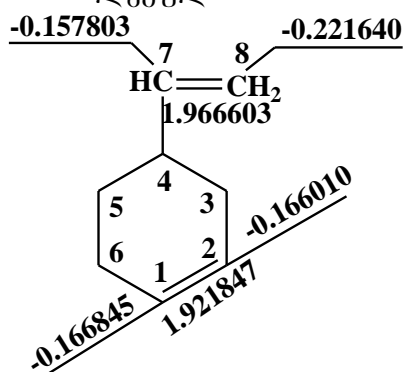
ლში არსებული ორმაგი ბმის ხარჯზეც. სპექტრში შეიმჩნევა ხაზოვან სილოქსანურ პოლიმერში  $\equiv\text{Si}-\text{O}-\text{Si}\equiv$  ბმის ასიმეტრიული ვალენტური რხევებისათვის დამახასიათებელი შთანთქმის ზოლი 1025 სმ<sup>-1</sup> უბანში და  $\equiv\text{Si}-\text{Me}$  ბმისათვის 1257 სმ<sup>-1</sup> უბანში. ტრიმეთილსილინებული ჯგუფისათვის დამახასიათებელი შთანთქმის ზოლი 840 სმ<sup>-1</sup>. ციკლში არსებული -CH=CH- ჯგუფისათვის დამახასიათებელი სიგნალი 1650 სმ<sup>-1</sup> უბანში, რაც ადასტურებს რეაქციის წარმართვას ვინილის ჯგუფებთან. აგრეთვე სპექტრში გვაქვს რეაქციაში შეუსვლელი  $\equiv\text{Si}-\text{H}$  ბმისათვის დამახასიათებელი უმნიშვნელო სიგნალი 2170 სმ<sup>-1</sup> უბანში. სპექტრში თვალნათლივ ჩანს შთანთქმის ზოლები 2846-2915 სმ<sup>-1</sup> უბანი, რომელიც შეესაბამება ციკლოჰექსანის ფრაგმენტს, რაც ადასტურებს რეაქციის წარმართვას ციკლური ფრაგმენტის უჯერ ბმასთან მიერთების მიმართულებით [153-155].



**ნახაზი 23.** XIII ოლიგომერის ფურიე გარდაქმნის იქ სპექტრი

4-ვინილციკლო-1-ჰექსენის სტრუქტურიდან ჩანს, რომ იგი შეიცავს ორ უჯერ ბმას 1,2 და 7,8 მდგომარეობაში. ნახევრად ემპირიული ქვანტურ-ქიმიური AM1 მეთოდით გათვლილ იქნა 4-ვინილციკლო-1-ჰექსენის ელექტრონული მახასიათებლები: მუხტის სიდიდეები ნახშირბადის ატომებზე და ბმის რიგები [171]. მიღებული შედეგები გამოსახულია მოლეკულურ დიაგრამაზე 1:

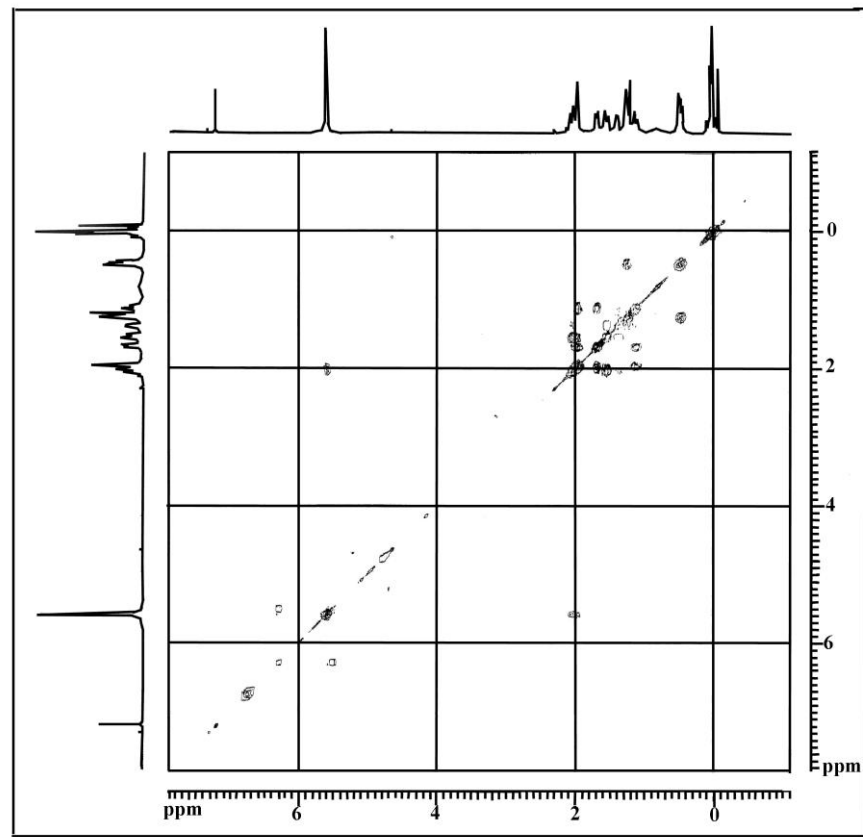
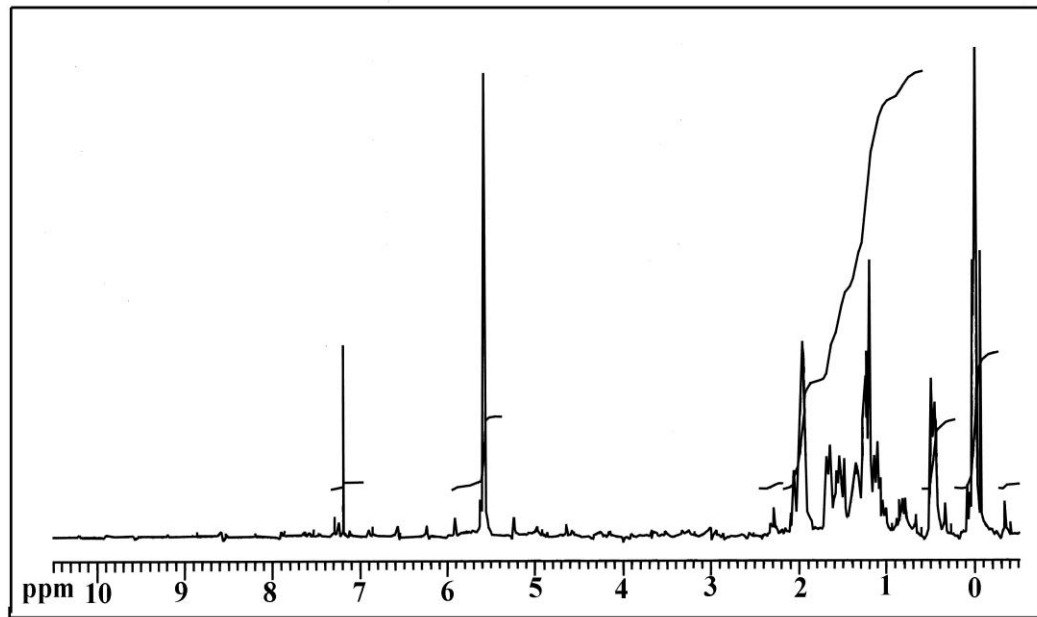
**დიაგრამა 1**  
მუხტის სიდიდეები და ბმის რიგები 4-ვინილციკლო-1-ჰექსენის  
მოლეკულაში



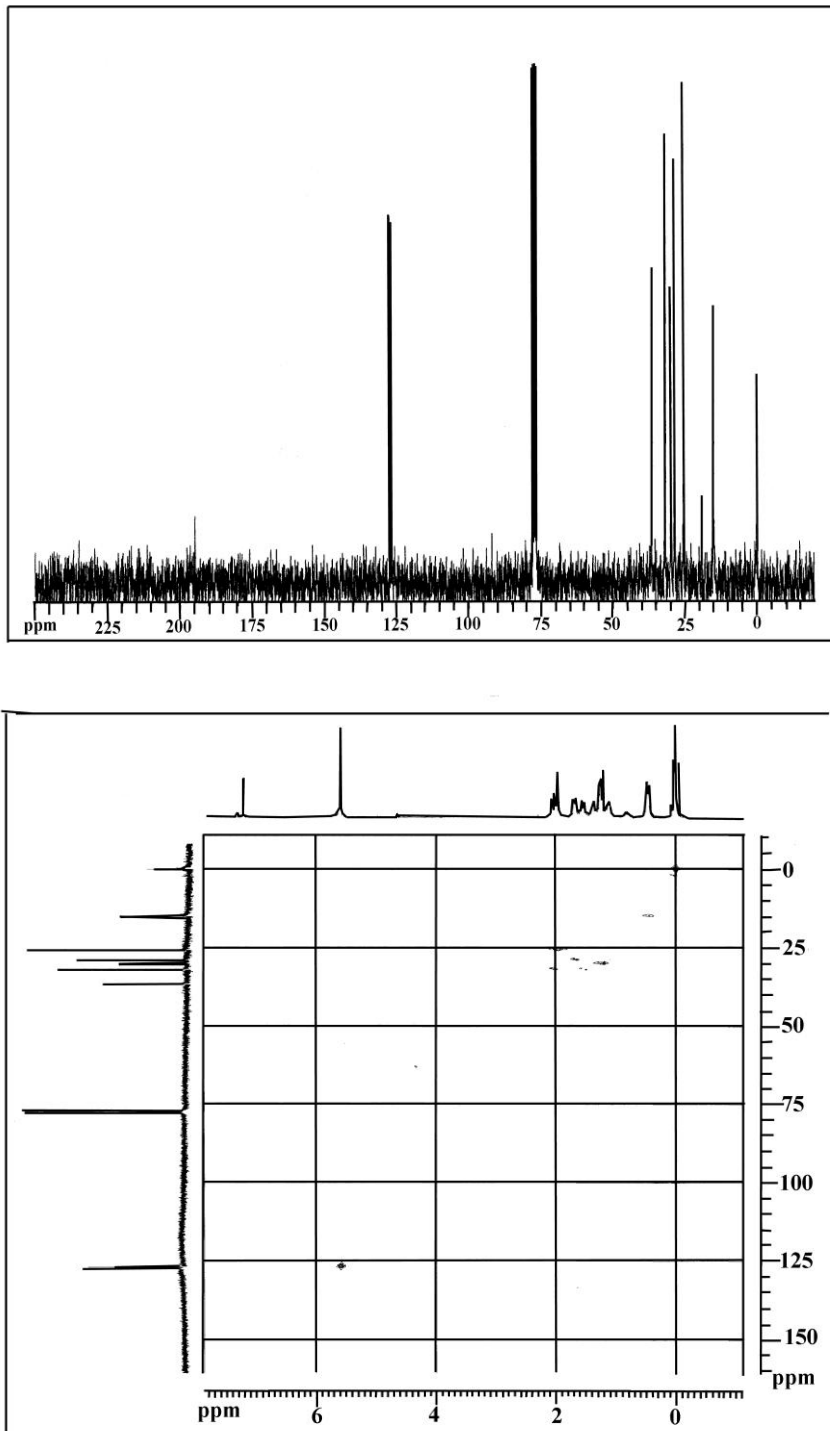
როგორც დიაგრამიდან ჩანს მუხების ყველაზე მაღალი მნიშვნელობა შეიმჩნევა 1,2 და 7 ნახშირბადის ატომებზე, რაც მიუთითებს იმაზე, რომ ისინი წარმოადგენენ ყველაზე მაღალ რეაქციისუნარიან ცენტრებს ელექტროფილური მიერთების მიმართ, ხოლო ბმის რიგს მისი მაღალი მნიშვნელობა შეიმჩნევა 7-8 მდგომარეობაში.

24-ე ნახაზზე წარმოდგენილია XIII ოლიგომერის  $^1\text{H}$  ბმრ სპექტრი, სადაც შეიმჩნევა  $\equiv\text{Si}-\text{Me}$  და  $-\text{SiMe}_3$  პროტონებისათვის დამახასიათებელი სიგნალები ქიმიური წანაცვლების ცენტრით  $\delta \approx 0.02$  ვმნ და  $\delta \approx 0.03$  ვმნ.  $\equiv\text{Si}-\text{CH}_2-$  ფრაგმენტებისათვის დამახასიათებელი ტრიპლეტური სიგნალი ქიმიური წანაცვლების ცენტრით  $\delta \approx 0.45$  ვმნ და  $\text{C}_6\text{H}_5-\text{CH}_2-$  ფრაგმენტების მეთილენური პროტონებისათვის დამახასიათებელი მულტიპლეტური სიგნალი ქიმიური წანაცვლების ცენტრით  $\delta \approx 1.2$  რაც მიუთითებს რეაქციის მიმდინარეობაზე ფარმერის წესის მიხედვით ვინილურ ჯგუფთან. სპექტრში შეიმჩნევა  $=\text{CH}-\text{CH}_3$  მეთილის პროტონებისათვის დამახასიათებელი მცირე ინტენსუვრის დუბლეტური სიგნალი  $\delta \approx 0.8$  ვმნ, ასევე მცირე ინტენსივობის მულტიპლეტური სიგნალი დამახასიათებელი  $=\text{CH}-\text{CH}_3$  მეთინური პროტონებისათვის ქიმიური წანაცვლების ცენტრით  $\delta \approx 1.35$ , მოცემული ეს ორი მცირე ინტენსივობის სიგნალი მიუთითებს რეაქციის მარკოვნიკოვის წესის მიხედვით მიმდინარეობაზეც. მულტიპლეტური სიგნალები, ცენტრით  $\delta \approx 1.5$ , 1.7 და 2.0 ვმნ შეესაბამება ციკლოჰექსენის მეთილენურ პროტონებს და ადგილი აქვს აღნიშნული სიგნალების ნაწილობრივ გადაფარვას. სიგნალი ქიმიური წანაცვლების ცენტრით  $\delta \approx 5.65$  ვმნ შეესაბამება ციკლური ფრაგმენტის  $-\text{CH}=\text{CH}-$  მეთინურ პროტონებს. სპექტრში ასევე შეიმჩნევა ვინილური  $-\text{CH}=\text{CH}_2$  ფრაგმენტის მეთილენური და მეთინური პროტონებისათვის დამახასიათებელი შესაბამისი მცირე ინტენსივობის მულტიპლეტური სიგნალები ქიმიური წანაცვლებით 5.0 და 5.8 ვმნ, რაც მოწმობს პიდირდული მიერთების რეაქციის დაბალი გარდაქმნის ხარისხით მიმდინარეობაზე ციკლში არსებულ უჯერ ბმასთან. ასევე შეიმჩნევა მულტიპლეტური სიგნალი ციკლში არსებული მეთინური ჯგუფისათვის ქიმიური წანაცვლების ცენტრით  $\delta \approx 2.3$  ვმნ. ადსანიშნავია ის ფაქტიც, რომ ციკლთან მიერთების რეაქცია 1-2 მდგომარეობაში შეიძლება წარიმართოს ორი მიმართულებით, ერთნაირი შესაძლებლობით (მუხტის სიდიდეებიდან გამომდინარე). რაც ზრდის მიერთების იზომერული პროდუქტების რაოდენობას და ართულებს სპექტრის სრულყოფილად გარჩევას რეზონანსული სიგნალების ერთმანეთზე ზედღების გამო.  $\equiv\text{Si}-\text{H}$  ბმისათვის დამახასიათებელი უმნიშვნელო სიგნალი ქიმიური წანაცვლების ცენტრით  $\delta \approx 4.1$  ვმნ მოწმობს, რომ პიდიროსილირების დროს  $\equiv\text{Si}-\text{H}$  ბმის კონვერსია არ მიმდინარეობს სრულად და მიიღება სხვადასხვა რგოლიანი ოლიგომერები. H,H-COSY სპექტრები სრულ თანხვდენაშია  $^1\text{H}$  ბმრ სპექტრებთან.

XIII ოლიგომერის  $^{13}\text{C}$  და C,H-კორელაციური ბმრ სპექტრები (ნახაზი 25) სრულ თანხმობაშია  $^1\text{H}$  და H,H-COSY ბმრ სპექტრების მონაცემებთან და მოწმობს, რომ რეაქცია მიმდინარეობს როგორც მარკოვნიკოვის ასევე ფარმერის წესის მიხედვით.  $^{13}\text{C}$  ბირთვულ მაგნიტურ რეზონანსულ სპექტრში შეიმჩნევა  $\equiv\text{Si}-\text{Me}$  და  $-\text{SiMe}_3$  ფრაგმენტების მეთილის ნახშირბადისათვის დამახასიათებელი სიგნალები  $\delta \approx 0.01$  და  $\delta \approx 0.29$  ვმნ,  $\equiv\text{Si}-\text{CH}_2-$  ფრაგმენტის მეთილენური ნახშირბადისათვის სიგნალი  $\delta \approx 14.98$  ვმნ,  $\text{C}_6\text{H}_5-\text{CH}_2-$  ფრაგმენტის მეთილენური ჯგუფისათვის  $\delta \approx 25.68$  ვმნ,  $=\text{CH}-\text{CH}_3$  მეთინური ნახშირბადისათვის სიგნალი  $\delta \approx 20.00$  ვმნ, ციკლურ ფრაგმენტში არსებული  $-\text{CH}=\text{CH}-$  მეთინური ნახშირბადებისათვის სიგნალები  $\delta \approx 126.91$  და  $\delta \approx 127.32$  ვმნ. სპექტრში ასევე შეიმჩნევა სიგნალები ციკლური ფრაგმენტის მეთინური და მეთილენური ნახშირბადებისათვის  $\delta \approx 28.94$ , 30.01, 30.10, 31.98 და 36.68 ვმნ შეესაბამისად.



ნახაზი 24. XII ოლიგომერის  $^1\text{H}$  და  $\text{H},\text{H}-\text{COSY}$  ბმრ სპექტრი



**ნახაზი 25.** XIII ოლიგომერის  $^{13}\text{C}$  და  $\text{C},\text{H}$ -კორელაციური სპექტრი

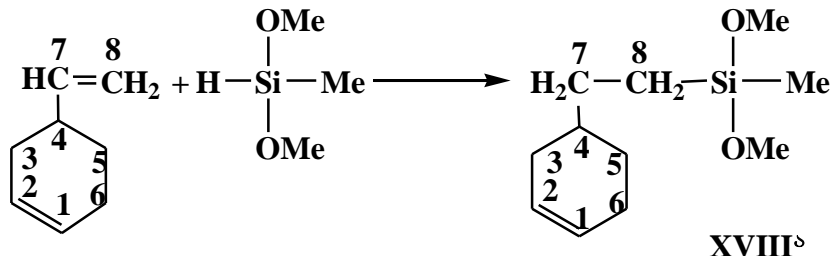
მეთილჰიდრიდსილოქსანის 4-ვინილციკლო-1-ჰექსენთან ჰიდრიდული მიერთების რეაქციის სრული დახასიათებისათვის, ნახევრადემპირიული ქვანტურ-ქიმიური მეთოდით AM 1, ჩატარებულ იქნა თეორიული გათვლები. მოდელურ რეაქციაში მეთილდიმეთოქსილანის  $[\text{Me}(\text{MeO})_2\text{SiH}]$  ჰიდროსილილირებისას 4-ვინილციკლო-1-ჰექსენთან, გათვლილ იქნა ყველა საწყისი, შუალედური და საბოლოო პროდუქტისათვის წარმოქმნის სითბოები ( $\Delta H_f$ ), სისტემის ენერგიის ცვლილება ( $\Delta H = \text{C-Si} \equiv \text{B} \text{ მის } \text{ მანძილის } (\text{R}_{\text{C-Si}})$ , აგრეთვე მუხტების მნიშვნელობები ( $q_i$ ) ატომებზე, დო-

პოლური მომენტები ( $\mu$ ) და ბმის რიგები (Pij) [171]. ქვანტურ-ქიმიური გათვლებით მოღებული შედეგები მოცემულია 4, 5 და 6 ცხრილებში.

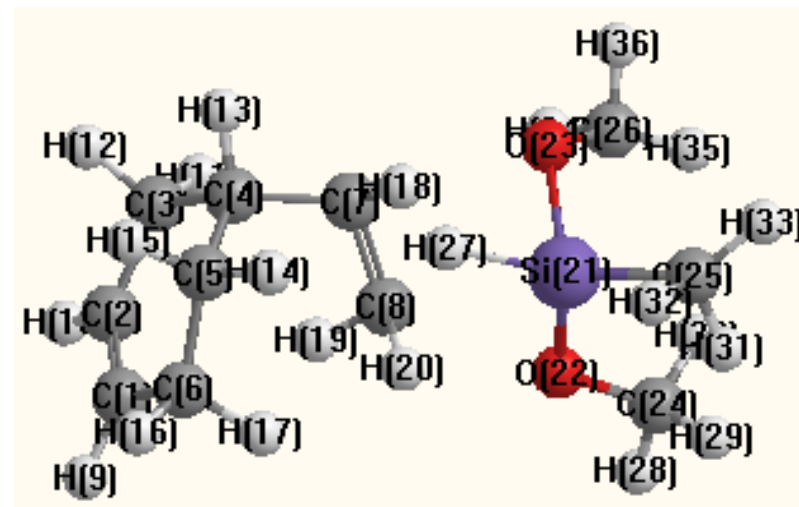
მოდელურ რეაქციაში ჰიდროსილილირება განხილულ იქნა სამი მიმართულებით – ფარმერის და მარკოვნიკოვის წესის მიხედვით და აგრეთვე ციკლოჰექსენის ფრაგმენტის ორმაგ ბმასთან 1-2 მიერთების გზით. ფარმერის წესის მიხედვით მოღელური რეაქცია მიმდინარეობს მე-6 სქემის მიხედვით.

### სქემა 7

მეთოლდიმეთოქსისილანის 4-ვინილ-1-ციკლოჰექსენთან ჰიდროსილილირების  
მოდელური რეაქცია ფარმერის წესის მიხედვით

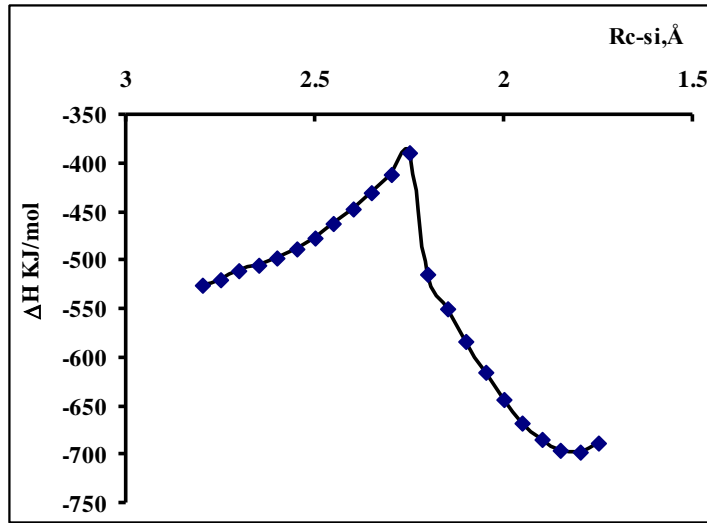


ორმაგ ბმასთან მდგომ ნახშირბადსა ( $C_8$ ) და სილიციუმის ატომს შორის მანძილი აღებულ იქნა 1,0 Å-ით მეტი, ვიდრე ბმის მანძილი საბოლოო პროდუქტში. მანძილის ცვლილება ( $R_{C_8-si}$ ) სილიციუმის ატომსა და ორმაგ ბმასთან მდგომ ნახშირბადის ( $C_8$ ) ატომს შორის ხდებოდა 0,05 Å-ის ინტერგალით. 26-ე ნახაზზე მოცემულია ნივთიერებების საწყისი მდგომარეობა ჰიდროსილილირების რეაქციაში მეთოლდიმეთოქსისილანსა და ვინილციკლოჰექსენს შორის:



**ნახაზი 26.** მეთოლდიმეთოქსისილანის ვინილციკლოჰექსენთან ჰიდროსილილირების მოდელურ რეაქციაში მონაწილე მონომერების საწყისი მდგომარეობა (ფარმერის წესი)

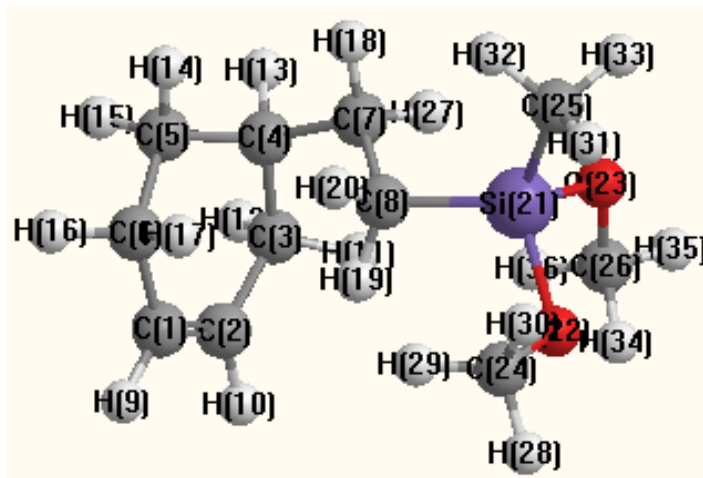
სისტემის ენერგიის ცვლილების ( $\Delta H$ ) დამოკიდებულება მანძილზე ( $R_{C-si}$ ) სილიციუმის ატომსა და ორმაგ ბმასთან მდგომ ნახშირბადის ატომს შორის მოცემულია 27-ე ნახაზზე.



**ნახაზი 27.** სისტემის ენერგიის ცვლილების დამოკიდებულება ( $\Delta H$ ) სილიციუმის და ნახშირბადის ატომებს შორის მანძილზე ( $R_{C-Si}$ ), მეთილ-დიმეთოქსილანის პიდროსილილირებისას 4-ვინილ-1-ციკლოპექსენთან (მოდელურ რეაქციაში) ფარმერის წესით.

27-ე ნახაზიდან ჩანს, რომ სილიციუმის ატომის მიახლოებისას ნახშირბადის ( $C_8$ ) ატომთან  $R_{C-Si}=2,25 \text{ \AA}$  მანძილადე, სისტემის ენერგია იზრდება, ბმის რიგი  $C_7$  და  $C_8$  ატომებს შორის ვინილციკლოპექსენის მოლეკულაში მცირდება  $1.9459$ -დან  $1.6859$ -მდე. ასევე მცირდება ბმის რიგი სილიციუმის ატომსა და წყალბადის ატომს ( $R_{Si-H}=0.9191-0.7351$ ) და მოდელურ ნივთიერებაში შეიმჩნევა ახალი ბმის წარმოქმნა ( $P_{C-Si}=0.0172-0.121887$  და  $P_{C_7-H}=0.0008-0.091137$ ). სილიციუმის ატომსა და ნახშირბადის ( $C_8$ ) ატომს შორის  $2,20 \text{ \AA}$  მანძილზე სისტემის ენერგია მკვეთრად მცირდება, ორმაგი ბმა გადადის ორდინარულ C-C ბმაში ( $P_{C_7-C_8}=1.012604$ ) და ბმის რიგი სილიციუმის და ნახშირბადის ( $C_8$ ) ატომებს შორის აღწევს  $0.8298$ -ს. ამგვარად წყალბადის ატომი სრულად წყდება სილიციუმის ატომს ( $P_{Si-H}=0.0111$ ) და უერთდება ნახშირბადის ატომს  $C_7$  მდგომარეობაში ( $P_{C_7-H}=0.934$ ).

სილიციუმისა და ნახშირბადის ( $C_8$ ) ატომებს შორის მანძილის შემდგომი შემცირებისას სისტემის ენერგია მცირდება და ხდება წარმოქმნილი ახალი ბმების განმტკიცება.



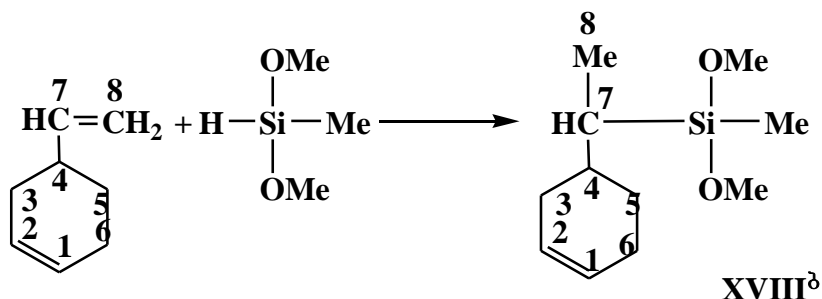
**ნახაზი 28.** მეთილდიმეთოქსისილანის ვინილციკლოპექსენთან ჰიდროსილილირების მოდელურ რეაქციაში ფარმერის წესით მიღებული XVIII<sup>ა</sup> პროდუქტის სტრუქტურა

28-ე ნახაზზე მოცემულია მეთილდიმეთოქსისილანის ვინილციკლოპექსენთან ჰიდროსილილირების მოდელურ რეაქციაში ფარმერის წესით მიღებული პროდუქტის სტრუქტბურა.

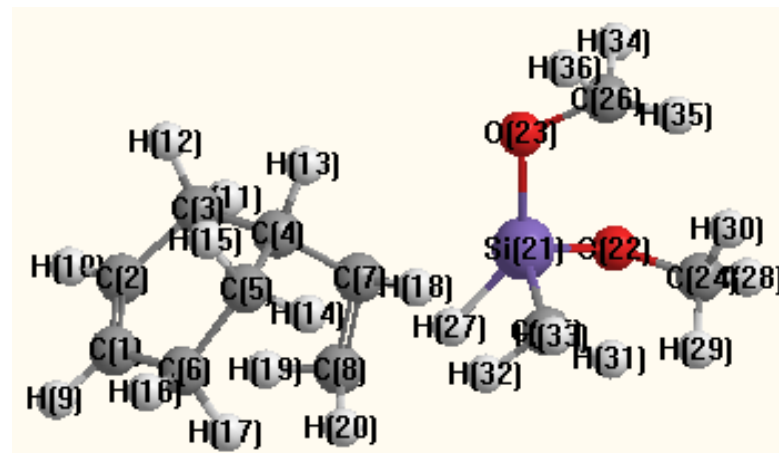
ჩვენს მიერ ასევე განხილულია მარკოვნიკოვის წესის მიხედვით მიმდინარე ჰიდრიდული მიერთების მოდელური რეაქცია მეთილდიმეთოქსისილანსა და ვინილციკლოპექსენს შორის. რეაქცია მიმდინარეობს მე-8 სქემის მიხედვით.

### სქემა 8

მეთილდიმეთოქსისილანის 4-ვინილციკლო-1-ჰექსენთან ჰიდროსილილირების მოდელური რეაქცია მარკოვნიკოვის წესის მიხედვით



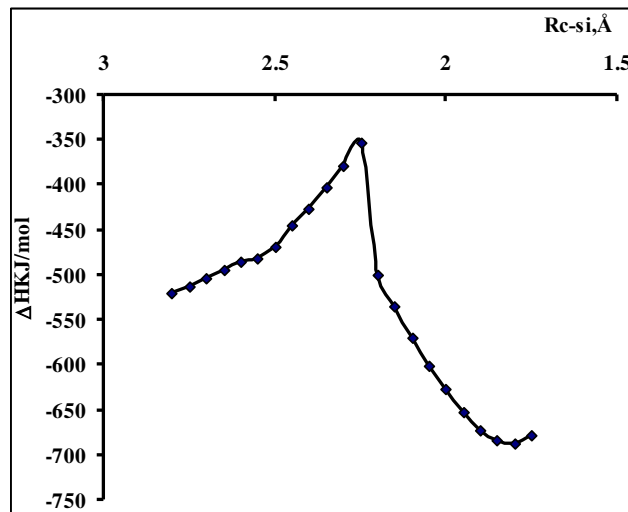
29-ე ნახაზზე მოცემულია სისტემის ენერგიის ცვლილების ( $\Delta H$ ) დამოკიდებულება სილიციუმის და ნახშირბადის ( $C_7$ ) ატომებს შორის მანძილზე. მანძილი სილიციუმის და ნახშირბადის ( $C_7$ ) ატომებს შორის აღებულ იქნა  $1,0\text{\AA}$ -ით მეტი, ვიდრე ბმის მანძილი საბოლოო პროდუქტში. მანძილის ცვლილება ( $R_{C_7-si}$ ) სილიციუმის ატომსა და ორმაგ ბმასთან მდგომ ნახშირბადის ( $C_7$ ) ატომს შორის ხდებოდა  $0,05\text{\AA}$ -ის ინტერვალით. მორეაგირე მონომერების საწყისი მდგომარეობა მოცემულია ნახაზზე



**ნახაზი 29.** მეთილდიმეთოქსისილანის ვინილციკლოპექსენთან ჰიდროსილილირების მოდელურ რეაქციაში მონაწილე მონომერების საწყისი მდგომარეობა (მარკოვნიკოვის წესი)

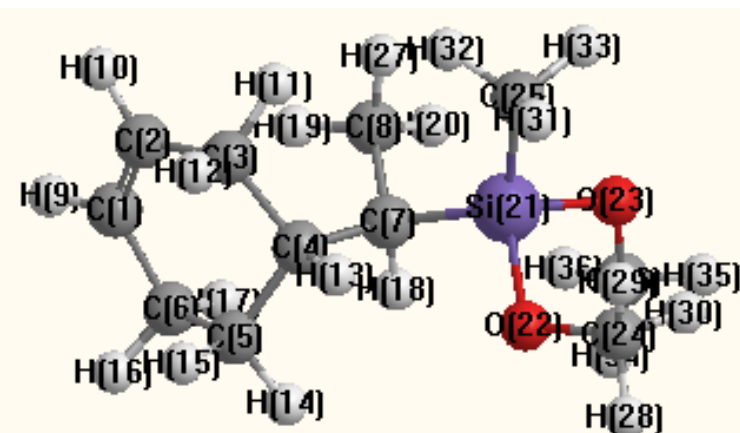
როგორც 30-ე ნახაზიდან ჩანს, სილიციუმის ატომის მიახლოებისას ნახშირბადის ( $C_7$ ) ატომთან  $R_{C-si}=2,25\text{\AA}$  მანძილამდე, სისტემის ენერგია იზრდება. ერთდრო-

ულად ბმის რიგი C<sub>7</sub> და C<sub>8</sub> ატომებს შორის სტიროლის მოლეკულაში მცირდება 1.9518-დან 1.7158-მდე. ბმის რიგი სილიციუმის ატომსა და წყალბადს შორის ასევე მცირდება ( $R_{Si-H}=0.9168-0.7379$ ) და შეიმჩნევა ახალი ბმის წარმოქმნა ( $P_{C-Si}=0.0173-0.1029$  და  $P_{C_8-H}=0.0004-0.077709$ ). სილიციუმის ატომსა და ნახშირბადის (C<sub>7</sub>) ატომს შორის 2.20 Å მანძილზე სისტემის ენერგია მკვეთრად იზრდება, ორმაგი ბმა გადადის ერთმაგ C-C ბმაში ( $P_{C_7-C_8}=1.0132$ ) და ბმის რიგი სილიციუმის და ნახშირბადის (C<sub>7</sub>) ატომებს შორის აღწევს 0.8488-ს. წყალბადის ატომი სრულად წყდება სილიციუმის ატომს ( $P_{Si-H}=0.0113$ ) და უერთდება ნახშირბადის ატომს C<sub>8</sub> ( $P_{C_8-H}=0.9526$ ).



**ნახაზი 30.** სისტემის ენერგიის ცვლილების დამოკიდებულება ( $\Delta H$ ) სილიციუმის და ნახშირბადის ატომებს შორის მანძილზე (RC-ში), მეთილდიმეთოქსისილანის პიდროსილილირებისას ვინილციკლოპექ्सენთან, მოდელურ რეაქციაში, მარკოვნიკოვის წესით

სილიციუმისა და ნახშირბადის (C<sub>7</sub>) ატომებს შორის მანძილის შემდგომი შემცირებისას სისტემის ენერგია ისევ მცირდება და ხდება წარმოქმნილი სტრუქტურის განმტკიცება. 31-ე ნახაზზე მოცემულია პიდროსილილირების მოდელურ რეაქციაში მარკოვნიკოვის წესით მიღებული პროდუქტის სტრუქტურა.



**ნახაზი 31.** მეთილდიმეთოქსისილანის ვინილციკლოპექ्सენთან პიდროსილილირების მოდელურ რეაქციაში მარკოვნიკოვის წესით მიღებული XVIII<sup>ბ</sup> პროდუქტის სტრუქტურა

#### ცხრილი 4

ენერგიის ( $\Delta H$ ) ცვლილების დამოკიდებულება სილიციუმისა და ნახშირბადის ატომებს შორის მანძილზე ( $R_{C-Si}$ ), ატომებზე მუხტის სიდიდეები (q), დიპოლური მომენტები ( $\mu$ ) და ბმის რიგები ( $P_{ij}$ ), მეთილდიმეთოქსისილანის გინილციკლოპექსენთან ჰიდრიდული მიერთების მოდელურ რეაქციაში ფარმერის წესის მიხედვით

$R_{8-21}$	$R_{7-27}$	$\Delta H$	$q_7$	$q_8$	$q_{21}$	$q_{27}$	$\mu$	$P_{7-8}$	$P_{21-27}$	$P_{7-27}$	$P_{8-21}$
2.80	2.11	-526.544	-0.1084	-0.2873	1.3684	-0.2070	2.289	1.9459	0.9191	0.0008	0.01725
2.75	2.06	-519.785	-0.10272	-0.2953	1.3713	-0.2092	2.265	1.941052	0.916866	0.001741	0.020770
2.70	2.01	-511.088	-0.0968	-0.3048	1.375933	-0.2118	2.259	1.933344	0.912604	0.003684	0.025789
2.65	1.96	-504.746	-0.0924	-0.3137	1.380954	-0.2137	2.158	1.925179	0.909043	0.005358	0.031348
2.60	1.91	-496.914	-0.0844	-0.3262	1.384875	-0.2159	2.171	1.916412	0.904244	0.007413	0.036682
2.55	1.86	-487.576	-0.0742	-0.3413	1.389154	-0.2180	2.187	1.906245	0.898587	0.010068	0.042610
2.50	1.81	-476.363	-0.0614	-0.3598	1.394557	-0.2205	2.210	1.893832	0.891362	0.013618	0.049387
2.45	1.76	-462.990	-0.0448	-0.3830	1.402067	-0.2242	2.250	1.877643	0.881362	0.018621	0.057263
2.40	1.71	-447.247	-0.0248	-0.4109	1.412954	-0.2298	2.311	1.855648	0.866849	0.025844	0.067132
2.35	1.66	-430.837	0.0031	-0.4514	1.420970	-0.2424	2.471	1.820475	0.838067	0.038989	0.079726
2.30	1.61	-410.867	0.0344	-0.4959	1.447743	-0.2548	2.518	1.772499	0.803221	0.056735	0.096468
2.25	1.56	-389.858	0.0797	-0.5611	1.497574	-0.2780	2.597	1.685934	0.735064	0.091137	0.121887
2.20	1.51	-514.993	-0.1377	-0.4301	1.331962	0.0462	1.613	1.012604	0.011060	0.934064	0.829777
2.15	1.46	-550.626	-0.1384	-0.4460	1.350191	0.0529	1.633	1.008948	0.008804	0.939226	0.830916
2.10	1.41	-584.300	-0.1392	-0.4631	1.368779	0.0593	1.665	1.005994	0.007087	0.943603	0.831148
2.05	1.36	-615.434	-0.1397	-0.4814	1.387942	0.0651	1.711	1.003524	0.005768	0.947400	0.830551
2.00	1.31	-643.309	-0.1396	-0.5010	1.407447	0.0704	1.768	1.001402	0.004732	0.950796	0.829250
1.95	1.26	-666.974	-0.1390	-0.5219	1.428283	0.0752	1.837	0.999447	0.003896	0.953785	0.827372
1.90	1.21	-685.207	-0.1373	-0.5445	1.449469	0.0788	1.925	0.997574	0.003215	0.956655	0.824812
1.85	1.16	-696.402	-0.1349	-0.5684	1.471531	0.0819	2.032	0.995675	0.002652	0.959261	0.821845
1.80	1.11	-698.521	-0.1311	-0.5938	1.493878	0.0839	2.160	0.993734	0.002194	0.961823	0.818451
1.75	1.06	-688.998	-0.1262	-0.6207	1.517417	0.0852	2.305	0.991591	0.001814	0.964199	0.814751

### ცხრილი 5

ენერგიის ( $\Delta H$ ) ცვლილების დამოკიდებულება სილიციუმისა და ნახშირბადის ატომებს შორის მანძილზე ( $R_{C-Si}$ ),  
ატომებზე მუხტის სიღილეები (q), დიპოლური მომენტები ( $\mu$ ) და ბმის რიგები ( $P_{ij}$ ), მეთილდიმეთოქსისილანის  
ვინილციკლოჰექსენთან პიდრიდული მიერთების მოდელურ რეაქციაში მარკოვნიკოვის წესის მიხედვით

<b>R<sub>7-21</sub></b>	<b>R<sub>8-27</sub></b>	<b>Δ H</b>	<b>q<sub>7</sub></b>	<b>q<sub>8</sub></b>	<b>q<sub>21</sub></b>	<b>q<sub>27</sub></b>	<b>μ</b>	<b>P<sub>7-8</sub></b>	<b>P<sub>21-27</sub></b>	<b>P<sub>8-27</sub></b>	<b>P<sub>7-21</sub></b>
2.80	2.35	-520.785	-0.1886	-0.20518	1.380138	-0.2198	2.295	1.951816	0.916759	0.000448	0.017319
2.75	2.25	-512.888	-0.19501	-0.20113	1.380332	-0.22007	2.156	1.948708	0.916585	0.000394	0.019934
2.70	2.15	-503.469	-0.18513	-0.20910	1.384216	-0.22972	1.890	1.932864	0.909157	0.000578	0.026637
2.65	2.07	-493.786	-0.20303	-0.19859	1.382736	-0.22762	1.723	1.930894	0.908497	0.001315	0.029477
2.60	1.96	-485.562	-0.23243	-0.18059	1.376422	-0.21900	1.525	1.919431	0.905225	0.005048	0.035923
2.55	1.91	-482.519	-0.22520	-0.18973	1.389648	-0.22909	1.594	1.918336	0.896491	0.006520	0.033780
2.50	1.86	-469.151	-0.24252	-0.17652	1.393512	-0.23169	1.459	1.910165	0.890948	0.008677	0.038675
2.45	1.76	-445.730	-0.27253	-0.15444	1.398483	-0.23044	1.353	1.893300	0.878406	0.016893	0.046587
2.40	1.71	-426.045	-0.30090	-0.13281	1.409290	-0.23622	1.208	1.875270	0.864843	0.022884	0.054459
2.35	1.66	-403.605	-0.33658	-0.10553	1.426856	-0.24547	1.052	1.848402	0.844047	0.031825	0.064502
2.30	1.61	-378.825	-0.38459	-0.06852	1.456361	-0.26129	0.863	1.804030	0.808703	0.046687	0.078463
2.25	1.56	-353.081	-0.45717	-0.01186	1.511302	-0.29002	0.647	1.715806	0.737819	0.077709	0.102898
2.20	1.51	-500.463	-0.33410	-0.18483	1.311049	0.00989	0.419	1.013215	0.011273	0.952557	0.848794
2.15	1.46	-534.669	-0.35072	-0.18946	1.330069	0.02003	0.345	1.008756	0.008145	0.957961	0.852236
2.10	1.41	-569.571	-0.36716	-0.19302	1.348114	0.02888	0.359	1.005952	0.006837	0.960234	0.853804
2.05	1.36	-601.147	-0.38469	-0.19627	1.368936	0.03730	0.362	1.003574	0.005379	0.962849	0.852826
2.00	1.31	-627.326	-0.40132	-0.20187	1.389282	0.04485	0.407	1.000774	0.004868	0.964586	0.853842
1.95	1.26	-652.450	-0.42132	-0.20106	1.407712	0.05208	0.418	0.999772	0.003247	0.967177	0.850319
1.90	1.21	-672.621	-0.44823	-0.20252	1.435699	0.05872	0.464	0.997691	0.002374	0.969038	0.846608
1.85	1.16	-684.558	-0.47231	-0.20273	1.459835	0.06414	0.533	0.995843	0.001749	0.970731	0.842796
1.80	1.11	-687.429	-0.49800	-0.20152	1.484739	0.06835	0.628	0.993903	0.001297	0.972302	0.838301
1.75	1.06	-678.602	-0.52514	-0.19899	1.510262	0.07154	0.750	0.991808	0.000963	0.973826	0.833311

## ცხრილი 6

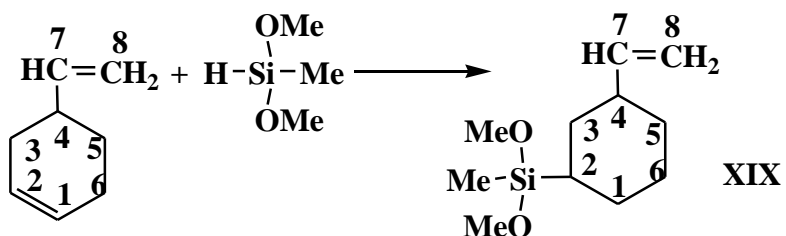
ენერგიის ( $\Delta H$ ) ცვლილების დამოკიდებულება სილიციუმისა და ნახშირბადის ატომებს შორის მანძილზე ( $R_{C-Si}$ ),  
ატომებზე მუხტის სიდიდეები ( $j$ ), დიპოლური მომენტები ( $\mu$ ) და ბმის რიგები ( $P_{ij}$ ), მეთილდიმეთოქსისილანის  
ვინილციკლოპექსენთან ჰიდრიდული მიერთების მოდელურ რეაქციაში ციკლთან ჰიდროსილირების გზით.

<b><math>R_{2-21}</math></b>	<b><math>R_{1-27}</math></b>	<b><math>\Delta H</math></b>	<b><math>Q_1</math></b>	<b><math>Q_2</math></b>	<b><math>q_{21}</math></b>	<b><math>q_{27}</math></b>	<b><math>\mu</math></b>	<b><math>P_{1-2}</math></b>	<b><math>P_{21-27}</math></b>	<b><math>P_{1-27}</math></b>	<b><math>P_{2-21}</math></b>
2.80	2.12	-532.5303	-0.15378	-0.19873	1.368911	-0.24424	0.896	1.898475	0.891321	0.002370	0.018836
2.75	2.07	-527.9608	-0.15272	-0.20297	1.370613	-0.24521	1.009	1.893449	0.888472	0.003181	0.022014
2.70	2.02	-522.3848	-0.14759	-0.21091	1.371836	-0.24574	1.111	1.888960	0.885926	0.004170	0.025174
2.65	1.97	-515.4124	-0.14031	-0.22124	1.373198	-0.24637	1.220	1.883812	0.882975	0.028776	0.005474
2.60	1.92	-507.5650	-0.13119	-0.23324	1.374538	-0.24666	1.295	1.878718	0.879513	0.021563	0.007295
2.55	1.87	-497.1093	-0.11944	-0.24881	1.377321	-0.24807	1.414	1.871048	0.874479	0.036793	0.009640
2.50	1.82	-482.9510	-0.10242	-0.27086	1.383354	-0.25212	1.562	1.859656	0.866583	0.012629	0.043278
2.45	1.77	-467.3969	-0.08335	-0.29538	1.390860	-0.25637	1.705	1.845173	0.856136	0.017144	0.050375
2.40	1.72	-449.2353	-0.05970	-0.32554	1.402687	-0.26301	1.852	1.824384	0.840691	0.023715	0.059368
2.35	1.67	-428.5850	-0.02902	-0.36440	1.421674	-0.27343	2.014	1.792318	0.816207	0.034100	0.071441
2.30	1.62	-406.0598	0.013831	-0.41809	1.453502	-0.29028	2.188	1.736600	0.773253	0.052951	0.089824
2.25	1.57	-383.5278	0.073372	-0.49258	1.509196	-0.31632	2.275	1.632654	0.691082	0.093253	0.121126
2.20	1.52	-500.0789	-0.15161	-0.33747	1.322067	0.044678	0.865	0.996363	0.006790	0.938371	0.845536
2.15	1.47	-536.7510	-0.15359	-0.35232	1.339323	0.052802	0.857	0.993822	0.005375	0.942554	0.847138
2.10	1.42	-570.9112	-0.15309	-0.36904	1.357635	0.059481	0.819	0.991876	0.004319	0.946221	0.847693
2.05	1.37	-602.9409	-0.15161	-0.38725	1.376802	0.065266	0.784	0.990287	0.003442	0.949611	0.847383
2.00	1.32	-632.1164	-0.15049	-0.40695	1.397294	0.070549	0.726	0.988788	0.002698	0.952699	0.846151
1.95	1.27	-657.4752	-0.14948	-0.42811	1.418909	0.075378	0.656	0.987290	0.002104	0.955501	0.844104
1.90	1.22	-677.8028	-0.14797	-0.45065	1.441316	0.079509	0.589	0.985771	0.001657	0.958062	0.841400
1.85	1.17	-691.5365	-0.14565	-0.47462	1.464453	0.082785	0.548	0.984186	0.001309	0.960497	0.838090
1.80	1.12	-696.6871	-0.14240	-0.49998	1.488315	0.085136	0.560	0.982473	0.001047	0.962834	0.834269
1.75	1.07	-690.7537	-0.13790	-0.52684	1.512674	0.086679	0.639	0.980569	0.000836	0.965062	0.829916

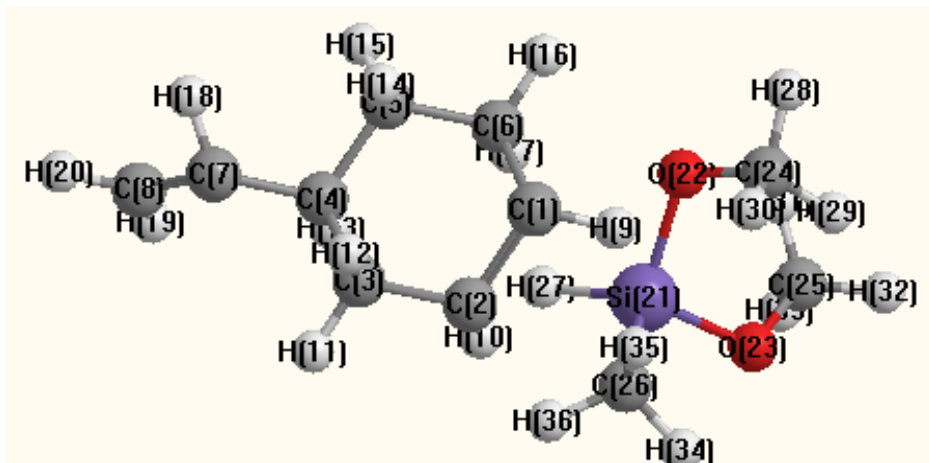
ჩვენს მიერ აგრეთვე განხილულია მეთილდიმეთოქსისილანის 4-ვინილციკლო-1-ჰექსენთან პიდროსილილირების მოდელური რეაქცია ციკლოჰექსენთან მიერთების გზით, რომელიც მიმდინარეობს მე-9 სქემის მიხედვით. პიდროსილილირება აქ შესაძლებელია წარიმართოს სილიციუმის ატომის მიერთებით 1 ან 2 მდგომარეობაში.

### სქემა 9

მეთილდიმეთოქსისილანის 4-ვინილციკლო-1-ჰექსენთან პიდროსილილირების  
მოდელური რეაქცია ციკლოჰექსენთან  
მიერთების გზით

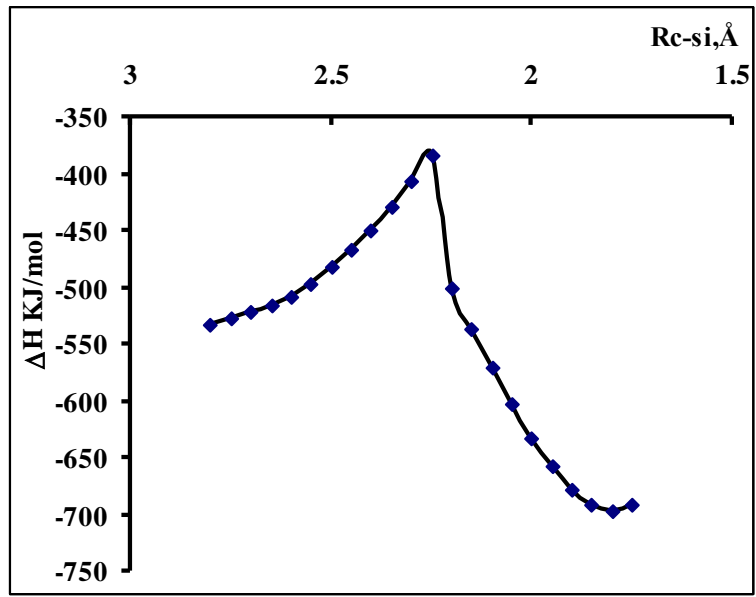


ანალოგიური პრინციპით იქნა ჩატარებული გათვლები მოდელურ რეაქციაზე 4-ვინილციკლო-1-ჰექსენის მოლეკულაში ციკლოჰექსენის ფრაგმენტთან პიდროსილილირების დროს. მორეაგირე მონომერების საწყისი მდგომარეობა მოცემულია 32-ე ნახატზე.



**ნახაზი 32.** მეთილდიმეთოქსისილანის ვინილციკლოჰექსენთან პიდროსილილირების მოდელურ რეაქციაში მონაწილე მონომერების საწყისი მდგომარეობა. (ციკლოჰექსენის ფრაგმენტთან მიერთება)

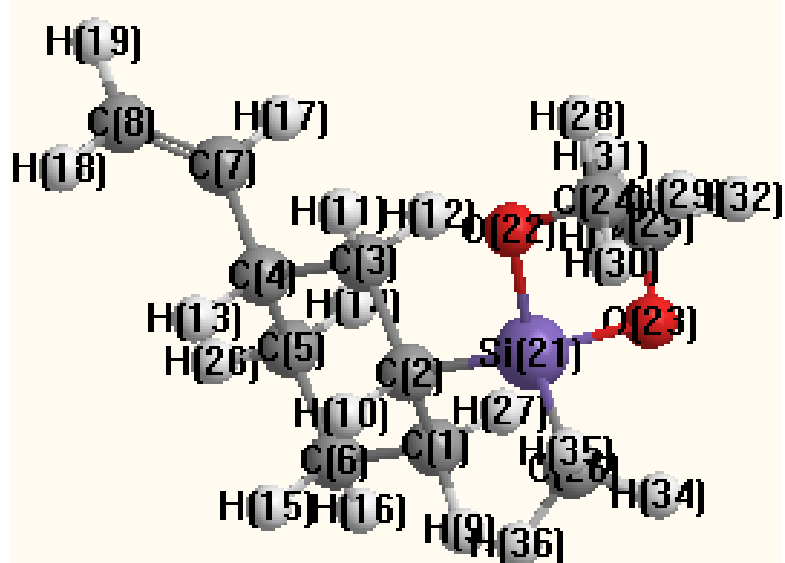
როგორც ენერგიის ცვლილების ( $\Delta H$ ) სილიციუმისა და ნახშირბადის ( $C_2$ ) ატომებს შორის მანძილზე დამოკიდებულების დიაგრამა გვიჩვენებს, სისტემაში გარდატეხის მომენტი დგება მონომერების  $2.20 \text{ \AA}$  მანძილზე მიახლოების დროს. სისტემის ენერგია იწყებს მკვეთრად შემცირებას, სილიციუმის ატომს წყდება წყალბადის ატომი და ხდება მისი მიერთება ნახშირბადის ატომთან.



ნახაზი 33. სისტემის ენერგიის ცვლილების დამოკიდებულება ( $\Delta H$ ) სილიციუმის და ნახშირბადის ატომებს შორის მანძილზე ( $R_{C-Si}$ ), მეთილდიმეთოქსისილანის ჰიდროსილიდირებისას ვინილციკლოპენების ციკლურ ფრაგმენტთან, მოდელურ რეაქციაში

ციკლის ნახშირბადის ატომებს შორის არსებული ორმაგი გადადის ერთმაგ ბმაში. მონომერების შედგომი მიხლოების პროცესში სისტემის ენერგია კვლავ მცირდება ხდება ახლად ჩამოყალიბებული ბმების უფრო განმტკიცება. ენერგეტიკული დიაგრამა გამოსახულია 33-ე ნახაზზე.

ჰიდროსილიდირების შედეგად მიღებული საბოლოო პროდუქტი გამოსახულია 34-ე ნახაზზე:

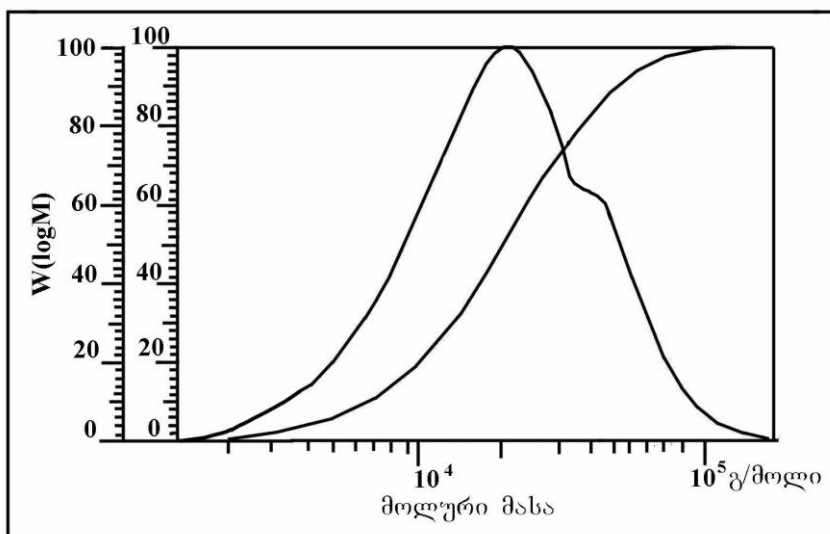


ნახაზი 34. მეთილდიმეთოქსისილანის ვინილციკლოპენების ჰიდროსილიდირების მოდელურ რეაქციაში მიღებული XIX პროდუქტის სტრუქტურა

მოდელური რეაქციებისათვის გათვლილ იქნა აქტივაციის ენერგიები  $\Delta\Delta H^*$  და რეაქციების სითბური ეფექტები  $\Delta\Delta H$ . ფარმერის წესით რეაქციის წარმართვის შემთ-

ხევაში აქტივაციის ენერგია ტოლია  $\Delta\Delta H^*=136.686$  კჯ/მოლი და სითბური ეფექტი  $\Delta\Delta H=-171.977$  კჯ/მოლი, ხოლო მარკოვნიკოვის წესით რეაქციის წარმართვისას აქტივაციის ენერგია შეადგენს  $\Delta\Delta H^*=142.707$  კჯ/მოლი და სითბური ეფექტი  $\Delta\Delta H=-166.644$  კჯ/მოლი. აქტივაციის ენერგია ვინილცილოპექსენის ციკლურ ფრაგმენტან ჰიდროსილილირების შემთხვევის დროს ტოლია  $\Delta\Delta H^*=149.0025$  კჯ/მოლი, ხოლო სითბური ეფექტი  $\Delta\Delta H=-164.1568$  კჯ/მოლი. თითქმის იგივე აქტივაციის ენერგიით და წარმოქნის სითბოს მნიშვნელობებით ხასიათდება მოდელურ რეაქციაში სილიციუმის ატომის მიერთება ციკლოპექსენილის მოლეკულაში ნახშირბადის პირველ ატომთან. აქტივაციის ენერგიების და წარმოქმნის სითბოების შედარება, მიუთითებს, რომ რეაქცია შეიძლება წარიმართოს ოთხივე მიმართულებით: ყველაზე უპირატესად ფარმერის წესის მიხედვით, შემდგომ მარკოვნიკოვის და ყველაზე ბოლოს კი ციკლოპექსენის ფრაგმენტში არსებული ორმაგი ბმის ხარჯზე ნახშირბადის პირველ და მეორე ატომთან. თეორიული გათვლების შედეგები სრულ თანხვდენაშია ბმრ სპექტროსკოპულ გათვლებთან და ლიტერატურულ მონაცემებთან, თუმცა სპექტრები საშუალებას არ იძლევა განვხაზდვროთ კონკურენტული რეაქციების მიმდინარეობის ზუსტი თანაფარდობები.

35-ე ნახაზზე XIV ოლიგომერის გელ-შედწევადი ქრომატოგრაფიული მრუდი, რომელსაც გააჩნია ბიმოდალური ხასიათი. ნაპოვნი იქნა ოლიგომერის საშუალო მოლეკულური მასები და პოლიდისპერსობა:  $\bar{M}_n \approx 1,36 \times 10^4$ ,  $\bar{M}_w = 2,51 \times 10^4$ ,  $D=1.87$ .



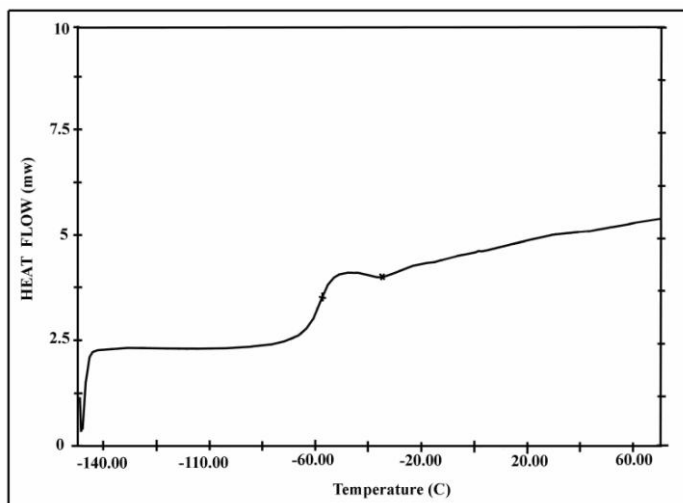
ნახაზი 35. XIV ოლიგომერის გელ-შედწევადი ქრომატოგრაფიული მრუდი

XIII ოლიგომერისათვის გამოთვლილი მოლეკულური მასა 4-ჯერ ადემატება მეთილჰიდროდილოქსანის 4-ვინილ-1-ციკლოპექსენთან სრული ჰიდროსილილირების დროს მიღებული ოლიგომერის მოლეკულურ მასას, რაც მიგვითოთებს იმაზე, რომ ჰიდროსილილირებისას ადგილი აქვს ნარჩენი  $\equiv Si-H$  ბმების მაკრომოლეკულათმორის ჰიდროსილილირებას, რომლის დროსაც მიიღება განტოტვილი ადნაგობის პოლიმერები. ასევე შესაძლებელია განტოტვა განხორციელდეს  $\equiv Si-H$  ბმების ჰომოდენტიდროკონდენსაციის რეაქციებითაც.

აღსანიშნავია ის ფაქტი, რომ XIV ოლიგომერის გაცხელებისას 3 საათის განმავლობაში  $70^{\circ}C$  ტემპერატურაზე ადგილი ქონდა მაკრომოლეკულათმორის ჰიდროსილილირების რეაქციას და მიიღებოდა ორგანულ გამხსნელებში პრაქტიკულად უხსნადი პოლიმერი. ამდენად სინთეზირებული ოლიგომერები, წარმოადგენენ თერ-

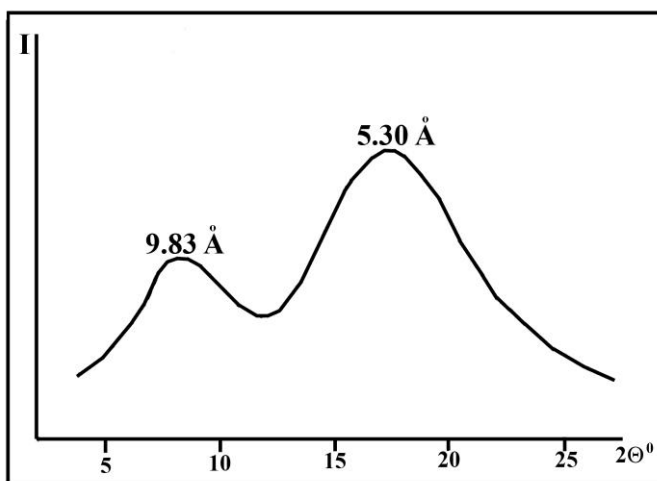
მორეაქტიულ სისტემებს, სადაც გაკერვა მიმდინარეობს სისტემაში არსებული კატალიზატორის ხარჯზე.

ოლიგომერებისათვის ჩატარებულია დიფერენციალური სკანირებადი კალორიმეტრული და ფართოკუთხოვანი რენტგენოგრაფიული კვლევები. 36-ე ნახაზზე მოცემულია XIV ოლიგომერის დიფერენციალური სკანირებადი კალორიმეტრული მრუდები. კვლევამ აჩვენა, რომ XIV ოლიგომერისათვის შეიმჩნევა ორი ენდოთერმული პიკი. პირველი ტემპერატურული გადასვლა შეესაბამება ოლიგომერის გამინების ტემპერატურას  $T_{გაგ} \approx -59^{\circ}\text{C}$  და მეორე შეესაბამება ოლიგომერის ლდობის ტემპერატურას  $T_{ლდ} \approx -34^{\circ}\text{C}$ . ყოველივე ეს მიგვითოთებს იმაზე, რომ მეთილჰიდრიდსილოქსანის მოდიფიკაციის პროცესი მიღწეულია, ვინაიდან მეთილჰიდრიდსილოქსანის გამინების ტემპერატურა შეადგენს  $\sim -123^{\circ}\text{C}$ .



ნახაზი 36. XIV. ოლიგომერის დიფერენციალური სკანირებადი კალორიმეტრული მრუდი

სინთეზირებული ოლიგომერებისათვის ჩატარებულ იქნა ფართოკუთხოვანი რენტგენოგრაფიული გამოკვლევა. 37-ე ნახაზზე მოცემულია XIV ოლიგომერის დიფრაქტოგრამა, საიდანაც ირკვევა, რომ სინთეზირებული ოლიგომერები წარმოადგენენ ერთფაზიან ამორფულ სისტემებს. დიფრაქტოგრამებზე მკვეთრად ჩანს ორი მაქსიმუმი  $2\Theta=9,0^{\circ}$  და  $2\Theta=16,75^{\circ}$  უბანში.



ნახაზი 37. XIV ოლიგომერის დიფრაქტოგრამა

ძირითადი მაქსიმუმი  $2\Theta=9,0^{\circ}$  შეესაბამება  $\ddot{\text{Z}}$ აჭვთაშორისი მანძილის მაქსიმალურ მნიშვნელობას  $d_1=9.83 \text{ \AA}$ , ხოლო  $2\Theta=16,75^{\circ}$  შეესაბამება  $d_2=5,30 \text{ \AA}$ , რომლის მნიშვნელობა უფრო რთული ხასიათისაა და განსაზღვრავს როგორც შიგაჯაჭვურ, აგრეთვე ატომთა შორის ურთიერთქმედებებს [156].

ამრიგად, ჩვენს მიერ პირველად იქნა შესწავლილი პოლიმეთილჰიდრიდ-სილოქსანის პიდრიდული მიერთების რეაქციები 4-ვინილ-1-ციკლოპექსენ-თან სხვადასხვა კატალიზატორის თანაობისას და სინთეზირებულია თერმორეაქტიული მეთილსილოქსანური ოლიგომერები უკერი ფრაგმენტებით გვერდით ჯაჭვში. შესწავლილია რეაქციების კინეტიკური პარამეტრები, სპექტრულ გამოკვლევებთან და ქვანტურ-მექანიკურ გათვლებთან ერთად დადგენილია რეაქციის მიმდინარეობის მიმართულებები. აღნიშნული ოლიგომერები შეიძლება გამოყენებულ იქნან როგორც გამკერავ აგენტებად, პოლიმერულ მატრიცებად და ასევე ახალი სპეცდანიშნულების სილიცა-უმორგანული ელასტომერების მისაღებად.



## 2.4. პოლიმეთილჰიდრიდსილოქსანის ჰიდროსილილირების რეაქციები 5-ვინილ-2-ნორბორნენთან

სილიციუმორგანული ოლიგომერების სინთეზის მიზნით, რომლებიც გვერდით ჯაჭვში შეიცავენ უჯერ ბმების შემცველ ციკლურ ფრაგმენტებს, ჩვენს მიერ შესწავლილ იქნა  $\alpha, \omega$ -ბის(ტრიმეთილსილოქსი)მეთილჰიდრიდსილოქსანის ჰიდრიდული მიერთების რეაქციები 5-ვინილ-2-ნორბორნენთან კატალიზატორის - პლატინაქლორწყალბადმჟავას 0.1 M ტეტრაჰიდროფურანში ხსნარის ( $H_2PtCl_6$  აიდებოდა  $4 \div 5 \times 10^{-5}$  გ მასის ოდენობით 1 გ სარეაქციო პროდუქტზე) თანაობისას [168, 172, 173].

რეაქციას ვატარებდით მორგაგირე კომპონენტების სხვადასხვა მოლური თანაფარდობით 1:35, 1:70 და 1:105 სხვადასხვა ტემპერატურაზე ( $20 \div 40^\circ C$ ) აბსოლუტური ტოლუოლის არეში. დადგენილ იქნა, რომ ოთახის ტემპერატურაზეც კი გამხსნელის გარეშე რეაქცია მიმდინარეობს გელის წარმოქმნით. ამიტომ რეაქციები ჩვენს მიერ შესწავლილია აბსოლუტურად მშრალი ტოლუოლის არეში. ხსნარის განზავება ( $C=0.045$  მოლი/ლ) შერჩეულ იქნა, როგორც შეკერვის პროცესების გათვალისწინებით, ასევე კინეტიკური პარამეტრების შესწავლის ხელსაყრელობის მიხედვით.

საწყისი კომპონენტების წინასწარი გაცხელებით კატალიზატორთან ერთად  $30 \div 60^\circ C$  ტემპერატურულ ინტერვალში საწყისი ნივთიერებების კონდენსაციას ან პოლიმერიზაციას, ან სხვა რაიმე გვერდით რეაქციებს ადგილი არა აქს, რასაც მოწმობს ფურიე გარდაქმნის იწ სპექტრები და გაზოხევადი ქრომატოგრაფიული კვლევა.

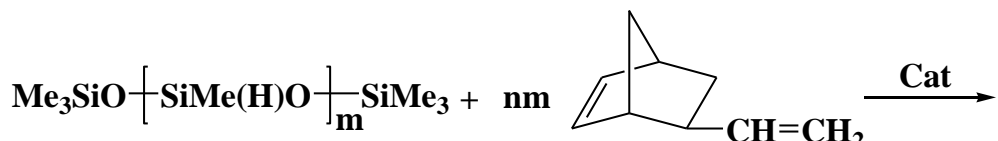
როგორც 5-ვინილ-2-ნორბორნენის სტრუქტურიდან ჩანს, ის შეიცავს ორ რეაქციისუნარიან უჯერ ბმას, ვინილურს და უჯერ ბმას ციკლურ ფრაგმენტში. იტერატურიდან ცნობილია, რომ ეს ორივე ბმა მონაწილეობს მეტალდიქლორსილანთან ჰიდროსილილირების რეაქციაში პლატინაქლორწყალბად შეავს თანაობისას. ვინილის ჯგუფზე ჰიდროსილილირებისას მიიღება  $[2-(2\text{-ნორბორნენ-5-ილ})\text{ეთიოლ}]\text{მეთიოლიქლორსილანი}$  (65%), ხოლო ციკლში არსებულ უჯერ ბმაზე ჰიდროსილილირებისას მიიღება 5-ვინილნორბორნენ-2-ილ-მეთიოლდიქლორსილანი (35%) შემდეგი სქემით [174]:

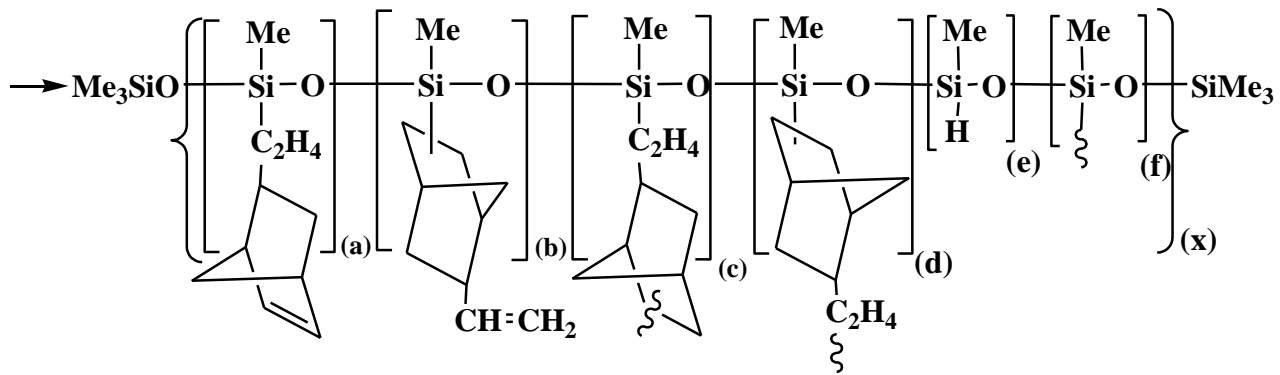


ანალოგიურად შეიძლება განხორციელდეს მეთიოლჰიდრიდსილოქსანის ჰიდროსილილირების რეაქცია 5-ვინილ-2-ნორბორნენთან. გარდა ამისა დარჩენილმა უჯერმა ბმებმა შეიძლება მონაწილეობა მიიღონ მოლეკულათშორის ჰიდროსილილირების რეაქციაშიც. რეაქცია ზოგადად მიმდინარეობს შემდეგი სქემის მიხედვით [168, 172, 173]:

### სქემა 10

$\alpha, \omega$ -ბის(ტრიმეთილსილოქსი)მეთილჰიდრიდსილოქსანის ჰიდრიდული მიერთების რეაქციები 5-ვინილ-2-ნორბორნენთან





სადაც: [(a)+(b)+(c)+(d)+(e)+(f)](x)=m≈35; კატალიზატორი -  $H_2PtCl_6 \cdot 6H_2O$ , - m≈35, n=1: XX<sup>1</sup>-20°C, XX<sup>2</sup>-30°C, XX-40°C. m≈35, n=2: XXI<sup>1</sup>-20°C, XXI<sup>2</sup>-30°C, XXI-40°C. m≈35, n=3: XXII<sup>1</sup>-20°C, XXII<sup>2</sup>-30°C, XXII-40°C. კატალიზატორი - Pt/C, m≈35, n=2: XXIII<sup>1</sup>-40°C, XXIII<sup>2</sup>-50°C, XXIII-60°C. კარსტედის კატალიზატორი, m≈35, n=2: XXIV<sup>1</sup>-20°C, XXIV<sup>2</sup>-30°C, XXIV-40°C.

მიღებული მეთილსილოქსანური ოლიგომერები წარმოადგენენ გამჭვირვალე, ბლანტ, არმატული ტიპის ორგანულ გამხსნელებში ხსნად სისტემებს ხვედრითი სიბლანტით  $\eta_{sp} \approx 0.08-0.1$ . სინთეზირებული ოლიგომერების შედგენილობა და სტრუქტურა დადგენილია ფუნქციური და ელემენტური ანალიზით, ასევე ფურიე გარდაქმნის ინფრაციონული,  $^1H$ ,  $^{13}C$ , H,H-COSY და C,H -კორელაციური ბმრ სპექტრების საშუალებით. სინთეზირებული ოლიგომერების ზოგიერთი ფიზიკური - ქიმიური მახასიათებლები მოცემულია ცხრილში 7.

სინთეზირებული ოლიგომერის ფურიე გარდაქმნის იქ სპექტრში შეიმჩნევა  $\equiv Si-Me$  და  $-OSiMe_3$  ჯგუფებისათვის დამახასიათებელი შთანთქმის ზოლები 1270 და 835 სმ<sup>-1</sup> უბანში, ხაზოვანი  $\equiv Si-O-Si\equiv$  ბმის ასიმეტრიული რხევებისათვის შთანთქმის ზოლი 1020 სმ<sup>-1</sup> უბანში, ციკლში არსებული  $-CH=CH-$  ჯგუფისათვის დამახასიათებელი სიგნალი 1640 სმ<sup>-1</sup> უბანში, რაც ადასტურებს რეაქციის წარმართვას ვინილის ჯგუფებთან. აგრეთვე სპექტრში გვაქვს რეაქციაში შეუსვლელი  $\equiv Si-H$  ბმისათვის დამახასიათებელი უმნიშვნელო სიგნალი 2160 სმ<sup>-1</sup> უბანში. სპექტრში თვალნათლივ ჩანს შთანთქმის ზოლები 2840-2930 სმ<sup>-1</sup> უბანი, რომელიც შეესაბამება ციკლურ ფრაგმენტში მეთილენური ჯგუფების შთანთქმას, სპექტრში ასევე შეინიშნება შთანთქმის ზოლები 1410 სმ<sup>-1</sup> უბანში, რომელიც დამახასიათებელია ვინილური ჯგუფებისათვის [153-155].

### ცხრილი 7

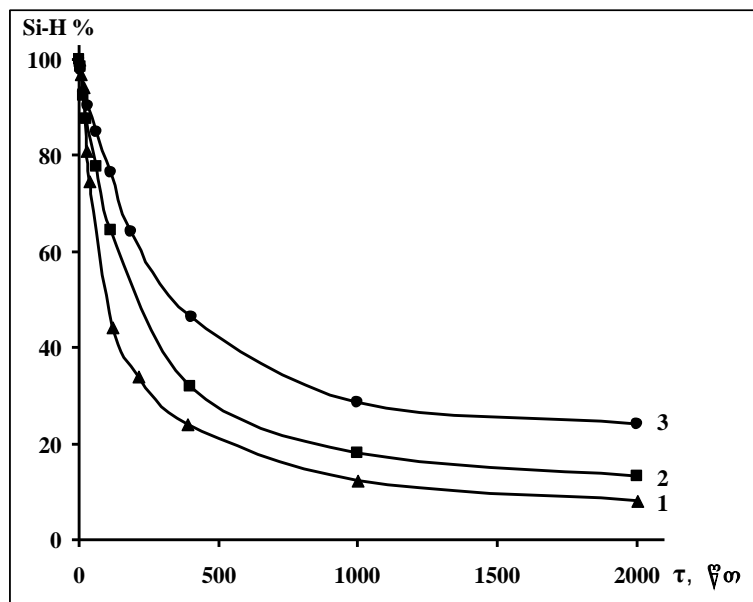
სინთეზირებული ოლიგომერების გამოსავალი და ზოგიერთი ფიზიკურ-ქიმიური მახასიათებელი

№	გამოსავალი %	კატალიზატორი	T°C	n	$\equiv Si-H$ ბმის კონვერსია	$\eta_{sp}^*$	ელემენტური ანალიზი, %		
							C	H	Si
XX	86	$H_2PtCl_6$	40	1	83	0.09	-	-	-
XX <sup>1</sup>	84	$H_2PtCl_6$	20	1	80	0.08	-	-	-
XX <sup>2</sup>	85	$H_2PtCl_6$	30	1	81	0.08	-	-	-
XXI	86	$H_2PtCl_6$	40	2	92	0.09	64.92 64.71	8.97 8.88	17.01 16.97
XXI <sup>1</sup>	85	$H_2PtCl_6$	20	2	82	0.09	62.24	8.89	18.66

							62.54	8.78	18.42
XXI <sup>2</sup>	85	H <sub>2</sub> PtCl <sub>6</sub>	30	2	87	0.08	<u>63.96</u> 63.66	<u>8.56</u> 8.83	<u>30.77</u> 31.04
XXII	88	H <sub>2</sub> PtCl <sub>6</sub>	40	3	95	0.1	-	-	-
XXII <sup>1</sup>	86	H <sub>2</sub> PtCl <sub>6</sub>	20	3	89	0.08	-	-	-
XXII <sup>2</sup>	87	H <sub>2</sub> PtCl <sub>6</sub>	30	3	93	0.09	-	-	-
XXIII	90	Pt/C	60	2	72	0.1	-	-	-
XXIII <sup>1</sup>	87	Pt/C	40	2	69	0.09	-	-	-
XXIII <sup>2</sup>	89	Pt/C	50	2	72	0.1	-	-	-
XXIV	88	კარსტედი	40	2	95	0.1	<u>65.42</u> 65.18	<u>13.29</u> 13.14	<u>16.43</u> 16.65
XXIV <sup>1</sup>	85	კარსტედი	20	2	88	0.09	<u>63.96</u> 63.66	<u>8.54</u> 8.83	<u>31.21</u> 31.04
XXIV <sup>2</sup>	86	კარსტედი	30	2	91	0.09	<u>64.45</u> 64.19	<u>8.76</u> 8.85	<u>17.86</u> 17.32

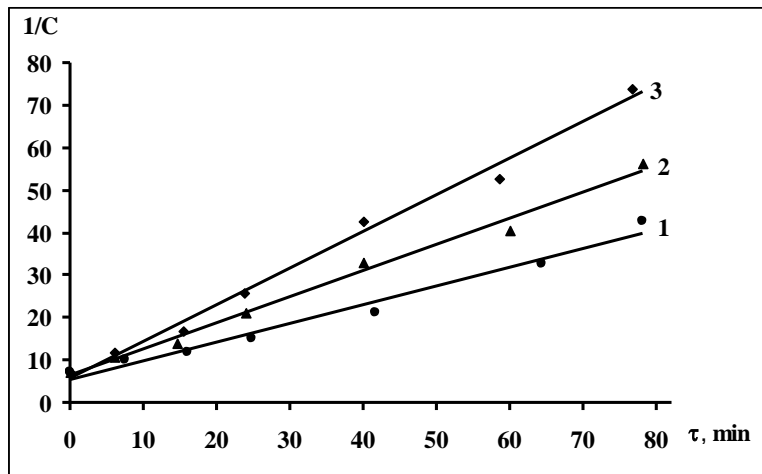
\* 1%-იანი ტოლუოლის ხსნარი, 25°C-ზემპერატურაზე.

შესწავლით მიერთების რეაქციის კინეტიკა. რეაქციის მიმდინარეობისას ვახდებით  $\equiv\text{Si}-\text{H}$  ბმის კონცენტრაციის ცვლილების განსაზღვრას დროში. 5-ვინილ-2-ნორბორნენის ჰიდროსილილირების რეაქციები შესწავლით, როგორც სტექიომეტრიული თანაფარდობით, ასევე ვინილური ნაერთის სიჭარბით, 38-ე ნახაზზე მოცემულია აქტიური  $\equiv\text{Si}-\text{H}$  ბმის კონცენტრაციის მრუდები მეთილჰიდრიდსილოქსანის ჰიდრიდული მიერთების დროს 5-ვინილ-2-ნორბორნენთან კატალიზატორის პლატინაქლორწყალბადმჟავას თანაბისას სხვადასხვა ტემპერატურაზე (20, 30 და 40°C) საიდანაც ჩანს, რომ ტემპერატურის ზრდასთან ერთად ჰიდროსილილირების სილრმე იზრდება 75%-დან 91%-მდე.



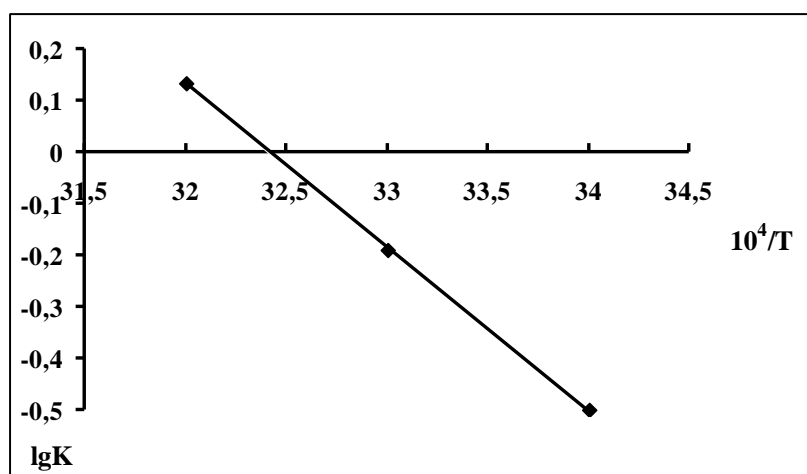
ნახაზი 38.  $\equiv\text{Si}-\text{H}$  ბმის კონცენტრაციის შემცირება დროში  $\alpha,\omega$ -ბის(ტრი-მეთილსილოქსი)მეთილჰიდრიდსილოქსანის მიერთებისას 5-ვინილ-2-ნორბორნენთან. 1 მრუდი შეესაბამება 40°C, 2-30°C, 3-20°C)

39-ე ნახაზზე მოცემულია კონცენტრაციის შებრუნებული სიდიდის დამოკიდებულება დროზე, საიდანაც ჩანს რომ პოლიმეთილჰიდრიდსილოქსანის პიდრიდული მიერთება 5-გინილ-2-ნორბორნენთან საწყის სტადიაზე წარმოადგენს მეორე რიგის რეაქციას. გათვლილია რეაქციის სიჩქარის მუდმივები სხვადასხვა ტემპერატურულ:  $k_{40}^0 \text{C} \approx 1.5206$ ,  $k_{30}^0 \text{C} \approx 0.7011$  და  $k_{20}^0 \text{C} \approx 0.3084 \text{ l/mol}\cdot\text{s}$  და ტემპერატურული კოეფიციენტი  $\gamma = 2.2$ .



ნახაზი 39. კონცენტრაციის შებრუნებული სიდიდის დამოკიდებულება დროზე  $\alpha, \omega$ -ბის(ტრიმეთილსილოქსი)მეთილჰიდრიდსილოქსანის მიერთებისას 5-გინილ-2-ნორბორნენთან (1 მრუდი შეესაბამება  $40^\circ\text{C}$ , 2 –  $30^\circ\text{C}$ , 3 –  $20^\circ\text{C}$ )

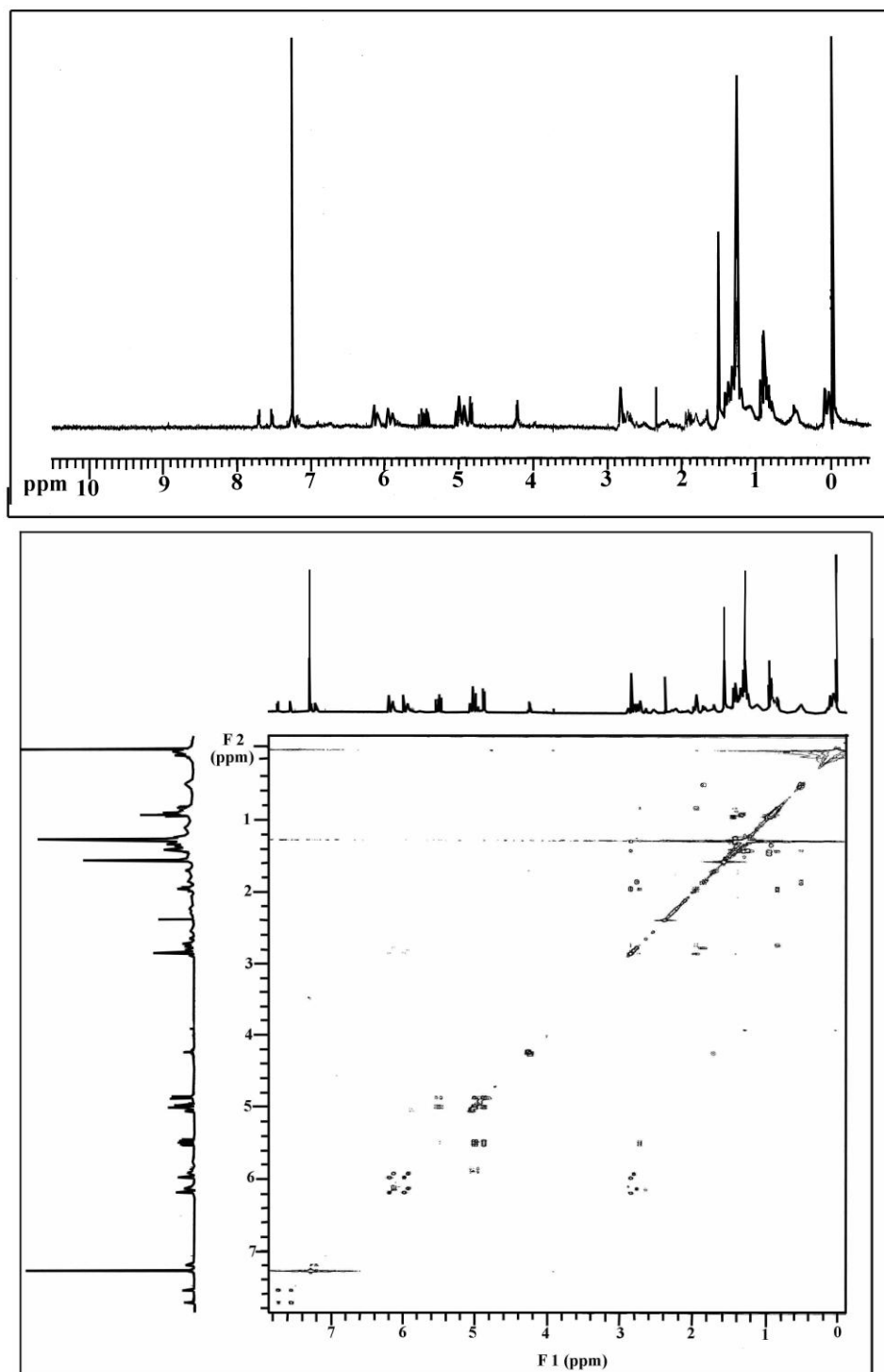
მე-40 ნახაზზე მოცემულია პიდროსილილირების რეაქციის სიჩქარის მუდმივას ლოგარითმის დამოკიდებულება ტემპერატურის შებრუნებულ სიდიდესთან. საიდანაც გათვლილია პიდროსილილირების რეაქციის აქტივაციის ენერგია  $E \approx 20.3 \text{ kJ/mol}$ .



ნახაზი 40. პიდროსილილირების რეაქციის სიჩქარის მუდმივას ლოგარითმის დამოკიდებულება ტემპერატურის შებრუნებულ სიდიდესთან  $\alpha, \omega$ -ბის(ტრიმეთილსილოქსი)მეთილჰიდრიდსილოქსანის პიდრიდული მიერთებისას 5-გინილ-2-ნორბორნენთან

ჩატარებულია სინეზირებული ოლიგომერების ბირთვულ მაგნიტური რეზონანსული სპეტროსკოპული კვლევები. 41-ე ნახაზზე მოცემულია XXI ოლიგომერის  ${}^1\text{H}$

და  $\text{H}_2\text{H-COSY}$  სპექტრები, სადაც შეიმჩნევა  $\equiv\text{Si-Me}$  და  $-\text{SiMe}_3$  პროტონებისათვის დამახასიათებელი სიგნალები ქიმიური წანაცვლების ცენტრით  $\delta \approx 0.01$  გმნ და  $\delta \approx 0.03$  გმნ.  $\equiv\text{Si-CH}_2-$  ფრაგმენტისათვის დამახასიათებელი სუსტი მულტიპლეტური სიგნალი

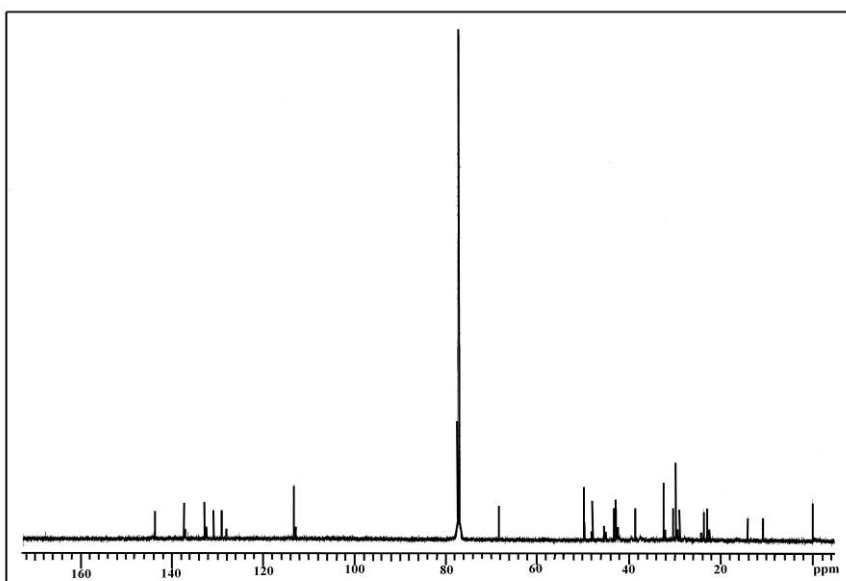


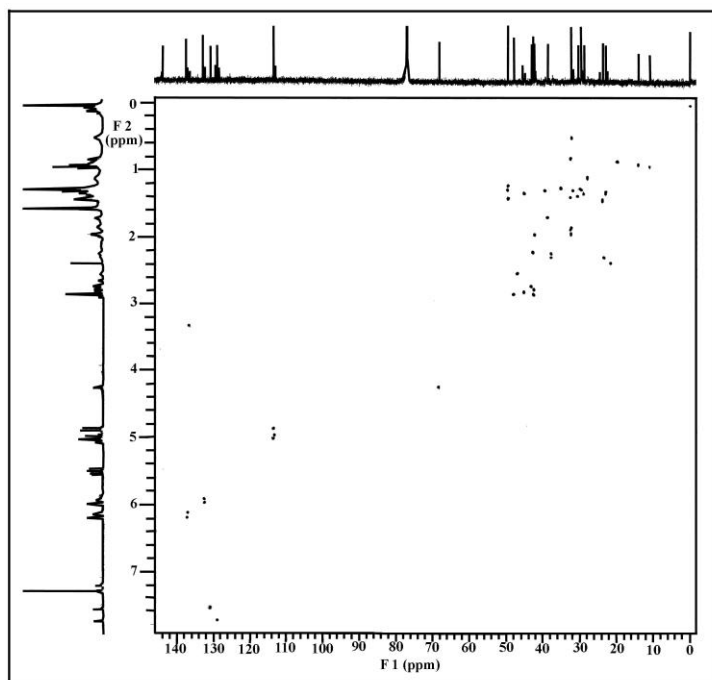
ნახაზი 41. XXI ოლიგომერის  $^1\text{H}$  და  $\text{H,H-COSY}$  პმ სპექტრი

ქიმიური წანაცვლების ცენტრით  $\delta \approx 0.45$  გმნ და  $\text{C}_7\text{H}_9\text{-CH}_2-$  ფრაგმენტის მეთილენური პროტონებისათვის დამახასიათებელი ასევე სუსტი მულტიპლეტური სიგნალები ქიმიური წანაცვლების ცენტრით  $\delta \approx 2.7$  გმნ, რაც მიუთითებს რეაქციის ფარმერის წესით მიმდინარეობაზე დაბალი გარდაქმნის ხარისხით. სპექტრში შეიმჩნევა  $=\text{CH-CH}_3$  მეთილის და  $=\text{CH-CH}_3$  მეთინური პროტონებისათვის დამახასიათებელი მულტიპლე-

ტური სიგნალები ქიმიური წანაცვლების ცენტრით  $\delta \approx 0.8$  გმნ და  $\delta \approx 1.3$  გმნ, ადნიშნული ორი სიგნალი მიუთითებს რეაქციის მარკოვნიკოვის წესის მიხედვით მიმდინარეობაზე. სიგნალების ინტენსივობიდან ჩანს, რომ 5-ვინილ-2-ნორბორნენის მიერთება უპირატესად მარკოვნიკოვის წესით მიმდინარეობს. მულტიპლეტური სიგნალები ქიმიური წანაცვლების ცენტრით  $\delta \approx 1.4$ , 1.6, 1.95 და 2.4 გმნ შეესაბამება ნორბორნენის ფრაგმენტში არსებულ მეთილენურ და მეთინურ პროტონებს. ვინილის ჯგუფის მეთილენური პროტონებისათვის დამახასიათებელი მცირე ინტენსივობის მულტიპლეტური სიგნალები  $\delta \approx 4.85$  და 5.0 გმნ ინტერვალში და ვინილის ჯგუფის მეთინური პროტონისათვის დამახასიათებელი მულტიპლეტური სიგნალი  $\delta \approx 6.0\text{--}6.2$  გმნ მოწმობს რეაქციის მცირე გარდაქმნის ხარისხით მიმდინარეობაზე ნორბორნენის ფრაგმენტში არსებული უჯერი ბმის ხარჯზე. მულტიპლეტური სიგნალი  $\delta \approx 5.45\text{--}5.55$  გმნ ინტერვალში ეკუთვნის ნორბორნენის ბირთვის -CH=CH- მეთინურ პროტონებს.  $\equiv\text{Si-H}$  ბმისათვის დამახასიათებელი სინგლეტური სიგნალი  $\delta \approx 4.2$  გმნ მოწმობს, რომ პიროსილინების დროს აქტიური  $\equiv\text{Si-H}$  ბმა სრულად არ მონაწილეობს რეაქციაში და რჩება სხვადასხვა რგოლიანი ოლიგომერების სტრუქტურულ ერთეულად.

XXI ოლიგომერის  $^{13}\text{C}$  და  $\text{C},\text{H}-\text{JMR}$  აციური ბმრ სპექტრები სრულ თანხმობაშია  $^1\text{H}$  და  $\text{H,H-COSY}$  ბმრ სპექტრების მონაცემებთან და მოწმობს, რომ რეაქცია მიმდინარეობს როგორც მარკოვნიკოვის და ფარმერის წესის მიხედვით, ასევე ნორბორნენის ბირთვში არსებული ორმაგი ბმის ხარჯზეც. სპექტრში შეიმჩნევა სიგნალები  $\equiv\text{Si-Me}$  და  $-\text{SiMe}_3$  ფრაგმენტების მეთილის ნახშირბადისათვის დამახასიათებელი სიგნალი  $\delta \approx 0.013$  გმნ.  $\equiv\text{Si-CH}_2$ - ფრაგმენტის მეთილენური ნახშირბადისათვის სიგნალი  $\delta \approx 14.04$  გმნ და  $\text{C}_7\text{H}_9\text{-CH}_2$ - ფრაგმენტის მეთილენური ნახშირბადისათვის სიგნალი  $\delta \approx 28.92$  გმნ მოწმობს რეაქციის ფარმერის წესით მიმდინარეობას.  $=\text{CH-CH}_3$  მეთინური ნახშირბადისათვის და მეთილის ნახშირბადისათვის დამახასიათებელი სიგნალები  $\delta \approx 22.98$  და  $\delta \approx 10.96$  გმნ მოწმობს რეაქციის მარკოვნიკოვის წესით მიმდინარეობას. სიგნალი  $\delta \approx 113.12$  გმნ შეესაბამება ვინილის მეთილენურ ნახშირბადს, იგივე ჯგუფის მეთინურ პროტონს შეესაბამება 143.76 გმნ და მიუთითებს რეაქციის მიმდინარეობაზე ნორბორნენის ბირთვში არსებული უჯერი ბმის ხარჯზე. ციკლურ ფრაგმენტში არსებული  $-\text{CH=CH-}$  მეთინური ნახშირბადებისათვის შეინიშნება სიგნალი  $\delta \approx 132.69$  გმნ.





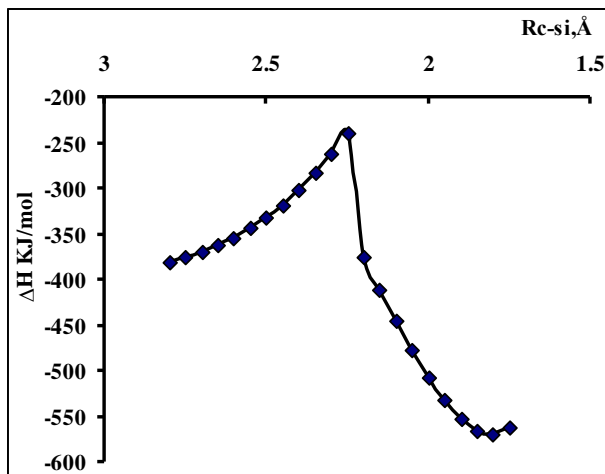
**ნახაზი 42.** XXIV ოლიგომერის  $^{13}\text{C}$  და C,H-კორელაციური სპექტრები

სინთეზირებული ოლიგომერებისათვის ჩატარებულია ქვანტურ-მექანიკური გათვალები ნახევრადემპირიული ქვანტურ-ქიმიური მეთოდით AM 1 [171].

მოდელურ რეაქციაში ჰიდროსილირება განხილულ იქნა ოთხი მიმართულებით – ფარმერის და მარკოვნიკოვის წესის მიხედვით და აგრეთვე ნორბორნენის ციკლური ფრაგმენტის ორმაგ ბმასთან 1 და 2 მიერთების გზით.

### სქემა 11

მეთილდიმეთოქსილანის 5-ვინილ-2-ნორბორნენთან ჰიდროსილირების  
მოდელური რეაქცია ფარმერის წესის მიხედვით

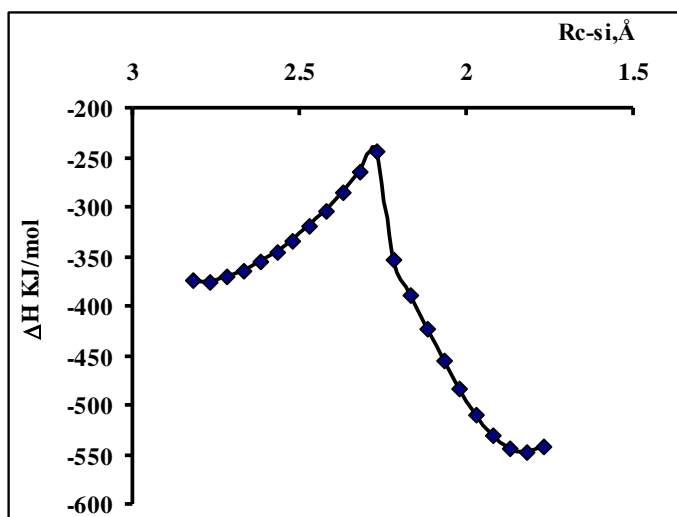


**ნახაზი 43.** სისტემის ენერგიის ცვლილების დამოკიდებულება ( $\Delta H$ ) სილიციუმის და ნახშირბადის ატომებს შორის მანძილზე ( $R_{C-Si}$ ), მეთილ-დიმეთოქსისილანის ჰიდროსილილირებისას 5-ვინილ-2-ნორბორნენტან (მოდელურ რეაქციაში) ფარმერის წესით

ანალოგიურად იქნა ჩატარებული გათვლები მარკოვნიკოვის წესის მიხედვით და ნორბორნენტის ფრაგმენტთან ჰიდროსილილირების შემთხვევაში მარკოვნიკოვის წესით და აგებულ იქნა სისტემის ენერგიის დამოკიდებულების გრაფიკი ნახშირბადისა და სილიციუმის ატომებს შორის მანძილის ცვლილებაზე (ნახაზი 44).

### სქემა 12

მეთილდიმეთოქსისილანის 5-ვინილ-2-ნორბორნენტან ჰიდროსილილირების მოდელური რეაქცია მარკოვნიკოვის წესის მიხედვით

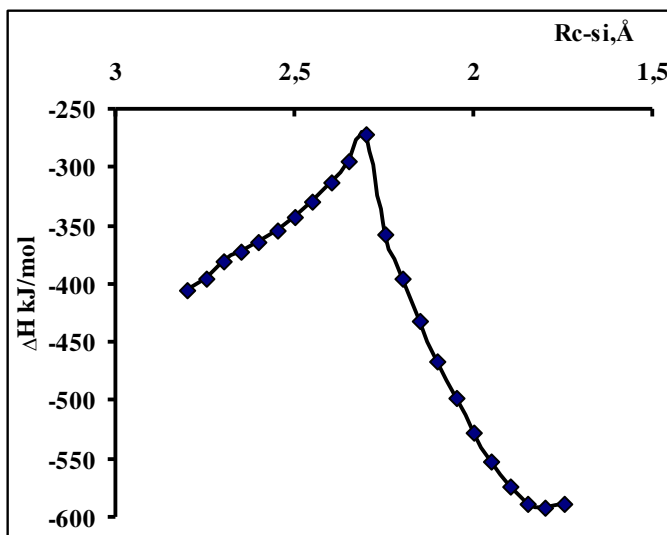


**ნახაზი 44.** სისტემის ენერგიის ცვლილების დამოკიდებულება ( $\Delta H$ ) სილიციუმის და ნახშირბადის ატომებს შორის მანძილზე ( $R_{C-Si}$ ), მეთილ-დიმეთოქსისილანის ჰიდროსილილირებისას 5-ვინილ-2-ნორბორნენტან (მოდელურ რეაქციაში) მარკოვნიკოვის წესით.

### სქემა 13

მეთილდიმეთოქსისილანის 5-ვინილ-2-ნორბორნენტან ჰიდროსილილირების მოდელური რეაქცია ნორბორნენტის ფრაგმენტთან სილიციუმის მეორე ნახშირბადის ატომთან მიერთების გზით

45-ე ნახაზზე მოცემულია სისტემის ენერგიის ცვლილების დამოკიდებულება ( $\Delta H$ ) სილიციუმის და ნახშირბადის ატომებს შორის მანძილზე ( $R_{C-Si}$ ), მეთილდიმეთოქ-სისილანის ჰიდროსილილირებისას 5-ვინილ-2-ნორბორნენთან (მოდელურ რეაქციაში) ნორბორნენის ციკლურ ფრაგმენტთან მიერთების გზით.



**ნახაზი 45.** სისტემის ენერგიის ცვლილების დამოკიდებულება ( $\Delta H$ ) სილიციუმის და ნახშირბადის ატომებს შორის მანძილზე ( $R_{C-Si}$ ), მეთილდიმეთოქ-სისილანის ჰიდროსილილირებისას 5-ვინილ-2-ნორბორნენთან (მოდელურ რეაქციაში) ნორბორნენის ციკლურ ფრაგმენტთან მიერთების გზით

მოდელური რეაქციებისათვის გათვლილ იქნა აქტივაციის ენერგიები  $\Delta\Delta H^*$  და რეაქციების სითბური ეფექტები  $\Delta\Delta H$ . ფარმერის წესით რეაქციის წარმართვის შემთხვევაში აქტივაციის ენერგია ტოლია  $\Delta\Delta H^* = 142.71 \text{ кДж/მოლი}$  და სითბური ეფექტი  $\Delta\Delta H = -188.64 \text{ кДж/მოლი}$ , ხოლო მარკოვნიკოვის წესით რეაქციის წარმართვისას აქტივაციის ენერგია შეადგენს  $\Delta\Delta H^* = 130.84 \text{ кДж/მოლი}$  და სითბური ეფექტი  $\Delta\Delta H = -173.104 \text{ кДж/მოლი}$ . აქტივაციის ენერგია ნორბორნენის ფრაგმენტთან მეორე ნახშირბადის ატომთან ჰიდროსილილირების შემთხვევის დროს ტოლია  $\Delta\Delta H^* = 134.68 \text{ кДж/მოლი}$ , ხოლო სითბური ეფექტი  $\Delta\Delta H = -187.73 \text{ кДж/მოლი}$ . თითქმის იგივე მნიშვნელობებით ხასიათდება მოდელურ რეაქციაში მეთილდიმეთოქ-სისილანის პირველ ნახშირბადის ატომთან მიერთების პროცესის აქტივაციის ენერგია და სითბური ეფექტი. აქტივაციის ენერგიების და წარმოქმნის სითბოების შედარება, მიუთითებს, რომ რეაქცია შეიძლება წარიმართოს უველავე უპირატესად მარკოვნიკოვის წესის მიხედვით, შემდგომ ნორბორნენის ფრაგმენტთან და ბოლოს კი ფარმერის გზით. თეორიული გათვლების შედეგები სრულ თანხვდენაშია ბმრ სპექტროსკოპიულ გათვლებთან და ლიტერატურულ მონაცემებთან. გათვლების შედეგები წარმოდგენილია ცხრილებში 8-10.

### ცხრილი 8

ენერგიის ( $\Delta H$ ) ცვლილების დამოკიდებულება სილიციუმისა და ნახშირბადის ატომებს შორის მანძილზე ( $R_{C-Si}$ ), ატომებზე მუხტის სიდიდეები (q), დიპოლური მომენტები ( $\mu$ ) და ბმის რიგები ( $P_{ij}$ ), მეთილდიმეთოქსისილანის ვინილნორბორონენთან ჰიდრიდული მიერთების მოდელურ რეაქციაში ფარმერის წესის მიხედვით

$R_{9-22}$	$R_{8-28}$	$\Delta H$	q <sub>8</sub>	q <sub>9</sub>	q <sub>22</sub>	q <sub>28</sub>	$\mu$	P <sub>8-9</sub>	P <sub>1-22</sub>	P <sub>9-28</sub>	P <sub>8-28</sub>
2.80	2.12	-381.9489	-0.25993	-0.13735	1.351474	-0.196487	2.187	1.951089	0.016610	0.001026	0.924189
2.75	2.07	-376.1354	-0.26902	-0.13151	1.353894	-0.198206	2.070	1.948333	0.019599	0.001536	0.923275
2.70	2.02	-369.8421	-0.27875	-0.12533	1.359864	-0.201213	1.968	1.944171	0.023427	0.002857	0.921386
2.65	1.97	-362.4599	-0.29085	-0.11734	1.366142	-0.205667	1.806	1.938115	0.027961	0.003404	0.917885
2.60	1.92	-354.0395	-0.30418	-0.10849	1.372317	-0.210091	1.634	1.930379	0.033146	0.004933	0.913281
2.55	1.87	-344.1935	-0.31946	-0.09809	1.377435	-0.213893	1.456	1.921464	0.038807	0.006920	0.907964
2.50	1.82	-332.4750	-0.33738	-0.08548	1.382991	-0.217415	1.281	1.911046	0.045060	0.009533	0.901742
2.45	1.77	-318.6846	-0.36209	-0.06733	1.386969	-0.225436	0.996	1.896283	0.052433	0.013848	0.888999
2.40	1.72	-302.3557	-0.38878	-0.04769	1.397285	-0.231506	0.824	1.878424	0.061005	0.019175	0.876826
2.35	1.67	-282.9733	-0.42480	-0.02093	1.413675	-0.242017	0.643	1.850865	0.071860	0.028187	0.855496
2.30	1.62	-261.7788	-0.47662	0.017813	1.446741	-0.263927	0.632	1.805499	0.084472	0.043247	0.815491
2.25	1.57	-239.2419	-0.54397	0.067755	1.502269	-0.294860	0.807	1.728250	0.103132	0.070094	0.749228
2.20	1.52	-374.6855	-0.40371	-0.11585	1.318788	0.020365	0.601	1.009744	0.863088	0.942179	0.003761
2.15	1.47	-410.8884	-0.41879	-0.11925	1.335723	0.030300	0.594	1.006923	0.864091	0.946794	0.002239
2.10	1.42	-445.5049	-0.43620	-0.12369	1.353559	0.041716	0.604	1.004450	0.864534	0.951303	0.001146
2.05	1.37	-477.7254	-0.45428	-0.12672	1.372596	0.050280	0.551	1.002642	0.864097	0.954203	0.000601
2.00	1.32	-506.9415	-0.47404	-0.12891	1.392834	0.057569	0.504	1.001026	0.862750	0.956585	0.000360
1.95	1.27	-532.2255	-0.49550	-0.13018	1.414105	0.063784	0.466	0.999457	0.860659	0.958736	0.000239
1.90	1.22	-552.3797	-0.51851	-0.13039	1.436685	0.068610	0.443	0.997976	0.857862	0.960703	0.000220
1.85	1.17	-565.8310	-0.54318	-0.12959	1.459887	0.072685	0.460	0.996407	0.854587	0.962631	0.000203
1.80	1.12	-570.5888	-0.56941	-0.12759	1.483794	0.075833	0.525	0.994727	0.850885	0.964540	0.000190
1.75	1.07	-562.2348	-0.59744	-0.12378	1.508367	0.078229	0.634	0.992875	0.846887	0.966853	0.000178

### ცხრილი 9

ენერგიის ( $\Delta H$ ) ცვლილების დამოკიდებულება სილიციუმისა და ნახშირბადის ატომებს შორის მანძილზე ( $R_{C-Si}$ ), ატომებზე მუხტის სიდიდეები ( $q$ ), დიპოლური მომენტები ( $\mu$ ) და ბმის რიგები ( $P_{ij}$ ), მეთილდიმეთოქსისილანის ვინილნორბორონენთან ჰიდრიდული მიერთების მოდელურ რეაქციაში მარკონიკოვის წესის მიხედვით

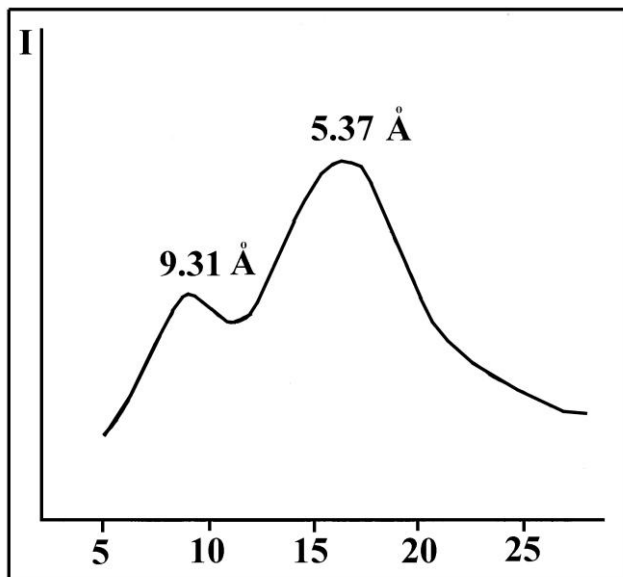
$R_{8-22}$	$R_{9-28}$	$\Delta H$	$q_8$	$q_9$	$q_{22}$	$q_{28}$	$\mu$	$P_{8-9}$	$P_{8-22}$	$P_{9-28}$	$P_{22-28}$
2.82	2.11	-372.6529	-0.23699	-0.16646	1.382319	-0.219897	2.179	1.938627	0.017637	0.002411	0.906515
2.77	2.06	-374.6944	-0.22191	-0.18912	1.378408	-0.242905	1.073	1.931136	0.021364	0.004772	0.884133
2.72	2.01	-368.9360	-0.21520	-0.19840	1.378979	-0.243408	1.135	1.926390	0.024454	0.006181	0.881067
2.67	1.96	-363.3827	-0.20229	-0.21218	1.378631	-0.244079	1.237	1.917780	0.029759	0.008779	0.876510
2.62	1.91	-355.4559	-0.19183	-0.22602	1.381067	-0.244798	1.270	1.910846	0.033992	0.011264	0.871615
2.57	1.86	-345.7031	-0.17992	-0.24187	1.384743	-0.245878	1.305	1.901604	0.039252	0.014641	0.865131
2.52	1.81	-333.8789	-0.16532	-0.26113	1.390424	-0.247753	1.340	1.889338	0.045697	0.019227	0.856263
2.47	1.76	-319.78717	-0.147487	-0.28462	1.398390	-0.250551	1.380	1.873143	0.053439	0.022124	0.844347
2.42	1.71	-303.34708	-0.126110	-0.31296	1.410758	-0.254937	1.413	1.850238	0.063493	0.034448	0.827214
2.37	1.66	-284.67810	-0.098479	-0.34951	1.429291	-0.261915	1.459	1.817011	0.076369	0.047707	0.802056
2.32	1.61	-264.34201	-0.060837	-0.39869	1.459655	-0.273654	1.507	1.761047	0.096511	0.070172	0.760419
2.27	1.56	-243.84982	-0.014937	-0.46193	1.505999	-0.288983	1.535	1.676220	0.122155	0.108208	0.694696
2.22	1.51	-351.96157	-0.200265	-0.32884	1.310893	1.310893	0.783	1.007206	0.849465	0.962760	0.000640
2.17	1.46	-387.93675	-0.201913	-0.34317	1.327252	0.034507	0.744	1.005031	0.851022	0.964773	0.000290
2.12	1.41	-422.39251	-0.202567	-0.35910	1.345077	0.041674	0.726	1.003473	0.851277	0.966098	0.000264
2.07	1.36	-454.62053	-0.204175	-0.37627	1.364918	0.048274	0.663	1.001877	0.850669	0.967314	0.000254
2.02	1.31	-483.82298	-0.205748	-0.39488	1.386100	0.054240	0.604	1.000307	0.849175	0.968506	0.000265
1.97	1.26	-509.09022	-0.206749	-0.41497	1.408201	0.059463	0.556	0.998776	0.846930	0.969698	0.000284
1.92	1.21	-529.25453	-0.207247	-0.43651	1.431100	0.064115	0.514	0.997194	0.844110	0.970855	0.000291
1.87	1.16	-542.80350	-0.206775	-0.45957	1.454752	0.067903	0.504	0.995598	0.840598	0.972042	0.000302
1.82	1.11	-547.79871	-0.205241	-0.48413	1.478916	0.070908	0.542	0.993912	0.836535	0.973264	0.000307
1.77	1.06	-541.80441	-0.202660	-0.51013	1.503621	0.073113	0.631	0.992075	0.832017	0.974521	0.000301

### ცხრილი 10

ენერგიის ( $\Delta H$ ) ცვლილების დამოკიდებულება სილიციუმისა და ნახშირბადის ატომებს შორის მანძილზე ( $R_{C-Si}$ ), ატომებზე მუხტის სიდიდეები (ქ), დიპოლური მომენტები ( $\mu$ ) და ბმის რიგები ( $P_{ij}$ ), მეთილდიმეთოქსისილანის ვინილნორბორნენთან ჰიდრიდული მიერთების მოდელურ რეაქციაში ციკლთან ჰიდროსილირების

$R_{2-22}$	$\Delta H$	$q_1$	$q_2$	$q_{22}$	$q_{28}$	$\mu$	$P_{1-2}$	$P_{1-28}$	$P_{2-22}$	$P_{22-28}$
2.80	-405.8677	-0.136904	-0.235018	1.365101	-0.239107	1.328	1.911885	0.000656	0.015971	0.898151
2.75	-386.86618	-0.132787	-0.242638	1.367670	-0.240376	1.360	1.907059	0.001554	0.019420	0.895783
2.70	-380.52230	-0.150357	-0.234012	1.379745	-0.244739	1.299	1.889030	0.005320	0.027403	0.882396
2.65	-371.52355	-0.139929	-0.248811	1.380548	-0.242705	1.332	1.881740	0.008696	0.031774	0.877899
2.60	-363.91632	-0.130217	-0.262596	1.382770	-0.242762	1.417	1.874520	0.011166	0.036445	0.873722
2.55	-354.45576	-0.118674	-0.278816	1.386104	-0.243203	1.504	1.865383	0.014448	0.041923	0.868107
2.50	-342.87674	-0.104787	-0.298220	1.390920	-0.244240	1.600	1.853562	0.048449	0.018852	0.860503
2.45	-328.96660	-0.088136	-0.321506	1.398326	-0.246228	1.700	1.837703	0.056406	0.024919	0.849812
2.40	-312.61018	-0.068079	-0.349753	1.409451	-0.249600	1.799	1.815741	0.066318	0.033538	0.834477
2.35	-293.87281	-0.042904	-0.385404	1.427148	-0.255520	1.896	1.783736	0.079029	0.046305	0.811213
2.30	-271.18449	-0.009963	-0.432454	1.456776	-0.265886	1.973	1.733003	0.096441	0.066955	0.773042
2.25	-357.19086	-0.152115	-0.328107	1.305382	0.052605	0.895	0.994226	0.933809	0.844201	0.012438
2.20	-394.79315	-0.152880	-0.342641	1.323071	0.059569	0.864	0.991426	0.846372	0.938151	0.010146
2.15	-431.04311	-0.153167	1.341372	1.341372	0.065785	0.819	0.989237	0.847753	0.941938	0.008347
2.10	-465.54245	-0.152997	-0.375171	1.359939	0.071494	0.765	0.987515	0.848464	0.945298	0.006916
2.05	-497.78690	-0.152748	-0.393232	1.378964	0.077520	0.715	0.986099	0.848491	0.948166	0.005760
2.00	-527.19830	-0.150353	-0.412699	1.399163	0.080140	0.640	0.984899	0.847800	0.951364	0.004790
1.95	-552.85787	-0.148290	-0.433535	1.419770	0.084144	0.571	0.983784	0.846531	0.954008	0.003986
1.90	-573.61013	-0.145332	-0.455894	1.441343	0.087006	0.517	0.982703	0.844536	0.956592	0.003312
1.85	-587.86052	-0.141740	-0.479685	1.463832	0.089268	0.502	0.981529	0.841802	0.958989	0.002757
1.80	-593.59977	-0.137163	-0.504914	1.487134	0.090230	0.538	0.980279	0.838403	0.961389	0.002290
1.75	-588.30466	-0.131725	-0.531666	1.511031	0.090822	0.636	0.978810	0.834506	0.963637	0.001908

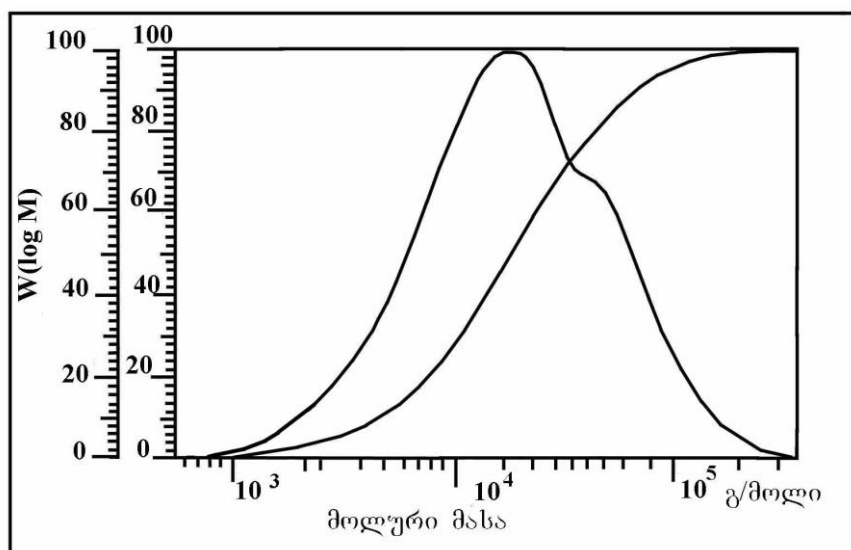
ოლიგომერებისათვის ჩატარებულია ფართო-კუთხოვანი რენტგენოგრაფიული გამოკვლევები (ნახაზი 46). რენტგენოგრამაზე შეიმჩნევა ორი დიფრაქციული მაქსიმუმი.



**ნახაზი 46.** XXI ოლიგომერის რენტგენოგრაფიული მრუდი

პირველი დიფრაქციული მაქსიმუმი შეესაბამება  $2\Theta=9.5^{\circ}$  და  $2\Theta=16.5^{\circ}$ . ძირითადი მაქსიმუმი შეესაბამება ჯაჭვთაშორისი მანძილის მაქსიმალურ მნიშვნელობას  $d_1=9.31 \text{ \AA}$ , ხოლი მეორე მაქსიმუმი შეესაბამება  $d_2=5.37 \text{ \AA}$ , რომლის მნიშვნელობა უფრო რთული ხასიათისაა და განსაზღვრავს როგორც შიგაჯაჭვურ, აგრეთვე ატომთა შორის ურთიერთქმედებებს. სინთეზირებული ოლიგომერები წარმოადგენენ ერთფაზიან ამორფულ სისტემებს [156].

რეაქციის პირობების შეცვლა ან კატალიზატორი არ ახდენს არსებით გავლენას ოლიგომერების ჯაჭვთაშორისი მანძილების ცვლილებაზე.



**ნახაზი 47.** XXI ოლიგომერის გელ-შედწევადი ქრომატოგრაფიული მრუდები

ჩატარებულია XXI ოლიგომერის გელ-შედწევადი ქრომატოგრაფიული გამოკლევა. 47-ე ნახაზზე მოცემულია XX ოლიგომერის გელ-შედწევადი ქრომატოგრა-

ფიული მრუდი, რომელსაც გააჩნია ბიმოდალური მოლეკულურ-მასური განაწილება. განსაზღვრულია საშუალო მოლეკულური მასის სიდიდე, რომელიც შეადგენს:  $M_h \approx 7,70 \times 10^3$ ,  $M_w = 2,97 \times 10^4$  ხოლო პოლიდისპერსობა შეადგენს  $D=3.8$ . მეთილჰიდრიდ-სილოქსანის 5-ვინილ-2-ნორბორნენთან სრული პიდროსილილირების დროს მიღებული ოლიგომერის მოლეკულური მასა უნდა შეადგენდეს 6462. ნაპოვნი საშუალო მოლეკულური მასა 4,6-ჯერ აღემატება სრული პიდროსილილირების დროს მიღებული ოლიგომერის მოლეკულურ მასას. ყოველივე ეს მიუთითებს იმაზე, რომ პიდროსილილირების მიმდინარეობისას ადგილი აქვს მაკრომოლეკულათმორის პიდროსილილირებას, რომლის დროსაც წარმოიქმნება განტოტვილი აგებულების პოლიმერი. გარდა ამისა განტოტვის რეაქციები მიმდინარეობს ასევე Si-H ბმის პოლიმეროკონდენსაციის რეაქციებითაც პლატინაქლორწყალბად მჟავას გამოყენების შემთხვევაში, რაც თანხვდენაშია ლიტერატურულ მონაცემებთან [150].

ამრიგად, ჩვენს მიერ პირველად იქნა შესწავლილი პოლიმეთილ-პიდრიდ-სილოქსანის პიდრიდული მიერთების რეაქციები 5-ვინილ-2-ნორბორნენთან სხვადასხვა კატალიზატორების თანაობისას და მორეაგირე კომპონენტების სხვადასხვა თანაფარდობისას. დადგენილია, რომ პიდროსილილირების რეაქცია ნაწილობრივ მიმდინარეობს მაკრომოლეკულათმორისი პიდროსილილირებით. სინთეზირებულია განტოტვილი აგებულების თერმორეაქტიული მეთილსილოქსანური ოლიგომერები უჯერი ფრაგმენტებით გვერდით ჯაჭვში. მოდელურ რეაქციებზე ქვანტურ-ქიმიური გათვლებით და ოლიგომერების ბმრ სპექტრებით დადგენილია, რომ პიდროსილილირება მიმდინარეობს ოთხივე მიმართულებით: ყველაზე უპირატესად მარკოვნიკოვის წესის მიხედვით, შემდგომ ნორბორნენის ფრაგმენტთან და ყველაზე ბოლოს კი ფარმერის გზით. სინთეზირებული ოლიგომერები რომლებიც გვერდით ჯაჭვში შეიცავენ უჯერ ბმებს შეიძლება წარმატებით გამოყენებულ იქნან როგორც გამკერავ აგენტებად, ასევე კარბოჯაჭვური პოლიმერების მოდიფიკატორებად.



## 2.5. მეთილჰიდრიდსილოქსანის პიდროსილილირების რეაქცია ალილციანიდთან

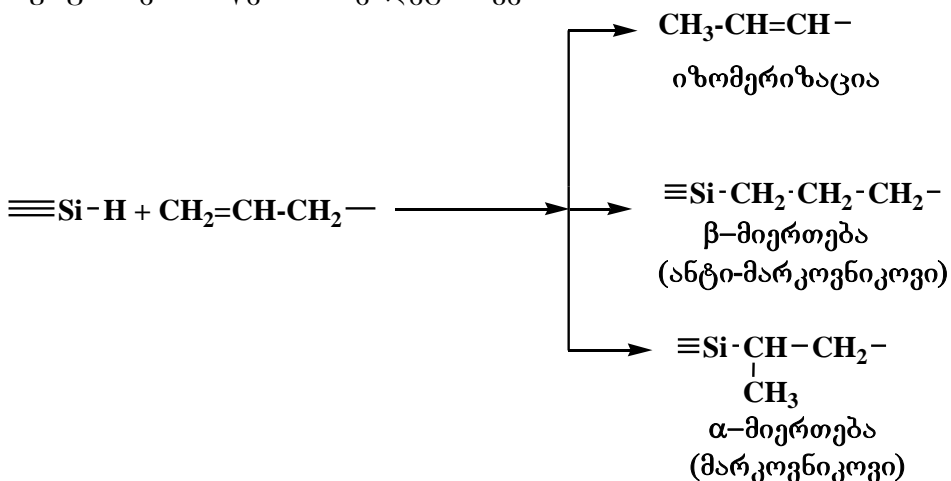
საინტერესო თვისებებით ხასიათდებიან სავარცხლისმაგვარი პოლიმერები, სადაც ძირითად სილოქსანურ მატრიცასთან მიერთებულია სხვადასხვა სიგრძის ორგანული განშტოებები ელექტროდონორული ჯგუფებით გერდით ჯაჭვში. ასეთი ელექტროდონორული ბუნების მქონე პოლიეთილენგლიკოლური გვერდითი განტოზები ხსნიან ლითიუმის მარილებს მაღალი კონცენტრაციით, მარტივეთერული უანგბადის კოოპერაციული ურთიერთქმედებით ლითიუმის იონებთან, რაც თავის მხრივ ასეთი პოლიმერების იონურ გამტარებლობას ზრდის. საინტერესო იყო მეთილსილოქსანის გვერდით ჯაჭვში პროპილციანიდური ჯგუფის შეევანა, სადაც ნიტროლურ ჯგუფში შემავალი აზოტის ატომი იგივე დონორული ბუნებისაა.

ჩვენი სამუშაოს მიზანს წარმოადგენდა მეთილსილოქსანური ოლიგომერების სინთეზი 3-ციანოპროპილის ჯგუფებით გვერდით ჯაჭვში. ამ მიზანით, ჩვენს მიერ შესწავლილია ოლიგომეთილჰიდროსილოქსანის პიდროსილილირების რეაქციები ალილციანიდთან კარსტების კატალიზატორის თანაობისას.

საწყის პროდუქტებად პიდროსილილირების რეაქციებში გამოყენებულ იქნა ტრიმეთილსილოქსიჯგუფებით ბლოკირებული პოლიმეთილსილოქსანი და ალილციანიდი.

ა.ω-ბის(ტრიმეთილსილოქსი)მეთილჰიდრიდსილოქსანის ალილციანიდთან პიდროსილილირების რეაქციას ვატარებდით სხვადასხვა ტემპერატურულ ინტერვალში 60°C, 70°C და 80°C მორეაგირე კომპონენტების 1:70 თანაფარდობით. რეაქციის მიმდინარეობისას ვაფიქსირებდით აქტიური  $\equiv\text{Si}-\text{H}$  ბმის კონცენტრაციის ცვლილებას დროში. ლიტერატურული მონაცემებისაგან [175] განსხვავებით, დადგენილია, რომ პიდროსილილირების რეაქცია არ მიმდინარეობს სრულად და გვრჩება რეაქციაში შეუსვლელი აქტიური  $\equiv\text{Si}-\text{H}$  ბმა. თუმცა აქვთ უნდა აღვნიშნოთ, რომ ტრიმეთილსილოქსი ჯგუფებით ბლოკირებული პოლიმეთილჰიდროსილოქსანით ( $M_n \approx 390$ ) პიდროდული მიერთებისას ალილციანიდთან, ჩვენგან განსხვავებით ყველა აქტიური  $\equiv\text{Si}-\text{H}$  ბმა შედის რეაქციაში [175, 176].

ლიტერატურიდან ცნობილია, რომ ალილურ ნაერთებთან პიდროსილილირების რეაქცია შეიძლება წარიმართოს სამი ძირითადი მიმართულებით: უჯერი ბმის იზომერიზაციით, α-მიერთებით – მარკოვნიკოვის წესით და β-მიერთებით ანტი-მარკოვნიკოვით ანუ ფარმერის წესით შემდეგი სქემით:

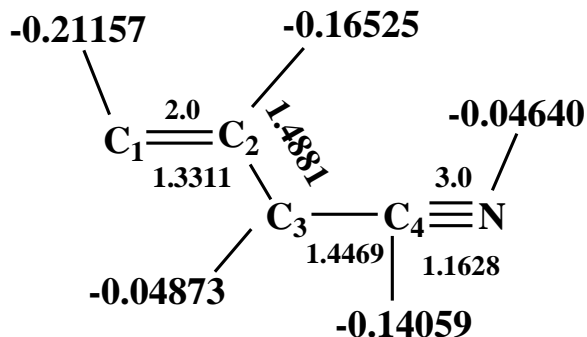


**სქემა 14.**  $\equiv\text{Si}-\text{H}$  ბმის მიერთების რეაქციები ალილწარმოებულთან

როგორც ალილციანიდის მოლეკულიდან ჩანს გარდა იმისა, რომ მას გააჩნია უჯერი C=C ბმა, მას ასევე გააჩნია C≡N, როგორც ლიტერატურის [177] მონაცემებიდანაა ცნობილი, წარმოადგენს რეაქციისუნარიან ცენტრს პიდროსილირების რეაქციებში კატალიზატორის ოქტაკარბონილდიკობალტის თანაობისას  $\text{Co}_2(\text{CO})_8$ . ნახევრად ემპირიული ქვანტურ-ქიმიური AM1 მეთოდით გათვლილ იქნა ალილციანიდში ელექტრონული მახასიათებლები: მუხტის სიდიდეები ნახშირბადის ატომებზე და ბმის რიგები [171]. მიღებული შედეგები გამოსახულია მოლეკულურ დიაგრამაზე:

## დიაგრამა 2

მუხტის სიდიდეები, ბმის რიგები და ბმის სიგრძეები  
ალილციანიდის მოლეკულაში



როგორც მოლეკულური დიაგრამიდან ჩანს მუხტის მაქსიმალური მნიშვნელობა შეინიშნება  $\text{C}_1$  და  $\text{C}_2$  ნახშირბადის ატომზე. ამდენად მუხტების სიდიდიდან გამომდინარე პიდროსილირებაც ყველაზე უფრო მეტად უნდა წარიმართოს ნახშირბადის 1 ან 2 ატომზე. ეს მიუთითებს იმაზე, რომ ნახშირბადის აღნიშნული ატომები წარმოადგენენ განსაკუთრებით რეაქციისუნარიან ცენტრებს ელექტროფილური მიერთებისათვის.

პიდროსილირების რეაქციები შესწავლილია აბსოლუტური ტოლუოლის განზავებულ ხსნარში ( $\text{C} \approx 6.8 \times 10^{-2}$  მოლი/ლ), ერთეულ ელემენტურ რგოლზე ორჯერ მეტი ალილციანიდის თანაობისას ანუ მორეაგირე კომპონენტების 1:70 მოლური თანაფარდობით, კარსტედის კატალიზატორის თანაობისას, ინერტულ არეში. დადგენილია, რომ პიდროსილირების რეაქცია არ მიმდინარეობს სრულად და გარკვეული დროის შემდეგ (~72 სთ) შეიმჩნეოდა გელის წარმოქმნის რეაქციები. სარეაქციო არედან გამოყოფილ იქნა ხსნადი ნაწილი (75%), რომელიც გადალეჭვისა და გამხსნელის მოცილების შემდეგ წარმოადგენს უფერო გამჭვირვალე ბლანტ სითხეს, რომელიც უფრო კარგად იხსნება ტეტრაჰიდროფურანში, ვიდრე ტოლუოლში. იგივე რეაქცია ჩატარებულ იქნა აბსოლუტური ტეტრაჰიდროფურანის განზავებულ ხსნარში, კარსტედის კატალიზატორის თანაობისას, ინერტულ არეში. მაგრამ აქაცორი კვირის განმავლობაში ყველა აქტიური  $\equiv\text{Si}-\text{H}$  ბმა არ შედის პიდროსილირების რეაქციაში (~10%) და ადგილი აქვს გაკერვის რეაქციებს.

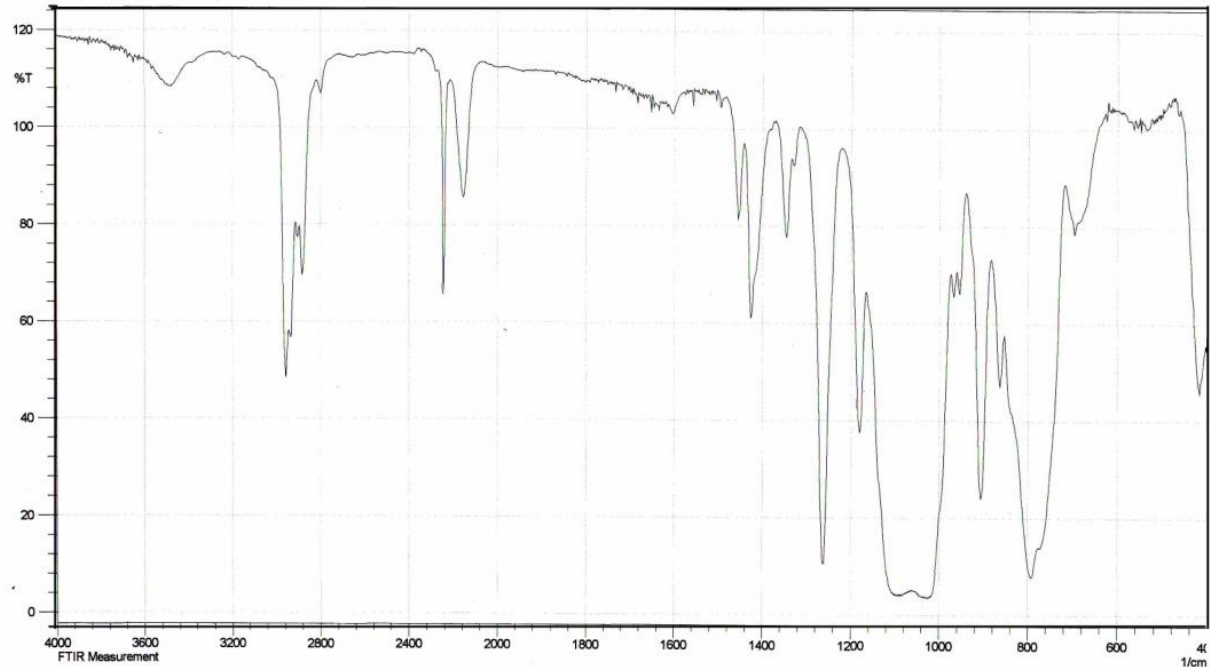
გაკერვის რეაქციები, როგორც ცნობილია [177] შეიძლება განხორციელდეს ნარჩენი აქტიური  $\equiv\text{Si}-\text{H}$  ბმის მოლეკულათშორისი მიერთებით ციანიდურ ჯგუფზე ან  $\equiv\text{Si}-\text{H}$  ბმის მოლეკულათშორისი დეპიდროკონდენდენსაციის რეაქციით [170].

მიღებული ოლიგომერების შედეგნილობა და ალნაგობა დადგენილია ელემენტური ანალიზით, ფურიე გარდაქმნის იქ,  $^1\text{H}$ ,  $^{13}\text{C}$  და  $^{29}\text{Si}$  სპექტრული გამოკვლევებით.

ოლიგომერების ფურიე გარდაქმნის იქ სპექტრში (ნახაზი 48) შეიმჩნევა შთანთქმის ზოლი 1040 სტ<sup>-1</sup> უბანში დამახასიათებელი ხაზოვანი  $\equiv\text{Si}-\text{O}-\text{Si}\equiv$  ბმის ასიმეტ-

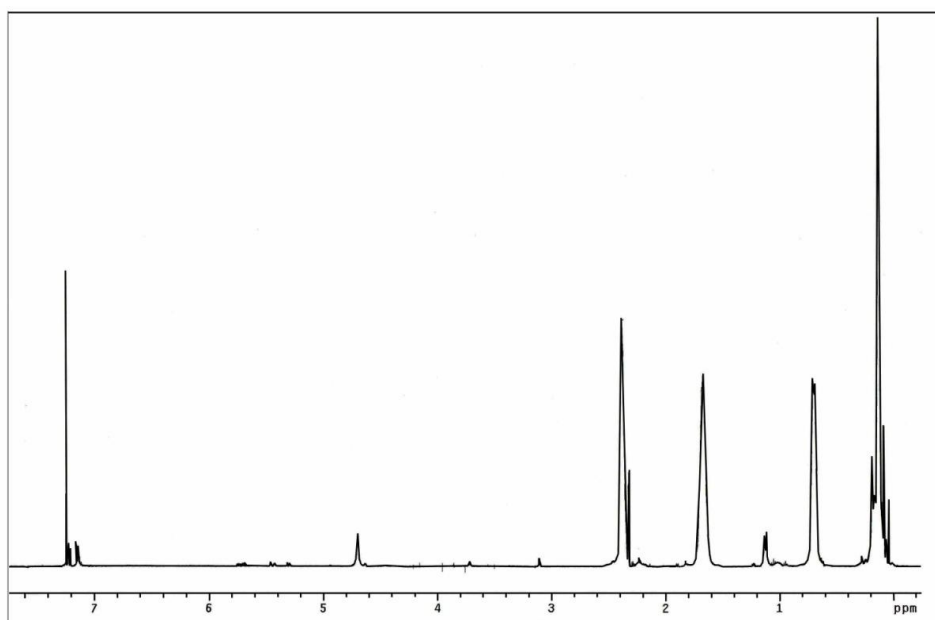
რიული ვალენტური ოხევებისათვის,  $1263 \text{ cm}^{-1}$  უბანში დამახასიათებელი  $\equiv\text{Si}-\text{CH}_3$  ბმისათვის,  $2865 \text{ cm}^{-1}$  უბანში შთანთქმის ზოლი დამახასიათებელი  $-\text{CH}_2-$  ბმისათვის, შთანთქმის ზოლი  $2247 \text{ cm}^{-1}$  უბანში დამახასიათებელი ციანიდური  $-\text{CN}$  ჯგუფის ვალენტური ოხევებისათვის. სპექტრში შეიმჩნევა ასევე შთანთქმის ზოლი  $2160 \text{ cm}^{-1}$  უბანში, დამახასიათებელი ოქაქციაში შეუსვლელი  $\equiv\text{Si}-\text{H}$  ბმისათვის, ტრიმეთოლსილილობული ჯგუფისათვის დამახასიათებელი შთანთქმის ზოლი  $840 \text{ cm}^{-1}$  უბანში და შთანთქმის ზოლი  $2976 \text{ cm}^{-1}$  უბანში, ომელიც დამახასიათებელია ვალენტური ოხევებისათვის  $-\text{CH}_3$  ჯგუფში [153-155].

SHIMADZU



ნახაზი 48. XXVIII ოლიგომერის ფურიე გარდაქმნის იქ სპექტრი.

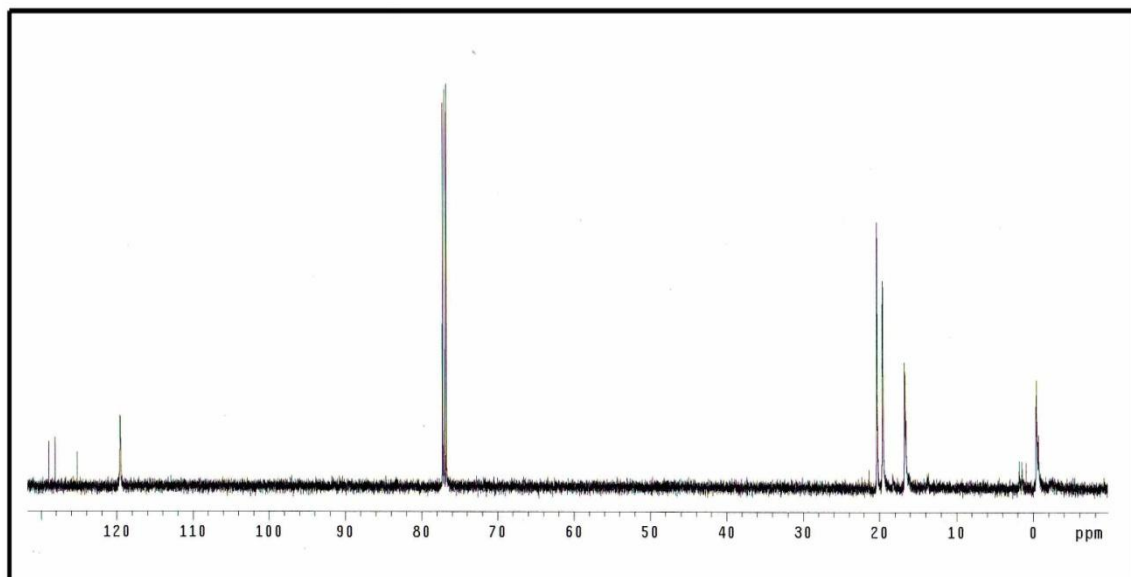
XXVIII ოლიგომერისათვის ჩატარებულია  $^1\text{H}$  ბმრ სპექტრული გამოკლვლევა,



ნახაზი 49. XXVIII ოლიგომერის  $^1\text{H}$  ბმრ სპექტრი ( $\text{CDCl}_3$ -ში)

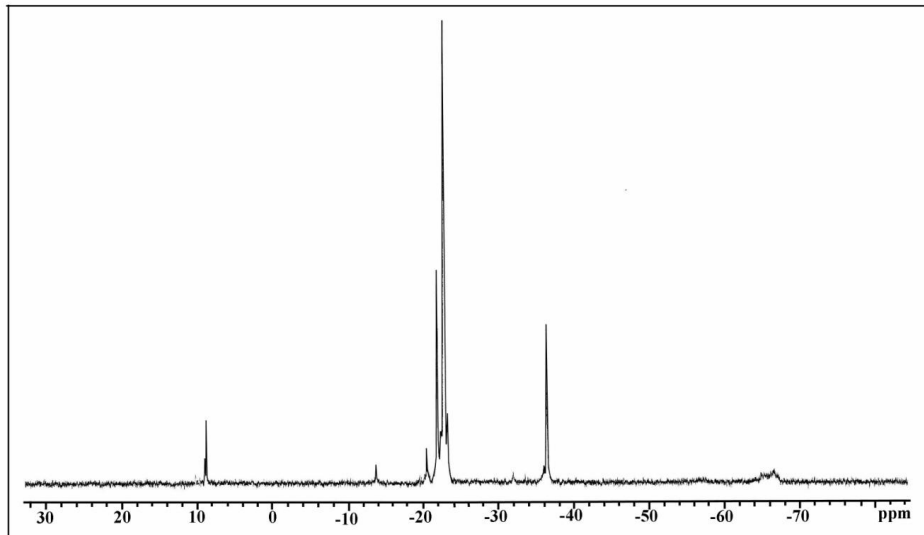
49-ე ნახაზზე შეიმჩნევა ტრიმეთილსილილის ჯგუფების  $-SiCH_3$  (3H) და  $-Si(CH_3)_3$  შთანთქმისათვის დამახასიათებელი დუბლეტური და მულტიპლეტური სიგნალი ქიმიური წანაცვლებით  $\delta=0.12\text{--}0.095$  ვმნ, მარკოვნიკოვის წესით მიერთებისას მეთილის პროტონებისათვის (ფრაგმენტი  $=CHCH_3$ ) დამახასიათებელი დუბლეტური სიგნალი ქიმიური წანაცვლებით  $\delta=1.15$  ვმნ, ასევე შეიმჩნევა ფარმერის წესით მიღებული პროდუქტისათვის დამახასიათებელი დუბლეტური ( $-Si-CH_2-$  ფრაგმენტი) ქიმიური წანაცვლებით  $\delta=0.74$  ვმნ. სპექტრში ასევე შეიმჩნევა მულტიპლეტური სიგნალი ქიმიური წანაცვლებით  $\delta=2.40$  ვმნ.  $^1H$  ბმრ სპექტრიდან გამოდინარე ჰიდროსილირება უმთავრესად მიმდინარეობს ფარმერის წესით. თანაფარდობა მარკოვნიკოვის და ფარმერის წესით მიმდინარე რეაქციებს შორის შეადგენს 15:85.

XXVIII ოლიგომერის  $^{13}C$  სპექტრში  $\equiv Si-CH_2-CH_2-CH_2CN$  (ფარმერის წესით მიერთება)  $\equiv Si-CH(CH_3)CH_2CN$  (მარკოვნიკოვის წესით მიერთება) შეიმჩნევა რეზონანსული სიგნალები ქიმიური წანაცვლებით  $\delta \approx -0.1$  ვმნ დამახასიათებელი სილიციუმის ატომთან დაკავშირებული მეთილის ჯგუფის ნახშირბადის ატომისათვის, სიგნალები წანაცვლებით  $\delta \approx 119$  ვმნ  $CN$  ციანიდური ჯგუფისათვის,  $\delta \approx 21.0$  ვმნ ციანიდურ ჯგუფთან დაკავშრებულ მეთილენური ჯგუფის ნახშირბადის ატომისათვის  $-CH_2-$ თვის, სიგნალები  $\delta \approx 16.1$  და  $\delta \approx 16.2$  ვმნ დამახასიათებელია  $CH$ - და  $-CH_3$  ფრაგმენტი  $\equiv Si-CH_2-$ თვის (ნახაზი 50).



ნახაზი 50. ოლიგომერის  $^{13}C$  სპექტრი.

ოლიგომერების  $^{29}Si$  ბმრ სპექტრში, ნახაზი 51 შეიმჩნევა  $Me_3SiO$  ჯგუფისათვის დამახასიათებელი სიგნალი ქიმიური წანაცვლებით  $\delta \approx 9.5$  ვმნ უბანში,  $\equiv Si-O-Si \equiv$  ბმოსათვის დამახასიათებელი სიგნალები ქიმიური წანაცვლებით  $\delta \approx -21 \div -23$  და  $\delta \approx -36.2$  ვმნ უბანში. ასევე შეიმჩნევა სიგნალი ქიმიური წანაცვლებით  $\delta \approx -13.8$  ვმნ-ში, რაც  $\equiv Si-H$  ბმების ჰიდროდეპტიდროკონდენსაციით შეიძლება წარმოიქმნას. მიღებული შედეგები თანხვდენაშია ლიტერატურულ მონაცემებთან [150].

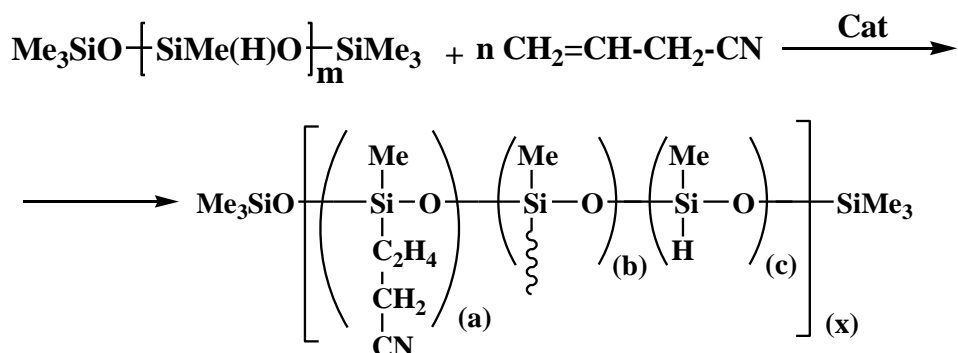


ნახაზი 51. ოლიგომერის  $^{29}\text{Si}$  ბმრ სპექტრი.

ამდენად მეთილჰიდრიდსილოქსანის ჰიდრიდული მიერთების რეაქცია ალილ-ციანიდთან ზოგადად შეიძლება გამოისახოს შემდეგი სქემით [178]:

### სქემა 15

მეთილჰიდრიდსილოქსანის ჰიდრიდული მიერთების რეაქცია ალილციანიდთან



სადაც:  $[(a)+(b)+(c)](x)=m=30$ ;  $60^\circ\text{C}$  - XXVIII<sup>1</sup>,  $70^\circ\text{C}$  - XXVIII<sup>2</sup>,  $80^\circ\text{C}$  - XXVIII;  $80^\circ\text{C}$  – XXIX.

სსნადი ნაწილის გამოტანის შემდეგ ოლიგომერები, გადაღეჭილ იქნა ნ-ჰექსანით. სიბლანტები შესაბამისად ტოლია  $\eta_{\text{sp}}=0.08-0.10$ . სინთეზირებული ოლიგომერები წარმოადგენენ გამჭვირვალე ბლანტ სითხეებს, რომლებიც კარგად ისხნებიან წყალში. სინთეზირებული ოლიგომერების შედგენილობა და აღნაგობა დადგენილ იქნა ფუნქციური და ელემენტური ანალიზით, ფურიე გარდაქმნის იწ და ბმრ რეზონანსის სპექტრული მონაცემებით. ოლიგომერების ზოგიერთი ფიზიკურ-ქიმიური თვისებები მოცემულია ცხრილში 11.

### ცხრილი 11

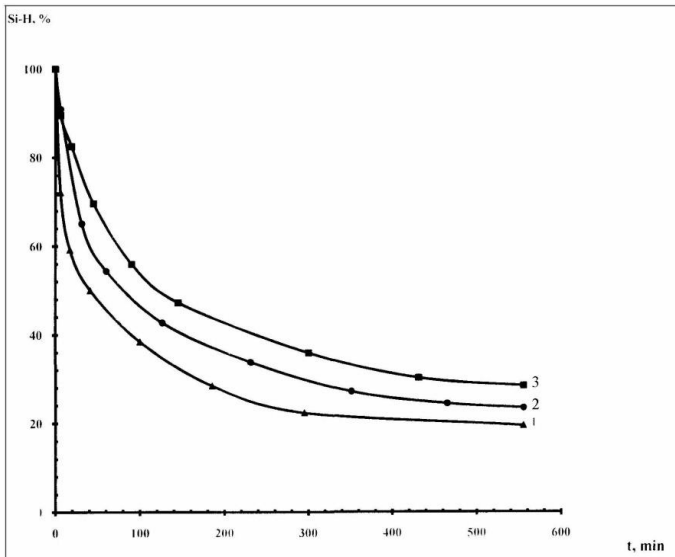
ოლიგომერების ზოგიერთი ფიზიკურ-ქიმიური თვისება

N <sup>o</sup>	გამოსა-გალი, %	$\eta_{\text{sp}}^*$	$T_g, {}^\circ\text{C}$	$M_w^{**}$	$M_n$ PD
XXVIII <sup>1</sup>	82	0.09	-	-	-

XXVIII <sup>2</sup>	79	0.09	-	-	-
XXVIII	75	0.10	-140.4	$8,531 \times 10^3$	$4,718 \times 10^3$ (1.8)
XXIX	81	0.10	-140.9	$8,586 \times 10^3$	$4,761 \times 10^3$ (1.8)

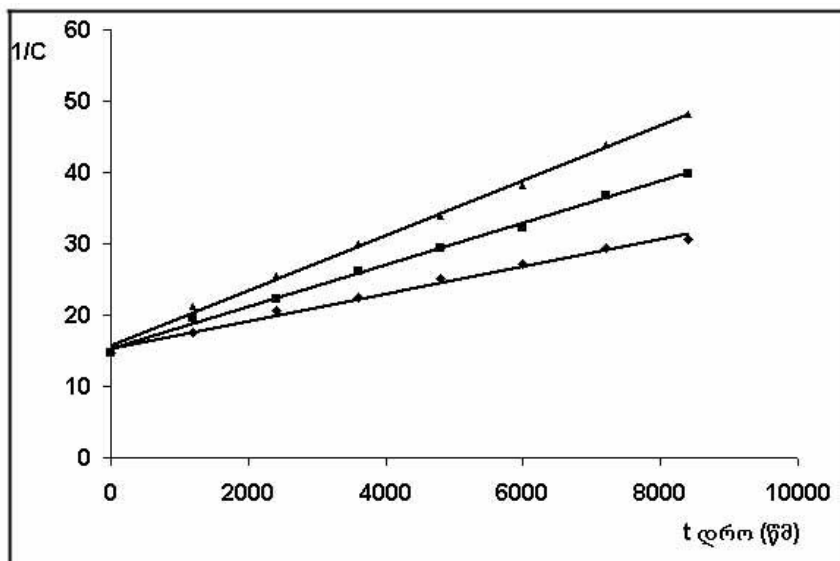
\*1 %-იან ტოლუოლის ხსნარში  $25^\circ\text{C}$ -ზე.

დადგენილ იქნა, რომ ტემპერატურის გაზრდასთან ერთად  $60^\circ\text{C}$  -დან  $80^\circ\text{C}$  -მდე წყალბადის კონვერსია იზრდება 74%-დან 88%-მდე.



ნახაზი 52. აქტიური  $\equiv\text{Si}-\text{H}$  ბმის კონცენტრაციის შემცირება დროში მეთილ-ჰიდროსილოქსანის ჰიდრიდული მიერთებისას ალილციანიდთან სხვადასხვა ტემპერატურაზე. მრუდი 1 შეესაბამება  $80^\circ\text{C}$ , 2 -  $70^\circ\text{C}$  და მრუდი 3 –  $60^\circ\text{C}$

52-ე ნახაზიდან ჩანს, რომ  $80^\circ\text{C}$ -ზე ალილციანიდთან ჰიდროსილილირებისას რეაქციაში შეუსვლელი აქტიური  $\equiv\text{Si}-\text{H}$  ბმის ბმის კონცენტრაცია  $20\%$ -ია. ხოლო  $80^\circ\text{C}$ -ზე  $30\%$  ე.ი. ტემპერატურის გაზრდასთან ერთად ჰიდროსილილირების რეაქციის სიღრმე იზრდება.

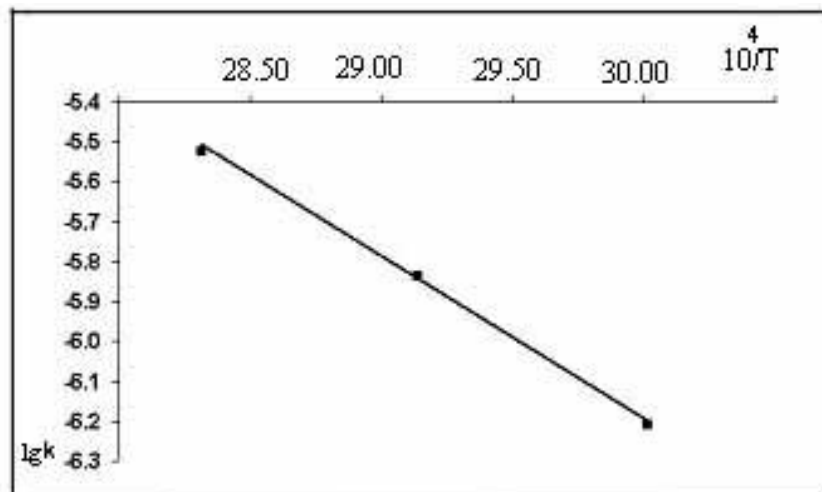


**ნახაზი 53.** კონცენტრაციის შებრუნებული სიდიდის დამოკიდებულება დროზე, მეთილპიდრიდიდსილოქსანის ჰიდრიდული მიერთებისას ალილციანიდთან. სადაც 1 მრუდი შეესაბამება  $80^{\circ}\text{C}$ , მრუდი 2 -  $70^{\circ}\text{C}$  ხოლო მრუდი 3 -  $60^{\circ}\text{C}$

53-ე ნახაზზე მოცემულია კონცენტრაციის შებრუნებული სიდიდის დამოკიდებულება დროზე, მეთილპიდრიდიდსილოქსანის ჰიდრიდული მიერთებისას ალილციანიდთან.

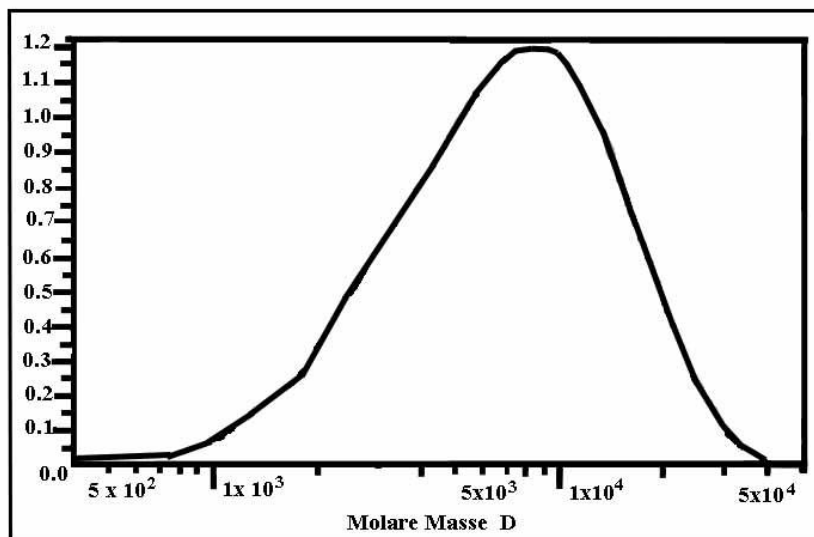
დადგენილ იქნა, რომ ჰიდროსილილირება საწყის სტადიაზე არის მეორე რიგის. გათვალისწინებული რეაქციის სიჩქარის მუდმივები:  $k_{60^{\circ}\text{C}} \approx 2,00 \times 10^{-3}$ ;  $k_{70^{\circ}\text{C}} \approx 3,0119 \times 10^{-3}$ ;  $k_{80^{\circ}\text{C}} \approx 3,9881 \times 10^{-3}$  მოლი/ლ·სეკ და ტემპერატურული კოეფიციენტი  $\gamma = 1,4$ .

რეაქციის სიჩქარის მუდმივას ლოგარითმის ტემპერატურის შებრუნებულ სიდიდესთან დამოკიდებულებიდან, გათვალისწინებული იქნა ჰიდროსილილირების რეაქციის აქტივაციის ენერგია რომელიც შეადგენს  $E_{\text{a,k}} \approx 33,757$  კჯ/მოლი.



**ნახაზი 54.** რეაქციის სიჩქარის მუდმივას ლოგარითმის ტემპერატურის დამოკიდებულება შებრუნებულ სიდიდესთან

ოლიგომერისათვის ჩატარებულია გელ-შეღწევადი ქრომატოგრაფიული გამოკვლევა. 55-ე ნახაზზე მოცემულია XXVIII ოლიგომერის მოლეკულურ-მასური განაწილების დიფერენციალური მრუდი, საიდანაც ჩანს, რომ XXVIII ოლიგომერს გააჩნია ფართო მონომოდალური მოლეკულურ-მასური განაწილება.



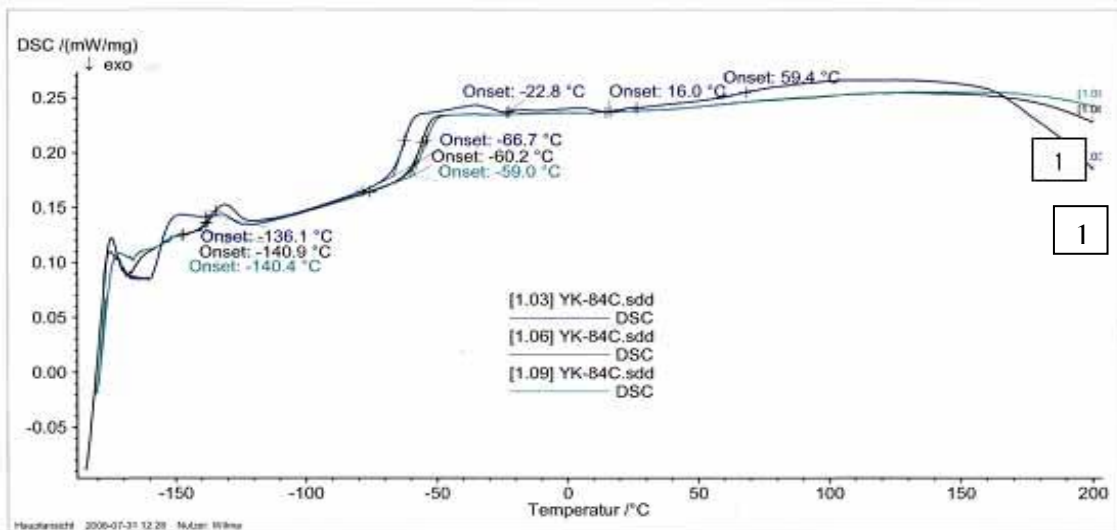
### ნახაზი 55. XXVIII ოლიგომერის გელ-შეღწევადი ქრომატოგრაფიული მრუდი

განსაზღვრულია საშუალო მოლეკულური მასები და პოლიდისპერსულობა, რომელიც შეადგენს:  $\bar{M}_n=4,761 \times 10^3$ ,  $\bar{M}_w=4,718 \times 10^3$ ,  $\bar{M}_w=8,531 \times 10^3$ ,  $\bar{M}_w=8,586 \times 10^3$ ; დეტექტორებად გამოყენებულია ულტრაიისფერი და ინფრაწითელი გამოსხივება შესაბამისად.

სრული ჰიდროსილიორებისას მიღებული თლიგომერის მოლეკულური მასა არ უნდა აღემატებოდეს  $4,6 \times 10^3$ . გაზრდილი მოლეკულური მასა მოლეკულათშორისი განტოტვით შეიძლება აიხსნას. მიღებული თლიგომერების მოლეკულურ-მასური განაწილების მრუდი მონომოდალური ხასიათისაა და პოლიდისპერსულობის ხარისხი შეადგენს  $D=1,79-1,83$ .

საშუალო რიცხვითი მოლეკულური მასა აღემატება სრული ჰიდროსილიორების გზით მიღებული თლიგომერის მოლეკულურ მასას, რაც მიუთითებს განტოტვის რეაქციების მიმდინარეობაზე. განტოტვის რეაქციების წარმართვა შესაძლებელია, როგორც  $\equiv Si-H$  ბმის ხარჯზე [150], ასევე ჰიდროსილიორებით ნიტრილის ჯგუფზე, თუმცა ბმრ სპექტრში ჩვენ ეს მიმდინარეობა ვერ დავაფიქსირეთ.

ზოგიერთი თლიგომერისათვის ჩატარებულ იქნა დიფერენციალურ-სკანირებადი კალორიმეტრიული გამოკვლევები. 56-ე ნახაზზე მოცემულია ოლიგომერების დიფერენციალურ სკანირებადი კალორიმეტრიული მრუდი, სადაც შეიმჩნევა ენდო-თერმული პიკი, რომელიც შეესაბამება ოლიგომერის გამინების ტემპერატურას და შეადგენს  $-136 \div -141^{\circ}C$ , ასევე შეიმჩნევა ეგზოთერმული გადასვლა, რომელიც შეესაბამება ოლიგომერების ლდობის ტემპერატურას ინტერვალში  $-59 \div -66,7^{\circ}C$ .



### ნახაზი 56. ოლიგომერის დსკ მრუდები (გაცხელებით და გაცივებით სკანირების სიჩქარე $n \approx 10$ გრად./წთ). სადაც 1 მრუდი შეესაბამება XXVIII<sup>2</sup>, 2 შეესაბამება XXVIII და 3 შეესაბამება XXIX ოლიგომერს

სინთეზირებული ოლიგომერებისათვის ჩატარებულია თერმოგრავიმეტრული გამოკვლევები. 5% მასის დანაკარგი შეიმჩნევა  $\sim 250-280^{\circ}C$  ტემპერატურულ ინტერვალში. დესტრუქციის ძირითადი პროცესი მიმდინარეობს  $320-500^{\circ}C$  ინტერვალში.

მეთილჰიდრიდისილოქსანის ალილციანიდთან ჰიდრიდული მიერთების რეაქციის სრული დახასიათებისათვის, ჩვენს მიერ ნახევრადემპირიული ქვანტურ-ქიმიური მეთოდით AM1, ჩატარებულ იქნა თეორიული გათვლები [171]. მოდელურ რეაქციაში მეთილდიმეთოქსისილანის  $[Me(MeO)_2SiH]$  ჰიდროსილიორებისას ალილციანიდთან, გათვლილ იქნა ყველა საწყისი, შეალედური და საბოლოო პროდუქტისათვის წარ-

მოქმნის სითბოები ( $\Delta H_f$ ), სისტემის ენერგიის ცვლილება ( $\Delta H$ )  $\equiv C-Si \equiv$  ბმის მანძილის ცვლილებისას ( $R_{C-Si}$ ), აგრეთვე მუხტების მნიშვნელობები ( $q_i$ ) ატომებზე, დიპოლური მოქმნები ( $\mu$ ) და ბმის რიგები ( $P_{ij}$ ). ქვანტურ-ქიმიური გათვლებით მიღებული შედეგები მოცემულია 12, 13 და 14 ცხრილებში.

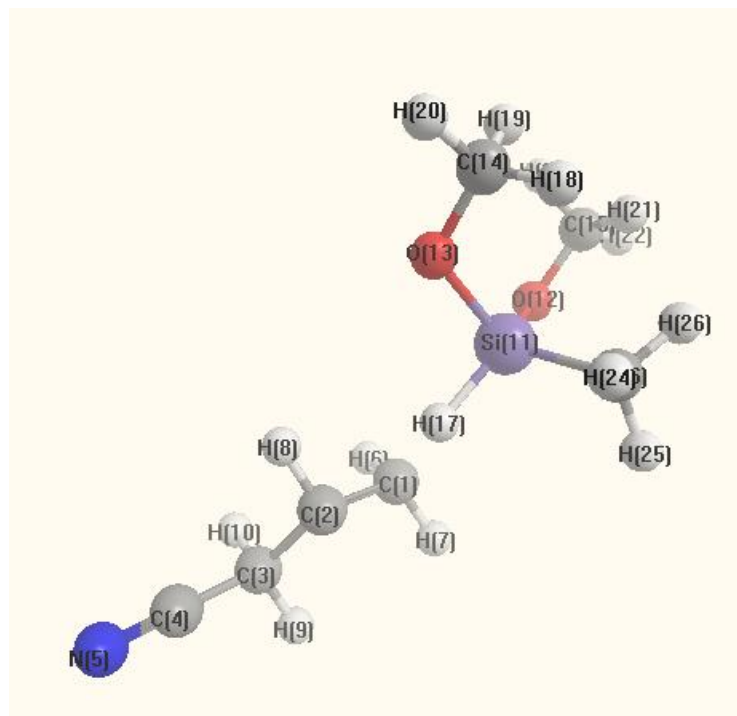
მოდელურ რეაქციაში ჰიდროსილილირება განხილულ იქნა სამი მიმართულებით – ფარმერის და მარკოვნიკოვის წესის მიხედვით, და აგრეთვე ალილციანიდის ნიტრილის ჯგუფის სამაგ ბმასთან მიერთების მიმართულებით.

ფარმერის წესის მიხედვით მოდელური რეაქცია მიმდინარეობს მე-16 სქემის მიხედვით.

## სქემა 16

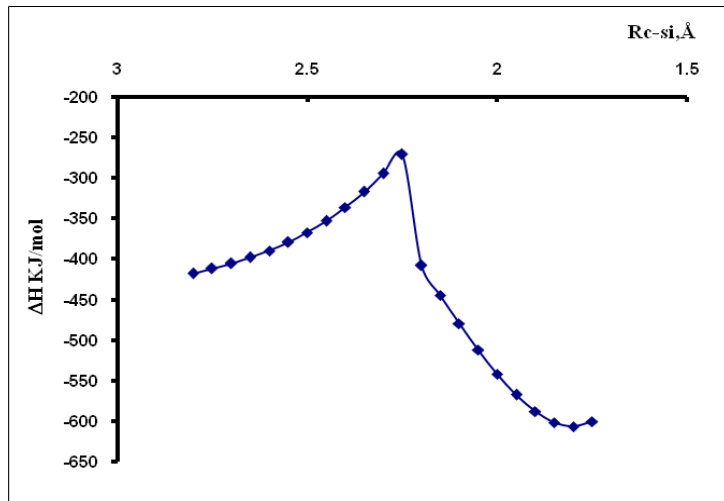
მეთილდიმეთოქსისილანის ალილციანიდთან ჰიდროსილილირების მოდელური  
რეაქცია ფარმერის წესის მიხედვით

57-ე ნახაზზე მოცემულია მორეაგირე კომპონენტების საწყისი მდგომარეობა. ორმაგ ბმასთან მდგომ ნახშირბადსა ( $C_1$ ) და სილიციუმის ატომს შორის მანძილი აღებულ იქნა 1,0 Å-ით მეტი, ვიდრე ბმის მანძილი საბოლოო პროდუქტში. მანძილის ცვლილება ( $R_{C_1-Si}$ ) სილიციუმის ატომსა და ორმაგ ბმასთან მდგომ ნახშირბადის ( $C_1$ ) ატომს შორის ხდებოდა 0,05 Å-ის ინტერვალით.



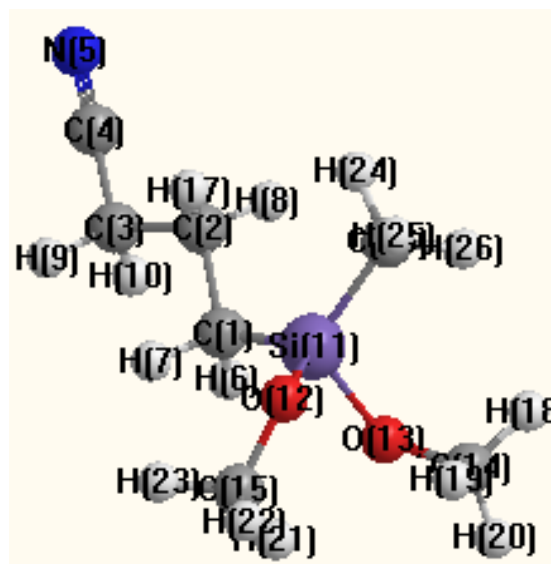
**ნახაზი 57.** მეთილდიმეთოქსისილანის ალილციანიდთან ჰიდროსილილირების მოდელურ რეაქციაში მონაწილე მონომერების საწყისი მდგომარეობა (ფარმერის წესი)

სისტემის ენერგიის ცვლილების ( $\Delta H$ ) დამოკიდებულება მანძილზე ( $R_{C-Si}$ ) სილიციუმის ატომსა და ორმაგ ბმასთან მდგომ ნახშირბადის ატომს შორის მოცემულია 58-ე ნახაზზე.



**ნახაზი 58.** სისტემის ენერგიის ცვლილების დამოკიდებულება ( $\Delta H$ ) სილიციუმის და ნახშირბადის ატომებს შორის მანძილზე ( $R_{C-Si}$ ), მეთილდიმეთოქსისილანის პიდროსილილირებისას ალილციანიდთან (მოდელურ რეაქციაში) ფარმერის წესით.

58-ე ნახაზიდან ჩანს, რომ სილიციუმის ატომის მიახლოებისას ნახშირბადის ( $C_8$ ) ატომთან  $R_{C-Si}=2,25 \text{ \AA}$  მანძილამდე, სისტემის ენერგია იზრდება, ბმის რიგი  $C_1$  და  $C_2$  ატომებს შორის ალილციანიდის მოლეკულაში იზრდება. ასევე მცირდება ბმის რიგი სილიციუმის ატომსა და წყალბადს შორის ( $R_{Si-H}=0.920660-0.754147$ ) და მოდელურ ნივთიერებაში შეიმჩნევა ახალი ბმის წარმოქმნა ( $P_{C-Si}=0.015734-0.098472$  და  $P_{C_7-H}=0.000896-0.067895$ ). სილიციუმის ატომსა და ნახშირბადის ( $C_1$ ) ატომს შორის  $2,20 \text{ \AA}$  მანძილზე სისტემის ენერგია მკვეთრად მცირდება, ორმაგი ბმა გადადის ორდინარულ C-C ბმაში ( $P_{C_1-C_2}=1.011254$ ) და ბმის რიგი სილიციუმის და ნახშირბადის ( $C_1$ ) ატომებს შორის აღწევს  $0.848259$ -ს. ამგვარად წყალბადის ატომი სრულად წყდება სილიციუმის ატომს ( $P_{Si-H}=0.003675$ ) და უერთდება ნახშირბადის ატომს  $C_1$  მდგომარეობაში ( $P_{C_1-H}=0.943567$ ).



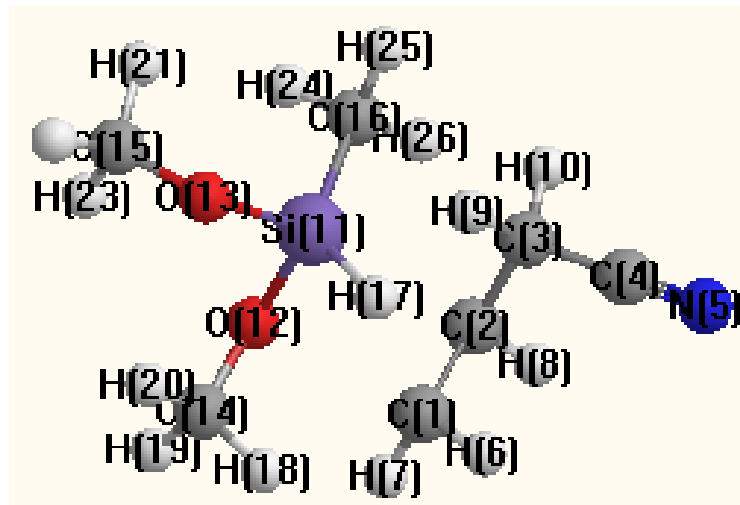
**ნახაზი 59.** მეთოლდიმეთოქსისილანის ალილციანიდთან ჰიდროსილილირების მოდელურ რეაქციაში ფარმერის წესით მიღებული პროდუქტის სტრუქტურა სილიციუმისა და ნახშირბადის ( $C_7$ ) ატომებს შორის მანძილის შემდგომი შემცირებისას სისტემის ენერგია მცირდება და ხდება წარმოქმნილი ახალი ბმების განმტკიცება. 59-ე ნახაზზე მოცემულია მეთოლდიდრდსილოქსანის ალილციანიდთან ჰიდროსილილირების მოდელურ რეაქციაში ფარმერის წესით მიღებული პროდუქტის სტრუქტურა.

ჩვენს მიერ ასევე განხილულია მარკოვნიკოვის წესის მიხედვით მიმდინარე ჰიდრიდული მიერთების მოდელური რეაქცია მეთოლდიმეთოქსისილანსა და ვინილციკლოპექსენს შორის. რეაქცია მიმდინარეობს მე-17 სქემის მიხედვით.

### სქემა 17

მეთოლდიმეთოქსისილანის ალილციანიდთან ჰიდროსილილირების მოდელური რეაქცია მარკოვნიკოვის წესის მიხედვით

მე-60 ნახაზზე მოცემულია სისტემის ენერგიის ცვლილების ( $\Delta H$ ) დამოკიდებულება სილიციუმის და ნახშირბადის ( $C_7$ ) ატომებს შორის მანძილზე.

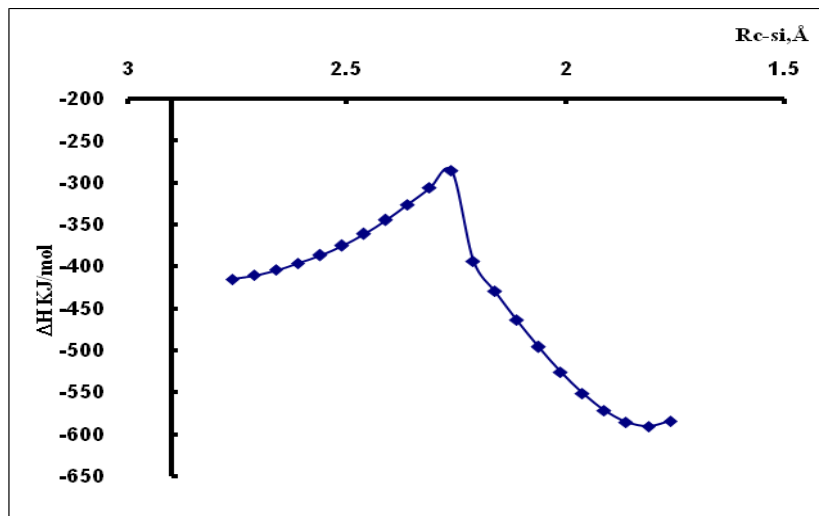


**ნახაზი 60.** მეთოლდიმეთოქსისილანის ალილციანიდთან ჰიდროსილილირების მოდელურ რეაქციაში მონაწილე მონომერების საწყისი მდგომარეობა (მარკოვნიკოვის წესი)

მანძილი სილიციუმის და ნახშირბადის ( $C_7$ ) ატომებს შორის აღებულ იქნა 1,0 Å-ით მეტი, ვიდრე ბმის მანძილი საბოლოო პროდუქტში. მანძილის ცვლილება სილიციუმის ატომსა და ორმაგ ბმასთან მდგომ ნახშირბადის ( $R_{C_7-si}$ ) ატომს შორის ხდებოდა 0,05 Å-ის ინტერვალით. მორეაგირე მონომერების საწყისი მდგომარეობა მოცემულია მე-60 ნახაზზე.

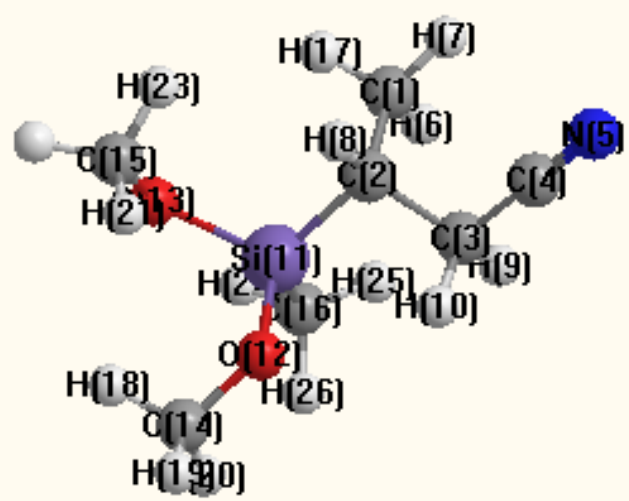
როგორც 61-ე ნახაზიდან ჩანს, ანალოგიურად ფარმერის წესის მიხედვით მიმდინარე რეაქციისა, სილიციუმის ატომის მიახლოებისას ნახშირბადის ( $C_2$ ) ატომთან  $R_{C-si}=2,26$  მანძილამდე, სისტემის ენერგია იზრდება. რიგი  $C_1$  და  $C_2$  ატომებს შორის ალილციანიდის მოლეკულაში მცირდება 1.931992 -დან 1.636679-მდე. ბმის

რიგი სილიციუმის ატომსა და წყალბადს შორის ასევე მცირდება ( $R_{Si-H}=0.875806-0.652722$ ) და შეიმჩნევა ახალი ბმის წარმოქმნა ( $P_{C-Si}=0.020510-0.115878$ ) და  $P_{C_1-H}=0.0004-0.077709$ ). სილიციუმის ატომსა და ნახშირბადის ( $C_2$ ) ატომს შორის  $2.21 \text{ \AA}$  მანძილზე სისტემის ენერგია მკვეთრად იზრდება, ორმაგი ბმა გადადის ერთმაგ C-C ბმაში ( $P_{C_1-C_2}=1.007607$ ) და ბმის რიგი სილიციუმის და ნახშირბადის ( $C_2$ ) ატომებს შორის აღწევს  $0.824817$ -ს. წყალბადის ატომი სრულად წყდება სილიციუმის ატომს ( $P_{Si-H}=0.009833$ ) და უერთდება ნახშირბადის ატომს  $C_1$  ( $P_{C_1-H}=0.824817$ ).



**ნახაზი 61.** სისტემის ენერგიის ცვლილების დამოკიდებულება ( $\Delta H$ ) სილიციუმის და ნახშირბადის ატომებს შორის მანძილზე ( $R_{C-Si}$ ), მეთილდიმეთოქსილანის ჰიდროსილილირებისას ალილციანიდთან, მოდელურ რეაქციაში, მარკოვნიკოვის წესით

62-ე ნახაზზე მოცემულია მეთილდიმეთოქსილანის ალილციანიდთან ჰიდროსილილირებისას მარკოვნიკოვის წესით მიღებული XXXI პროდუქტის სტრუქტურა.



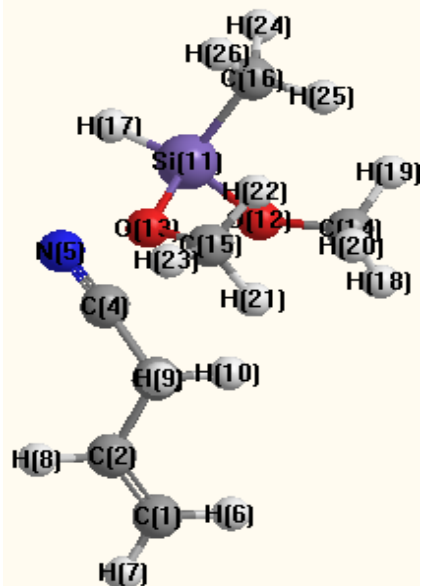
**ნახაზი 62.** მეთილდიმეთოქსილანის ალილციანიდთან ჰიდროსილილირების მოდელურ რეაქციაში მარკოვნიკოვის წესით მიღებული XXXI პროდუქტის სტრუქტურა

ანალოგიურად იქნა ჩატარებული თეორიული გათვლები ჰიდროსილილირების რეაქციის მიმდინარეობისათვის C-N ბმასთან მიერთების მიმართულებით.

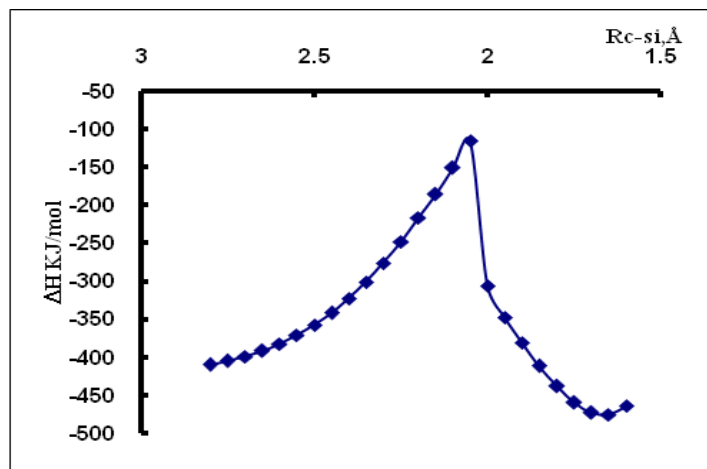
## სქემა 18

მეთილდიმეთოქსისილანის ალილციანიდთან ჰიდროსილილირების მოდელური რეაქცია ნიტრილის ჯგუფთან მიერთებისას

ანალოგიურად ნიტრილის ჯგუფის ნახშირბადსა და ორმაგ ბმასთან მდგომ ნახშირბადსა შორის მანძილი აღებულ იქნა 1,0 Å-ით მეტი, ვიდრე ბმის მანძილი საბოლოო პროდუქტში. მანძილის ცვლილება ( $R_{C_4}-Si$ ) სილიციუმის ატომსა და სამზაგ ბმასთან მდგომ ნახშირბადის ( $C_4$ ) ატომს შორის ხდებოდა 0,05 Å-ის ინტერვალით. 63-ე ნახაზზე მოცემულია მორეაგირე კომპონენტების საწყისი მდგომარეობა:



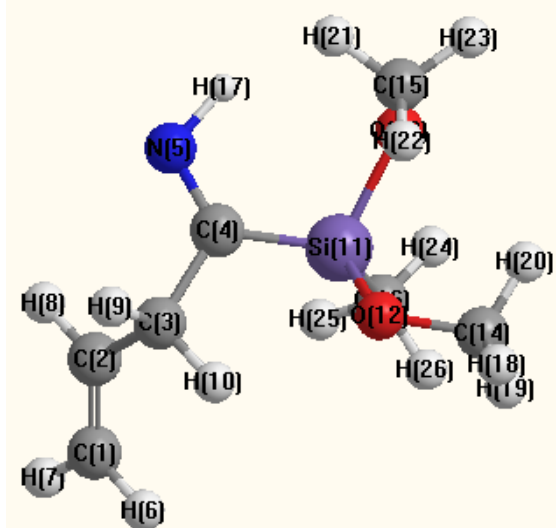
**ნახაზი 63.** მეთილდიმეთოქსისილანის ალილციანიდთან ჰიდროსილილირების მოდელურ რეაქციაში მონაწილე მონომერების საწყისი მდგომარეობა ( $C\equiv N$  ჯგუფთან მიერთება)



**ნახაზი 64.** სისტემის ენერგიის ცვლილების დამოკიდებულება ( $\Delta H$ ) სილიციუმის და ნახშირბადის ატომებს შორის მანძილზე ( $R_{C-Si}$ ), მეთილდიმეთოქსისილანის ჰიდროსილილირებისას ალილციანიდთან, მოდელურ რეაქციაში, მარკოვნიკოვის წესით

აგებულია სისტემის ენერგიის ცვლილების დამოკიდებულების ( $\Delta H$ ) გრაფიკი სილიციუმის და ნახშირბადის ატომებს შორის მანძილზე ( $R_{C-Si}$ ).

საბოლოოდ მიერთების პროდუქტს აქვს ასეთი სახე:



**ნახაზი 65.** მეთილდიმეთოქსისილანის ალილციანიდთან ჰიდროსილილირების მოდელური რეაქციის საბოლოო პროდუქტი XXXII ( $C\equiv N$  ჯგუფთან მიერთება)

ყველა მოდელური რეაქციისათვის გათვლილ იქნა აქტივაციის ენერგიები  $\Delta\Delta H^*$  და რეაქციების სითბური ეფექტები  $\Delta H$ . ფარმერის წესით რეაქციის შემთხვევაში აქტივაციის ენერგია ტოლია  $\Delta\Delta H^*=146.31 \text{ кJ}/\text{მოლი}$  და სითბური ეფექტი  $\Delta H=188.69 \text{ кJ}/\text{მოლი}$ , ხოლო მარკოვნიკოვის წესის მიხედვით მიმდინარე რეაქციისას სითბური ეფექტი ტოლია  $\Delta\Delta H=170.912 \text{ кJ}/\text{მოლი}$ , ხოლო აქტივაციის ენერგია  $\Delta\Delta H^*=133.731 \text{ кJ}/\text{მოლი}$ .

ასევე გათვლილია ნიტრილის ჯგუფთან მიერთების რეაქციის აქტივაციის ენერგია და რეაქციის სითბური ეფექტი:  $\Delta\Delta H^*=254.409731 \text{ кJ}/\text{მოლი}$ ,  $\Delta H= 65.54488 \text{ кJ}/\text{მოლი}$ .

მოცემული გათვლები მიუთითებს რეაქციის უპირატეს მიმდინარეობაზე ფარმერის წესის მიხედვით, რაც ასევე თანხვდენაშია ბმრ სპექტრულ გამოკვლევებთან. შემდგომ, ყველაზე საალბათოა მიერთება მარკოვნიკოვის წესის მიხედვით და აგრეთვე დასაშვებია მიერთება ალილციანიდის მოლეკულის ნიტრილის ჯგუფის სამაგ ბმასთანაც, რაც თანხვდენაშია ლიტერატურულ მონაცემებთან.

### ცხრილი 12

ენერგიის ( $\Delta H$ ) ცვლილების დამოკიდებულება სილიციუმისა და ნახშირბადის ატომებს შორის მანძილზე ( $R_{C-Si}$ ), ატომებზე  
მუხტის სიდიდეები ( $q$ ), დიპოლური მომენტები ( $\mu$ ) და ბმის რიგები ( $P_{ij}$ ), მეთილდიმეთოქსისილანის ალილციანიდოთან  
ჰიდრიდული მიერთების მოდელურ რეაქციაში მარკოვნიკოვის წესის მიხედვით

$R_{2-11}$	$R_{1-17}$	$\Delta H$	$q_1$	$q_2$	$q_{11}$	$q_{17}$	$\mu$	$P_{1-2}$	$P_{11-17}$	$P_{1-17}$	$P_{2-11}$
2.81	2.11	-419	-0.176264	-0.224402	1.380385	-0.261451	2.477	1.334951	1.452415	2.118789	2.815863
2.76	2.06	-415	-0.171128	-0.232165	-1.381632	-0.261781	2.454	1.335727	1.453278	2.068789	2.765863
2.71	2.01	-410	-0.163173	-0.242312	-1.383840	-0.262638	2.396	1.336657	1.454633	2.018789	2.715863
2.66	1.96	-404	-0.153790	-0.254423	-1.386273	-0.263597	2.315	1.337810	1.456372	1.968789	2.665863
2.61	1.91	-396	0.143210	-0.268513	-1.389340	-0.264663	2.235	1.339239	1.458635	1.918789	2.615863
2.56	1.86	-386	-0.131167	-0.285068	-1.393591	-0.266096	2.165	1.341001	1.461509	1.868789	2.565863
2.51	1.81	-375	-0.116824	-0.304860	-1.399555	-0.268160	2.092	1.343169	1.465214	1.818789	2.515863
2.46	1.76	-361	-0.099125	-0.329093	-1.409023	-0.272118	2.033	1.345786	1.470045	1.768789	2.465863
2.41	1.71	-344	-0.078330	-0.358416	-1.421838	-0.276818	1.982	1.349337	1.476199	1.718789	2.415863
2.36	1.66	-326	-0.052322	-0.395432	1.441613	-0.284181	1.946	1.354019	1.484581	1.668789	2.365863
2.31	1.61	-306	-0.018577	-0.444170	1.474147	-0.296451	1.958	1.360574	1.496863	1.618789	2.695601
2.26	1.56	-285	0.028618	-0.513742	1.530062	-0.315944	2.049	1.371596	1.518323	1.568789	2.265863
2.21	1.51	-393	-0.208891	-0.360564	1.344188	0.047108	4.001	1.472395	2.679632	1.518789	2.215863
2.16	1.46	-429	-0.210345	-0.373470	1.358779	0.053839	3.906	1.475502	2.699905	1.468789	2.165863
2.11	1.41	-464	-0.209651	-0.387315	1.372931	0.058706	3.802	1.478203	2.729916	1.418789	2.115863
2.06	1.36	-496	-0.207920	-0.402403	1.388169	0.062585	3.683	1.480890	2.778343	1.368789	2.065863
2.01	1.31	-525	-0.207716	-0.418754	1.405755	0.067589	3.572	1.484292	2.828541	1.318789	2.015863
1.96	1.26	-571	-0.207781	-0.436676	1.424861	0.072676	3.449	1.488272	2.872955	1.268789	1.965863
1.91	1.21	-585	-0.207490	-0.456382	1.445472	0.077235	3.314	1.492778	2.910392	1.218789	1.915863
1.86	1.16	-590	-0.206445	-0.477907	1.467110	0.080667	3.180	1.497859	2.899216	1.168789	1.865863
1.81	1.11	-584	-0.204325	-0.501126	1.489471	0.083033	3.012	1.503476	2.887244	1.118789	1.815863
1.76	1.06	-564	-0.200907	-0.525868	1.512613	0.084510	2.839	1.509707	2.875895	1.068789	1.765863

### ცხრილი 13

ენერგიის ( $\Delta H$ ) ცვლილების დამოკიდებულება სილიციუმისა და ნახშირბადის ატომებს შორის მანძილზე ( $R_{C-Si}$ ), ატომებზე  
მუხტის სიდიდეები ( $q$ ), დიპოლური მომენტები ( $\mu$ ) და ბმის რიგები ( $P_{ij}$ ), მეთილდიმეთოქსისილანის ალილციანიდონან  
ჰიდრიდული მიერთების მოდელურ რეაქციაში ფარმერის წესის მიხედვით

<b>R<sub>1-11</sub></b>	<b>R<sub>2-17</sub></b>	<b>Δ H</b>	<b>q<sub>1</sub></b>	<b>q<sub>2</sub></b>	<b>q<sub>11</sub></b>	<b>q<sub>17</sub></b>	<b>μ</b>	<b>P<sub>1-2</sub></b>	<b>P<sub>11-17</sub></b>	<b>P<sub>1-11</sub></b>	<b>P<sub>2-17</sub></b>
2.80	2.12	-417.68001	-0.235919	-0.156576	1.354069	-0.204275	2.873	1.955042	0.920660	0.015734	0.000896
2.75	2.07	-411.85248	-0.244463	-0.150923	1.355838	-0.205916	2.837	1.952765	0.919716	0.018515	0.001374
2.70	2.02	-405.61007	-0.255283	-0.144137	1.362842	-0.208217	2.840	1.948813	0.918285	0.022137	0.002191
2.65	1.97	-398.18804	-0.267450	-0.136102	1.367887	-0.212027	2.849	1.943309	0.914885	0.026394	0.003335
2.60	1.92	-389.64732	-0.280823	-0.127240	1.372475	-0.215510	2.839	1.936604	0.910660	0.031147	0.004846
2.55	1.87	-379.58502	-0.296487	-0.116616	1.376890	-0.218808	2.828	1.928842	0.905641	0.036356	0.006804
2.50	1.82	-367.56883	-0.314165	-0.104105	1.381733	-0.222110	2.758	1.920094	0.899683	0.042020	0.009303
2.45	1.77	-353.31406	-0.337725	-0.087019	1.385327	-0.228561	2.708	1.907590	0.888659	0.048851	0.013310
2.40	1.72	-336.51390	-0.363805	-0.067865	1.394942	-0.234392	2.639	1.892363	0.877162	0.056607	0.018277
2.35	1.67	-317.03769	-0.398201	-0.042600	1.409471	-0.243670	2.618	1.869134	0.858219	0.066393	0.026271
2.30	1.62	-295.00870	-0.441877	-0.010578	1.433604	-0.257135	2.587	1.833351	0.828742	0.079093	0.038953
2.25	1.57	-271.36132	-0.513123	0.042185	1.487977	-0.292946	2.450	1.757560	0.754147	0.098472	0.067895
2.20	1.51	-408.12653	-0.420840	-0.128824	1.339178	0.043117	3.134	1.011254	0.003675	0.848259	0.943567
2.15	1.46	-444.66410	-0.434838	-0.131345	1.354794	0.052424	3.053	1.008332	0.002109	0.849449	0.947873
2.10	1.42	-479.44069	-0.450076	-0.133844	1.371077	0.060862	2.986	1.006123	0.001168	0.849746	0.951300
2.05	1.37	-512.07803	-0.467196	-0.136558	1.388391	0.069873	2.913	1.004180	0.000606	0.849516	0.954365
2.00	1.32	-541.55550	-0.485184	-0.137688	1.406855	0.075391	2.817	1.002687	0.000443	0.848283	0.956403
1.95	1.27	-567.09598	-0.504731	-0.138030	1.426331	0.080246	2.721	1.001249	0.000329	0.846491	0.958398
1.90	1.22	-587.50733	-0.525887	-0.137291	1.446734	0.083846	2.622	0.999868	0.000296	0.844022	0.960237
1.85	1.17	-601.25718	-0.548615	-0.135468	1.468036	0.086734	2.527	0.998420	0.000256	0.841060	0.962142
1.80	1.12	-606.37030	-0.572913	-0.132454	1.490149	0.088764	2.422	0.996904	0.000231	0.837755	0.964066
1.75	1.07	-600.36363	-0.598685	-0.128167	1.512691	0.089707	2.319	0.995279	0.000224	0.834143	0.965971
1.70	1.02	-580.19149	-0.625881	-0.122535	1.536026	0.089713	2.215	0.993474	0.000218	0.830168	0.967894
1.65	0.97	-542.19616	-0.654468	-0.115439	1.559575	0.088818	2.096	0.991453	0.000211	0.826187	0.969857
1.60	0.92	-482.03396	-0.684210	-0.106929	1.583894	0.087110	2.000	0.989126	0.000221	0.822108	0.971804
1.55	0.87	-394.54068	-0.715256	-0.096820	1.608207	0.084399	1.903	0.986432	0.000213	0.818018	0.973770

### ცხრილი 14

ენერგიის ( $\Delta H$ ) ცვლილების დამოკიდებულება სილიციუმისა და ნახშირბადის ატომებს შორის მანძილზე ( $R_{C-Si}$ ), ატომებზე  
მუხტის სიდიდეები ( $q$ ), დიპოლური მომენტები ( $\mu$ ) და ბმის რიგები ( $P_{ij}$ ), მეთილდიმეთოქსისილანის ალილციანიდონან  
ჰიდრიდული მიერთების მოდელურ რეაქციაში CN მიმართულებით

<b><math>R_{11-4}</math></b>	<b><math>R_{17-5}</math></b>	<b><math>\Delta H</math></b>	<b><math>q_{11}</math></b>	<b><math>q_{17}</math></b>	<b><math>q_4</math></b>	<b><math>q_5</math></b>	<b><math>\mu</math></b>	<b><math>P_{11-17}</math></b>	<b><math>P_{4-5}</math></b>	<b><math>P_{11-4}</math></b>	<b><math>P_{17-5}</math></b>
2.80	2.25	-410.56946	1.363792	-0.191816	-0.097756	-0.074460	3.698	0.921878	2.864852	0.020593	0.001488
2.75	2.20	-405.46544	1.362023	-0.190939	-0.101181	-0.071790	3.664	0.921420	2.861992	0.022964	0.001711
2.70	2.15	-399.24942	1.360088	-0.189852	-0.105913	-0.068093	3.630	0.920995	2.859114	0.025550	0.002009
2.65	2.10	-391.68305	1.358032	-0.188808	-0.111847	-0.063420	3.590	0.920445	2.856046	0.028404	0.002404
2.60	2.05	-382.49778	1.355938	-0.187826	-0.118959	-0.057804	3.545	0.919710	2.852652	0.031559	0.002930
2.55	2.00	-371.40282	1.353385	-0.186864	-0.127390	-0.051107	3.493	0.918688	2.848744	0.035086	0.003643
2.50	1.95	-358.06715	1.351384	-0.185880	-0.137084	-0.043427	3.440	0.917374	2.844216	0.038981	0.004602
2.45	1.90	-342.17935	1.349306	-0.185004	-0.147969	-0.034855	3.379	0.915459	2.838656	0.043379	0.005895
2.40	1.85	-323.48013	1.345126	-0.185235	-0.160429	-0.025298	3.283	0.911864	2.831635	0.048416	0.007672
2.35	1.80	-301.71877	1.343353	-0.187433	-0.174642	-0.014763	3.148	0.905738	2.822713	0.054167	0.010131
2.30	1.75	-276.65002	1.342729	-0.186899	-0.191392	-0.002178	3.067	0.900014	2.811415	0.060813	0.013609
2.25	1.70	-248.31558	1.343964	-0.188105	-0.211559	0.012243	2.954	0.890976	2.797699	0.068153	0.018487
2.20	1.65	-216.87603	1.348829	-0.190875	-0.235496	0.028082	2.807	0.876716	2.776826	0.077457	0.025875
2.15	1.60	-186.25980	1.357797	-0.204238	-0.271295	0.040819	1.968	0.839127	2.734591	0.093870	0.043990
2.10	1.55	-151.46853	1.375968	-0.203542	-0.309159	0.058243	1.881	0.805951	2.676129	0.113861	0.067079
2.05	1.50	-116.15973	1.423119	-0.210373	-0.366034	0.081952	1.821	0.740671	2.574510	0.142272	0.110535
2.00	1.45	-306.66450	1.408584	0.091021	-0.365449	-0.129032	2.417	0.027185	2.012309	0.776439	0.911058
1.95	1.40	-347.99441	1.413191	0.136244	-0.372772	-0.152410	2.973	0.023175	2.010161	0.783470	0.901517
1.90	1.35	-380.99408	1.437751	0.134583	-0.389948	-0.147816	2.774	0.018301	2.001555	0.786481	0.913015
1.85	1.30	-411.64775	1.461104	0.133838	-0.407298	-0.143794	2.554	0.014404	1.994268	0.788379	0.921926
1.80	1.25	-438.56148	1.483380	0.134296	-0.424862	-0.140294	2.336	0.011300	1.987910	0.789496	0.928663
1.75	1.20	-459.91025	1.505951	0.135242	-0.442995	-0.136785	2.121	0.008798	1.982231	0.789755	0.933941
1.70	1.15	-473.38140	1.527969	0.136421	-0.461640	-0.133200	1.899	0.006802	1.976821	0.789457	0.938236
1.65	1.10	-476.11434	1.550343	0.137583	-0.480916	-0.129273	1.676	0.005207	1.971537	0.788607	0.941771
1.60	1.05	-464.61830	1.572897	0.138677	-0.500822	-0.124994	1.437	0.003954	1.966187	0.787502	0.944736



ამდენად, ჩვენს მიერ პირველადაა შესწავლილია  $\alpha$ , $\omega$ -ბის(ტრიმეთილ-სილოქსი)მეთილპიდრიდსილოქსანის პიდრიდული მიერთების რეაქციები ალილციანიდთან კარსტედის კატალიზატორის თანაობისას და ნაჩვენებია, რომ პიდროსილილირება არ მიმდინარეობს სრულად და რჩება რეაქციაში შეუსვლელი აქტიური  $\equiv Si-H$  ბმა, რომელიც მონაწილეობას ღებულობს მოლეკულათშორის ღებიდროკონდენსაციის რეაქციებში განტოტვილი პოლიმერების წარმოქმნით.

ოლიგომერებისათვის ჩატარებულია გელ-შედწევადი ქრომატოგრაფიული გამოკვლევები და ნაჩვენებია პიდროსილილირების რეაქციის დროს ადგილი აქვს განტოტვილი პოლიმერების წარმოქმნას.

ქვანტურ-ქიმიური გათვლებით, მოდელურ სისტემებზე დადგენილია რეაქციის უპირატესი მიმდინარეობა ფარმერის წესის მიხედვით, რაც ასევე თანხვდენაშია ბმრ სპექტრულ გამოკვლევებთან. შემდგომ, ყველაზე საალბათოა მიერთება მარკოვნიკოვის წესის მიხედვით და აგრეთვე დასაშვებია მიერთება ალილციანიდის მოლეკულის ნიტრილის ჯგუფის სამმაგ ბმასთანაც.

## თავი 3 ექსპერიმენტული ნაწილი

დისერტაციის აღნიშნულ თავში განხილულია მეთოლსილოქსანური ოლიგომეტრების სინთეზი უჯერი ფრაგმენტებით გვერდით ჯაჭვში.

სადისერტაციო ნაშრომის შესრულებისას გამოყენებული ნივთიერებები და გამხსნელები გასუფთავებულ იქნა შესაბამისი მეთოდებით და მათი სისუფთავე დადგენილ იქნა დუღილის ტემპერატურებით, გარდატეხის მაჩვენებლების მნიშვნელობებითა და გაზ-თხევადური ქრომატოგრაფიული ანალიზებით.

### 3.1. ინსტრუმენტული გამოკვლევები

მონომერული ნივთიერებების სისუფთავეს ვაკონტროლებდით გაზ-თხევადურ ქრომატოგრაფზე “ЛХМ-8МД”, ფაზა СКТФТ-100 (10%), ქრომოსორბზე NAW, გაზ-მარებელი – ჰელიუმი, 2 მ სიგრძის სვეტი.

ფურიე გარდაქმნის ინფრაწითელი სპექტრები სინთეზირებული ნივთიერებებისთვის გადაღებულია იწ სპექტროფორმეტრზე R-20, ვაზელინში ან CCl<sub>4</sub>-ში და ფურიე გარდაქმნის იწ სპექტრომეტრზე Nicolet Nexus 470.

ბირთვული მაგნიტური რეზონანსის სპექტრები გადაღებულია სპექტროფორმეტრზე – “Bruker”, სამუშაო სიხშირით 250 და 400 მჰერცი, დეიტერიორებული ქლოროფორმის ან C<sub>2</sub>D<sub>2</sub>Cl<sub>4</sub>-ის სსნარში. დეიტერიორებული გამხსნელი ასრულებდა აგრეთვე სტანდარტის როლს.

გელ-შედწევადი ქრომატოგრაფიული გამოკვლევები ჩატარებულია “Waters Model 6000A” ტიპის ქრომატოგრაფზე, რომელიც აღჭურვილი იყო R401 ტიპის დიფერენციალური რეზორაქტომეტრული დეტექტორით, რომელიც შევსებული იყო 10<sup>3</sup> და 10<sup>4</sup> Å “Ultrastyragel”-ის სვეტით. ნიმუშის კონცენტრაცია იყო დაახლოებით 3% წონით ტოლუოლში, ოლიგოორგანოსილოქსანებისათვის შესხურების საშუალო მოცულობა შეადგენდა 5 μL. მიღებული გელ-შედწევადი მრუდების სტანდარტიზაცია ტარდებოდა ცნობილი მოლექულური მასის მქონე სტიროლისა და პოლიდიმეთილისანის სტანდარტებით.

დიფერენციალურ სკანირებადი კალორიმეტრული გამოკვლევები ჩატარებულ იქნა “Perkin-Elmer-7” ხელსაწყოზე, ტემპერატურის მატებისა და შემცირების სიჩქარე v≈10 გრად/წ.

ფაროვკუთხოვანი რენტგენოგრაფიული გამოკვლევა ჩატარებულ იქნა ხელსაწყოზე “Дрон-2 МД”, A-CuK<sub>α</sub>, გადაღებას ვაწარმოებდით ფილტრის გარეშე, მობრუნების კუთხეური სიჩქარე აღ2 გრად/წ. კვლევები ჩატარებულ იქნა საქართველოს მინერალური ნედლეულის სამეცნიერო კვლევით ინსტიტუტში.

სინთეზირებული ოლიგომეტრებისათვის ასევე ჩატარებულია თერმოგრავიმეტრული გამოკვლევა "Paulic - Paulic - Erday, MOM-102" სისტემის დერივატოგრაფზე. ტემპერატურის მატების სიჩქარე v = 5 გრად/წ.

კვლევები ჩატარებული იქნა თსუ მაკრომოლეკულების ქიმიის მიმართულებაზე.

### 3.2. საწყისი ნახევარპროდუქტების დახასიათება

**α, ω-ბის(ტრიმეთილსილოქსი)მეთილჰიდრიდსილოქსანი**  $m \approx 35$  გამოყენებულ იქნა მზა სახით ABCR-დან.

**ტრიეტოქსივინილსილანი**  $T_{\text{დღ}} \approx 160-161^{\circ}\text{C}$ ;  $n_D^{20} = 1.3980$ ;  $d_4^{20} = 0.903$ ; გამოყენებულ იქნა მზა სახით ABCR-დან.

**ტრიმეტოქსივინილსილანი**  $T_{\text{დღ}} \approx 123^{\circ}\text{C}$ ;  $d_4^{20} = 0.9718$ ; გამოყენებული იქნა მზა სახით "Aldrich"-დან.

**4-ვინილ-1-ციკლოჰექსენი**  $T_{\text{დღ}} \approx 126-127^{\circ}\text{C}$ ;  $T_{\text{ლღ}} \approx -101^{\circ}\text{C}$ ; გამოყენებული იქნა მზა სახით "Aldrich"-დან.

**5-ვინილ-2-ნორბორნენი**  $T_{\text{დღ}} \approx 140-141^{\circ}\text{C}$ ;  $T_{\text{ლღ}} \approx -80^{\circ}\text{C}$ ; გამოყენებული იქნა მზა სახით "Aldrich"-დან.

**ალილციანიდი** –  $T_{\text{დღ}} \approx 116-121^{\circ}\text{C}$ ;  $T_{\text{ლღ}} \approx 87^{\circ}\text{C}$ ; გამოყენებული იქნა მზა სახით "Aldrich"-დან.

**ალილოქსიტრიმეთილსილანი**  $T_{\text{დღ}} \approx 93^{\circ}\text{C}/34$ ;  $n_D^{20} = 1.3976$ . მიღებულ იქნა ლიტერატურაში ცნობილი მეთოდიკით [158].

**ალილოქსიტრიმეთილსილანი**  $T_{\text{დღ}} \approx 100^{\circ}\text{C}$ ;  $n_D^{20} = 1.3904$ ;  $d_4^{20} = 0.7830$ . მიღებულ იქნა ლიტერატურაში ცნობილი მეთოდიკით [160].

### 3.3. α,ω-ბის(ტრიმეთილსილოქსი)მეთილორგანოსილოქსანური ოლიგომერები ალკოქსილის ჯგუფებით გვერდით ჯაჭვში

#### 3.3.1. α,ω-ბის(ტრიმეთილსილოქსი)მეთილჰიდრიდსილოქსანის (PMHS) პიდროსი-ლილირების რეაქცია ვინილალკოქსილანებთან

პიდროსილირების რეაქციას ვატარებდით სამყელა კოლბაში, რომელსაც მორგებული ჰქონდა უკუმაცივარი და ინერტული აირის გასატარებელი მილი. რეაქციას ვატარებდით არგონის არეში. სარეაქციო კოლბაში მოვათავსეთ 0.7681 გ (0.3395 მმოლი) მეთილჰიდრიდსილოქსანი, 2.2681 გ (11.93 მმოლი) ვინილტრიოქსილანი და 3 მლ აბსოლუტური ტოლუოლი. ვახდენდით სარეაქციო სისტემის თერმოსტატირებას  $50^{\circ}\text{C}$  ტემპერატურაზე და რეაქციას ვატარებდით მუდმივი მორევის პირობებში მაგნიტური სარეგელას საშუალებით ზეთის აბაზანაზე. რეაქციის მიმდინარეობისას ვსაზღვრავდით  $\equiv\text{Si}-\text{H}$  ბმის რაოდენობას ჩუგაევ-ცერევიტინოვის ცნობილი მეთოდიკის მიხედვით [179], გამოყოფილი წყალბადის მიხედვით. სინჯი ავიდეთ კატალიზატორის შეტანამდე, ამ შემთხვევაში მიღებული  $\equiv\text{Si}-\text{H}$ -ის პროცენტული მნიშვნელობა ჩავთვალეთ  $100\%-ად$ , ხოლო შემდეგ კი შევიტანეთ კატალიზატორი -  $\text{H}_2\text{PtCl}_6 \cdot 6\text{H}_2\text{O}$ -ის 0.1 M ხსნარი ტეტრაჰიდროფურანში. დროის განსაზღვრულ ინტერგალებში ვსაზღვრავდით  $\equiv\text{Si}-\text{H}$  ბმის პროცენტობას. რეაქციის დამთავრების შემდეგ სარეაქციო ნარევის კონცენტრირებული ხსნარიდან ვახდენდით მიღებული ოლიგომერის გადალექვას ნ-ჰექსანით, ხოლო შემდეგ ვაკუუმირებას მუდმივ მასამდე. მივიღეთ 4.7196 გ ბლანტი ოლიგომერი (II) 93%-იანი გამოსავლით. α,ω-ბის(ტრიმეთილსილოქსი)მეთილჰიდრიდსილოქსანის პიდრიდული მიერთების რეაქციები ასევე ჩავატარეთ  $50^{\circ}\text{C}$ ,  $60^{\circ}\text{C}$  და  $70^{\circ}\text{C}$  ტემპერატურებზე სხვადასხვა კატალიზატორების თანაობისას და ასევე აღებული ნივთიერებების სხვადასხვა თანაფარდობით. დანარჩენი რე-

აქციებიც ჩავატარეთ ზემოთ აღნიშნული მეთოდის ანალოგიურად. რეაქციის შედეგად მივიღეთ გამჭვირვალე არომატული ტიპის ორგანულ გამხსნელებში ხსნადი ოლიგომერები.

ცხრილში მოცემულია  $\alpha, \omega$ -ბის(ტრიმეთილსილოქსი)მეთილჰიდრიდსილოქსანის კინილალკოქსისილანებთან ურთიერთქმედების დროს საწყისი ნივთიერებების ჩატვირთვა და მიღებული ოლიგომერების გამოსავალი.

### ცხრილი 15

$\alpha, \omega$ -ბის(ტრიმეთილსილოქსი)მეთილჰიდრიდსილოქსანის  
კინილალკოქსისილანებთან ურთიერთქმედების დროს საწყისი ნივთიერებების  
ჩატვირთვა და მიღებული ოლიგომერების გამოსავალი

N <sup>o</sup>	PMHS გ(მთლი)	H <sub>2</sub> C=CH- Si(OR) <sub>2</sub> R' გ(მთლი)	R	R'	T <sup>0</sup> C	გატალიზა ტორი	m/km	გამოსავ ალი (%)
I	0.7681 (0.3395)	2.2681 (11.93)	C <sub>2</sub> H <sub>5</sub>	OC <sub>2</sub> H <sub>5</sub>	50	H <sub>2</sub> PtCl <sub>6</sub>	1:35	2.8 92%
I <sup>1</sup>	0.6657 (0.2942)	1.9439 (10.23)	C <sub>2</sub> H <sub>5</sub>	OC <sub>2</sub> H <sub>5</sub>	60	H <sub>2</sub> PtCl <sub>6</sub>	1:35	2.4 91%
I <sup>2</sup>	0.5539 (0.2448)	1.6566 (8.71)	C <sub>2</sub> H <sub>5</sub>	OC <sub>2</sub> H <sub>5</sub>	70	H <sub>2</sub> PtCl <sub>6</sub>	1:35	2.0 91%
II	0.7429 (0.3284)	4.3320 (22.80)	C <sub>2</sub> H <sub>5</sub>	OC <sub>2</sub> H <sub>5</sub>	50	H <sub>2</sub> PtCl <sub>6</sub>	1:70	4.7 93%
III	0.8632 (0.3816)	7.3695 (38.78)	C <sub>2</sub> H <sub>5</sub>	OC <sub>2</sub> H <sub>5</sub>	50	H <sub>2</sub> PtCl <sub>6</sub>	1:105	7.74 94%
IV	0.7953 (0.3515)	2.4044 (12.65)	C <sub>2</sub> H <sub>5</sub>	OC <sub>2</sub> H <sub>5</sub>	50	Pt/C	1:35	3.0 93%
IV <sup>1</sup>	0.6740 (0.2979)	1.9810 (10.42)	C <sub>2</sub> H <sub>5</sub>	OC <sub>2</sub> H <sub>5</sub>	60	Pt/C	1:35	2.4 91%
IV <sup>2</sup>	0.8712 (0.3851)	2.5739 (13.54)	C <sub>2</sub> H <sub>5</sub>	OC <sub>2</sub> H <sub>5</sub>	70	Pt/C	1:35	3.1 91%
V	0.8687 (0.3840)	4.7561 (32.13)	C <sub>2</sub> H <sub>5</sub>	OC <sub>2</sub> H <sub>5</sub>	85	H <sub>2</sub> PtCl <sub>6</sub>	1:65	5.1 91%
VI	0.9450 (0.4177)	5.1433 (34.75)	C <sub>2</sub> H <sub>5</sub>	OC <sub>2</sub> H <sub>5</sub>	85	გარსტედი	1:65	5.8 95%
VII	0.6998 (0.3093)	2.9689 (20.06)	CH <sub>3</sub>	OCH <sub>3</sub>	85	H <sub>2</sub> PtCl <sub>6</sub>	1:65	3.3 90%
VIII	0.7993 (0.3533)	3.4004 (22.97)	CH <sub>3</sub>	CH <sub>3</sub>	85	გარსტედი	1:65	3.9 95%
IX	0.7539 (0.3332)	1.6048 (12.15)	C <sub>2</sub> H <sub>5</sub>	CH <sub>3</sub>	80	H <sub>2</sub> PtCl <sub>6</sub>	1:35	2.2 92%

### 3.3.2. α,ω-ბის(ტრიმეთილსილოქსი)მეთილპიდრიდსილოქსანის ჰიდროსილილირების რეაქცია ალილოქსიტრიეთოქსისილანთან

სამყელა კოლბაში, რომელსაც მორგებული ჰქონდა უკუმაცივარი და ინერტული აირის გასატარებელი მილი მოვათავსეთ 0.8054 გ (0.3560 მმოლი) მეთილპიდრიდსილოქსანი, 2.7416 გ (12.46 მმოლი) ალილოქსიტრიეთოქსისილანი და 4 მლ აბსოლუტური ტოლუოლი. ვახდენდით სარეაქციო სისტემის თერმოსტატირებას 80°C ტემპერატურაზე და რეაქციას ვატარებდით არგონის არეში და მუდმივი მორევის პორობებში მაგნიტური სარეველას საშუალებით ზეთის აბაზანაზე. რეაქციის მიმდინარეობისას ვსაზღვრავდით  $\equiv\text{Si}-\text{H}$  ბმის რაოდენობას მსგავსად ჩუგაევ-ცერევიტინოვას ცნობილი მეთოდიკისა -KOH-ის ნაჯერი სპირტსნარის მოქმედებით, გამოყოფილი წყალბადის მიხედვით. სინჯი ავიდეთ კატალიზატორის შეტანამდე, ამ შემთხვევაში მიღებული  $\equiv\text{Si}-\text{H}$ -ის პროცენტული მნიშვნელობა ჩავთვალეთ 100%-ად, ხოლო შემდეგ კი შევიტანეთ კატალიზატორი -  $\text{H}_2\text{PtCl}_6 \cdot 6\text{H}_2\text{O}$ -ის 0.1M ხსნარი ტეტრაჰიდროფურანში. დროის განსაზღვრულ ინტერვალებში ვსაზღვრავდით  $\equiv\text{Si}-\text{H}$  ბმის კონცენტრაციის. რეაქციის დამთავრების შემდეგ სარეაქციო ნარევის კონცენტრირებული ხსნარიდან ვახდენდით მიღებული ოლიგომერის გადალექვას ნ-ჰექსანით, ხოლო შემდეგ ვაკუმირებას მუდმივ მასამდე. მივიღეთ 3.2 გ ბლანტი ოლიგომერი (X) 89%-იანი გამოსავლით. α,ω-ბის(ტრიმეთილსილოქსი) მეთილპიდრიდსილოქსანის ჰიდროდული მიერთების რეაქციები ასევე ჩავატარეთ 60°C, 70°C და 80°C ტემპერატურებზე სხვადასხვა კატალიზატორების თანაობისას და ასევე აღებული ნივთიერებების სხვადასხვა თანაფარდობით. დანარჩენი რეაქციებიც ჩატარებულ იქნა ზემოთ აღნიშნული მეთოდის ანალოგიურად. რეაქციის შედეგად მიიღება უფერო არომატული ტიპის ორგანულ გამსხველებში ხსნადი ოლიგომერები.

ქვემოთ მოყვანილ ცხრილში მოცემულია α,ω-ბის(ტრიმეთილსილოქსი)მეთილპიდრიდსილოქსანის ალილოქსიტრიეთოქსისილანთან და ალილოქსიტრიმეთილსილანთან ურთიერთქმედების დროს საწყისი ნივთიერებების ჩატვირთვა და მიღებული ოლიგომერების გამოსავალი.

#### ცხრილი 16

α,ω-ბის(ტრიმეთილსილოქსი)მეთილპიდრიდსილოქსანის ალილოქსიტრიეთოქსისილანთან და ალილოქსიტრიმეთილსილანთან ურთიერთქმედების დროს საწყისი ნივთიერებების ჩატვირთვა და მიღებული ოლიგომერების გამოსავალი

N <sup>o</sup>	PMHS გ(მ·მოლი)	$\text{H}_2\text{C}=\text{CH}-$ $\text{CH}_2\text{OSiR}_3$	R	T°C	კატალიზატორი	m:n	გამოსავალი (%)
X <sup>1</sup>	0.5689 (0.2515)	1.9365 (8.8022)	OC <sub>2</sub> H <sub>5</sub>	80	$\text{H}_2\text{PtCl}_6$	1:35	2.2 87%
X <sup>2</sup>	0.7883 (0.3484)	2.6834 (12.19)	OC <sub>2</sub> H <sub>5</sub>	86	$\text{H}_2\text{PtCl}_6$	1:35	3.2 92%
X	0.8054 (0.3560)	2.7416 (12.46)	OC <sub>2</sub> H <sub>5</sub>	93	$\text{H}_2\text{PtCl}_6$	1:35	3.1 89%
XI	0.6907 (0.3053)	1.3893 (10.68)	Me	94	$\text{H}_2\text{PtCl}_6$	1:35	2.0 96%

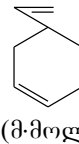
### 3.4. α,ω-ბის(ტრიმეთილსილოქსი)მეთილჰიდრიდსილოქსანის ჰიდროსილიდირების რეაქცია 4-ვინილ-1-ციკლოპექსენთან

სამყელა კოლბაში, ომელსაც მორგებული ჰქონდა უკუმაცივარი და ინერტული აირის გასატარებელი მილი მოვათავსეთ 0.6082 გ (0.26 მმოლი) მეთილჰიდრიდსილოქსანი, 2.0212 გ (18.71 მმოლი) 4-ვინილ-1-ციკლოპექსენი და 3 მლ აბსოლუტური ტოლუოლი. ვახდენდით სარეაქციო სისტემის თერმოსტატირებას 60°C ტემპერატურაზე. სარეაქციო სისტემას მუდმივად ვურევდით მაგნიტური სარეველას საშუალებით ზეთის აბაზანაზე ინერტული აირის – არგონის გატარების პირობებში. რეაქციის მსვლელობისას ვსაზღვრავდით  $\equiv\text{Si}-\text{H}$  ბმის კონცენტრაციის ცვლილებას დროში ზემოთ განხილული (თავი 3.3.1. და 3.3.2.) მეთოდის მიხედვით. რეაქციის დამთავრების შემდეგ სარეაქციო ნარევის კონცენტრირებული სსნარიდან ვახდენდით მიღებული ოლიგომერის გადალექვას ნ-ჰექსანით, ხოლო შემდეგ ვაკუმირებას მუდმივ მასამდე. მივიღეთ 2.3835 გ ბლანტი ოლიგომერი (XII) 91%-იანი გამოსავლით. α,ω-ბის(ტრიმეთილსილოქსი)მეთილჲიდრიდსილოქსანის ჰიდრიდული მიერთების რეაქციები ასევე ჩავატარეთ 40°C, 50°C და 60°C ტემპერატურებზე, როგორც სხვადასხვა კატალიზატორების თანაობისას, ასევე აღებული ნივთიერებების სხვადასხვა თანაფარდობით. რეაქციის შედეგად მიღება მოყვითალო არომატული ტიპის ორგანულ გამხსნელებში ხსნადი ოლიგომერები.

ქვემოთ მოყვანილ ცხრილში მოცემულია α,ω-ბის(ტრიმეთილსილოქსი)მეთილჲიდრიდსილოქსანის 4-ვინილ-1-ციკლოპექსენთან ურთიერთქმედების დროს საწყისი ნივთიერებების ჩატვირთვა და მიღებული ოლიგომერების გამოსავალი.

#### ცხრილი 17

α,ω-ბის(ტრიმეთილსილოქსი)მეთილჲიდრიდსილოქსანის 4-ვინილ-1-ციკლოპექსენთან ურთიერთქმედების დროს საწყისი ნივთიერებების ჩატვირთვა და მიღებული ოლიგომერების გამოსავალი

Nº	PMHS გ(მ·მოლი)	 გ(მ·მოლი)	T°C	კატალიზატორი	m:nm	გამოსავალი (%)
XII	0.9850 (0.4354)	1,6595 (15.36)	60	H <sub>2</sub> PtCl <sub>6</sub>	1:35	2.2 85%
XII <sup>1</sup>	0.8097 (0.3579)	1.3563 (12.55)	40	H <sub>2</sub> PtCl <sub>6</sub>	1:35	1.8 82%
XII <sup>2</sup>	0.9127 (0.4034)	1,5252 (14.12)	50	H <sub>2</sub> PtCl <sub>6</sub>	1:35	2.0 83%
XIII	0.6082 (0.2689)	2.0212 (18.71)	60	H <sub>2</sub> PtCl <sub>6</sub>	1:70	2.3 88%
XIII <sup>1</sup>	0.7919 (0.3501)	2.6559 (24.62)	40	H <sub>2</sub> PtCl <sub>6</sub>	1:70	2.7 78%
XIII <sup>2</sup>	1.0152 (0.4488)	3.3929 (31.41)	50	H <sub>2</sub> PtCl <sub>6</sub>	1:70	3.6 82%
XIV	0.8007 (0.3539)	5.0341 (46.61)	60	H <sub>2</sub> PtCl <sub>6</sub>	1:105	5.2 90%
XV	0.7647 (0.3381)	5.1120 (47.33)	80	H <sub>2</sub> PtCl <sub>6</sub>	1:140	5.3 91%

XVI	0.6359 (0.2811)	2.8059 (25.98)	100	Pt/C	1:70	3.2 94%
XVI <sup>1</sup>	0.5368 (0.2373)	1.6884 (15.63)	80	Pt/C	1:70	2.0 92%
XVI <sup>2</sup>	0.6894 (0.3047)	3.0325 (28.07)	90	Pt/C	1:70	3.4 92%
XVII	0.4098 (0.2012)	1.3076 (12.11)	90	კარსტედი	1:70	1.6 91%
XVII <sup>1</sup>	0.7960 (0.3519)	2.6604 (24.63)	70	კარსტედი	1:70	3.0 88%
XVII <sup>2</sup>	0.6238 (0.2757)	2.0848 (19.30)	80	კარსტედი	1:70	2.4 88%

### 3.5. α,ω-ბის(ტრიმეთილსილოქსი)მეთილპიდრიდსილოქსანის ჰიდროსილილირების რეაქცია 5-ვინილ-2-ნორბორნენთან

სამყელა კოლბაში, ოომელსაც მორგებული ჰქონდა უკუმაციგარი და მიღი ინერტული აირის გასატარებლად მოვათვესეთ 0.8769 გ (0.38 მოლი) მეთილპიდრიდსილოქსანი, 1.6198 გ (13.5 მოლი) 5-ვინილ-2-ნორბორნენი და 4.6 მლ აბსოლუტური ტოლუოლი. რეაქციას ვატარებდით 400°C ტემპერატურაზე. სარეაქციო სისტემას მუდმივად ვურევდით მაგნიტური სარეველას საშუალებით, ზეთის აბაზანაზე ინერტული აირის - არგონის გატარების პირობებში. რეაქციის მიმდინარეობისას ვსაზღვრავდით  $\equiv\text{Si}-\text{H}$  ბმის კონცენტრაციის ცვლილებას დროში ზემოთ განხილული (თავი 3.3.1, 3.3.2.) მეთოდის მიხედვით, ხოლო რეაქციის დამთავრების შემდეგ სარეაქციო ნარევის კონცენტრირებული ხსნარიდან ვახდენდით მირებული ოლიგომერის გადალექვას ნ-პექსანით, ხოლო შემდეგ ვაკუმირებას მუდმივ მასამდეგ. მივიღეთ 2.1471 გ ბლანტი ოლიგომერი XX 86%-იანი გამოსავლით. α,ω-ბის(ტრიმეთილსილოქსი)მეთილპიდრიდსილოქსანის ჰიდრიდული მიერთების რეაქციები ასევე ჩავატარეთ 200°C და 300°C ტემპერატურებზე, როგორც სხვადასხვა კატალიზატორების თანაობისას, ასევე ადებული ნივთიერებების სხვადასხვა თანაფარდობით. რეაქციის შედეგად მიიღება თეორი არომატული ტიპის ორგანულ გამხსნელებში ხსნადი ოლიგომერები.

ქვემოთ მოყვანილ ცხრილში მოცემულია α,ω-ბის(ტრიმეთილსილოქსი)მეთილპიდრიდსილოქსანის 5-ვინილ-2-ნორბორნენთან ურთიერთქმედების დროს საწყისი ნივთიერებების ჩატვირთვა და მიღებული ოლიგომერების გამოსავალი.

### ცხრილი 18

α,ω-ბის(ტრიმეთილსილოქსი)მეთილპიდრიდსილოქსანის 5-ვინილ-2-ნორბორნენთან ურთიერთქმედების დროს საწყისი ნივთიერებების ჩატვირთვა და მიღებული ოლიგომერების გამოსავალი

Nº	PMHS გ(მ-მოლი)	 <p>117</p>
----	-------------------	--

	(0.5066)	(17.89)				84%
XX <sup>2</sup>	0.7109 (0.3143)	1.3249 (11.04)	30	H <sub>2</sub> PtCl <sub>6</sub>	1:35	1.7 85%
XXI	0.8417 (0.3721)	3.1257 (26.04)	40	H <sub>2</sub> PtCl <sub>6</sub>	1:70	3.4 86%
XXI <sup>1</sup>	1.1163 (0.4935)	4.1549 (34.62)	20	H <sub>2</sub> PtCl <sub>6</sub>	1:70	4.4 85%
XXI <sup>2</sup>	0.7644 (0.2182)	2.8421 (23.68)	30	H <sub>2</sub> PtCl <sub>6</sub>	1:70	3.1 85%
XXII	0.5007 (0.2213)	2.7530 (22.94)	40	H <sub>2</sub> PtCl <sub>6</sub>	1:105	2.9 88%
XXII <sup>1</sup>	0.6872 (0.3038)	3.8347 (31.95)	20	H <sub>2</sub> PtCl <sub>6</sub>	1:105	3.9 86%
XXII <sup>2</sup>	0.6813 (0.3012)	3.6246 (30.20)	30	H <sub>2</sub> PtCl <sub>6</sub>	1:105	3.7 87%
XXIII	0.5586 (0.2469)	2.0801 (17.33)	60	Pt/C	1:70	2.4 90%
XXIII <sup>1</sup>	0.8678 (0.3836)	3.2246 (26.87)	40	Pt/C	1:70	3.6 87%
XXIII <sup>2</sup>	0.8025 (0.3547)	2.9875 (24.89)	50	Pt/C	1:70	3.4 89%
XXIV	0.8831 (0.3904)	3.2806 (27.34)	40	კარსტედი	1:70	3.7 88%
XXIV <sup>1</sup>	0.9043 (0.3997)	3.3675 (28.06)	20	კარსტედი	1:70	3.4 85%
XXIV <sup>2</sup>	1.0818 (0.4782)	4.0064 (33.38)	30	კარსტედი	1:70	4.4 86%

### 3.6. პიდროსილილირების რეაქცია ალილციანიდთან

პიდროსილილირების რეაქციას ვატარებდით სამყელა კოლბაში, რომელსაც მორგებული ჰქონდა უკუმაცივარი და ინერტული აირის გასატარებელი მილი. სარეაქციო კოლბაში მოვათავსეთ 5,00 გ (77 მმოლი) მეთილჰიდრიდისილოქსანი 10.35 გ (154 მმოლი) ალილციანიდთან და 5.5 მლ აბსოლუტური ტოლუოლი. გახდენდით სარეაქციო სისტემის თერმოსტატირებას 80°C ტემპერატურაზე და რეაქციას ვატარებდით მუდმივი მორევის პირობებში მაგნიტური სარეველას საშუალებით ზეთის აბაზანაზე და ვამატებდით კარსტედის კატალიზატორს.  $\equiv\text{Si}-\text{H}$  ბმის რაოდენობას რეაქციის მსგლელობისას ვსაზღვრავდით მსგავსად ჩუგაევ-ცერევიტინოვას ცნობილი მეთოდიკით და ასევე  $^1\text{H}$  ბმრ სპექტრებით. დროის განსაზღვრულ ინტერვალებში ვსაზღვრავდით  $\equiv\text{Si}-\text{H}$  ბმის პროცენტობას. რეაქციის დამთავრების შემდეგ სარეაქციო ნარევის კონცენტრირებული სსნარიდან ვახდენდით მიღებული ოლიგომერის გადალექვას ნ-პექსანით, ხოლო შემდეგ ვაკუუმირებას მუდმივ მასამდე. მივიღეთ 9.5 გ (75%) მოვეითალო ბლანტი ოლიგომერი XXVIII. ასევე ჩავატარეთ დანარჩენი რეაქციებიც 60°C და 70°C ტემპერატურებზე ზემოთ აღნიშნული მეთოდის ანალოგიურად. რეაქციის შედეგად მიიღება მოყვითალო არომატული ტიპის ორგანულ გამხსნელებში სსნადი ოლიგომერები.

ქვემოთ მოყვანილ ცხრილში მოცემულია α,ω-ბის(ტრიმეთილსილოქსი) მეთიონ-ჰიდრიდსილოქსანის ალილციანიდთან ურთიერთქმედების დროს საწყისი ნივთიერებების ჩატვირთვა და მიღებული ოლიგომერების გამოსავალი.

### ცხრილი 19

α,ω-ბის(ტრიმეთილსილოქსი)მეთიონ-ჰიდრიდსილოქსანის ალილციანიდთან ურთიერთქმედების დროს საწყისი ნივთიერებების ჩატვირთვა და მიღებული ოლიგომერების გამოსავალი

Nº	PMHS გ(მ-მლი)	CH <sub>2</sub> =CHCHCN გ(მმოლი)	T°C	კატალიზატორი	m:n	გამოსავალი (%)
XXVIII	5.0000 (77)	10.35 (154)	80	კარსტედი	1:60	9.5 75%
XXVIII <sup>2</sup>	2.5000 (38.5)	5.1750 (77)	70	კარსტედი	1:60	5.3 79%
XXVIII <sup>1</sup>	2.5000 (38.5)	5.1750 (77)	60	კარსტედი	1:60	5.6 82%
XXIX	2.5000 (38.5)	5.1750 (77)	80	კარსტედი	1:60	5.3 75%

## დასკვნა

1. პირველად იქნა შესწავლილი მეთილჰიდრიდსილოქსანის ჰიდრიდული მიერთების რეაქცია ვინილტრიეთოქსისილანთან, ვინილტრიმეთოქსისილანთან, მეთილვინილ-დიეთოქსისილანთან, ალილის სპირტის ტრიმეთილსილილირებულ და ტრიეთოქსისილილირებულ ეთერებთან პლატინაქლორწყალბადმჟავას, კარსტედის კატალიზატორის და ნახშირბადზე დაფენილი პლატინის თანაობისას და სინთეზირებულ იქნა მულტიფუნქციური მეთილსილოქსანური ოლიგომერები ალკოქსილის ჯგუფებით გვერდით ჯაჭვში. დაგენილია, რომ მეთილჰიდრიდსილოქსანის ჰიდროსილილირებისას ვინილორგანოალკოქსისილანებთან კატალიზატორები აქტიურობის მიხედვით შეიძლება შემდეგ რიგში განვალაგოთ: კარსტედი > პლატინაქლორწყალბად მჟავა > ნახშირბადზე დაფენილი პლატინა.
2. პირველად იქნა შესწავლილი პოლიმეთილჰიდრიდსილოქსანის ჰიდრიდული მიერთების რეაქციები 4-ვინილ-1-ციკლოპექსენთან, მორეაგირე კომპონენტების სხვადასხვა თანაფარდობისას, პლატინაქლორწყალბადმჟავას, კარსტედის კატალიზატორის და ნახშირბადზე დაფენილი პლატინას კატალიზატორის თანაობისას და სინთეზირებულ იქნა მეთილსილოქსანური ოლიგომერები უჯერი ფრაგმენტებით გვერდით ჯაჭვში.
3. დადგენილია, რომ მეთილჰიდრიდსილოქსანის 4-ვინილ-1-ციკლოპექსენთან ჰიდროსილილირების რეაქცია მიმდინარეობს, როგორც ვინილის ჯგუფზე მარკოვნიკოვის წესის თანახმად, ასევე ფარმერის წესით, აგრეთვე ციკლში არსებული უჯერ ბმაზეც; ვინილციკლოპექსენის მოლური თანაფარდობის ზრდასთან ერთად იზრდება ჰიდროსილილირების სიღრმე; ჰიდროსილირების რეაქციაში კატალიზატორები აქტიურობის მიხედვით შეიძლება განვალაგოთ შემდეგ რიგში: პლატინაქლორწყალბად მჟავა > კარსტედი > ნახშირბადზე დაფენილი პლატინა.
4. პირველად იქნა შესწავლილი პოლიმეთილჰიდრიდსილოქსანის ჰიდრიდული მიერთების რეაქციები ვინილნორბორნენთან, მორეაგირე კომპონენტების სხვადასხვა თანაფარდობისას, პლატინაქლორწყალბადმჟავას, კარსტედის კატალიზატორის და ნახშირბადზე დაფენილი პლატინას კატალიზატორის თანაობისას. სინთეზირებულია მეთილსილოქსანური ოლიგომერები უჯერი ფრაგმენტებით გვერდით ჯაჭვში. დადგენილია, რომ ჰიდროსილილირება მიმდინარეობს, მარკოვნიკოვის წესით, ფარმერის წესით და ასევე ციკლურ ფრაგმენტის უჯერ ბმაზეც.
5. გელ-შელწევადი ქრომატოგრაფიული გამოკვლევებით დადგენილია, რომ მეთილჰიდრიდსილოქსანის ვინილციკლოპექსენთან და ვინილნორბორნენთან ჰიდროსილირება მიმდინარეობს მაკრომოლეკულათშორისი მიერთების გზითაც და მიიღება განტოტვილი აგებულების პოლიმერები.
6. მეთილჰიდრიდსილოქსანის 4-ვინილ-1-ციკლოპექსენთან და ვინილნორბორნენთან ჰიდრიდული მიერთების რეაქციის სრული დახსასიათებისათვის, ჩატარებულია მეთილდიმეთოქსისილანის 4-ვინილ-1-ციკლოპექსენთან და ვინილნორბორნენთან მოდელური რეაქციებისათვის გათვლები ნახევრადემპირიული ქვანტურ-ქიმიური AM 1 მეთოდით. ყველა საწყისი, შეალედური და საბოლოო პროდუქტისათვის გათვლილ იქნა წარმოქმნის სითბოები ( $\Delta H_f$ ), სისტემის ენერგიის ცვლილება ( $\Delta H = C_{Si} - \sum q_i$ ) ბმის მანძილის ცვლილებისას ( $R_{C-Si}$ ), აგრეთვე მუხტების მნიშვნელობები ( $q_i$ ) ატომებზე, დიპოლური მომენტები ( $\mu$ ) და ბმის რიგები ( $P_{ij}$ ). აქტივაციის ენერგიების და წარმოქმნის სითბოების შედარება, მიუთითებს, რომ რეაქცია შეიძლება წარიმართოს სამივე მიმართულებით: ყველაზე უპირატესად ფარმერის წესის მიხედვით, შემდგომ მარკოვნიკოვის და ყველაზე ბოლოს კი ციკლოპექსენის ან ნორბორნენის ციკლურ ფრაგმენტში არსებული ორმაგი ბმის ხარჯზე. თეორიული გათვლების შედეგები

სრულ თანხვდენაშია ბმრ სპექტროსკოპიულ გათვლებთან და ლიტერატურულ მონაცემებთან.

7. გელშედწევადი ქრომატოგრაფიული გამოკვლევებით დადგენილია, რომ მეთილჰიდრიდსილოქსანების ჰიდროსილილირების რეაქციები 4-ვინილ-1-ციკლოპექსენთან და ვინილნორბორნენთან მიმდინარეობს მაკრომოლეკულათმორისი ჰიდროსილირებითაც და მიიღება განტოტვილი აღნაგობის ხსნადი ოლიგომერები.
8. მეთილჰიდრიდსილოქსანური ოლიგომერების ვინილურ ნაერთებთან ჰიდროსილირებით მიღებული ოლიგომერებისათვის ჩატარებულია ფურიე გარდაქმნის იქ,  $^1\text{H}$ ,  $\text{H,H-COSY}$ ,  $^{13}\text{C}$ , და  $\text{C,H}$ -კორელაციური სპექტრული, თერმოგრავიმეტრული, გელშედწევადი ქრომატოგრაფიული და დიფერენციალურ სკანირებადი კალორიმეტრული გამოკვლევები.
9. ჩვენს მიერ პირველადაა შესწავლილია  $\alpha,\omega$ -ბის(ტრიმეთილსილოქსი)მეთილჰიდრიდსილოქსანის ჰიდრიდული მიერთების რეაქციით ალილციანიდონ კარსტედის კატალიზატორის თანაობისას და ნაჩვენებია, რომ ჰიდროსილილირება არ მიმდინარეობს სრულად და რჩება რეაქციაში შეუსვლელი აქტიური  $\equiv\text{Si-H}$  ბმა, რომელიც მონაწილეობას ღებულობს მოლეგულათმორის დგანიდროკონდენსაციის რეაქციებში განტოტვილი პოლიმერების წარმოქმნით. ოლიგომერებისათვის ჩატარებულია გელშედწევადი ქრომატოგრაფიული გამოკვლევები და ნაჩვენებია ჰიდროსილილირების რეაქციის დროს ადგილი აქვს განტოტვილი პოლიმერების წარმოქმნას. ქვანტურქიმიური გათვლებით, მოდელურ სისტემებზე დადგენილია რეაქციის უპირატესი მიმდინარეობა ფარმერის წესის მიხედვით, რაც ასევე თანხვდენაშია ბმრ სპექტრულ გამოკვლევებთან. შემდგომ, ყველაზე საალბათოა მიერთება მარკოვნიკოვის წესის მიხედვით და აგრეთვე დასაშვებია მიერთება ალილციანიდის მოლეკულის ნიტრილის ჯგუფის სამაგ ბმასთანაც, რაც თანხვდენაშია როგორც სპექტრულ, ასევე ლიტერატურულ მონაცემებთან.
10. მულტიფუნქციური ალკოქსილის ჯგუფების შემცველი მეთილსილოქსანური ოლიგომერები წარმოადგენენ საინტერესო პროდუქტებს როგორც შემაკავშირებელი სხვადასხვა კომპოზიციური მასალების მისაღებად, როგორც საფარველები და პრეკურსორები სილიკააეროგელების მისაღებად. თერმორეაქტიული მეთილსილოქსანური ოლიგომერები უჯერი ციკლური ფრაგმენტებით გვერდით ჯაჭვში წარმოადგენენ საინტერესო პროდუქტებს სილიციუმორგანული პოლიმერების მისაღებად და კაბოჯაჭვური პოლიმერების მოდიფიკატორებად.

## გამოყენებული ლიტერატურა

1. Jones R.G., Ando W., Chojnowski J. "Silicon-Containing Polymers". Dordrecht, Kluwer Academic Publisher, 2000, p. 79-112.
2. Gray G.W., Hawthorne W.D., Lacey D., White M.S., Semlyen J.A. "<sup>29</sup>Si NMR Investigations of polysiloxanes". Liquid Cryst., 1989, vol. 6, №5, p. 503-513.
3. Richard H., Mauzac M., Si gaud G., Achard M.F., Hardouin F. "Side-Chain Liquid Crystalline Polymers". Liquid Cryst. 1991, vol. 9, №6, p. 679-688.
4. Hu J.Sh., Zhang B.Y., Liu ZJ., Zang B.L. "Synthesis and phase behavior of chiral side-chain liquid-crystalline polysiloxanes containing two mesogenic groups". Journ. Appl. Polym. Sci., 2002, vol. 86, №11, p. 2670-2676.
5. Zhu Z., Einset A.G., Yang C.Y., Chen W.X., Wnek G.E. "Synthesis of Polysiloxanes Bearing Cyclic Carbonate Side Chains. Dielectric Properties and Ionic Conductivities of Lithium Triflate Complexes". Macromolecules, 1994, vol. 27, №15, p. 4076-4079.
6. Bisberg J., Cumming W.J., Gaudiana R.A., Hutchinson K.D., Ingwall R.T.; Kolb E. S., Mehta P. G., Minns R.A., Petersen C.P. "Excimer Emission and Wavelength Control from Light-Emitting Diodes Based on Side-Chain Polymers". Macromolecules, 1995, vol. 28, №15, p. 386-389.
7. Belfield K.D., Chinna C, Najjar O. "Synthesis of Novel Polysiloxanes Containing Charge Transporting and Second-Order Nonlinear Optical Functionalities with Atom Economical Constructs". Macromolecules, 1998, vol. 31, №9, p.2918-2924.
8. Sauvet G., Fortuniak W., Kazmierski K., Chojnowski J. "Amphiphilic block and statistical siloxane copolymers with antimicrobial activity". Journ. Polym. Sci., Part A: Polymer Chem., 2003, vol. 41, №19, p. 2939-2948.
9. Hazziza-Laskar J., Helarry G., Sauvet G. "Biocidal polymers active by contact. IV. Polyurethanes based on polysiloxanes with pendant primary alcohols and quaternary ammonium groups". Journ. Appl. Polym. Sci., 1995, vol. 58, № 1, p. 77-84.
10. Bratcher M. S., DeClue M. S., Grunnet-Jepsen A., Wright D., Smith B. R., Moerner W. E., Siegel, J. S. "Synthesis of Bifunctional Photorefractive Polymers with Net Gain: Design Strategy Amenable to Combinatorial Optimization". Journ. Am. Chem. Soc. 1998, vol. 120, № 37, p. 9680-9681.
11. Chang-Chien G.P., Kuo J.F. "Synthesis, characterization and thermotropic properties of side-chain liquid crystalline polysiloxane polymers with an oligo (ethylene oxide) unit in the side chain". Journ. Appl. Polym. Sci., 1995, vol. 57, № 10, p. 1183-1204.
12. Finkelmann H., Kock Yans J., Rehage G. "Investigation on Liquid Crystalline Polysioxanes, liquid Crystalline Elastomers - A New Type of Liquid Crystalline Material". Macromol. Chem., Rapid Commun. 1981, vol. 2, № 2, p. 317-322.
13. Rindsdorf H., Schneller A. "Liquid Crystalline Side Chain Polymers With Low Glass Transition Temperatures". Macromol. Chem .Rapid. Commun. 1982, vol.3, №3, p. 557-562.
14. Kawatsuki N., Sakashita Si., takatani K., Yamamoto T., Sangari O. "Synthesis, Characterization and Photoreaction of Side Chain Liquid Crystalline Polymers Comprising Cinnamoyl Biphenyl Mesogen". Macromol. Chem. Phys. 1996, vol. 197, № 12, p. 1919-1935.
15. Godovsky Iu. K., Mamaeva 1.1., Makarova N.N., Papkov V.S., Kuzmin N.N. "Influence of Molecular Weight on the Thermotropic Mesophase Behaviour of Polydipropylsiloxane". Macromol. Chem., Rapid Commun., 1985, vol. 6, p. 797-801.
16. Годовский Ю.К., Макарова И.И., Папков В.С., Кузьмин Н.Н. "Термотропная мезофаза в линейном полидипропилсиликсане". Высокомол. Соед. сер. Б, 1985, vol. 27, № 3, p. 164-165.

17. Godovsky Iu. K., Makarova N.N., Papkov V.S., Kuzmin N.N. "Crystalline Phases and a Mesophase Poly(dipropylsiloxane)", Macromol. Chem., Rapid Commun., 1985, vol. 6, p. 443-450.
18. Marciniec B. "Comprehensive Handbook on Hydrosilylation", Pergamon Press, Oxford , 1994, p. 1-792.
19. Ojima I., Patai S. "In The Chemistry of Organic Silicon Compounds", Vol. 2, Rappaport, Z. Eds.;Wiley Interscience: N.Y., 1989, chapter 25, p 1479-1526.
20. Marciniec B., Guli J., Maciejewski H. "Encyclopedia of Catalysis", John Wiley & Sons, Inc., 2002, p.1-28.
21. Sommer L.H., Pietruza E.W., Withmore F.C., "Peroxide-catalyzed Addition of Trichlorsilane to 1-Octene". Journ. Am. Chem. Soc. 1947. vol.69. #1, p.188 - 202
22. Marciniec B., "Comprehensive Handbook on Hydrosilylation", Pergamon Press, Oxford, 1992, p. 1-766
23. Speier J.L., Webster J.A., Barnes G.H. "The addition of silicon hydrides to olefinic double bonds. Part II. The use of group VIII metal catalysts" Journ. Am. Chem. Soc. 1957. vol. 79. №3. p. 974 -979.
24. Eaborn C., Bott R.W., MacDiarmid A.G. (Ed.), "In the bond to carbon", 1968, vol. 1, Marcel Dekker, New York, , p. 106 - 142.
25. Lewis L.N. "On the mechanism of metal colloid catalyzed hydrosilylation: proposed explanations for electronic effects and oxygen cocatalysis". Journ. Am. Chem. Soc. 1990. vol. 112. p. 5998-6004.
26. Попелева Г.С., Андрианов К.А., Голубцев С.А., Попков К.К. "Термическое присоединение гидридхлорсиланов к алкенилхлорсиланам". Изв.АН СССР, охн, 1963, с.2041 - 2042.
27. Фрейдлина Р.Х., Несмянов А.Н., Чуковская Е.Ц., Карапетян Ш.А. "Химия и практическое применение кремнеорганических соединений". вып. 6. Л., 1961, с.72-73.
28. Schott G., Berg H., "Addition of Ethylene to Silicochloroform". Chem. Technik (Berlin). 1954, vol. 6, №3, p.503-504.
29. Lipscom R. D., "Organosiloxanes", 18. sept.1948 - 9Oct..1951.USP 2576462 (E. I. du Pont De nemouts & Comp.), C.A., 1952, vol. 46, p. 6141.
30. Brook, A. G., in "The Chemistry of Organic Silicon Compounds Volume 1" (Ed: Patai, S.; Rappaport, Z.), Wiley, Chichester, 1989, p. 965-1005.
31. Brook, M. A. "Silicon in Organic, Organometallic, and Polymer Chemistry", Wiley-Interscience, New York, 2000.
32. Фрейдлина С.Х., Чуковская Е.Ц. "Присоединение гидридов кремния к непредельным соединениям в присутствии карбоната никеля". Изв.АН СССР. сер.хим.,1963, вып 4. с.761-763.
33. Черкаев В.Г., Пономоренко В. А., Задорожный Н. А., Петров А.Д. "Платинохлористоводородная кислота как катализатор в реакций присоединения гидридсиланов к непредельным соединениям". Изв., АН СССР, охн., 1958, с. 247-249
34. Петров А.Д., Миронов В.Ф., Пономоренко В. А., Садых-заде С.И., Чернышев Е.А. "Синтез новых видов кремнесодержащих мономеров" Изв. АН СССР, охн., 1958. с. 954-963.
35. Calas R., Frainnet E., Bonastre J. "New Addition Method of Triethylsilane to Ketones" Comt. Rend. C.U., 1960, vol251, p. 2987-2989.
36. B.PP. 805529 (Dec 10. 1958). "Methylalkoxypolysiloxanes". Societe des Usines Chimiques Rhone-Poulence; C.A. 1959, 53, p. 6680.
37. B.PP. Pat.fr. 1155997 (May 12. 1958). "Methylalkoxypolysiloxanes". Sosiete des Usines Chimiques Rhone-Poulence; C.A. 1960, 54, p. 10392

38. Calas R., Frainnet E., Bazouin A. "New Properties of Hydrosilanes: Reaction of Triethylsilane with Nitriles". Compt. Rend., 1961, 252, p. 420-421.
39. Speier, J.L., Stone, F.G.A.; West, R., "In Advances in Organometallic Chemistry". Eds., Academic Press: NY, 1979, Vol. 17, p 407-447.
40. Karstedt B. D. (General Electric Co.), USP 226928, 1972.
41. Ryan I.W., Speier J.L. "Addition of Silicon Hydrides to Olefinic Double Bonds. IV the Addition to Styrene and  $\alpha$ -Methylstyrene". Journ. Org. Chem., 1959, vol. 24, №12, p. 2052-2053.
42. B.PP. 864848 (Apr 6. 1961), "Fouorinated Organosiloxanes". Midlend Silicones Ltd.; C.A., 1961, 55, pp. 20961
43. B.PP. 869343 (May 31. 1962), "Fouorinated Organosiloxanes". Midlend Silicones Ltd.; C.A., 1962, 56, p. 1481.
44. Speier J.L., Hook PP.F. "Organosilicon compounds". 5 Dec., 1995-11 Feb. 1958, USP 2823218, (Dow Corning Corp); C.A.1959, vol.53, p.16965.
45. Воронков М.Г., Пухнаревич В.Б. "Свойства и превращение связи Si-H в кремни-йорганических соединениях". Изв., АН СССР, сер., хим., 1982, №5, с. 1056-1071.
46. Воронков М.Г., Пухнаревич В.Б., Сущинская С.П., Копылова Л.И., Трофимов Б.А. "О составе платинового катализатора Спайера". Журн. Общ. Химии, 1971, т.41, вып 9, с. 2102-2111
47. Пухнаревич В.Б., Трофимов Б.А., Копылова Л.И., Воронков М.Г. "Эволюция гомогенных платиновых катализаторов в процессе гидросилилирования ацетиленовых углеводородов". Журн. Общ. Химии, 1972, т. 43, вып.12, с. 2691-2694.
48. Noll W. "Chemistry and Technology of Silicones". 1968. Academic press, New York.
49. Rich J., Cella J., Lewis L., Rubinsztajn S., Stein J., N. Singh, J. Wengrovius, in Kirk-Othmer: "Encyclopedia of Chemical Technology".1996. Wiley, New York.
50. Lewis, L.N., Lewis, N., Uriarte, R. "In Homogeneous TransitionMetal Catalyzed Reactions". American Chemical Society: Washington, DC, 1992; p. 541-546.
51. Karstedt B. D., U.S. Patent 3,775,452 (1973).
52. Armitage D.A., Stone G., Abel F.A. "Palladium-catalyzed reductive coupling of aromatic acid chlorides with disilanes". In Comprehensive Organometallic Chemistry, Eds E.W., Pergamon: Oxford, Wilkinson,1982, Vol. 2, p. 117-120.
53. Lukevics E., Belyakova Z.V., Pomeransteva M.G., Voronkov M.G. "The chemistry of fumarate and maleate inhibitors with platinum hydrosilylation catalysts". Journ. Organomet. Chem.1977, vol. 5, №1, p. 221-227.
54. Harrod J.F., Chalk A.J. "Theoretical analysis on mechanisms implied in hybrid integrated circuit building In Organic Synthesis via Metal Carbonyls". 1977. Vol. 2, Wender, I.; Pino, PP., Eds., Wiley: New York, p. 673-703.
55. Lewis L.N., Uriarte R.J., Lewis N. "Highly dispersed rhodium particles on silicon dioxide" Journ. Molecular. Catalyses. 1991, vol. 66, p. 105-111.
56. Lewis L.N.; Colborn R.E.; Grade H.; Bryant, G. L.; Sumpter, C. A.; Scott, R. A. "Mechanism of formation of platinum (0) complexes containing silicon – vinyl ligands". Organometallics 1995, vol. 14, p. 2202 - 2213.
57. Hitchcock P.B., Lappert M.F., Warhurst N.J.W. "Synthesis and structure of a rac tris (divinyldisiloxane) diplatinum (0) complex and its reaction with maleic anhydride". Angew. Chem.,Int. Ed. Engl. 1991, vol. 30, p. 438 – 440.
58. Stein, J.; Lewis, L. N.; Smith, K. A.; Lettko, K. X. "Mechanistic studies of platinum – catalyzed hydrosilylation" Journ. Inorg. Organomet. Polym., 1991, vol.1, p. 325 - 336.
59. Nozaruka S., Konotsune S. "Cyanoethylation of Trichlorsilane I.  $\beta$ -Addition". Bull. Chem. Soc. Japan, 1956, 29, p. 322-326.

60. USP 2907784 (Oct 6. 1959). "Cyanoalkylsilane" Jex V.B., McMahon J.E. Union Carbide Corp.; C.A., 1960, 54, p. 4388
61. USP 2860153 Saam J.C.). "β-Cyanoethyltrichlorosilan". (November 11. 1958 (Dow Corning Corp.); C.A., 1959, 53, p. 9060
62. Saam J.C., Spier J.L."Cyanoethylation of Trichlorosilan". Journ. Org. Chem., 1959, 24, p. 427-428.
63. USP 30108300 (Jan 23. 1962)."Cyanoalkylsilane". Pike R.A. (Union Carbide Corp.); C.A., 1962, 56, p. 2253.
64. Pike R.A., Schank R.L."Preparation of β-cyanoethyltrichlorosilane Using Silylamine Catalyst". Journ. Org. Chem., 1962, 27, p. 2190-2192.
65. Зимин А.В., Верина А.Д., Сидорова Л.П., Гувкова А.В. "Радиационно-химический синтез кремнийорганических и кремнийфторорганических соединений". Докл., АН СССР , 1962, т. 144, с. 576-578.
66. Фрейдлина А.Х., Чуковская Е.Ц., Цао Н., Нестанов А.И. "Образование непредельных кремнийорганических соединений при взаимодействии гидридсиланов с олефинами в присутствии пентакарбонила железа". Докл., АН СССР, 1960, т.132, с. 374-377.
67. Speier J.L. Zimmerman R. Webster J. "Addition of Silicon Hydrides to Olefinic Double Bonds. I. The use of Phenylsilane, Diphenylsilane, Phenylmethylsilane, Amylsilane and Tribromosilane". Journ. Amer. Chem. Soc., 1956, 78, p. 2278 – 2281.
68. B.PP. 882101 (1961). "Chlorosilanes and Derivatives from Acrilates". Pike R.A. Black W.Th. (Union Carbide Corp.).
69. Gadsby G.N."Synthesis of Organosilicon Carboxylic Acid". Research (London), 1950, 3, pp. 338-339.
70. Greber G., Hallensleben M.L."Über oligomere siliciumverbindungen mit funktionellengruppen. 19. Mitt. Über siliciumorganische ferrocenderivate mit zwei butadienil-order isoprenylgrup". Die Makromolekulare Chemie, 1967. vol.104, 1, p. 90-100
71. Capka M., Svoboda P., Bazant V., Chvalovsky V. "The addition of silicon Hydrides to Olefinic Double Bonds", Collect. Czech. Chem. Commun 1971, vol36. №12, p. 2785-2794.
72. Meals R.N. "Hydrosilylation of unsaturated organic compounds by platinum catalyst", Pure Appl.Chem., 1966, vol.13, №1, p. 141-147
73. Наметкин Н.С., Топчиев А.В., Чернишева Т.И. "Образование непредельных кремниорганических соединений при взаимодействии гидридсиланов с олефинами в присутствии платиновых катализаторов". Докл. АН СССР, 1959, Т.126. вып 5, с. 1001-1003.
74. Barry A.J., DePree L., Hook D.E. "Production of Organohalosilanes". 3 Jun., 1947-19 Dec., 1949, BP 633732, (Dow Corningl Corp); C.A., 1951, vol 45. pp. 3409.
75. Barry A.J., DePree L., Hook D.E., "Production of Organohalosilanes". 6 Jun.,1946-20 Jan. 1953. USP 2626271, (Dow Chemical Comp); C.A., 1953, vol 47, pp. 276.
76. Fontaine F.G., Nguyen R.V., Zargarian D. "Hydrosilylation of Alkenes and ketones catalysed by nickel(II) indenyl complexes". Canadian journal of chemistry, 2003, vol. 81, №11, p. 1299-1306.
77. Yamamoto K., Kumada M. "Hydrosilylation of cyclooctadienes and bicyclo[3.3.0]octene-2" Journ. Organometal. Chem., 1968, vol.13, № 1. p. 131-137.
78. Yamamoto K., Hayashi T., Zembayashi M., Kumada M. "Catalytic Asymmetric Hydrosilyltion Catalysts". Journ. Organometal. Chem., 1976, vol. 118, №2, p. 161-181.
79. Swisher J.V., Zullig Ch. "Stereochemistry of methyldichlorosilane additions to pentadienes". Journ. Organometal. Chem. 1973, vol.38 (19). p. 3353-3357.
80. Takashi S., Shibano T., Nagihara N. "An investigation into a palladium catalyzed hydrosilylation of olefins". Chem. Commun., 1969, p. 161-172.

81. Юрьев В. И., Салимгареева И. М., Жебаров О. Ж., Толстиков Г. А. “О роли в реакции синтеза RGeX<sub>3</sub>из GeX<sub>4</sub> и RX”. Журн. Общ. Хим, 1975, т. 45. с. 955-958
82. Yoshihisa K., Kumada M., Kohei T., Masayuki U. “Silicon hydrides and nickel complexes: I. Phosphine-nickel (II) complexes as hydrosilylation catalysts”. Journ. Organomet.Chem. 1973, vol. 50, p. 297-310.
83. Musolf M.C., Speier J.L. “The Addition of silicon Hydrades to olefinic double bonds. X. Addition to Phenylalkenes. The Nuclear magnetic Resonance proton spectra of (phenylalkyl)silanes”. Journ. Organometal. chem. 1964, vol. 29, №9, p. 2519-2524.
84. Чернышев Е.А., Долгая М.Е., Лубуж Е.Д. “Присоединение арилфоркремнегидридов к стиролу”. Изв. АН СССР. Сер. Хим., 1965, №4, с. 650-654.
85. Юрьев В.П., Салимгареева И.М. “Реакции гидросилилирование олефинов”. Изд. Наука, Москва, 1982, с. 1-224.
86. Saam J.S., Speier J.L. “The Addition of Silicon Hydrides to Olefinic Double Bonds. Part VI. Addition to Branched Olefins”. Journ. Am. Chem. Soc., 1961, vol. 83, №6, p. 1351-1355.
87. Lewis L.N. “On the mechanism of metal colloid catalyzed hydrosilylation:proposed explanations for electronic effects and oxygen cocatalysis”. Journ. Am. Chem. Soc. 1990, vol. 112, №16, p. 5998-6004.
88. Marciniec B. “Catalysis of hydrosilylation of carbon-carbon multiple bonds”. Silicon Chemistry, 2002, №1, p. 155-175.
89. Kriner A. Greher G., Degler G. “The preparation of cyclic siliconmethylene compounds”. Journ. Organ. Chem., 1964, volume 29 (6) , p. 1601-1606.
90. Цыба В. Т., Пушевая К. С., Вдовин В.М. “Химия Гетероциклических соединений”. 1967, №6, с. 1000-1002.
91. Петров А.Д., Пономоренко В.А., Соколов Б.А., Одабашян Г.В. “Реакции гидросилилирование олефинов”. Изв. АН СССР. охн, 1957, №10, с. 1206-1217.
92. Jurjev V.P., Salimgareeva I.M., Kaverin V.V. “The dimethylsilane hydrosilylation of functional olefins”. Journ.Organometal. Chem., 1978. vol. 171, №2, p. 23-27.
93. Kiso Y., Kumada M ., Tamao K., Umeno M. “Silicon hydrides and nickel complexes : II. Mechanism of the hydrosilylation catalyzed by nickel-phosphine complexes”. Journ. Organometal. Chem., 1973, vol. 50, №1, p. 311-318.
94. Glazer P., Tilley D. “Catalytic Hydrosilylation of Alkenes by a Ruthenium Silylene Complex. Evidence for a New Hydrosilylation Mechanism”. Journ. Am. Chem. Soc., 2003, 125 (45), p 13640–13641.
95. Benkeser R. A., Dunny S., Li C.S. et al. “Stereochemistry of methyldichlorosilane additions to pentadienes”. Journ.Am.Chem.Soc., 1968, vol. 90, №7, p. 1871-1873.
96. Пат. 2601913 (США), 1976. “2-(4-Циклогексенил)этилпроизводные Кремний-Органические соединение”. С.А., 1977, vol. 86, 43809.
97. Pluedemann E.P., Fanger G. “Epoxyorganosiloxanes”. Journ. Am. Chem. Soc., 1959, vol. 21, №11, p. 2632-2635.
98. E. Frainnet, R. Calas. “The Addition of silicon Hydrades to olefinic double bonds”. Bull, Chem. Soc. 1955, pp. 760-772.
99. Kuivila H. G., Warner Ch. R. “Trimethylsilyl-substitutie Norbornens, norbornanes and nortricyclene”. Journ. Organometal. Chem., 1964. vol. 29. №10, p. 2845-2851.
100. Grutzner I. B., Iautelat M., Dence J.B., et al. “Nuclear magnetic Resonance spectroscopy. Carbon 13. chemical shifts in norbornyl derivatives”. Journ. Am. Chem. Soc., 1970, vol. 92, №24, p. 7107-7120.
101. Tomislav I., Goutchev and Don Tilley T. “Hydrosilylation Catalysis by C2-Symmetric Bis(silylamido) Complexes of Yttrium”. ChemInform 2000, vol 31, issue 11. p. 125-131.
102. Schmerling L., Luvisi J.P., Welch R.W. “Some Reactions of 2,5-Norbornadiene (Bicyclo(2,2,1)-2,5-heptadiene) ”. Journ. Am. Chem. Soc., 1956, vol. 78, p. 2819-2822.

103. Roberts J.D., Trumbull. E.R. "The reaction of Norbornylene with N-Bromosuccinimide. Nortricyclene and its Derivative". *Journ.Am.Chem. Soc.*, 1950, vol. 72, p. 3116-3119.
104. Lippincott E.R. "The Raman and Infrared Spectra of Nortricyclene". *Journ. Am. Chem. Soc.*, 1951, vol. 73, p. 2001-2010.
105. Платэ А.Ф., Петров А.Д., Чернишев Е.А., Долгая М.Е., Беликова Н.А., Краснова Г.Л., Лейтес Л.А., Прянишникова М.А., Тац Г.С., Козыркин Б.И. "Получение кремнийорганических производных бицикло(2,2,1)гептана". *Журн. Общ. Хим.*, 1961, т. 31, с. 1199-1208.
106. Реутов О.А. "Теоретические проблемы органической химии ". Изд. МГУ, с. 50-55.
107. Siska David P. and Shriver D. F. "Li<sup>+</sup> Conductivity of polysiloxane-trifluoromethylsulfonamide polyelectrolytes". *Chem. Mater.* 2001, vol. 13, c. 4698-4700.
108. Zhang H.B., Ling Y., Fu R.N., Wen Y.X., Gu J.L. "A new gas chromatographic stationary phase: polysiloxane with β-cyclodextrin side chain for the separation of chiral and positional isomers". *Chromatographia*, 1997, v. 46, No. 1/2, p. 151-165.
109. Zhengcheng Zhang, Leslie J. Lyons, Ryan West. Khalil Amine & Robert West. "Synthesis and ionic conductivity of mixed substituted polysiloxanes with oligoethyleneoxy and cyclic carbonate substituents". *Silicon Chemistry*, 2005, vol. 3, p. 259–266
110. Min K.H., Kim D.B., Kang Y. K., Suh D. H., "Ionic conductivity and morphology of semi-interpenetrating-type polymer electrolyte entrapping poly(siloxane-g-allyl cyanide)". *Journ. Appl. Pol. Science*, 2008, v. 107, p. 1609–1615.
111. Rutnakornpituk M. "Modification of epoxy-novolac resins with polysiloxane containing nitrile functional groups: synthesis and characterization". *European Polymer Journal* 2005, v.41, p. 1043–1052.
112. Mukbaniani O.V., Gurgenidze G.N., Meladze S.M., and Khananashvili L.M. "Dehydrocondensation and Hydrosilylation Reactions of Methylhydridesiloxane to Allyl Alcohol". *Russian Polymer News*, 2001, v.6, №4, p. 18-24.
113. გურგებიძე გ. საკანდიდატო დისერტაცია, "სავარცხლისებური აღნაგობის მეთოლიგომერების სინთეზი და კვლევა". თბილისი 2003წ., თბილისის სახელმწიფო უნივერსიტეტი.
114. Mukbaniani O.V., Scherf U., Gurgenidze G.N., Karchkhadze M.G., Meladze S.M., Khananashvili L.M. "Comb-type Organosilicon Compounds with Epoxy Groups in the Side Chain". *Intern. Journ. of Polymeric Materials*, 2001, v. 48, № 3, p. 267-293 .
115. ჭაჭუა ქ. საკანდიდატო დისერტაცია, "გოგირდ- და სილიციუმშემცველი ზოგიერთი ეთერის სინთეზი და მაღალმოლექულური ნაერთები მათ ბაზაზე". თბილისი 1998 წ., თბილისის სახელმწიფო უნივერსიტეტი.
116. Chachua E.I., Mukbaniani O.V., Gadzhiev-Shengelia D., Karchkhadze M.G., Khananashvili L.M., Samsonia A.Sh. "Methylsiloxane Oligomers with Thioalyl Fragments in the Side Chain". *Bulletin of the Georgian Academy of Sciences*, 1998, №2, p. 82-85.
117. ფირცხელიანი ნ. საკანდიდატო დისერტაცია, "α,ω-ბის(გრიმეთილსილოქსი)მეთოლკიდრიდსილოქსანის პიდრიდული მიერთების რეაქციები აკრილისა და მეთაკრილის მჟავებთან და მათ ეთერებთან". თბილისი 2003 წ., თბილისის სახელმწიფო უნივერსიტეტი.
118. Mukbaniani O., Zaikov G., Pirckheliani N., Tatrishvili T., Meladze S., Pachulia Z., Labartkava M. "Hydrosilylation and Dehydrocondensation Reactions of Methylhydridesiloxane to Acrylic and Methacrylic Acids". *Journ. Applied Polymer Science*, 2007, v.103, p. 3243–3252.
119. ფირცხელიანი ნ., თათრიშვილი თ., მუკბანიანი ნ., ხანაშვილი შვილი ლ., ლაბარტყავა მ., მუკბანიანი ო. "α,ω-ბის(გრიმეთილსილოქსი)მეთოლკიდრიდსილოქსანის პიდრიდული მიერთების რეაქცია მეთაკრილის მჟავას სილილირებულ

- ეთერთან”. საქართველოს მეცნიერებათა აკადემიის მაცნე. ქიმიის სერია, 2004, გ. 30, №3-4, გვ. 261-265.
120. ფირცხელიანი ნ., ოთრიშვილი თ., მუკბანიანი ნ., ხანანაშვილი ლ., ლაბარტყევა მ., მუკბანიანი ო. “ $\alpha,\omega$ -ბის(ტრიმეთილსილოქსი)მეთილპრიდსილოქსანის პიდრიდული მიერთების რეაქცია მეთაკრილის მჟავას სილილირებულ ეთერთან”. საქართველოს მეცნიერებათა აკადემიის მაცნე. ქიმ. სერია, 2004, №3-4, გვ. 62-67.
  121. Movsum-Zade E.M. “Hydride addition of cyclolinear polymethylhydridesiloxane to acrylonitrile”. Azerb. Khim.Zhurn., 1981, №1, p. 90-94.
  122. Angelone R., Caste C., Castelvetro V., Ciardelli F., Colligiani A., Greco F., Mazzotta A., Ruggeri G. “synthesis and electrooptical characterization of polysiloxanes containing indolyl groups acting as photoconductive substrates for photorefractive materials”. e-Polymers, 2004, №75, p. 1-15.
  123. Toulokhonova I., Bjerke-Kroll B., West R. “Synthesis and photophysical properties of novel fluorescent silicones”. Journ. Organometal. Chem., 2003, Vol.686, №1, p. 101-104.
  124. Wermter H., Finkelmann H. “Liquid crystalline elastomers as artificial muscles”. e-Polymers, 2001, № 13, p. 1-13
  125. Finkelmann H., Rehage G. “Investigation on Liquid Crystalline Polysiloxanes, 1 Synthesis and Characterization of Linear Polymers”. Macromol. Chem., Rapid Commun., 1980, vol. 1, №1, p. 31-34.
  126. Li Zh., Li J., Qin J., Qin A., Ye Ch. “Synthesis and characterization of polysiloxanes containing carbazolyl and sulfonyl-indole based chromophore as side chains”. Polymer, 2005, vol. 46, № 2, p. 363-368.
  127. ტიტვინიძე გიორგი. საკანდიდატო დისერტაცია, “ $\alpha,\omega$ -ბის-(ტრიმეთილსილოქსი)-მეთილპრიდრისილოქსანის პიდრიდული მიერთების რეაქციები ზოგიერთ უჯერი ბმის შემცველ ნაერთთან”. თბილისი 2005 წ., თბილისის სახელმწიფო უნივერსიტეტი.
  128. Mukbaniani O., Tatrishvili T., Titvinidze G. “Hydrosilylation reactions of methylhydridesiloxane to n-Hexene-1”. Georgia Chemical Journal, 2003, v. 3, № 3, p. 214-215.
  129. Titvinidze G., Tatrishvili T., Mukbaniani N., Mukbaniani O. “Hydride Addition of Methylhydridesiloxane to Styrene and  $\alpha$ -Methylstyrene”. Proceedings of Georgian Academy of Sciences, 2004, №1-2, v. 30, p. 53-56
  130. Mukbaniani O., Tatrishvili T., Titvinidze G., Mukbaniani. “Hydrosilylation reactions of methylhydridesiloxane to styrene and  $\alpha$ -methylstyren”. [Journal of Applied Polymer Science](#), 2006, v. 101, Issue 1, p. 388–394.
  131. Mukbaniani O., Tatrishvili T., Titvinidze G., Mukbaniani N., Lezhava L., Gogesashvili N. “Hydrosilylation Reaction of Methylhydridesiloxane to Phenylacetylene”. Journ. Applied Polymer Science, 2006, v. 100, p. 2511-2515.
  132. Titvinidze G., Tatrishvili, O. Mukbaniani. “Hydrosilylation of Methylhydridesiloxane to Propargyl Alcohol and its Trimethylsilylated Ether”. Georgian Chemical Journal, 2005, v. 5, №3, p. 249-252.
  133. Mukbaniani O.V., Zaikov G.E., Tatrishvili T., Mukbaniani N., Koberidze Kh. “Hydride addition of methylhydrosiloxanes to cyclohexa-1,3-diene”, Chapt. 11, p. 163-178, in the book O.V. Mukbaniani, T.N. Tatrishvili and G.E. Zaikov. «Modification Reactions of Oligomethylhydridesiloxanes». Nova Science Publisher, Inc. Huntington, New York, 2007, p. 1-228.
  134. Ногайдели А.И., Чоговадзе Т.В., Ногайдели Г.А. “Реакция гидросилирования дицикlopентадиена некоторыми органохлорсиланами и силоксанами”. Сообщ. АН ГССР, 1976, т. 82, с. 589-592.

135. Bruson H.A., Reiner F. "The Chemistry of Dicyclopentadiene Hydration and Rearrangement". *Journ. Am. Chem. Soc.*, 1945, vol. 67, c. 723-728.
136. Ногаидели Г.А. "Синтез и превращение некоторых кремнийорганических соединений на основе дициклопентадиена". Канд. дисс. ТГУ, Тбилиси, 1977.
137. Чоговадзе Т.В. "Синтез и исследование свойств дициклопентадиенилсиланов и – си-локсанов". Кан. дисс. ТГУ, Тбилиси, 1979.
138. Mukbaniani O., Zaikov G., Tatrishvili T., Mukbaniani N., Koberidze Kh. "Modification Reactions of Methylhydrosiloxanes with Tricyclodecadiene". *Macromolecular Symposia*, 2007, v. 247, p. 411-419.
139. თათრიშვილი თ., კობერიძე ხ., ქოიავა ნ., მუკბანიანი ო. "მეთილჰიდრიდსილოქსანების პიდრიდული მიერთების რეაქციები ცის-1,5-ციკლოოქტადიენთან". საქართველოს მეცნიერებათა აკადემიის მაცნე, ქიმიის სერია, 2009, გ. 35, №3, გვ. 302-306
140. Mukbaniani O., Zaikov G., Scherf U., Meladze S., Tatrishvili T., Pachulia Z., Koberidze Kh., Labartkava M. "Hydride Addition of Methylhydridesiloxane to 1,3-Cyclohexadiene". *Journal of the Balkan Tribological Association* 2005, v.1, №1, p. 1-15.
141. მუკბანიანი ო., კობერიძე ხ., ფირცხელიანი ნ., თათრიშვილი თ. "ოლიგომერული მეთილჰიდრიდსილოქსანის პიდრიდული მიერთების რეაქციები 1,3-ციკლოჰიქსანიდიენთან". ივ. ჯავახიშვილის სახელობის თბილისის სახელმწიფო უნივერსიტეტის სოფელის ფილიალი, მოამბე 2005, №3, გვ. 58-60.
142. Мукбаниани О.В., Коберидзе Х.Э. "Гидридное присоединение метилгидридсилоксана к 1,3-циклогексадиену". Тезисы докл. конференции посвященной к 95 со дня рождения акад. К.А. Андрианова. Москва, 1-4 Февраля 2000, С37.
143. Mukbaniani O., Tatrishvili T., Koberidze Kh. "Hydrosilylation reaction of methylhydrosiloxane with cyclohexa-1,3-diene". Abstracts of communications of Frontiers in polymer science. International Symposium Celebrating the 50<sup>th</sup> Anniversary of the Journal Polymer 7-9 June, 2009, Congress Centrum Mainz, Germany, P2-20.
144. Manners I. "Polymers and the Periodic Table: Recent developments in inorganic Polymer Science". *Angew. Chem. Int. Ed. Engl.* 1996, vol. 35, p. 1602-1621.
145. Cofer C.G., and Economy J., Chapter 2 "In Mechanical and Thermophysical Properties of Polymer Liquid Crystals", Brostow, W. (Ed.), Chapman & Hall, London, 1998.
146. Kricheldorf H.R. (Ed.), Silicon in Polymer Synthesis, Springer, Berlin, 1996.
147. Li R., Ye L., Mai Y.-W., "Application of Plasma Technologies in Fibre-reinforced Polymer composites: Review of recent developments". Composites part: A. Applied Science and Manufacturing. 1997, Issue 1, vol. 28. p. 73-86.
148. Bajpai M., Shukla V. "Firdous Habib Progress in Organic Coatings". 2005, p. 239-245.
149. Ackerman W.C., Vlachos M., Rouanet S., Fruendt J. "Use of surface treated aerogels derived from various silica precursors in translucent insulation panels". *Journ. Non-Crystalline Solids*, 2001, vol. 285, № 1-2, p. 264-271.
150. Pukhnarevich V.B., Voronkov M.G., Kopylova L.I. "Dehydrocondensation Reaction of Organysilanes with the Formation of Si-Si Bond". *Usp. Khim.*, 2000, vol. 69, N 2, 150-165.
151. Мукбаниани О.В., Татришвили Т.Н., Мукбаниани Н.О., Титвинидзе Г.Г., Фацация С.Г. "Синтез гребнеобразных олигомеров реакцией гидридного присоединения метилгидридсилоксан-диметилсилоксановых олигомеров к непредельным органическим соединениям". Третья Всеросийская Каргинская Конференция «Полимеры-2004», посвященная 250-летию Московского государственного университета, тезисы докладов, Москва, МГУ, 27 января – 1 февраля 2004, т.1, секц. 1, с.112
152. Mukbaniani O., Zaikov G., Tatrishvili T., Titvinidze G., Phatsasia S.. "Synthesis of New Methylsiloxane oligomers with Pendant Trialkoxysilylethyl Groups for Preparation of Silicon Hard Coatings". Abstracts of Communications of III International Conference on Times of Polymers (TOP) & Composites, Italy, Ischia, 2006, 18-24 June, 177.

153. Беллами Л “Инфракрасные спектры сложных молекул” ИЛ. М., 1963, с. 480-485.
154. Чумаевский Н.А “Колебательные спектры элементоорганических соединений элементов IV Б и V Б групп”. М., Наука 1971.
155. Сильверстейн Р., Басслер Г., Моррил Т “Спектрометрическая идентификация органических соединений”. Изд. Мир, Москва 1977.
156. Андрианов К.А., Кононов Л.М., Цванкин Д.Я. “Рентгенографические исследования некоторых кремнийорганических полимеров”. Высокомолек. соед., 1963., т.106., с. 320-324.
157. Мукбаниани О.В., Пирцхелиани Н.А., Татришвили Т.Н., Пацация С.Г. “Реакции гидридного присоединения  $\alpha,\omega$ -бис(триметилсилокси)метилгидридсилоксана к алилокситриэтилсилану”. Химический Журнал Грузии, 2006, т. 6(3), с. 254-255.
158. Mukbaniani O.V., Tatrishvili T.N., Mukbaniani N.O., Titvinidze G.G., Patsatsia S.G. ” Synthesis comb-type methylsiloxane oligomers with functional groups”. Abstracts of Communications of 7<sup>th</sup> European Technical Symposium on Polyimides and High Performance Functional Polymers”, France, Polytech’Montpellier, Universite Montpellier 2, S.T.L., 2005, May 9-11, PVI.
159. Peppard D.F., Brown W.G., Jonson W.C.”Preparation and Synthetic Applications of alkyl chlorosilicates”. Journ. Am. Chem. Soc, 1946, vol. 68, p. 70-72.
160. Козликов В.Л., Федотов Н.С., Миронов В.Ф. “Взаимодействие алkenокси-триметилсиланов с Диметилхлорсиланом”. Журн. Общей Химии, 1969, т. 39, с. 2284-2288.
161. Kazmierski, K.; Hurdic, N.; Sauvet, G.; Chojnowski, J.;”Polysiloxanes with chlorobenzyl groups as precursor of new organic silicone materials”. Journ. Polym. Sci. : Part A : Polym. Chem. 2004, issue 7, vol. 42, p. 1682-1692.
162. Chauhan B.P.S., Rathore J.S., Glloxhani N.; “First example of palladium-nanoparticle-catalyzed selective alcoholysis of polyhydrosiloxane: a new approach to macromolecular grafting”. Appl. Organometal. Chem. 2005, issue 4. vol.19, p. 542-550.
163. Mukbaniani O. V., Tatrishvili T. N. and Zaikov G. E. The book, “Modification Reactions of Oligomethylhydridesiloxanes”. Nova Science Publisher, Inc. Huntington, New York, 2007, p. 1-228.
164. Пацация С.Г., Татришвили Т.Н., Мацаберидзе М.Г., Мукбаниани О.В.. “Реакция гидросилирования  $\alpha,\omega$ -бис(триметилсилокси)метилгидридсилоксан-диметилсилоксанового олигомера к 4-винил-1-циклогексену”. Всероссийская X конф. “Кремнийорганические Соединения. Синтез, свойства, применение”, 25-30 мая, 2005, с. 1C41.
165. მუკბანიანი ო., თათრიშვილი თ., ფაცაცია ს.. “დეთილსილოქსანები თლიგომეტრების სიხმავეზე უჯერი ფრაგმენტებით გვერდით ჯაჭვში”. საქართველოს ქიმიკური კურნალი, 2005, გ. 5, №6, გვ. 576-578.
166. Mukbaniani O., Tatrishvili T., Titvinidze G., Patsatsia S.. “Synthesis of thermoreactive polysiloxanes with cyclic fragments in the side chain”. [Journal of Applied Polymer Science](#), 2009, [v. 114, Issue 2](#), pp. 892 – 900.
167. Мукбаниани О.В., Татришвили Т.Н., Мукбаниани Н.О., Титвинидзе Г.Г., Пацация С.Г. “Синтез Гребнеобразных Олигомеров Реакцией Гидридного Присоединения Метилгидридсилоксан-диметилсилоксановых Олигомеров к Непредельным Органическим Соединениям”. Третья Всероссийская Каргинская Конференция “ПОЛИМЕРЫ-2004”. Тезисы докладов, Москва, МГУ, 27 Января-1 Февраля, 2004, с. 112.
168. Tatrishvili T., Patsatsia S., Mukbaniani O. ”Modification Reactions of oligomethylhydrosiloxanes with Some Unconjugated Diens”. Abstracts of Communications of International Conference: ”Compounds and Materials with Specific Based on Industrial Waste and Secondary Resources. Modern Chemical Compounds and Technologies”. The conference was dedicated

to 90<sup>th</sup> anniversary of Iv. Javakhishvili Tbilisi State University, Tbilisi 2008, 18-19 September, p. 33-34.

169. ფირცხელიანი ნ. “ა,ო-ბის(ტრიმეთილსილოქსი) მეთილპიდრიდსილოქსანის ჰიდრიდული მიერთების რეაქციები აკრილისა და მეთაკრილის მუვებთან და მათ ეთერებთან”. საკანდიდატო დისერტაცია, თბილისი, 2003 წ.
170. ტიტვინიძე გ. “ა,ო-ბის(ტრიმეთილსილოქსი)მეთილპიდრიდსილოქსანის ჰიდრიდული მიერთების რეაქციები ზოგიერთ უჯერი ბმის შემცველ ნაერთთან”. საკანდიდატო დისერტაცია, თბილისი, 2005 წ.
171. Dewar M.I.S., Zeobish E.G., Healy E.F., Stewart J.S. “Development and use of quantum mechanical molecular models. 76. AM1: a new general purpose quantum mechanical molecular model”. *Journ. Am. Chem. Soc.*, 1985, v.107, № 13, p. 3902-3909.
172. თათრიშვილი თ., ფაცაცია ს., ჩიღვინაძე მ., მუკანიანი ო. “უჯერი ფრაგმენტების შემცველი თერმორეაქტიული ბუნების მეთილსილოქსანური ოლიგომერების სინთეზი და კვლევა”. საერთაშორისო კონფერენციის ”სპეციფიკური თვისებების ნაერთები და მასალები წარმოების ნარჩენების, მეორედი ნედლულის და ბუნებრივი რესურსების ბაზაზე”, მოხსენებათა თეზისები, თბილისი, საქართველო, 15-16 ივლისი, 2010, გვ. 18.
173. Mukbaniani O., Tatrishvili T., Titvinidze G., Patsatsia S. “Synthesis and characterization of polysiloxanes with pendant bicyclic fragments”. *Journal of Applied Polymer Science*, 2011, v.120, Issue 3, p.1572-1582.
174. Lecamp L., Vaugelade C., Youssef B., Bunel C. “Polydimethyl Siloxane Photoreticulable Par Voie Cationique – I. Synthese et Photoreticulation De Polydimethyl Siloxane A Greffons Epoxy Norbornene”. *Eur. Polym. Journ.*, 1997, vol. 33(9), p. 1453-1462.
175. Ki Hong Min, Dae Beom Kim, Yong Ku Kang, Dong Hack Suh. “Ionic conductivity and morphology of semi-interpenetrating-type polymer electrolyte entrapping poly(siloxane-γ-allyl cyanide)”. *Journal of Applied Polymer Science*, 2008, v. 107, p. 1609–1615.
176. Metha Rutnakornpituk. “Modification of epoxy–novolac resins with polysiloxane containing nitrile functional groups: synthesis and characterization”. //European Polymer Journal 2005, v.41, pp. 1043–1052.
177. Toshiaki M., Takehiko S., and Shinzi K. “Cobalt Carbonyl Catalyzed Hydrosilylation of Nitriles: A New Preparation of N,N-Disilylamines”. *Journ. Org. Chem.* 1990, v. 55, p. 449-453.
178. თათრიშვილი თ., ფაცაცია ს., მუკანიანი ო. “ჰიდროსილიდირების მოდელური რეაქციები ალილციანიდთან”. საქართველოს ქიმიური უნივერსიტეტი. 2010, გ. 10, №3, გვ. 312-315.
179. Губен-Вейль, Методы органической химии, пер. с нем., 4 изд., т. 2, М., 1963, с. 307.